



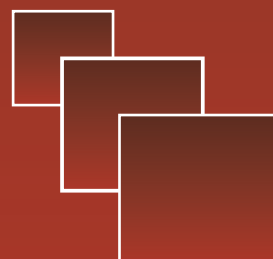
Вестник

Уральского
государственного
университета
путей сообщения

Научный журнал

Herald
of the Ural State University
of Railway Transport

Scientific journal



Научный журнал
«Вестник Уральского государственного
университета путей сообщения»
№ 2 (34), 2017 год

**Главный редактор,
научный редактор**
Василий Михайлович Сай

Литературный и выпускающий редактор
Людмила Станиславовна Барышникова

Техническое редактирование и верстка
Светлана Николаевна Наймушина
Дизайн обложки
Ольга Петровна Игнатьева

Учредитель и издатель:
Уральский государственный
университет путей сообщения
(УрГУПС)

Адрес для корреспонденции:
620034, Екатеринбург,
ул. Колмогорова, 66, УрГУПС,
редакция журнала
«Вестник УрГУПС»

Телефон редакции: (342) 221-25-60.
Веб-сайт: www.vestnik.usurt.ru;
e-mail: vestnik@usurt.ru.

Журнал издается по решению
ученого совета университета
©УрГУПС

«Вестник УрГУПС» включен ВАКом
в перечень периодических, научных
и научно-технических изданий,
выпускаемых в Российской Федерации,
в которых рекомендуется публикация
основных результатов диссертаций.

DOI:10.20291/2079-0392

Свидетельство о регистрации
средства массовой информации
Роскомнадзора ПИ № ФС77–38188
от 30 ноября 2009 г.

Подписной индекс журнала
в общероссийском
каталоге «Роспечать» — 70070

Отпечатано в издательстве
Уральского государственного
университета путей сообщения,
620034, Екатеринбург,
ул. Колмогорова, 66.

Подписано в печать 24.06.2017.

Тираж 300 экз. 1-й з-д: 1–80.
Формат 70×100/16.
Заказ 198

Scientific journal «Herald of the
Ural State University
of Railway Transport»
№ 2 (34), 2017

**Editor-in-chief,
Science editor**
Vasily M. Say

Script and copy editor
Lyudmila S. Baryshnikova

Technical editing and make-up
Svetlana N. Naymushina

Cover design
Olga P. Ignatjeva

Founder and publisher:
The Ural State University
of Railway Transport
(USURT)

Correspondence address:
«Herald of USURT» editorial office
The Ural State University of Railway Transport»
66 Kolmogorov Street,
620034, Ekaterinburg

Telephone: +7 (342) 221-25-60.
Web-site: www.vestnik.usurt.ru;
e-mail: vestnik@usurt.ru.

The journal is published by the decision of
University Academic Board
©USURT

DOI:10.20291/2079-0392

Certificate of registration of mass media
by the Federal Service for Supervision
in the sphere of communications,
information technology and mass communications
(Roskomnadzor) PI № FS77–38188
of November 30, 2009.

Subscription reference number of the issue
in the All Russia Catalogue «Rospechat» — 70070

Printed in the Publishing house
of the Ural State University of
Railway Transport
66 Kolmogorov Street,
620034, Ekaterinburg.

Passed for printing 24.06.2017.

Circulation 300. The 1st pr.: 1–80.
Format 70×100/16.
Order 198

МЕЖДУНАРОДНЫЙ РЕДАКЦИОННЫЙ СОВЕТ

Кейт Бурнхам, профессор, Университет г. Ковентри, факультет машиностроения и вычислительной техники, Великобритания

Петер Копачек, профессор, Венский технологический университет, Венский институт транспорта и робототехники, интеллектуальный транспорт и робототехника, Вена, Австрия

Владимир Цыганов, д-р техн. наук, профессор, Институт проблем управления Российской академии наук, Москва, Россия

Сергей Герман-Галкин, д-р техн. наук, профессор, Морская академия, Институт судовой автоматики и электротехники, Щецин, Польша

Клаус Беккер, профессор, Университет прикладных наук г. Кельна, Институт автомобильной техники, лаборатория NVH, Германия

Василий Сай, д-р техн. наук, профессор, Уральский государственный университет путей сообщения, Екатеринбург, Россия

РЕДКОЛЛЕГИЯ

Вовк Алексей Александрович, д-р экон. наук, профессор, МГУПС, Москва

Воскресенская Тамара Петровна, д-р техн. наук, профессор, СибГИУ, Новокузнецк

Воробьев Александр Алексеевич, д-р техн. наук, профессор, МГУПС, Москва

Корнилов Сергей Николаевич, д-р техн. наук, профессор, МГТУ, Магнитогорск

Нестеров Валерий Леонидович, д-р техн. наук, профессор, УрГУПС, Екатеринбург

Кузнецов Константин Борисович, д-р техн. наук, профессор, УрГУПС, Екатеринбург

Сапожников Валерий Владимирович, д-р техн. наук, профессор, ПГУПС, Санкт-Петербург

Сизый Сергей Викторович, д-р техн. наук, профессор, УрФУ, Екатеринбург

Щурин Константин Владимирович, д-р техн. наук, профессор, ОГУ, Оренбург

Тимофеева Галина Адольфовна, д-р физ.-мат. наук, профессор, УрГУПС, Екатеринбург

INTERNATIONAL EDITORIAL BOARD

Keith Burnham, professor, Coventry University, Faculty of Engineering and Computing, Great Britain

Peter Kopachek, professor, Vienna University of Technology, Vienna Institute of Transportation and Robotics, Intelligent Transportation and Robotics, Vienna, Austria

Vladimir Tsyganov, DSc, professor, Russian Academy of Sciences, Institute of Control Sciences, Moscow, Russia

Sergey German-Galkin, DSc, professor Maritime Academy, Institute of naval automation and electric engineering, Szczecin, Poland

Klaus Becker, professor, Cologne University of Applied Sciences, Institute of Automotive Engineering, NVH Laboratory, Germany

Vasily Say, DSc, professor, The Ural State University of Railway Transport, Ekaterinburg, Russia

EDITORIAL BOARD

Vovk Alexei Aleksandrovich, DSc, professor, Moscow State University of Railway Transport, Moscow

Voskresenskaya Tamara Petrovna, DSc, professor, Siberian State Industrial University, Novokuznetsk

Vorobjev Alexander Alexeevich, DSc, professor, Moscow State University of Railway Transport, Moscow

Kornilov Sergey Nikolaevich, DSc, professor, Magnitogorsk State Technical University, Magnitogorsk

Nesterov Valery Leonidovich, DSc, professor, The Ural State University of Railway Transport, Ekaterinburg

Kuznetsov Konstantin Borisovich, DSc, professor, The Ural State University of Railway Transport, Ekaterinburg

Sapozhnikov Valery Vladimirovich, DSc, professor, Petersburg State University of Railway Transport, Saint-Petersburg

Sizyi Sergey Viktorovich, D. Sc. in engineering, professor, Ural Federal University, Ekaterinburg

Shchurin Konstantin Vladimirovich, DSc, professor, Orenburg State University, Orenburg

Timofeeva Galina Adolfofna, DSc, professor, The Ural State University of Railway Transport, Ekaterinburg

Содержание

Математические модели технологических процессов

- 4 В.В. Стружанов, А.В. Коркин. О решении нелинейных уравнений равновесия одной растягиваемой стержневой системы с разупрочняющимися элементами методом простых итераций
- 17 В.Л. Розенберг, Б.В. Дигас. Применение комплексной оптимизационной модели к изучению «зеленых» показателей российского ВВП

Механика машин и роботов

- 28 В.С. Наговицын, А.Н. Антропов, А.Л. Ципп, С.Ю. Гришаев. Электропневматический клапан автостопа с функцией резервирования ЭПК-АС

Управление в технических системах

- 40 А.А. Шапран, Н.Б. Новикова. К вопросу устойчивости двухканальных систем управления электрическим приводом
- 46 Г.Л. Аккерман, С.Г. Аккерман. Облик высокоскоростной железнодорожной магистрали

Организация и логистика

- 57 С.В. Сизый, Е.Ю. Кузнецова, А.А. Акулова. Графо-географическая модель региона и барицентрическая методика размещения предприятий утилизации автотранспортных отходов в Уральском регионе
- 67 Д.А. Бруснянин, С.В. Вихарев, В.М. Сай. Результаты моделирования транспортных потоков при развитии транспортной инфраструктуры на примере строительства трамвайной линии «Академический – ВИЗ» (Екатеринбург)
- 79 А.В. Вохмянина. Количественная оценка «эффекта хлыста» в цепях поставок

Управление. Экономика

- 91 А.А. Вовк, Ю.А. Вовк, З.В. Чуприкова. Проблемы характеристики динамики продукции транспортной компании и оценки ее размера

Аспирантская тетрадь

- 101 Д.А. Скутин. Определение мест возникновения наибольших поперечных сил при движении подвижного состава по кривой
- 111 М.А. Бадажков. Энергоэффективное использование ниток графика в организации движения поездов

Contents

Mathematic models of technological processes

- 4 V. V. Struzhanov, A. V. Korokin. On the solution of non-linear equations of trim of a single expandable frame structure with softening elements by the method of simple iterations
- 17 V. L. Rozenberg, B. V. Digas. Appliance of integrated optimization model to study «green» indicators of russian GDP

Mechanics of machines and robots

- 28 V. S. Nagovicyn, A. N. Antropov, A. L. Tsipp, S. Yu. Grishaev. Electro-pneumatic valve of auto-stop with the function of the EPV of AS (electro-pneumatic valve of automatic stop) reservation

Control in engineering systems

- 40 A.A. Shapran, N. B. Novikova. To the question of the stability of two-channel electric drive control systems
- 46 G. L. Akkerman, S.G. Akkerman. High-speed railway highlights annotation

Organization and logistics

- 57 S. V. Sizyi, E. Yu. Kuznetsova, A.A. Akulova. Graphical-geographical model of the region and baricentric method of placement of enterprises of utilization of motor transport wastes in the ural region
- 67 D. A. Brusyanin, S. V. Vikharev, V. M. Say. Modeling of transport flows in development of transport infrastructure on the example of construction of the tram-line «Academic – VIS» (Ekaterinburg)
- 79 A.V. Vokhmyanina. Quantitative estimation of the «bullwhip effect» in the supply chains

Management. Economics

- 91 A.A.Vovk, Yu. A. Vovk, Z. V. Chuprikova. Problems of characteristics of the dynamics of the production of the transport company and evaluation of its size

Research of young scientists

- 101 D. A. Skutin. Determination of location of the most lateral forces at motion of the rolling stock through the curve
- 111 M. A. Badazhkov. Energy efficient use of thread graphics in the organization of train traffic

Математические модели технологических процессов

УДК 539.3

В. В. Стружанов, А. В. Коркин

О решении нелинейных уравнений равновесия одной растягиваемой стержневой системы с разупрочняющимися элементами методом простых итераций

UDC 539.3

V. V. Struzhanov, A. V. Korkin

On the solution of non-linear equations of trim of a single expandable frame structure with softening elements by the method of simple iterations

Аннотация

В процессе растяжения стержня его материал может перейти на стадию разупрочнения, характеризуемую падающей ветвью диаграмм деформирования. В зависимости от вида разгрузки выделены три основных типа разупрочняющихся материалов, а именно, упругопластический, упругохрупкий и партипластический. Выписаны соответствующие определяющие соотношения. Рассмотрена растягиваемая стержневая система с разупрочняющимися элементами и для всех типов материалов получены нелинейные уравнения равновесия, которые могут иметь несколько решений, так как у системы с некоторого момента появляется несколько положений равновесия как устойчивых, так и неустойчивых. Для вычисления параметров равновесных состояний применен метод простых итераций. Определены условия сходимости и расходимости метода как для жесткого нагружения системы так и для мягкого. Показано, что расходимость связана с неустойчивостью равновесия.

Ключевые слова: свойства материала, стержневая система, устойчивость, параметры равновесия, сходимость, простые итерации.

DOI:10.20291/2079-0392-2017-2-4-16

Annotation

In the process of stretching the frame, its material can go to the softening stage, characterized by the falling branch of the deformation diagrams. Depending on the type of unloading, three main types of softening materials have been identified, namely, elastoplastic, elastically fragile and parti-plastic. The corresponding defining relations are written out. A stretchable frame structure with softening elements is considered, and nonlinear trim equations are obtained for all types of materials, which can have several solutions, since the structure has several trim positions from both a stable and unstable ones from a certain moment. To calculate the parameters of trim states, the simple iteration method is applied. Conditions for the convergence and divergence of the method for both rigid and for soft loading of the system are determined. It is shown that the divergence is related to the instability of the trim.

Key words: characteristics of a material, frame structure, stability, parameters of the trim, convergence, simple iterations.

DOI:10.20291/2079-0392-2017-2-4-16

Валерий Владимирович Стружанов, д-р физ.-мат. наук, главный научный сотрудник; Институт машиноведения УрО РАН; Екатеринбург, Россия. E-mail: stru@imach.uran.ru.

Александр Владимирович Коркин, аспирант; Институт естественных наук и математики Уральского федерального университета; Екатеринбург, Россия. E-mail: alexkorkin@list.ru.

Статья рекомендована к печати С. П. Баутиным, д-ром физ.-мат. наук, профессором; Уральский государственный университет путей сообщения; Екатеринбург, Россия. E-mail: sbautin@usurt.ru.

Valeri Vladimirovich Struzhanov, Doctor of phys.-math. Sciences, Chief Scientific employee; Institute of Theoretical engineering of Ural Department of the Russian Academy of Sciences; Ekaterinbourg, Russia. E-mail: stru@imach.uran.ru.

Alexandr Vladimirovich Korkin, Postgraduate; Institute of Natural sciences and Mathematics of Ural Federal University; Ekaterinbourg, Russia. E-mail: alexkorkin@list.ru.

The article is recommended for editing from S. P. Bautin, Doctor of phys.-math. Sciences, Professor; Ural State University of Railway Transport; Ekaterinbourg, Russia. E-mail: sbautin@usurt.ru.

Введение

Стадия деформационного разупрочнения, характеризуемая падающей ветвью диаграмм деформирования, неоднократно фиксировалась как в экспериментах [1–4], так и при исследовании различных моделей материала и решении некоторых задач [5, 6–9, 18–21]. Введение в расчеты на прочность элементов конструкций возможности разупрочнения материала приводит к крайним задачам, которые могут иметь уже не единственные и неустойчивые решения, т.е. нарушается корректность задачи по Адамару. Это обстоятельство требует разработки новых методов решений или адаптации известных методов решения нелинейных задач.

Для преодоления возникающих трудностей желательно сначала выявить математическую суть проблемы, начиная с расчетов простых одномерных механических систем с разупрочняющимися элементами, избегая вопросов, связанных с многомерностью подавляющего числа задач механики деформируемого твердого тела.

В данной работе рассмотрена стержневая система с разупрочняющимся элементом, которая растягивается по жесткой и мягкой схемам нагружения. В зависимости от вида разгрузки проведена идеализация свойств разупрочняющихся материалов и выделено три основных типа, а именно, упругопластический, упругохрупкий и партипластический (частично пластический). Получены соответствующие определяющие соотношения и для всех типов материалов выписаны нелинейные уравнения

равновесия, которые могут иметь несколько решений, в том числе и неустойчивых. Для вычисления параметров устойчивых положений равновесия использован метод простых итераций. Определены условия сходимости и расходимости метода как для жесткого, так и для мягкого нагружений. Показано, что расходимость метода коррелирует с неустойчивостью равновесия. Неустойчивые положения равновесия находятся методом половинного деления.

Устройство для растяжения стержней

Всякую механическую систему, предназначенную для растяжения образцов, можно представить в виде системы последовательно расположенных стержней. Один из них – это испытуемый образец, а второй – упругий стержень с жесткостью при растяжении, равной s , которая эквивалентна жесткости испытательной машины [7–10, 19–21].

Итак, будем рассматривать устройство, состоящее из абсолютно жесткого параллелепипеда I и упругого параллелепипеда II с жесткостью s . К ним шарнирами прикреплён испытуемый стержень AB из нелинейного материала. Растяжение осуществляется при поступательном перемещении параллелепипеда II под действием равномерно распределенных по свободной поверхности MN сил с равнодействующей p (мягкое нагружение) либо точкам плоскости MN задается одинаковое перемещение u (жесткое нагружение) (рис. 1). Процесс происходит при неизменной температуре (изотермически).

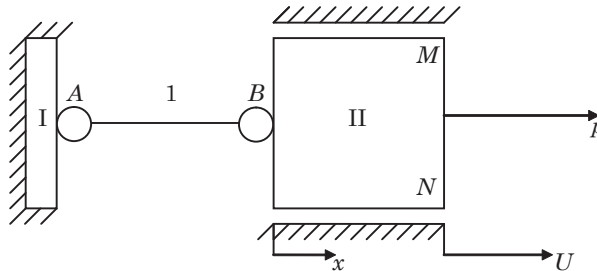


Рис. 1. Механическая система

Нагрузки возрастают чрезвычайно медленно (квазистатически). При задании растягивающей силы p положение элементов системы определяют две обобщенные координаты u и x (x – удлинение стержня AB), а при задании перемещения u – одна обобщенная координата x . В первом случае естественно считать p параметром управления, а величины u и x – параметрами состояния. Во втором случае параметр управления u , а состояния – x .

Идеализация механических свойств неупругого разупрочняющегося стержня

Механические свойства растягиваемого стержня характеризует так называемая полная диаграмма деформирования $q(x)$, состоящая из восходящей и ниспадающей ветвей [7–10, 19–21] (рис. 2). Здесь q – растягивающее стержень усилия, x – удлинение стержня.

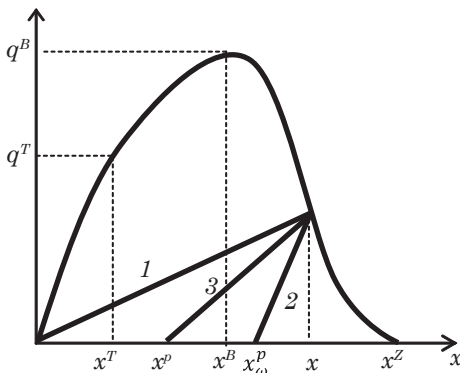


Рис. 2. Полная диаграмма растяжения стержня и прямые возможной разгрузки

При равновесном растяжении стержень последовательно проходит состояния упругости ($0 \leq x < x^T$), упрочнения ($x^T \leq x < x^B$) и разупрочнения ($x^B \leq x < x^Z$). Разупрочнение заканчивается разделением стержня на части ($x = x^Z$). Здесь x^Z, x^B, x^T – удлинения, отвечающие переходу материала стержня в состояние пластичности, достижению предела прочности и разрушению. На первых двух стадиях сопротивление стержня

растяжению устойчиво, то есть увеличение нагрузки сопровождается соответствующим увеличением сопротивления. На третьей стадии стержень находится в физически неустойчивом состоянии, и равновесное растяжение возможно лишь при снижающемся по определенному закону усилии.

Функция $q(x)$ в общем случае является кусочно-гладкой. Ее наклон определяет производная $\lambda^p(x) = q_{,x}$, имеющая смысл касательного модуля. Причем в угловых точках функции $q(x)$ это производная справа. Здесь и ниже используются следующие обозначения

$$\text{для производных: } f_{,x} = \frac{\partial f}{\partial x}, f_{,xx} = \frac{\partial^2 f}{\partial x^2}$$

и т.п. Очевидно, что $\lambda^p > 0$ при $x < x^B$, $\lambda^p < 0$ при $x > x^B$. На участке $0 \leq x < x^T$ имеем $\lambda^p = \lambda = \text{const}$ – жесткость стержня при растяжении в области упругости.

Отклонение диаграммы деформирования от начального прямолинейного (упругого) участка объясняется тем, что диссипативные процессы уже начинают играть существенную роль на макроуровне (исключения составляют нелинейно упругие материалы). После нагружения в начальный момент в материале возникают напряжения, связанные с деформацией линейным законом упругости. Затем материал стремится снизить уровень напряжений. Для этого существуют два механизма, а именно, пластическая деформация (механическая диссипация) и нарушение сплошности (континуальное разрушение). В результате за малый промежуток времени происходит релаксация напряжений. Если явно не проявляются эффекты ползучести, то время релаксации меньше, чем скорость нагружения.

Известно [11], что при активном деформировании практически все материалы не отличимы от нелинейно упругих материалов. Различия проявляются только при разгрузке. Следовательно, только по разгрузке можно определить характер диссипативного процесса. На качественном уровне

можно выделить три большие группы материалов [12]: упругохрупкие (диссипация посредством континуального разрушения), упругопластические (диссипация посредством пластической деформации) и партипластические (частично пластические) материалы (имеют место оба вида диссипации).

Проводя идеализацию характеристик разгрузки [12], определим качественные (отличительные) особенности разгрузки для каждого типа материала.

Упругохрупкий материал состоит из абсолютно хрупких элементов. При деформировании с определенного момента (конца упругой стадии) в нем начинается множественное трещинообразование без всяких следов пластической деформации. Следовательно, упругохрупкий материал диссипирует подводимую энергию только посредством механизма континуального разрушения. Разгрузка происходит по секущей линии (прямая 1, рис. 2), без образования остаточных деформаций. Модуль разгрузки равен секущему модулю $\lambda^s = \frac{q}{x}$. При последующем после разгрузки сжатии, когда закроются все дефекты, материал ведет себя упруго, жесткость стержня равна λ . Таким образом, после разгрузки стержень приобретает свойство разномодульности, т.е. он по-разному сопротивляется растяжению и сжатию на упругой стадии деформирования.

Упругопластическая модель с разупрочнением основана на распространении допущений классической модели упругопластического тела на стадию разупрочнения. Напомним [11], что в этой модели разгрузка происходит по линейному закону и модуль разгрузки равен жесткости стержня в упругости λ , т.е. пренебрегается незначительным падением модуля разгрузки, происходящим вследствие пластического разрыхления материала.

Таким образом, идеализированная модель упругопластического материала предполагает, что разгрузка из любой точки полной диаграммы, в том числе и с падающей ветви, происходит

по прямой, параллельной начальному упругому участку диаграммы, и модуль разгрузки равен λ (прямая 2, рис. 2). То есть материал диссипирует подводимую энергию только посредством образования пластической деформации (механическая диссипация). Полное удлинение стержня однозначно представляется суммой

$$x = x^e + x^p, \quad (1)$$

где $x^e = q/\lambda$ и x^p – соответственно упругая и пластическая составляющие полного удлинения. После окончания разгрузки стержень обладает остаточным удлинением, равным x^p .

Третья модель – партипластическое (частично пластическое) тело. При разгрузке также появляются остаточные деформации, но модуль разгрузки λ^u уже не равен λ (прямая 3, рис. 2), причем $\lambda^s < \lambda^u < \lambda$ и $\lambda_u = \frac{q}{(x - x^p)}$.

Итак, когда диссипация происходит только за счет пластической деформации, то получаем модель упругопластического тела. Модели упругохрупкого тела отвечает диссипация континуального разрушения. Если же происходят одновременно оба процесса, то получаем модель упруго-хрупко-пластического (партипластического) тела.

Определяющие соотношения

Запишем уравнение второго закона термодинамики в предположении изотермичности процесса деформирования стержня [13, 14]

$$\rho dF = qdx - \rho dg. \quad (2)$$

Здесь F – свободная энергия; $dg \geq 0$ – так называемое некомпенсированное тепло; ρ – плотность материала; qdx – элементарная работа силы, растягивающей стержень. В данном случае параметрами, определяющими термодинамическое состояние стержня, являются x^e , x^p – упругая и остаточная составляющие полного удлинения x , выявляемые по результатам разгрузки, и ω – параметр, характеризующий

степень поврежденности стержня микродефектами. В приведенных выше моделях упругие свойства стержня не зависят от пластических деформаций. Тогда $F = F(x^e, \omega)$ и, учитывая равенство (1), выражение (2) можно после раскрытия дифференциалов переписать в виде

$$(\rho F_{,x}^e - q)dx^e + (\rho F_{,\omega} d\omega - qdx^p + \rho dg) = 0;$$

отсюда [12, 13]

$$q = \rho F_{,x}^e,$$

$$\rho dg = qdx^p - \rho F_{,\omega} d\omega = dg^p + dg^{\omega}.$$

Здесь $dg^p \geq 0$ – механическая диссипация энергии вследствие пластической деформации; $dg^{\omega} \geq 0$ – диссипация континуального разрушения [14].

Функция свободной энергии определяет ту часть внутренней энергии, которая остается после диссипации. Для рассматриваемого процесса деформирования стержня ее можно записать в виде

$$F = \rho^{-1}(0,5\lambda x^e x^e - \omega 0,5\lambda x^e x^e),$$

где первый член равен потенциальной энергии упругих деформаций после механической диссипации энергии, а второй член – величине энергии, потерянной вследствие диссипации континуального разрушения. Тогда, используя равенство (1), получаем для партипластического стержня

$$q = \rho F_{,x}^e = \lambda x^e - \omega \lambda x^e =$$

$$= \lambda(1 - \omega)(x - x^p) = \lambda^u x^e, \quad (3)$$

$$dg^{\omega} = -\rho F_{,\omega} d\omega = 0,5\lambda x^e x^e d\omega,$$

где $\lambda^u = \lambda(1 - \omega)$ – модуль разгрузки партипластического материала, изменение которого связано с континуальным разрушением, определяемым поврежденностью ω . Из выражения (3) для упругопластического стержня ($\omega = 0$, $\lambda^u = \lambda$) получаем

$$q = \lambda(x - x^p), \quad (4)$$

а для упругохрупкого ($x^p = 0$, $\lambda^u = \lambda^s$),

$$q = \lambda(1 - \omega)x = \lambda^s x. \quad (5)$$

Отсюда же имеем

$$\omega = 1 - \frac{\lambda^u}{\lambda} \quad (6)$$

и

$$d\omega = -\lambda^{-1} d\lambda^u. \quad (7)$$

Причем в силу того, что функция $q(x)$ – кусочно-гладкая, при определении дифференциалов используется производная справа.

Далее, используя равенство (3), находим

$$dq = \lambda(1 - \omega)(dx - dx^p) - \lambda(x - x^p)d\omega.$$

С другой стороны, $dq = q_{,x} dx = \lambda^p dx$. Приравняв выражения для dq , получаем дифференциальное уравнение

$$(x - x^p)\omega_{,x} + \omega(1 - x_{,x}^p) =$$

$$= 1 - \lambda^p \lambda^{-1} - x_{,x}^p \quad (8)$$

с начальными условиями $\omega(x = 0) = 0$, $x^p(0) = 0$, $\lambda^p(0) = \lambda$. Преобразуя его с учетом равенства (7), имеем

$$x_{,x}^p = 1 - \lambda^p (\lambda^u)^{-1} + (x - x^p) (\lambda^u)^{-1} \lambda_{,x}^u. \quad (9)$$

Для упругопластического тела ($\omega = 0$) из выражения (8) получаем

$$x_{,x}^p = 1 - \lambda^p \lambda^{-1}.$$

Интегрируя, находим

$$x^p = x - \frac{1}{\lambda} \int_0^x \lambda^p dx \quad \left(\int_0^x \lambda^p dx = q(x) \right). \quad (10)$$

Для упругохрупкого тела ($x^p = 0$),

$$x\omega_{,x} + \omega = 1 - \lambda^p \lambda^{-1} \left(d(x\omega) = \left(1 - \frac{\lambda^p}{\lambda} \right) dx \right)$$

и, учитывая равенства $dq = \lambda^p dx$, $\lambda^s = \frac{q}{x}$, имеем

$$\omega = 1 - \frac{\lambda^s}{\lambda} = 1 - \frac{1}{\lambda X} \int_0^x \lambda^p dx. \quad (11)$$

Наконец, решая уравнения (8), (9), находим, что

$$x^p = x - \frac{1}{\lambda^u} \int_0^x \lambda^p dx. \quad (12)$$

Уравнения (8) и (9) определяют кинетику совместного формирования по-

врежденности и пластических деформаций, как и равенства (6) и (12). Уравнение (10) – кинетику развития пластических деформаций при отсутствии поврежденности (микроразрушений), а уравнение (11) – кинетику поврежденности при отсутствии пластических деформаций.

Теперь, если $\omega = 0$ (упругопластический материал), то с использованием равенства (10) имеем

$$\begin{aligned} dg^p &= qdx^p = q\left(1 - \frac{\lambda^p}{\lambda}\right)dx = \\ &= q\left(1 - \frac{\lambda^p}{\lambda}\right)\frac{dq}{\lambda^p}, dg^a = 0. \end{aligned}$$

Величина dg^p положительна как на стадии упрочнения ($\lambda > \lambda^p > 0$, $dq > 0$), так и на стадии разупрочнения ($\lambda^p < 0$, $dq < 0$). Для упругохрупкого материала ($x^e = x$, $dg^p = 0$) с учетом равенства (11) находим, что $dg^w = 0,5\lambda x^2 d\omega = 0,5x^2(-d\lambda^s)$. Тогда $dg^w \geq 0$, когда $d\lambda^s \leq 0$, а это действительно выполняется. Аналогичные рассуждения показывают, что $dg^p \geq 0$, $dg^w \geq 0$ и в случае партипластического материала.

Таким образом, положительность диссипации свидетельствует о непротиворечивости законам термодинамики приведенных выше моделей разупрочняющихся материалов, из которых изготовлены растягиваемые стержни.

Наконец, естественно полагать, что материал разрушен, если он уже не может диссипировать подводимую извне энергию, т.е. $dg^p = 0$, $dg^w = 0$. Для упругопластического материала при разрушении $dg^p = qdx^p = 0$. Так как $dx^p \neq 0$, то $q = 0$ – разрушение происходит при нулевом растягивающем стержень усилии ($x = x^Z$). Подставляя в формулу (3) значения $\omega = 0$, $q = 0$, получаем равенство $x = x^p$. То есть после разрушения необратимое удлинение стержня, подсчитанное формальным образом, совпадает с полным, а упругая составляющая отсутствует.

Если $x^p = 0$ (релаксация только за счет микроразрушения), то $dg^w = \frac{1}{2}\lambda x d\omega = 0$.

Тогда $d\omega = 0$, то есть поврежденность материала при разрушении достигает постоянного значения. Используя равенство (7), где в данном случае $\lambda^u = \lambda^s$, находим, что $d\lambda^s = 0$ и $\lambda^s = \text{const}$. При возрастающем удлинении это возможно только в одном случае – когда секущий модуль λ^s обращается в нуль. Тогда из равенства (6) вытекает, что при разрушении $\omega = 1$. Так как $q = \lambda^s x$, то при разрушении $q = 0$ ($x = x^Z$).

Уравнения равновесия механической системы

При растяжении стержневой системы (рис. 1) по жесткой схеме нагружения лагранжиан, описывающий поведение системы, имеет вид

$$W^U = \int_0^x q dx + \frac{c}{2}(u-x)^2 \quad [14, 15].$$

уравнение равновесия

$$W_{,x}^u = q - c(u-x) = 0. \quad (13)$$

Когда реализуется мягкое нагружение, то лагранжиан равен $W^p = W^u -$

$$- \int_0^u p du \quad [14, 15]$$

и равновесие определяется двумя уравнениями

$$W_{,x}^p = q - c(u-x) = 0, \quad (14)$$

$$W_{,u}^p = c(u-x) - p = 0.$$

Далее в случае упругопластического стержня AB (рис. 1) в равенства (13) и (14) вместо $q(x)$ подставляем его выражение (4) и к уравнениям равновесия добавляем соотношение (10). Для упругохрупкого стержня $q(x)$ заменяем выражением (5) и добавляем соотношение (11). Наконец, если стержень партипластический, то следует использовать равенства (3) и (12).

Схема простых итераций

Одним из эффективных методов решения нелинейных уравнений является метод простых итераций [16]. Для его реализации уравнения равновесия

необходимо представить в специальном виде. Начнем с задачи растяжения стержня из упругопластического материала. При жестком нагружении имеем уравнение равновесия

$$\lambda(x - x^p)(x) - c(u - x) = 0 \quad (15)$$

или $x = \psi(x)$, где $\psi(x) = cu(\lambda + c)^{-1} + \lambda x^p(x) \times (\lambda + c)^{-1}$. Решение уравнения (15) определяется итерационной схемой $x_{n+1} = \psi(x_n)$. Если осуществляется мягкое нагружение, то к уравнению (15) добавляется второе уравнение из (14). Эти два уравнения можно представить в виде $x = \psi_1(x)$ и $u = \psi_2(x)$, где $\psi_1(x) = p\lambda^{-1} + x^p(x)$, $\psi_2(x) = p(c + \lambda)(c\lambda)^{-1} + x^p(x)$. Тогда простые итерации представляют собой рекуррентные равенства $x_{n+1} = \psi_1(x_n)$, $u_{n+1} = \psi_2(x_n)$.

Когда растягиваемый стержень изготовлен из упругохрупкого материала, то уравнение равновесия (жесткое нагружение) имеет вид

$$\lambda(1 - \omega)x - c(u - x) = 0 \quad (16)$$

или $x = \varphi(x)$, где $u(x) = cu(\lambda^s + c)^{-1}$ ($\lambda^s = \lambda(1 - \omega)$). Отсюда простые итерации заданы равенствами $x_{n+1} = \varphi(x_n)$. Если имеет место мягкое нагружение, то к уравнению (16) добавляем второе уравнение из (14). Полученную систему можно представить в виде $x = \varphi_1(x)$ и $u = \varphi_2(x)$, где $\varphi^1(x) = p[\lambda(1 - \omega)]^{-1} = p/\lambda^s$, $\varphi^2 = p[c + \lambda(1 - \omega)][c\lambda(1 - \omega)]^{-1} = p(c + \lambda^s) \times (c\lambda^s)^{-1}$. Простые итерации заданы рекуррентными равенствами $x_{n+1} = \varphi_1(x_n)$, $u_{n+1} = \varphi_2(x_n)$.

Наконец, для механической системы с партипластическим растягиваемым стержнем имеем уравнение равновесия (жесткое нагружение)

$$\lambda u(x - x^p) - c(u - x) = 0 \quad (17)$$

или $x = \gamma(x)$, где $\gamma(x) = [\lambda^u(x)x^p(x) + cu] \times [\lambda^u(x) + c]^{-1}$. Простые итерации есть соотношения $x_{n+1} = \gamma(x_n)$. При мягком нагружении добавляем к уравнению (17) второе уравнение из (14). Система представляется в виде $x = \gamma_1(x)$ и $u = \gamma_2(x)$, где $\gamma_1(x) = p(\lambda^u)^{-1} + x^p(x)$, $\gamma_2(x) = p(c + \lambda^u) \times (c\lambda^u)^{-1} + x^p(x)$. Простые итерации есть $x_{n+1} = \gamma_1(x_n)$, $u_{n+1} = \gamma_2(x_n)$.

Определение равновесных состояний системы с упругопластическим разупрочняющимся стержнем

Пусть при $u = u_0$ (жесткое нагружение) имеется положение равновесия с параметрами $x = x_0$, $x_0^p = x^p(x_0)$, $\lambda_0^p = \lambda^p(x_0)$. Возмутим это равновесие, увеличив перемещение u_0 на Δu , и найдем решение уравнения (15) для $u_1 = u_0 + \Delta u$. Воспользуемся методом простых итераций $x_{n+1} = \psi(x_n)$, где в выражение для ψ подставлено значение $u = u_1$. За начальное приближение принимаем $x = x_0$. Известно [16, 17], что метод сходится, если функция ψ удовлетворяет условия Липшица $|\psi(x_2) - \psi(x_1)| \leq k|x_2 - x_1|$ с константой $k = \sup_x |\psi_{,x}| < 1$, так как в этом случае реализуется принцип сжимающих отображений.

Вычислим производную функции ψ , используя равенство (10). Имеем:

$$\begin{aligned} h = \psi_{0x} &= \frac{\lambda}{\lambda + c} x_{x_0}^p = \\ &= \frac{\lambda}{\lambda + c} \left(1 - \frac{\lambda^p}{\lambda} \right) = \frac{\lambda - \lambda^p}{\lambda + c}. \end{aligned}$$

Если в ходе итераций $\lambda^p > -c$, то $h < 1$, и процесс сходится к искомому решению уравнения (15). Когда достигается значение $\lambda^p \leq -c$, то процесс начинает расходиться.

Начиная процесс догружения с положения равновесия при $u = 0$, в результате вычислений характеристик все новых положений равновесия получаем кривую равновесных состояний (рис. 3). В зависимости от наклона падающей ветви диаграммы растяжения стержня AB (рис. 2) возможны два варианта.

В первом уравнение $\lambda^p(x) = -c$ не имеет решения (падающая ветвь диаграммы растяжения разупрочняющегося стержня достаточно пологая). В этом случае кривая равновесных состояний монотонно возрастает (кривая 1 на рис. 3). Таким образом, уравнение (15) при любом значении u имеет только одно решение.

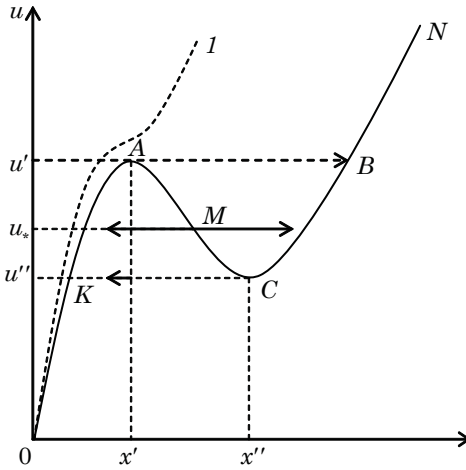


Рис. 3. Качественный вид кривой равновесных состояний системы при жестком нагружении

Во втором варианте уравнение $\lambda^p(x) = -c$ имеет два решения $x\check{1}$, $x\check{a}$. В процессе догружения кривая равновесных состояний достигает точки A (рис. 1), где $\lambda^p(x\check{1}) = -c$, $u\check{1} = u(x\check{1})$. После возмущения этого равновесия итерационный процесс сразу начинает расходиться. Однако на каком-то шаге, когда x_n превысит значение $x\check{a}$, λ_n^p становится больше $(-c)$ и расходимость сменяется сходимостью. В результате последовательных приближений значения x пробегает по прямой AB и в точке B процесс заканчивается (рис. 3). Следовательно, для $u = u\check{1}$ существуют два положения равновесия (два решения уравнения (15)). В работе [15] было установлено, что равенство $\lambda^p = -c$ является условием потери устойчивости процесса растяжения рассматриваемой механической системы. То есть начало расходимости итерационного процесса совпадает с потерей устойчивости растяжения.

Отсюда справедлив следующий критерий устойчивости положения равновесия.

Если при возмущении равновесного состояния итерационный процесс метода простых итераций начинает расходиться, то данное равновесие является неустойчивым и система скачкообразно

переходит в другое устойчивое положение равновесия.

Отсюда равновесие, отвечающее точке A, неустойчивое, а точке B устойчивое (рис. 3). Продолжая постепенное увеличение параметра $u > u'$, получаем решения уравнения (15), отвечающие устойчивым равновесиям (ветвь BN, рис. 3).

Исследуем теперь возможность существования других решений уравнения (15). Для этого после достижения точки B будем проводить возмущение равновесия, уменьшая значения u ($\Delta u < 0$). Тогда в ходе итераций получаем убывающую последовательность x_n . В этом случае при вычислении λ_n^p и, следовательно, x_n^p , формально полагаем, что уменьшение x не есть разгрузка, и усилие в стержне AB изменяется только в соответствии с функцией $q(x)$. Производя вычисления при сжимающемся значении u , находим точку C с координатами $(x\check{a}, u\check{a} = u(x\check{a}))$ (рис. 3), где $\lambda^p = -c$. Это точка неустойчивого равновесия. При дальнейшем уменьшении параметра u система скачком переходит в устойчивое состояние (точка K) (рис. 3). Отсюда уравнение (15) при $u = u\check{a}$ имеет два решения. Одно соответствует точке C (неустойчивость), другое точке K (устойчивое равновесие).

Итак, установлено, что для каждого u из интервала $(u\check{a}, u\check{1})$ уравнение (15) уже имеет два решения, которые отвечают устойчивым положениям равновесия, когда $x < x\check{1}$, $x > x\check{a}$. Найдем решение $x_* \in (x\check{1}, x\check{a})$ такое, которое удовлетворяет уравнению $f(x) = \lambda(x - x^p) - c(u_* - x) = 0$, где $u_* \in (u\check{a}, u\check{1})$. Применим метод половинного деления [16]. За один шаг метода промежуток существования корня сокращается ровно вдвое. Поэтому, если за k -е приближение к корню x_* примем точку x_k , являющуюся серединой полученного на k -м шаге отрезка $[x_{k-1}, x_{k+1}]$ в результате последовательного сужения отрезка $[x\check{1}, x\check{a}]$, то придем к неравенству $|x_* - x_k| < (x\check{a} - x\check{1})/2^k$ ($k = 1, 2, \dots$). Причем всегда $f(x_{k-1})f(x_{k+1}) < 0$. Процесс заканчиваем тогда, когда $|f(x_{k-1}) + f(x_{k+1})| < \epsilon$ (ϵ – достаточно малая величина). Таким образом, получаем приближенное

решение с необходимой степенью точности. Ему отвечает точка M на рис. 3. Выбирая различные значения u_* , получаем приближенные решения уравнения (15), которым отвечают точки кривой равновесных состояний AC (рис. 3). Это точки неустойчивого равновесия, так как в этих положениях равновесия $\lambda_0^p < -c$. При возмущении таких равновесий на Δu простые итерации в конце концов сходятся к устойчивым равновесиям, отвечающим точкам ветви CB (рис. 3), а при возмущении $(-\Delta u)$ – к устойчивым равновесиям, отвечающим точкам ветви KM (рис. 3).

Отметим, что лагранжиан, описывающий поведение системы, имеет в точках ветвей OA и CN (кроме точек A и C) минимум, а в точках ветви AC – максимум.

Рассмотрим теперь мягкое нагружение системы. Пусть при $p = p_0$ она находится в равновесии. Возмутим это равновесие, увеличив нагрузку на Δp . Решение уравнений равновесия для $p_1 = p_0 + \Delta p$ будем искать методом простых итераций $x_{n+1} = \psi_1(x_n) = p_1 \lambda^{-1} + x^p(x_n)$, $u_{n+1} = \psi_2(x_n) = p_1(c + \lambda) \times (c\lambda)^{-1} + x^p(x_n)$. За начальное приближение берем параметры возмущаемого равновесия. Условие Липшица в данном случае представляет неравенство $|\Psi(x_2) - \Psi(x_1)| \leq L|x_2 - x_1|$, где $\Psi(x)$ вектор с компонентами $\{\psi_1(x), \psi_2(x)\}$, $L = \sup_x \{|\psi_{1,x}|, |\psi_{2,x}|\}$. Далее

$$\psi_{1,x} = x_{,x}^p = 1 - \frac{\lambda^p}{\lambda}, \quad \psi_{2,x} = 1 - \frac{\lambda^p}{\lambda}.$$

Тогда $L < 1$ при $\lambda^p > 0$, и итерационный процесс сходится. Когда $\lambda^p < 0$ ($L \geq 1$), итерации расходятся.

Начиная процесс догружения с положения равновесия при $p = 0$, в результате вычислений параметров все новых положений равновесия получаем кривую равновесных состояний OD (рис. 4).

При возмущении отвечающего точке D равновесия, в котором $\lambda^p = 0$, итерации расходятся, так как после возмущения все $\lambda_n^p < 0$. Тогда $x \rightarrow \infty$, $u \rightarrow \infty$, и нового равновесного состояния не существует. Равновесие в точке D при

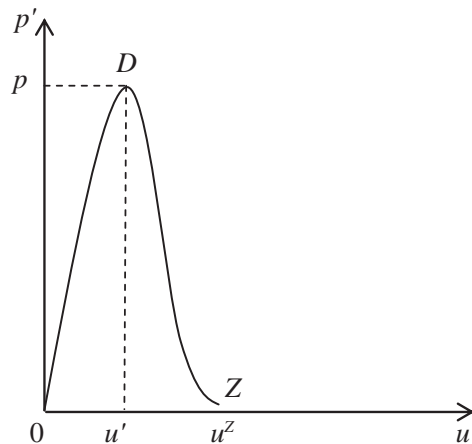


Рис. 4. Качественный вид кривой равновесных состояний системы при мягком нагружении

$p = p\checkmark$ неустойчивое. Таким образом, неустойчивость равновесия опять связано с расходимостью итерационного процесса после его возмущения.

Итак, уравнения равновесия при $p \in [0, p\checkmark]$ имеют, по крайней мере, одно решение (для $p = p\checkmark$ – всего одно). Когда $p = 0$ – два решения: одно тривиальное ($x = x^p = u = 0$), другое $x = x^z = u^z = x^p(x^z)$. Преобразуем систему уравнений равновесия к одному уравнению $F = \lambda(x - x^p) - p^* = 0$ и рассмотрим возможность его решения на интервале $(x\checkmark, x^z)$. Здесь $x\checkmark$ отвечает $u\checkmark(x\checkmark, u\checkmark)$ – решение уравнений равновесия при $p = p\checkmark$. Применим метод половинного деления [16]. Имеем $|x_* - x_k| < (x^z - x^p)/2^k$. Здесь x^* – корень уравнения $F = 0$, x_k – середина полученного на k -м шаге отрезка $[x_{k-1}, x_{k+1}]$. Причем всегда $|F(x_{k-1}) + F(x_{k+1})| < \epsilon$. После определения приближенного значения корня x_* , из второго уравнения системы уравнений равновесия находим $u_* = p_*/c + x$. Производя вычисления для различных p_* , получаем совокупность точек (p_*, u_*) , которая образует ветвь DZ кривой $p(u)$ (рис. 4). Таким образом, система уравнений равновесия для $p \in (0, p\checkmark)$ имеет два решения. Отметим, что положения равновесия, отвечающие точкам ветви DZ , неустойчивые, так как при любом их возмущении описанная

выше итерационная процедура расхо- дится ($\lambda_n^p < 0$).

Равновесные состояния системы с упругохрупким разупрочняющимся стержнем

Если растягиваемый стержень *AB* изготовлен из упругохрупкого разупрочняющегося материала, то в случае жесткого нагружения системы уравнение равновесия задано равенством (16). Пусть система находится в равновесии при $u = u_0$. Возмутим это равновесие, увеличив перемещение на Δu , и будем искать решение уравнения (16) для $u_1 = u_0 + \Delta u$. Применим метод простых итераций $x_{n+1} = \varphi(x_n)$, где $\varphi(x) = cu_1/(\lambda^s + c)$. Условие Липшица тогда имеет вид $|\varphi(x_2) - \varphi(x_1)| \leq k_1 |x_2 - x_1|$ с константой $k_1 = \sup_x |\varphi_{,x}|$. Вычислим производную функции φ в силу уравнения (16). Находим

$$\begin{aligned} b(x) &= \varphi_{,x} = cu_1(-\lambda_{,x}^s)(\lambda^s + c)^{-2} = \\ &= cu_1(\lambda^s - \lambda^p)x^{-1}(\lambda^s + c)^{-2} = \\ &= (\lambda^s - \lambda^p)(\lambda^s + c)^{-1}. \end{aligned}$$

Здесь $\lambda^s = q_{,x}$, $\lambda_{,x}^s = (\lambda^p - \lambda^s)x^{-1}$, $cu_1(\lambda^s + c)^{-1}x^{-1} = 1$ в силу уравнения (16). Если в ходе итераций $\lambda_n^p = -c$, то $b < 1$ ($k_1 < 1$) и в процессе сходится к искомому решению уравнения (16). Когда достигается значение $\lambda_u^p \leq -c$, то процесс начинает расходиться. Однако после нескольких итераций снова будет $\lambda^p > -c$ и начинается сходимость.

Начиная догружения с положения равновесия, при $u = 0$ получаем кривую равновесных состояний *OA* (рис. 3). Возмущая равновесия, отвечающие точке *A*, получаем расходящийся итерационный процесс (положение равновесия неустойчивое), который с некоторого момента начинает сходиться к устойчивому равновесию (точка *B*). Затем находим равновесные состояния, отвечающие точкам кривой *BN* (рис. 3). Устойчивые (кривая *BC*) и неустойчивые (кривая *AC*) равновесия определяем так же, как и в предыдущем разделе.

В случае мягкого нагружения после возмущения некоторого равновесия при $p = p_0$ для определения параметров нового положения равновесия (решение уравнений равновесия) для $p_1 = p_0 + \Delta p$ опять используем метод простых итераций. Имеем $x_{n+1} = p_1/\lambda^s(x_n) = \varphi_1(x_n)$, $u_{n+1} = p_1(c + \lambda^s)/c\lambda^s = \varphi_2(x_n)$. Условие Липшица $|\Phi(x_2) - \Phi(x_1)| \leq L_1 |x_2 - x_1|$. Здесь $\Phi(x)$ – вектор с компонентами $\{\varphi_1(x), \varphi_2(x)\}$, $L_1 = \sup_x \{|\varphi_{1,x}|, |\varphi_{2,x}|\}$. В силу уравнений равновесия находим

$$\begin{aligned} \varphi_{1,x} &= p_1(\lambda^s)^{-2}(-\lambda_{,x}^s) = \\ &= -p_1(\lambda^s)^{-2}\left(\frac{q}{x}\right)_{,x} = \\ &= -p_1(\lambda^s)^{-2}(\lambda^p - \lambda^s)x^{-1} = \\ &= \frac{p_1}{(\lambda^s)^2 x}(\lambda^p - \lambda^s) = 1 - \frac{\lambda^p}{\lambda^s}, \\ \varphi_{2,x} &= \left(\frac{p_1}{\lambda^s}\right)_{,x} = -p_1 \frac{\lambda_{,x}^s}{(\lambda^s)^2} = \\ &= -\frac{x}{\lambda^s} \left(\frac{\lambda^p x - q}{x^2}\right)_{,x} = 1 - \frac{\lambda^p}{\lambda^s}. \end{aligned}$$

Здесь $p_1/\lambda_s = x$, $\lambda^s = q/x$, $q_{,x} = \lambda^p$. Отсюда $L_1 < 1$ при $\lambda^p > 0$ ($\lambda^p < \lambda^s$), и итерационный процесс сходится. Когда $\lambda^p < 0$ ($L_1 \geq 1$), итерации расходятся. Построение кривой равновесных состояний (кривая *ODZ*, рис. 4) осуществляется аналогично тому, как это было сделано в предыдущем разделе.

Равновесные состояния системы с партипластическим разупрочняющимся стержнем

Наконец, растягиваемый стержень изготовлен из партипластического материала. При жестком нагружении уравнение равновесия задано равенством (17). Исследуем сходимость метода простых итераций в данном случае. Имеем $x_{n+1} = \gamma(x_n)$, где $\gamma(x) = [\lambda u(x)x^p(x) + cu] \times [\lambda^u(x) + c]^{-1}$. Условие Липшица в данном случае имеет вид $|\gamma(x_2) - \gamma(x_1)| \leq k_2 |x_2 - x_1|$ с константой $k_2 = \sup_x |\gamma_{,x}|$. Вычислим производную функции γ в силу уравнений (17) и (9) находим

$$\begin{aligned} \gamma_{2,x} &= \frac{1}{(\lambda^u + c)^2} \left[(\lambda_{2,x}^u x^p + \lambda_{2,x}^u x_{2,x}^p)(\lambda^u + c) - \right. \\ &- (\lambda^u x^p + cu)\lambda_{2,x}^u \left. \right] = \frac{1}{(\lambda^u + c)^2} \times \\ &\times \left[\lambda^u (\lambda^u + c) \left(1 - \frac{\lambda^p}{\lambda^u} + \frac{x - x^p}{\lambda^u} \lambda_{2,x}^u \right) + \right. \\ &+ cx^p \lambda_{2,x}^u - cu \lambda_{2,x}^u \left. \right] = \frac{\lambda^u - \lambda^p}{\lambda^u + \lambda} + \frac{1}{(\lambda^u + \lambda)^2} \times \\ &\times \left[\lambda^u (x - x^p) - (u - x) \right] \lambda_{2,x}^u. \end{aligned}$$

Второе слагаемое равно нулю в силу уравнения (17). Отсюда $\gamma_{2,x} = (\lambda^u - \lambda^p) \times (\lambda^u + c)^{-1}$. Итерации сходятся, если в ходе приближений $\lambda_n^p > -c$ ($k_2 < 1$). Когда достигается значение $\lambda_n^p \leq -c$, то процесс начинает расходиться. Отметим, что построение кривой равновесных состояний (кривая *OACBN*, рис. 3) и анализ устойчивости производятся аналогично изложенному выше.

При мягком нагружении, применяя для решения уравнений равновесия, метод простых итераций имеем $x_{n+1} = \gamma_1(x_n) = p(\lambda^u(x_n))^{-1} + x^p(x_n)$, $u_{n+1} = \gamma_2(x_n) = p(c + \lambda^u(x_n))(c\lambda^u(x_n))^{-1} + x^p(x_n)$. Условие Липшица $|\Gamma(x_2) - \Gamma(x_1)| \leq L_2 |x_2 - x_1|$, где $\Gamma(x)$ – вектор с компонентами $\{\gamma_1(x), \gamma_2(x)\}$, $L_2 = \sup_x \{|\gamma_{1,x}|, |\gamma_{2,x}|\}$. В силу

уравнений равновесия и равенства (9) находим

$$\begin{aligned} \gamma_{1,x} &= -\frac{p}{(\lambda^u)^2} \lambda_{2,x}^u + x_{2,x}^p = -\frac{p}{(\lambda^u)^2} \lambda_{2,x}^u + \\ &+ \left(1 - \frac{\lambda^p}{\lambda^u} + \frac{x - x^p}{\lambda^u} \lambda_{2,x}^u \right) = \\ &= \left(1 - \frac{\lambda^p}{\lambda^u} \right) + \frac{1}{(\lambda^u)^2} \left[\lambda^u (x - x^p) - p \right] \lambda_{2,x}^u = \\ &= 1 - \frac{\lambda^p}{\lambda^u}; \end{aligned}$$

$$\begin{aligned} \gamma_{2,x} &= \frac{p}{c} \frac{\lambda_{2,x}^u \lambda^u - (c - \lambda^u) \lambda_{2,x}^u}{(\lambda^u)^2} + x_{2,x}^p = \\ &= -\frac{p}{(\lambda^u)^2} \lambda_{2,x}^u + \left(1 - \frac{\lambda^p}{\lambda^u} + \frac{x - x^p}{\lambda^u} \lambda_{2,x}^u \right) = \\ &= \frac{1}{(\lambda^u)^2} \lambda_{2,x}^u (\lambda(x - x^p) - p) + 1 - \frac{\lambda^p}{\lambda^u} = 1 - \frac{\lambda^p}{\lambda^u}. \end{aligned}$$

Здесь $\lambda^u (x - x^p) - p = 0$ в силу системы уравнений равновесия. Итерации сходятся, если в ходе приближений $\lambda_n^p > 0$ ($L_2 < 1$). При $\lambda_n^p < 0$ итерации расходятся. Построение кривой равновесных состояний (кривая *ODZ*, рис. 4) и анализ устойчивости проводятся аналогично изложенному ранее при исследовании системы с упругопластическим разупрочняющимся стержнем. ■

Литература

1. Вильдеман В. Э., Чаусов Н. Г. Условия деформационного разупрочнения материала при растяжении опытного образца специальной конструкции // Заводская лаборатория. Диагностика материалов. 2007. Т. 73, № 10. С. 55–59. ISSN 1028-6861.
2. Чаусов Н. Г. Полная диаграмма деформирования как источник информации о кинетике накопления повреждений и трещиностойкости материалов // Заводская лаборатория. Диагностика материалов. 2004. Т. 70, № 7. С. 42–49. ISSN 1028-6861.
3. Лебедев А. А., Чаусов Н. Г., Евецкий Ю. Л. Методика построения полных диаграмм деформирования листовых материалов // Проблемы прочности. 1986. № 9. С. 29–32. ISSN 0556-171X.
4. Вильдеман В. Э., Третьяков М. П. Испытание материалов с построением полных диаграмм деформирования // Проблемы машиностроения и надежности машин. 2013. № 2. С. 93–98. ISSN 0235-7119.
5. Андреева Е. А. решение одномерных задач пластичности для разупрочняющегося материала // Вестн. СамГТУ. Сер. : Физ.-мат. науки. 2008. № 2 (17). С. 152–160. ISSN 1991-8615.
6. Стружанов В. В., Башуров В. В. Модификационная модель Мазинга // Вестн. СамГТУ. Сер. Физ.-мат. науки. 2007. № 1 (14). С. 29–39. ISSN 1991-8615.
7. Стружанов В. В., Миронов В. И. Деформационное разупрочнение материала в элементах конструкций. Екатеринбург : УрО РАН. 1995. 191 с.
8. Тарабарин Г. Т. Редукционная модель процесса растяжения хрупкого материала и вопросы расчета с полной диаграммой растяжения // Бетон и железобетон. 1994. № 4. С. 22–26. ISSN 0005-9889.

9. Рыжак Е.И. Об устойчивом закритическом деформировании в нежесткой трехосной испытательной машине // ДАН. 1993. Т. 330. № 2. С. 197–199.
10. Стружанов В.В. Определение инкрементальных модулей по результатам испытаний на растяжение с построением полной диаграммы // Вестн. Сам. гос. техн. ун-та. Сер. : Физ.-мат. науки. 2008. № 1 (16). С. 160–163. ISSN 1991-8615.
11. Качанов Л.М. Основы теории пластичности. М. : Наука. 1969. 420 с.
12. Стружанов В.В., Башуров В.В. Модифицированная модель Мазинга // Вестн. Сам. гос. техн. ун-та. Серия : Физ.-мат. науки. 2007. № 1 (14). С. 29–39. ISSN 1991-8615.
13. Седов Л.И. Механика сплошной среды Т. 1. М. : Наука, 1970. 492 с.
14. Кисилев А.Б., Юмашев М.В. Деформирование и разрушение при ударном нагружении. Модель повреждаемой термоупругопластической среды // ПМТФ. 1990. № 5. С. 116–123.
15. Стружанов В.В., Коркин А.В. Об устойчивости процесса растяжения одной стержневой системы с разупрочняющимися элементами // Вестник УрГУПС. 2016. № 3 (31). С. 4–17. ISSN 2079-0392.
16. Вержбицкий В.М. Численные методы (линейная алгебра и нелинейные уравнения). М. : Высшая школа. 200. 266 с.
17. Колмогоров А.Н., Фомин С.В. Элементы теории функций и функционального анализа. М. : Наука. 1989. 624 с.
18. Lin F.B., Yan G.Y., Bazant Z.P., Ding F. Nonlocal strain – softening model of quasibrittle materials using boundary element method. Engineering Analysis with Boundary Elements. 2002. № 26. Pp. 417–424.
19. Simo J.C., Oliver J., Amero K. Analysis of strong discontinuities induced by strain-softening in rate-independent inelastic solids // Comput. Mech. 1993. № 12. Pp. 227–296.
20. Bazant Z.P. Mechanics of distributed cracking // Appl. Mech. Rev. v. 39 № 5. Pp. 675–705.
21. Andersson B.H., Bergkvist H. Analysis of non-linear crack model // J. mech. Phys. Solids. 1970. V. 18. Pp. 1–28.

Literature

1. Vil'deman V. E.H., CHausov N.G. Usloviya deformacionnogo razuprochneniya materiala pri rastyazhenii opytnogo obrazca special'noj konstrukcii [Vildeman V. E., Chausov N. G. Conditions of deformation softening of a material during stretching of a prototype of a special design] // Factory laboratory. Diagnosis of materials. 2007. P. 73, № 10. Pg. 55–59. ISSN 1028-6861.
2. CHausov N. G. Polnaya diagramma deformirovaniya kak istochnik informacii o kinetike nakopleniya povrezhdenii i treshchinostojkosti materialov [Chausov N. G. The complete diagram of deformation as a source of information on the kinetics of damage accumulation and crack resistance of materials] // Factory laboratory. Diagnosis of materials. 2004. P. 70. № 7. Pg. 42–49. ISSN 1028-6861.
3. Lebedev A.A., CHausov N.G., Eveckij YU.L. Metodika postroeniya polnyh diagramm deformirovaniya listovyh materialov [Lebedev A.A., Chausov N.G., Yevetskiy Yu. L. A technique for constructing complete diagrams of deformation of sheet materials] // Problems of strength. 1986. № 9. Pg. 29–32. ISSN 0556-171X.
4. Vil'deman V. E.H., Tret'yakov M. P. Ispytanie materialov s postroeniem polnyh diagramm deformirovaniya [Vildeman V. E., Tretyakov M. P. Testing of materials with the construction of complete deformation diagrams] // Problems of machine building and machine reliability. 2013. № 2. Pg. 93–98. ISSN 0235-7119.
5. Andreeva E. A. reshenie odnomernyh zadach plastichnosti dlya razuprochnyayushchegosya materiala [Andreeva E. A. Solution of one-dimensional plasticity problems for a softening material]. Vestn. SamSTU. Ser. : Phys.-math. sciences. 2008. № 2 (17). Pg. 152–160. ISSN 1991-8615.
6. Struzhanov V.V., Bashurov V.V. Modifikacionnaya model' Mazinga [Struzhanov V.V., Bashurov V.V. Mazing's modification mode] // Vestn. SamSTU. Ser. Phys.-math. sciences. 2007. № 1 (14). Pg. 29–39. ISSN 1991-8615.
7. Struzhanov V.V., Mironov V.I. Deformacionnoe razuprochnenie materiala v ehlementah konstrukcij [Struzhanov V.V., Mironov V.I. Deformation softening of the material in structural elements]. Ekaterinburg: UrB RAS. 1995. 191 pg.
8. Tarabarin G.T. Redukcionnaya model' processa rastyazheniya hrupkogo materiala i vyprosy rascheta s polnoj diagrammoj rastyazheniya [Tarabarin G. T. Reduction model

- of the process of elongation of brittle material and calculation requests with a full stretch diagram] // Concrete and reinforced concrete.1994. № 4. Pg. 22–26. ISSN 0005-9889.
9. Ryzhak E.I. Ob ustojchivom zakriticheskom deformirovanii v nezhestkoj trekhosnoj ispytatel'noj mashin [Ryzhak E.I. On stable supercritical deformation in a non-rigid triaxial test machine] // DAN. 1993. P. 330. № 2. Pg. 197–199.
 10. Struzhanov V.V. Opredelenie inkremental'nyh modulej po rezul'tatam ispytaniy na rastyazhenie s postroeniem polnoj diagrammy [Struzhanov V.V. Determination of incremental modules from the results of tensile tests with the construction of a complete diagram] // Vestn. Himself. State. Tech. University. Ser. : Phys.-math. sciences. 2008. № 1 (16). Pg. 160–163. ISSN 1991-8615.
 11. Kachanov L.M. Osnovy teorii plastichnosti [Kachanov L.M. Fundamentals of the theory of plasticity]. M. : Science. 1969. 420 pg.
 12. Struzhanov V.V., Bashurov V.V. Modificirovannaya model' Mazinga [Struzhanov V.V., Bashurov V.V. Mazing's modification model] // Vestn. Samara State. Tech. University. Series: Phys.-math. sciences. 2007. № 1 (14). Pg. 29–39. ISSN 1991-8615.
 13. Sedov L.I. Mekhanika splushnoj sredy [Sedov L.I. Continua mechanics]. M. : Science. – P. 1. 1970. 492 pg.
 14. Kisilev A.B., YUmashev M.V. Deformirovanie i razrushenie pri udarnom nagruzhenii. Model' povrezhdaemoj termouprugoplasticheskoj sredy [Kisilev A.B., Yumashev M.V. Deformation and fracture under shock loading. Model of a damaged thermoelastic-plastic medium] // RM and AP (rational mechanics and applied physics).1990. № 5. Pg. 116–123.
 15. Struzhanov V.V., Korkin A.V. Ob ustojchivosti processa rastyazheniya odnoj sterzhnevoj sistemy s razuprochnyayushchimysya ehlementami [Struzhanov V.V., Korkin A.V. On the Stability of the Stretching Process of a Single Rod System with Weakening Elements] // UrUSURT Vestnik. 2016. № 3 (31). C. 4–17. ISSN 2079-0392.
 16. Verzhbickij V.M. CHislennyye metody (linejnaya algebra i nelenejnye uravneniya) [Verzhbitsky V.M. Numerical methods (linear algebra and nonlinear equations)]. M. : High school. 200. 266 pg.
 17. Kolmogorov A.N., Fomin S.V. EHlementy teorii funkcij i funkcional'nogo analiza [Kolmogorov A.N., Fomin S.V. Elements of the theory of functions and functional analysis]. M. : Science. 1989. 624 pg.
 18. Lin F.B., Yan G.Y., Bazant Z.P., Ding F. Nonlocal strain – softening model of quasibrittle materials using boundary element method. Engineering Analysis with Boundary Elements. 2002. № 26. Pp. 417–424.
 19. Simo J.C., Oliver J., Amero K. Analysis of strong discontinuities induced by strain-softening in rate-independent inelastic solids // Comput. Mech. 1993. № 12. Pp. 227–296.
 20. Bazant Z.P. Mechanics of distributed cracking // Appl. Mech. Rev. v. 39 № 5. Pp. 675–705.
 21. Andersson B. H., Bergkvist H. Analysis of non-linear crack model // J. mech. Phys. Solids. 1970. V. 18. Pp. 1–28.

Статья сдана в редакцию 1 апреля 2017 года

В.Л. Розенберг, Б.В. Дигас

Применение комплексной оптимизационной модели к изучению «зеленых» показателей российского ВВП

V. L. Rozenberg, B. V. Digas

Appliance of integrated optimization model to study «green» indicators of russian GDP

Аннотация

Эффективным симуляционным инструментом для тестирования различных сценариев социально-экономического развития региона и для изучения некоторых аспектов проблемы изменения климата является комплексная оптимизационная модель MERGE, классическая версия которой разработана учеными Стэнфордского университета. Компонентами модели служат экономико-энергетический модуль и климатический модуль и модуль оценки вероятных потерь. Основное внимание в работе уделяется адаптации модели MERGE

к современному кризисному состоянию мировой экономики и введению новой процедуры, реализующей упрощенную методику расчета так называемого «зеленого» ВВП. Аналогичные показатели могут использоваться в отраслевых моделях для оценивания эффективности стратегий развития энергетических и транспортных систем.

Главная цель численных экспериментов – тестирование возможностей России для безболезненного участия в природоохранных инициативах по снижению промышленных выбросов парниковых газов по

типу Киотского протокола и анализ экологических показателей российского ВВП и тенденций их динамики. В качестве базового источника входных данных используется прогноз социально-экономического развития России на 2017 г. и на плановый период 2018 и 2019 гг., выполненный Минэкономразвития РФ. Расчеты указывают на гипотетическую достижимость национальных целевых показателей, состоящих в непревышении к 2020–2030 гг. уровня 70–75 % от выбросов 1990 г. В то же время проблема увеличения экологической эффективности российского ВВП

Валерий Львович Розенберг, канд. физ.-мат. наук, доцент; кафедра «Естественнонаучные дисциплины» Уральского государственного университета путей сообщения; старший научный сотрудник Института математики и механики им. Н.Н. Красовского УрО РАН; Екатеринбург, Россия. E-mail: rozen@imm.uran.ru.

Борис Вадимович Дигас, канд. физ.-мат. наук, научный сотрудник Института математики и механики им. Н.Н. Красовского УрО РАН; Екатеринбург, Россия. E-mail: digas@imm.uran.ru.

Работа выполнена при финансовой поддержке Комплексной программы фундаментальных научных исследований УрО РАН (проект 15-7-1-22).

Статья рекомендована к печати П.Г. Сурковым, канд. физ.-мат. наук; Институт математики и механики им. Н.Н. Красовского УрО РАН; Екатеринбург, Россия. E-mail: platon.surkov@gmail.com.

Valeri Lvovitch Rozenberg, Candidate of phys.-math. Sciences, Associate professor; Department «Natural sciences» of Ural State University of Railway Transport; Senior Scientific employee of the Institute for Mathematics and mechanics after N. N. Krasovski Ural Department of the Russian Academy of Sciences; Ekaterinbourg, Russia. E-mail: rozen@imm.uran.ru.

Boris Vadimovitch Digas, Candidate of phys.-math. Sciences, Scientific employee of the Institute for Mathematics and mechanics after N. N. Krasovski Ural Department of the Russian Academy of Sciences; Ekaterinbourg, Russia. E-mail: digas@imm.uran.ru.

The work is done with financial support from the Complex programme of fundamental scientific research Ural Department of the Russian Academy of Sciences (project 15-7-1-22).

The article is recommended for editing from P. G. Surkov, Candidate of phys.-math. Sciences; Institute for Mathematics and mechanics after N. N. Krasovski Ural Department of the Russian Academy of Sciences; Ekaterinbourg, Russia. E-mail: platon.surkov@gmail.com.

является актуальной и требует безотлагательного решения.

Как перспективная отмечается задача учета в MERGE выбросов загрязняющих веществ передвижными источниками, главным образом, автомобильным и железнодорожным транспортом.

Ключевые слова: оптимизационная модель, сценарии развития, эмиссии парниковых газов, «зеленый» ВВП, карбоноёмкость.

DOI:10.20291/2079-0392-2017-2-17-27

Annotation

An effective simulation tool for testing various scenarios of the socio-economic development of the region and for studying some aspects of the problem of climate change is the integrated optimization model MERGE, the classical version of which was developed by scientists of Stanford

University. The components of the model are the economic-energy module, the climate module and the module for estimating probable losses. The main focus of the work is the adaptation of the MERGE model to the current crisis of the world economy and the introduction of a new procedure that implements a simplified methodology for calculating the so-called «green» GDP. Similar indicators can be used in industry models to assess the effectiveness of energy and transport systems development strategies.

The main goal of numerical experiments is to test Russia's capabilities for painless participation in environmental initiatives to reduce industrial greenhouse gas emissions by the Kyoto Protocol type and to analyze the environmental indicators of Russian GDP and trends of their dynamics. The forecast of socio-economic

development of Russia for 2017 and for the planned period 2018 and 2019 executed by the Ministry of Economic Development of the Russian Federation is used as the basic source of input data. The calculations point to the hypothetical attainability of national target markers, which are not to be exceeded by 2020–2030 and will be at the level of 70–75 % of 1990 emissions. At the same time, the problem of increasing the environmental efficiency of Russian GDP is actual and requires an urgent solution.

As a perspective, the problem of accounting for MERGE emissions of pollutants by mobile sources, mainly by road and rail transport, is noted.

Key words: optimization model, development scenario, greenhouse gas emissions, «green» GDP, carbon intensity.

DOI:10.20291/2079-0392-2017-2-17-27

Актуальность и цели моделирования

Прогнозирование климатических изменений и смягчение их последствий – одна из актуальных и неоднозначных проблем, стоящих перед современным миром. Общепринятой точки зрения на природу движущих сил климатической динамики нет, но многие российские эксперты сходятся во мнении, что наблюдающиеся в последнее время резкие изменения климата можно объяснить увеличением концентрации в атмосфере парниковых газов (ПГ), вызванным антропогенным воздействием [1–3]. Современная официальная точка зрения, отраженная в [1], состоит в признании необходимости заблаговременного формирования всестороннего и взвешенного подхода государства к проблемам климата и смежным вопросам на основе комплексного научного анализа экологических, экономических

и социальных факторов. Проблемам «зеленой» экономики была посвящена одна из ключевых дискуссий в рамках работы Российского инвестиционного форума «Сочи-2017» [2]. На круглом столе «Зеленая» экономика как вектор развития» обсуждались возможности применения специальных тарифов, обеспечивающих привлекательную доходность при инвестициях в «зеленую» энергетику, и экономическая мотивация поэтапного перехода с 2019 г. к использованию так называемых наилучших доступных технологий, основанных на ресурсо- и энергосбережении и сокращении углеродных выбросов. Поскольку, согласно новейшей концепции, Россия может терять до 2 % ВВП ежегодно из-за негативных последствий изменения климата, то участие страны в глобальных инициативах по регулированию эмиссий ПГ приобретает первостепенное значение.

Одной из первых попыток международного сообщества установить контроль над воздействием на окружающую среду следует считать Киотский протокол к Рамочной конвенции ООН по изменению климата [3]. Срок действия этого пилотного проекта, согласно которому страны-участники брали на себя добровольные обязательства по снижению промышленных выбросов ПГ, истек в 2012 г.; его эффективность неочевидна [4]. В настоящее время в России возобновились дебаты о влиянии инициатив по снижению эмиссий ПГ на динамику экономического развития. Основную причину этого является Парижское соглашение по климату [5] на период после 2020 г., которое обсуждалось и было одобрено консенсусом на 21-й сессии Конференции сторон в Париже (12 декабря 2015 г.), а затем подписано большинством стран (включая Китай, Россию и США) в Нью-Йорке. Основная цель – активизация осуществления Рамочной конвенции ООН по изменению климата, в частности, удержание роста глобальной средней температуры до 2100 г. на уровне «намного ниже» 2 градусов по Цельсию в сравнении с доиндустриальным уровнем. Для достижения этого все страны должны установить собственные ориентиры по снижению эмиссий и ежегодно их корректировать. Основное обязательство, добровольно взятое Россией, – удержание до 2030 г. промышленных выбросов в диапазоне 25–30 % от уровня 1990 г. Согласно некоторым экспертным оценкам, ужесточение экологических ограничений, связанное с этим обязательством, может существенно изменить параметры экономического развития и привести (в сочетании с текущим кризисом) к падению скорости роста ВВП дополнительно на 1–2 процентных пункта в год по сравнению со сценарием без экологической нагрузки. В этом контексте представляется важным проверить, насколько вероятно (с точки зрения моделирования) достижение уровня выбросов 1990 г. или

некоторого процента от него в ближайшем будущем во всех реалистичных сценариях; такая верификация стала одной из целей вычислительных экспериментов, описанных в статье.

Для изучения различных аспектов проблемы изменения климата привлекаются комплексные оценочные модели (КОМ), основная функция которых заключается в построении множества возможных сценариев развития социально-экономических систем (как глобальной, так и региональных) с последующим выбором оптимальной траектории на основании определенных критериев качества. Такие модели могут использоваться компетентными органами, принимающими решения, как инструмент оценивания той или иной стратегии экономического развития. Отметим еще одну важную черту современных КОМ: практически все они остро нуждаются в разработке и внедрении эффективных инструментов для учета экологических показателей при формировании национальных счетов. Оценка качества экономической деятельности посредством специальных интегральных индикаторов устойчивого развития, формализующих влияние (как правило, негативное) экономических процессов на окружающую среду, создает возможности выхода за пределы традиционной концепции ВВП и изучения плюсов и минусов гипотетического перехода к «зеленой» экономике.

Для достижения поставленных целей авторы используют модель оценки региональных и глобальных эффектов стратегий сокращения ПГ MERGE, хорошо зарекомендовавшую себя во время дискуссий о целесообразности участия России в Киотском протоколе. Модель разработана американскими учеными [6] и модифицирована в Международном институте прикладного системного анализа (Лаксенбург, Австрия) и Институте математики и механики УрО РАН (Екатеринбург, Россия). В настоящей работе, продолжающей исследования [7–8], основное внимание уделено адаптации модели MERGE к современной

конфликтной геополитической обстановке и кризисному состоянию мировой и региональной экономики, апробации одной из методик расчета «зеленого» ВВП и анализу результатов серии вычислительных экспериментов с новыми сценариями, отражающими ключевые тенденции развития экономики России на ближайшие годы [9].

Текущая версия MERGE

Модель MERGE состоит из трех взаимосвязанных модулей (экономико-энергетического, климатического и оценки ущерба) и включает в себя около 20 тыс. уравнений и неравенств и около 30 тыс. скалярных переменных. Описание принципов и процедур модели дано в [6], а версия, предназначенная для учета кризисных явлений в экономике, представлена в [8], поэтому здесь мы ограничимся кратким изложением с акцентом на новые возможности вычислительных процедур. Схема модели и ее основные компоненты показаны на рис. 1; новая часть выделена пунктирными линиями.

Подробнее остановимся на экономико-энергетическом модуле, в котором

задаются параметры, варьируемые при организации вычислительных экспериментов. Модуль, являющийся ядром MERGE, предназначен для моделирования на достаточно большом временном интервале социально-экономической динамики (в частности, ВВП, выбросов ПГ, импорта/экспорта энергоносителей). Во всех версиях этого модуля мир делится на макроэкономические регионы, каждый из которых рассматривается как независимый единый производитель-потребитель и подчиняется финансовым ограничениям. Модуль реализует интегрированную прикладную модель общего равновесия: в каждый момент времени спрос и предложение уравниваются посредством выбора цен на товары, задействованные в международной торговле (нефть, газ, уголь, потребительские товары и, возможно, квоты на эмиссию ПГ). Данный модуль является не набором рекурсивных процедур, которые определяют состояние системы по ее предыстории, а оптимизатором, находящим оптимальные траектории экономико-энергетического развития регионов из условия максимума суммы (по всему интервалу времени) дисконтированных



Рис. 1. Схема модели MERGE

полезностей регионального потребления, т.е. так называемого благосостояния Негиши [6–8].

Рассматриваемый временной промежуток разбивается на n интервалов точками $t_0 < t_1 < \dots < t_n$ с шагом (в годах) $\delta_i = t_i - t_{i-1}$, $i = 1, \dots, n$. Оптимизационная задача состоит в построении последовательности уровней регионального потребления, максимизирующей суммарное благосостояние Негиши:

$$\begin{aligned} \text{TotalWealth} &= \sum_r nw_r W_r = \\ &= \sum_r nw_r \sum_{i=1}^n \delta_i udf_i \log C_i \rightarrow \max. \end{aligned}$$

Здесь TotalWealth – суммарное благосостояние всех регионов; nw_r – вес Негиши региона r , отражающий уровень использования благосостояния на потребление, $\sum_r nw_r = 1$; W_r – благосостояние региона r ; udf_i – коэффициент дисконтирования полезности (его динамика задается специальным образом); $\log C_i$ – функция полезности. Для решения данной задачи нелинейного программирования в модели реализован метод последовательной совместной максимизации. Потребление C_i определяется по классической формуле (см. [6]):

$$C_i = Y_i - I_i - EC_i - NTX_i,$$

где Y_i – общий объем экономической продукции, произведенной за год t_i (фактически модельный ВВП); I_i – текущие инвестиции (годовой поток); EC_i – средства, необходимые для возмещения энергетических затрат; NTX_i – разность между региональным экспортом и импортом потребительских товаров.

Внутри энергетического сектора выделяются только два вида продукции: электрическая и неэлектрическая энергия. Товарами на международном рынке топлива выступают нефть, газ и уголь. Экономическая производственная функция описывает динамику региональной продукции Y_i с помощью двух составляющих

типа Кобба – Дугласа (капитально-трудовой и энергетической), вложенных в функцию с постоянной эластичностью замещения:

$$Y_i = \left(aK_i^{\rho\alpha} L_i^{\rho(1-\alpha)} + bE_i^{\rho\beta} N_i^{\rho(1-\beta)} \right)^{1/\rho},$$

где K_i – капитал; L_i – труд; E_i – электрическая энергия; N_i – неэлектрическая энергия; α , β , ρ , a и b – макроэкономические параметры.

Динамика регионального капитала K_i зависит от инвестиций I_i , труд L_i (рабочая сила, измеряемая в условных единицах эффективности), фактически является экзогенным параметром, величина EC_i зависит от производства электрической энергии E_i , неэлектрической энергии N_i , ценовых параметров и находится явно. Основными оптимизируемыми параметрами задачи максимизации суммарного благосостояния являются E_i , N_i , I_i и NTX_i ($i = 1, \dots, n$). Среди входных параметров модели отметим динамику населения, прогнозируемый ВВП, макроэкономические параметры и энергетические характеристики. Выходными параметрами служат оптимальная динамика экономического развития региона, в частности, реализовавшийся ВВП и его карбоноёмкость, энергетические выбросы ПГ и гипотетические затраты на их снижение. Возможные санкции учитываются через введение дополнительных искусственных ограничений на межрегиональный экспорт/импорт определенного типа.

Климатический модуль модели MERGE учитывает наиболее важные антропогенные ПГ и рассчитывает их концентрации в атмосфере и океане по эмиссиям и доиндустриальному уровню. Концентрации используются для определения фактического изменения температуры, которое подается на вход модуля оценки ущерба, анализирующего два типа последствий изменения климата – нерыночные и рыночные потери. Нерыночные эффекты не связаны с ценами и оцениваются специальными методами (в том числе посредством

анализа предпочтений будущих поколений). Рыночный ущерб включает те категории, которые входят в национальный доход, измеряемый обычным способом, и могут быть оценены количественно. Фактически ущерб этого типа трактуется как доля ВВП, которая теряется вследствие климатических изменений, обусловленных увеличением температуры.

Методика расчета гипотетической потери ВВП, заложенная в модель MERGE, носит специфический характер, жестко связана с изменением климата и не может трактоваться как оценка «зеленого» ВВП. Последняя опирается на понятие природоёмкости, являющейся важным показателем экологической эффективности текущего развития [10]. Природоёмкость ВВП принимает во внимание удельные затраты природных ресурсов и удельные величины загрязнений в расчете на единицу конечной продукции. Существует большое количество работ (см. [10] и библиографию в ней), направленных на разработку так называемых «зеленых» методик. Все они в той или иной степени используют коррекцию традиционных экономических показателей, опирающуюся на предложенную Статистическим отделом Секретариата ООН систему интегрированного эколого-экономического учета (СЭЭУ, см. [11]), в центре которой – концепция экологически скорректированного валового внутреннего продукта (ВВП_{ЭС}), иначе говоря, «зеленого» ВВП.

С учетом возможностей MERGE в модель введена упрощенная схема расчета регионального ВВП_{ЭС}, основанная на оценке ущерба, нанесенного окружающей среде: ВВП_{ЭС} рассматривается как результат коррекции ВВП, из которого последовательно вычитаются стоимостная оценка истощения природных ресурсов (ИСТ_{ПР}; добыча нефти, минерального сырья, вырубка леса и пр.) и стоимостная оценка экологического ущерба в результате загрязнения окружающей среды (ЭУ_{ЗОС}; загрязнение воздуха и воды, размещение отходов,

истощение почвы, использование подземных вод и пр.):

$$\text{ВВП}_{\text{ЭС}} = \text{ВВП} - \text{ИСТ}_{\text{ПР}} - \text{ЭУ}_{\text{ЗОС}}.$$

Истощение природных ресурсов учитывает тот факт, что добыча полезных ископаемых ведет к уменьшению их запасов и сокращению природного капитала. Применительно к рассматриваемому индексу ИСТ_{ПР} складывается из двух компонент: истощение минерально-сырьевых природных ресурсов (ИСТ_{МСР}) и истощение лесных ресурсов (ИСТ_{ЛР}): ИСТ_{ПР} = ИСТ_{МСР} + ИСТ_{ЛР}. Минерально-сырьевые ресурсы включают в себя нефть, газ, уголь, металлы, и другие полезные ископаемые, изъятие которых ведет к их полной потере для будущих поколений, поэтому данный вид природных ресурсов отнесен к категории невозобновляемых. Отметим, что в MERGE возможен учет динамики только ископаемого топлива. Величина ИСТ_{МСР} оценивается по объему валовой добавленной стоимости по виду деятельности «Добыча полезных ископаемых», который является в MERGE одним из оптимизируемых. Ее значение в момент времени t_i определяется как усредненная за период истощения природного ресурса T приведенная стоимость ренты, дисконтированная по процентной ставке p . Для каждого вида минерально-сырьевых ресурсов региональное значение R_i природной ренты в момент t_i рассчитывается по формуле $R_i = (P_i - S_i) Q_i$, где P_i – цена природного ресурса на мировом рынке; S_i – средние затраты на добычу ресурса в регионе; Q_i – объем добычи природного ре-

сурса. Тогда $\text{ИСТ}_{\text{МСР}} = \frac{1}{T} \sum_{i=1}^T \frac{R_i}{(1+p)^i}$, где

процентная ставка p считается равной 1–3 %; период истощения природного ресурса T определяется как отношение запасов (нефти, газа, угля) к годовой добыче. Параметр ИСТ_{ЛР} не моделируется, а является результатом экзогенного процесса; его динамика задается в соответствии с данными Росстата [12].

Ущерб от загрязнения окружающей среды ($\mathcal{E}У_{30C}$) определяется как сумма ущербов от выбросов углекислого газа ($\mathcal{E}У_{CO_2}$) и других загрязняющих веществ ($\mathcal{E}У_{ЗВ}$): $\mathcal{E}У_{30C} = \mathcal{E}У_{CO_2} + \mathcal{E}У_{ЗВ}$. Ущерб от выбросов углекислого газа рассчитывается как объем годовых выбросов углекислого газа (OB_{CO_2} , выходной параметр экономико-энергетического модуля MERGE), умноженных на величину умеренных оценок предельных убытков от выбросов (OU_{CO_2} , значение соответствует данным Всемирного банка [13]): $\mathcal{E}У_{CO_2} = OB_{CO_2} \cdot OU_{CO_2}$. Ущерб от выбросов других ПГ, учитываемых в MERGE, и прочих загрязняющих веществ, объемы которых задаются экзогенно, вычисляется аналогично. Отметим, что отношение OB_{CO_2} к ВВП можно трактовать как оценку карбоноёмкости.

Таким образом, в новой версии модели $ВВП_{ЭC}$, найденный согласно приведенной выше методике, понимается как «зеленый» ВВП. Отметим, что, несмотря на важность учета экологически ориентированных индексов, нет ежегодных официальных статистических данных по «зеленому» ВВП. Однако практические расчеты проводятся как отдельными специалистами, так и международными организациями. Например, по оценкам статистического отдела ООН [11], в среднем величина «зеленого» ВВП в странах с достаточно высоким уровнем развития составляет 75–90 % от ВВП.

Следует отметить, что рассмотренные экологические показатели могут использоваться в отраслевых моделях для оценивания эффективности развития энергетических и транспортных систем.

Результаты вычислительного эксперимента

В качестве основного источника данных для входных сценариев используется прогноз Минэкономразвития РФ [9], который разработан в виде трех основных вариантов: базового, базового-плюс и целевого. Все варианты предполагают продолжение антироссийской

санкционной политики и ответных экономических мер со стороны России на протяжении всего прогнозного периода, а также отсутствие геополитических потрясений и экономических шоков. Приведем краткую характеристику каждого сценария.

Базовый сценарий (Bas) рассматривает развитие российской экономики с учетом возможного ухудшения внешнеэкономических и иных условий; он характеризуется сохранением сдержанной бюджетной политики и не предполагает кардинального изменения модели экономического роста. Базовый сценарий разработан исходя из достаточно низкой траектории цен на нефть (стабилизация на уровне 40 долл. за баррель на протяжении всего прогнозного периода). Рост инвестиционной активности возобновится только в 2018 г. В 2017 г. предполагается медленный переход от стагнации к восстановлению экономического роста: темп роста ВВП перейдет в положительную область и составит 0,6 % с последующим повышением. Базовый сценарий, считающийся авторами документа [9] наиболее вероятным, использовался для разработки параметров федерального бюджета на 2017 г.

Сценарий базовый-плюс (Bas+) рассматривает развитие российской экономики в более благоприятных внешнеэкономических условиях и основывается на траектории умеренного роста цен на нефть (до 55 долл. за баррель в 2019 г.) и на относительно быстрых темпах восстановления инвестиций в основной капитал (среднегодовой прирост 2,9 % в 2017–2019 гг.), что приводит к увеличению темпов роста ВВП: в 2017 г. – 1,1 %, в 2018 г. – 1,8 %, в 2019 г. – 2,4 %.

Целевой сценарий (Opt) ориентирует на достижение целевых показателей социально-экономического развития и решение задач стратегического планирования. Предполагается в среднесрочной перспективе выход российской экономики на траекторию устойчивого роста темпами не ниже среднемировых при одновременном обеспечении макроэкономической сбалансированности.

Внедрение новой экономической модели и начало реализации крупных инвестиционных проектов приведут к повышению темпов роста инвестиций в среднем до 5,2 % в год, а темпы роста ВВП достигнут 4,4 % в 2019 г., что на 2,3 п.п. выше, чем в базовом варианте.

Ключевые параметры сценариев сведены в таблицу.

Во всех сценариях предполагается падение нефтедобычи в России на 0,3 % ежегодно, для остальных ресурсов – умеренный рост. Прогнозируется позитивный тренд изменения энергоёмкости ВВП: постепенное сокращение (по сравнению с 2015 г.) на 2,4 % в 2016 г. и до 8,8 %, в 2019 г. Отметим, что российские источники [9, 12] снабжают модель ключевыми параметрами для России, но большая часть модельных параметров для «внешнего» мира формируется на основе оценок экспертов Всемирного банка и Администрации энергетической информации [13, 14].

Основные цели вычислительного эксперимента – анализ возможных траекторий экономического развития России в кризисных условиях, оценка динамики «зеленых» характеристик ВВП и изучение последствий гипотетического участия страны в инициативах по снижению выбросов ПГ. Приведем результаты модельных расчетов на промежутке от 2015 г. до 2030 г. с шагом дискретизации пять лет (рис. 2).

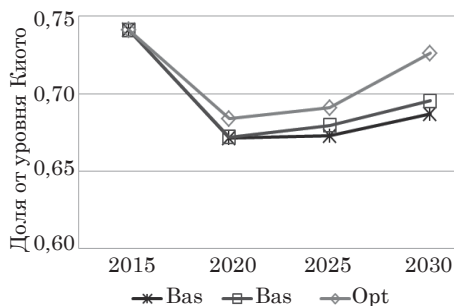


Рис. 2. Эмиссии CO₂, доля от уровня Киото

Из рис. 2 заключаем, что во всех рассматриваемых сценариях эмиссии CO₂ далеки от уровня 1990 г. (так называемый Киото-уровень для России – 0,646 млрд т углеродного эквивалента) на всем промежутке моделирования, достигая максимума (68–73 % от Киото-уровня) в прогнозном сценарии Opt (различия по сценариям не превышают 5 %). Расчеты свидетельствуют о наличии у России резервов для безболезненного (без принятия специальных мер) участия в природоохранительных инициативах типа [5], предполагающих не превышение уровня выбросов 1990 г. Стабилизация эмиссий в 2020–2030 гг. в диапазоне 25–30 % от указанного уровня выглядит возможной, но не беспроблемной, поскольку модельные выбросы балансируют как раз в этом интервале. Полученные результаты согласуются с прогнозами

Основные показатели сценариев социально-экономического развития России на 2017–2019 гг.

Показатель	Сценарий	2015, отчет	2016, оценка	2017	2018	2019
Изменение ВВП (% к предыдущему году)	Bas	-3,7	-0,6	0,6	1,7	2,1
	Bas+	-3,7	-0,6	1,1	1,8	2,4
	Opt	-3,7	-0,6	1,8	3,0	4,4
Цены на нефть (Urals, долл./баррель)	Bas	51,2	41	40	40	40
	Bas+	51,2	41	48	52	55
	Opt	51,2	41	48	52	55
Изменение инвестиций в основной капитал (% к предыдущему году)	Bas	-8,4	-3,7	-0,5	0,9	1,6
	Bas+	-8,4	-3,7	1,5	2,8	4,4
	Opt	-8,4	-3,7	3,5	5,5	6,5

ведущих российских экспертов (см., напр., [15]).

Представляется перспективной задача учета в MERGE выбросов загрязняющих веществ передвижными источниками, главным образом автомобильным и железнодорожным транспортом, поскольку в последнее время объем таких выбросов сравним с промышленными эмиссиями [12].

Рис. 3 свидетельствует: по модельным расчетам, динамика российского ВВП обнаруживает очевидное сходство для всех сценариев на интервалах 2015–2020 гг. (медленный рост) и 2020–2030 гг. (более существенный рост, преодоление последствий кризиса). Прогнозируемый ВВП в самом прогрессивном сценарии Opt ощутимо отрывается (до 20 % к 2030 г.) от ВВП в базовых вариантах. Представляется, что разность $ВВП_{Opt} - ВВП_{Bas}$ можно трактовать как меру ущерба, который наносит российской экономике реализация инерционных моделей внутреннего развития и сохранение негативных внешних тенденций.

Динамика $ВВП_{ЭC}$ свидетельствует о достаточно большом проценте ВВП (9–10 % в 2016 г.), составляющем, согласно применяемой методике расчетов, экологические потери. Отметим, что наблюдается положительная динамика в смысле уменьшения со временем процентной разницы между ВВП и $ВВП_{ЭC}$ до 6–7 % в 2030 г. Возможно, этот факт объясняется как улучшением энергоэффективности ВВП по причине

внедрения новых технологий, так и спецификой модели межвременной оптимизации. Однако фактически на всем рассматриваемом промежутке для всех сценариев разность ВВП – $ВВП_{ЭC}$ в процентах от ВВП больше среднегодовых темпов роста ВВП. Таким образом, по модельным расчетам, стоимость деградации окружающей среды в России превышает реальный рост экономики; такой вывод соответствует оценкам Всемирного банка [13]. Дополнительно подчеркнем, что во всех сценариях модельный $ВВП_{ЭC}$ представляется завышенным (по сравнению с реальным) потому, что не учитываются безвозвратные потери нетопливных минеральных ресурсов и некоторые виды загрязнений окружающей среды. По этой причине результат расчета $ВВП_{ЭC}$ в модели MERGE следует трактовать как оценку сверху регионального «зеленого» ВВП. Полагая, что фактический «зеленый» ВВП еще меньше модельного $ВВП_{ЭC}$, заключаем, что задача увеличения экологической эффективности российского ВВП безусловно является актуальной и требует безотлагательного решения.

Дополнительные расчеты показывают, что в текущий момент преимущественно сырьевой характер российской экономики вносит существенно больший вклад в экологические потери, чем загрязнение окружающей среды.

Модельные траектории оценок карбоноёмкости ВВП (рис. 4) демонстрируют во всех сценариях ее снижение к 2030 г. с почти постоянной скоростью

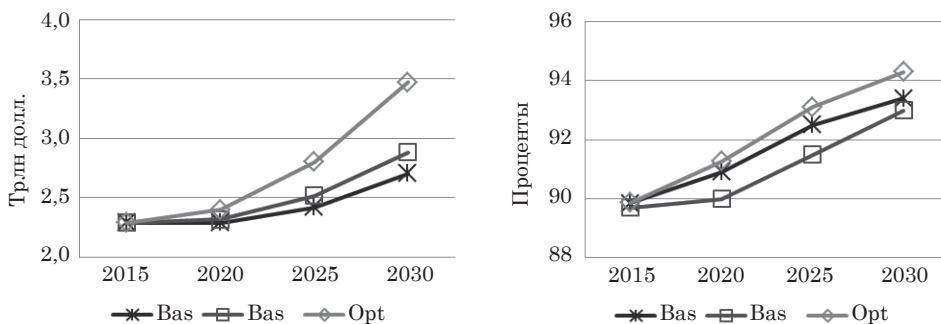


Рис. 3. Реализовавшийся ВВП (слева) и доля $ВВП_{ЭC}$ в ВВП (справа)

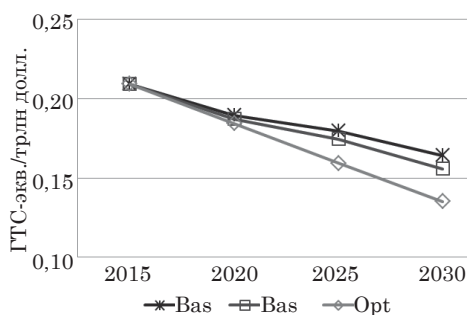


Рис. 4. Карбоноемкость ВВП

до 65–80 % относительно уровня 2015 г. Отметим, что к прогнозным оценкам [9, 15], довольно оптимистично трактуя перспективы улучшения энергоэффективности ВВП, наиболее близки показатели варианта Opt. Можно считать, что медленный рост выбросов от сжигания ископаемого топлива компенсируется ожидаемым существенным снижением энергоемкости ВВП за счет запланированного внедрения передовых энергетических технологий.

В заключение необходимо отметить, что специфика модели MERGE

состоит в том, что динамика, представленная на рис. 2–4, является оптимальной на всем рассматриваемом промежутке времени, что может быть причиной существенных отклонений результатов моделирования от экспертных оценок изменения того или иного параметра на конкретном небольшом интервале.

Что касается перспектив развития модели, то авторы полагают, что анализ численных экспериментов, подобных описанным, внесет вклад в разумное приращение к модели MERGE стандартных экологических показателей [11, 13], оценивающих качество экономического развития, например, посредством включения в максимизируемую функцию суммарного благосостояния взвешенных экологических характеристик. Авторы также надеются на то, что полученные результаты могут быть полезны в случае решения задачи снижения выбросов ПГ до определенного безопасного уровня и при исследовании возможностей повышения энергоэффективности различных отраслей экономики. ■

Литература

1. Климатическая доктрина Российской Федерации. URL: <http://www.kremlin.ru/events/president/news/6365> (дата обращения: 16.03.2017).
2. Материалы круглого стола «“Зеленая” экономика как вектор развития» в рамках Российского инвестиционного форума (Сочи, Россия, 27–28.02.2017), URL: <http://rusinvestforum.org/> (дата обращения: 16.03.2017).
3. Кокорин А. О., Грицевич И. Г., Сафонов Г. В. Изменение климата и Киотский протокол – реалии и практические возможности. М. : Всемирный фонд дикой природы (WWF)–Россия, 2004. 64 с. ISBN 5-89564-025-7.
4. Ghezloun A., Saidane A., Oucher N., Chergui S. The Post-Kyoto // Energy Procedia. 2013. Vol. 36. Pp. 1–8. ISSN 1876-6102.
5. UN Climate Change Paris Agreement, UN Framework Convention on Climate Change. URL: <http://newsroom.unfccc.int/paris-agreement/> (дата обращения: 20.02.2017).
6. Manne A., Mendelson R., Richels R. MERGE – A Model for Evaluating Regional and Global Effects of GHG reduction policies // Energy Policy. 1995. Vol. 23. № 1. Pp. 17–34.
7. Дигас Б. В., Розенберг В. Л. Комплексная оценочная модель MERGE: адаптация к текущему состоянию мировой экономики // Экономика региона. 2013. № 3. С. 210–221. ISSN 2072-6414.
8. Digas B., Rozenberg V., Kuklin A. A new version of integrated assessment model MERGE // Int. J. Environ. Res. 2014. Vol. 8. № 4. P. 1231–1240. ISSN 1661-7827.
9. Прогноз социально-экономического развития Российской Федерации на 2017 год и на плановый период 2018 и 2019 гг. URL: <http://www.economy.gov.ru/minec/activity/sections/macro/prognoz/> (дата обращения: 20.02.2017).
10. Бобылев С. Н., Минаков В. С., Соловьева С. В., Третьяков В. В. Эколого-экономический индекс регионов РФ. М. : Всемирный фонд дикой природы (WWF)–Россия, 2012. 152 с.

11. Human Development Report 2003. UNDP, New York: Oxford University Press, 2003. 384 p. ISBN 0-19-521915-5.
12. Федеральная служба государственной статистики (Росстат). URL: <http://www.gks.ru> (дата обращения: 13.02.2017).
13. World Development Indicators 2016, The World Bank. URL: <http://data.worldbank.org/products/wdi> (дата обращения: 13.02.2017).
14. International Energy Outlook IEO-2016, U.S. Energy Information Administration (EIA). URL: <http://www.eia.gov/forecasts/ieo/> (дата обращения: 13.02.2017).
15. Прогноз развития энергетики мира и России до 2040 г. URL: https://www.eriras.ru/files/forecast_2016_rus.pdf (дата обращения: 13.02.2017).

Literature

1. Klimaticheskaya doktrina Rossijskoj Federacii [Climate doctrine of the Russian Federation]. URL: <http://www.kremlin.ru/events/president/news/6365> (accessed date: 16.03.2017).
2. Materialy kruglogo stola «Zelenaya» ehkonomika kak vektor razvitiya» v ramkah Rossijskogo investicionnogo foruma [Materials of the round table «Green economy as a vector of development» within the framework of the Russian Investment Forum (Sochi, Russia, 27–28.02.2017)]. URL: <http://rusinvestforum.org/> (accessed date: 16.03.2017).
3. Kokorin A. O., Gricevich I. G., Safonov G. V. Izmenenie klimata i Kiotskij protokol – realii i prakticheskie vozmozhnosti [Kokorin A. O., Gritsevich I. G., Safonov G. V. Climate change and the Kyoto Protocol – realities and practical opportunities]. M. : World Wildlife Fund (WWF)–Russia, 2004. 64 pg. ISBN 5-89564-025-7.
4. Ghezloun A., Saidane A., Oucher N., Chergui S. The Post-Kyoto // Energy Procedia. 2013. Vol. 36. Pp. 1–8. ISSN 1876-6102.
5. UN Climate Change Paris Agreement, UN Framework Convention on Climate Change. URL: <http://newsroom.unfccc.int/paris-agreement/> (accessed date: 20.02.2017).
6. Manne A., Mendelson R., Richels R. MERGE – A Model for Evaluating Regional and Global Effects of GHG reduction policies // Energy Policy. 1995. Vol. 23. № 1. Pp. 17–34.
7. Digas B. V., Rozenberg V. L. Kompleksnaya ocenochnaya model' MERGE: adaptaciya k tekushchemu sostoyaniyu mirovoj ehkonomiki [Digas B. V., Rozenberg V. L. Comprehensive estimation model of MERGE: adaptation to current state of world economy] // Economy of region. 2013. № 3. Pg. 210–221. ISSN 2072-6414.
8. Digas B., Rozenberg V., Kuklin A. A new version of integrated assessment model MERGE // Int. J. Environ. Res. 2014. Vol. 8. № 4. Pg. 1231–1240. ISSN 1661-7827.
9. Prognoz social'no-ehkonomicheskogo razvitiya Rossijskoj Federacii na 2017 god i na planovyj period 2018 i 2019 gg. [The forecast of social and economic development of the Russian Federation for 2017 and for the planning period 2018 and 2019]. URL: <http://www.economy.gov.ru/minec/activity/sections/macro/prognoz/> (accessed date: 20.02.2017).
10. Bobylev S. N., Minakov V. S., Solov'eva S. V., Tret'yakov V. V. EHkologo-ehkonomicheskij indeks regionov RF [Bobylev S. N., Minakov V. S., Soloveva S. V., Tretyakov V. V. Ecological and economic index of Russian regions]. M. : World Wildlife Fund (WWF)–Russia, 2012. 152 pg.
11. Human Development Report 2003. UNDP, New York: Oxford University Press, 2003. 384 p. ISBN 0-19-521915-5.
12. Federal'naya sluzhba gosudarstvennoj statistiki (Rosstat) [Federal State Statistics Service (Rosstat)]. URL: <http://www.gks.ru> (accessed date: 13.02.2017).
13. World Development Indicators 2016, The World Bank. URL: <http://data.worldbank.org/products/wdi> (accessed date: 13.02.2017).
14. International Energy Outlook IEO-2016, U.S. Energy Information Administration (EIA). URL: <http://www.eia.gov/forecasts/ieo/> (accessed date: 13.02.2017).
15. Prognoz razvitiya ehnergetiki mira i Rossii do 2040 g. [The forecast for the development of the energy sector in the world and in Russia until 2040]. URL: https://www.eriras.ru/files/forecast_2016_rus.pdf (accessed date: 13.02.2017).

Статья сдана в редакцию 28 марта 2017 года

Механика машин и роботов

УДК 629.4-592

В. С. Наговицын, А. Н. Антропов, А. Л. Ципп, С. Ю. Гришаев

Электропневматический клапан автостопа с функцией резервирования ЭПК-АС

UDC 629.4-592

V. S. Nagovitsyn, A. N. Antropov, A. L. Tsipp, S. Yu. Grishaev

Electro-pneumatic valve of auto-stop with the function of the EPV of AS (electro-pneumatic valve of automatic stop) reservation

Аннотация

В данной статье рассмотрены электропневматические клапаны автостопного торможения. Проанализировано историческое развитие электропневматических клапанов автостопного торможения как устройств безопасности движения. Изучена конструкция и особенности работы электропневматического клапана автостопа ЭПК-150 как самого массового прибора автостопного торможения.

Отмечены конструктивные и функциональные различия

клапана ЭПК-150И как наиболее совершенного прибора из 150-й серии и клапана ЭПК-153А, вызывающего экстренную разрядку тормозной магистрали без выдержки времени. Главный недостаток устройств АЛСН с ЭПК-150 и ЭПК-153 заключается в том, что в любой момент, пока свистит свисток прибора, машинист может повернуть ключ (выключить) ЭПК и отменить действие автостопного торможения.

Также в статье рассмотрена работа устройства конт-

роля несанкционированного отключения ЭПК-КОН. Изучены различные модификации электропневматических клапанов автостопа: с функцией служебного торможения по патенту РФ 2326012, ЭПК-151Д, ЭПК-150И-1, ЭПК-153А-01, клапан 266-1. Конструкция и работа данных устройств рассмотрена с совместным их применением систем безопасности САУТ, КЛУБ, БЛОК и прибором КОН.

В результате проведенного анализа отмечены недостатки существующих устройств

Виктор Степанович Наговицын, д-р техн. наук; главный научный сотрудник Уральского отделения АО ВНИИЖТ; Екатеринбург, Россия. E-mail: nagovitsyn@saurt.ru.

Александр Николаевич Антропов, канд. техн. наук; старший научный сотрудник Уральского отделения АО ВНИИЖТ; Екатеринбург, Россия. E-mail: antropovan@mail.ru.

Андрей Леонардович Ципп, заведующий лабораторией «КСБ» Уральского отделения АО ВНИИЖТ; Екатеринбург, Россия. E-mail: tsipp@saurt.ru.

Сергей Юрьевич Гришаев, первый заместитель генерального директора – главный конструктор ФГУП «ПО «Октябрь»; Екатеринбург, Россия. E-mail: gsu82@bk.ru.

Статья рекомендована к печати А.П. Буйновым, д-ром техн. наук, профессором; Уральский государственный университет путей сообщения; Екатеринбург, Россия. E-mail: ABuinosov@usurt.ru.

Viktor Stepanovich Nagovitsyn, Doctor of Technical Sciences; Chief Scientific employee of Ural branch of JSC VNIIZHT (all-Russian scient.-research Institute of Railway transport); Ekaterinbourg, Russia. E-mail: nagovitsyn@saurt.ru.

Alexandr Nikolayevitch Antropov, Candidate of Technical Sciences; Senior Scientific employee of Ural branch of JSC VNIIZHT; Ekaterinbourg, Russia. E-mail: antropovan@mail.ru.

Andrey Leonardovitch Tsipp, Supervisor of Laboratory «KSB» of Ural branch of JSC VNIIZHT; Ekaterinbourg, Russia. E-mail: tsipp@saurt.ru.

Sergey Yurievitch Grishaev, First substitute member of the Director General – chief constructor of FGUP (Federal State Unitary Enterprise) «РЕ«Октябрь»; Ekaterinbourg, Russia. E-mail: gsu82@bk.ru.

The article is recommended for editing from A. P. Buynosov, Doctor of Technical Sciences, Professor; Ural State University of Railway Transport (USURT); Ekaterinbourg; Russia. E-mail: ABuinosov@usurt.ru.

автостоппного торможения и предложен перспективный электропневматический клапан автостопа с функцией резервирования – ЭПК-АС, разработанный в Уральском отделении АО ВНИИЖТ, который за счет применения микропроцессорных элементов и специального программного обеспечения (ПО) осуществляет функции электропневматического клапана автостопа ЭПК с блоком КОН и клапана электропневматического экстренного торможения дистанционного управления 266-1. Отмечены следующие преимущества ЭПК-АС: возможность регулирования времени задержки на срабатывание в зависимости от скорости движения поезда и показания впередистоящего сигнала, возможность автоматической диагностики работоспособности и функционального состояния прибора (универсальность предложенного изделия позволяет устанавливать его на всех типах самоходного подвижного состава), непрерывное нахождение в режиме функциональной возможности на срабатывание, улучшение массогабаритных показателей, снижение себестоимости относительно комплекта существующих приборов, выполняющих функции одного ЭПК-АС.

Одна из главных отличительных особенностей прибора – наличие функции резервирования, за счет чего повышается расчетный коэффициент эксплуатационной готовности КГЭПК и показатель эксплуатационной готовности системы безопасности в целом КГ до 0,99.

Ключевые слова: электропневматический клапан автостоппного торможения, прибор безопасности, АЛСН, срывной клапан, пневматическая камеры выдержки времени, дроссель, электропневматический вентиль, микропроцессорная система управления, резервирование, коэф-

фициент эксплуатационной готовности.

DOI:10.20291/2079-0392-2017-2-28-39

Annotation

In this article, we consider electro-pneumatic valves for auto-stop braking. The historical development of electro-pneumatic valves of auto-stop braking as a safety device for movement is analyzed. The design and operation features of the electro-pneumatic valve of the auto-stop EPV-150 as the most mass device of auto-stop braking are studied.

The structural and functional differences between the EPV-150I valve as the most perfect device from the 150 series and the EPV-153A valve, which causes an emergency discharge of the brake line without time delay, are noted. The main disadvantage of Continuous Cab Signalling (CCS) devices with EPV-150 and EPV-153 is that at any moment whistles the whistle of the device, the locomotive driver can turn the key (turn off) the EPV and cancel the auto-stop braking.

The article also discusses the operation of the device for monitoring the unauthorized disconnection of EPV-KON (monitoring unit for unauthorized switch with key). Various modifications of the electro-pneumatic valves of the auto-stop have been studied: with the function of service braking according to the patent of the Russian Federation 2326012, EPV-151D, EPV-150I-1, EPV-153A-01, valve 266-1. The design and operation of these devices is considered with their joint application of security systems SAUT (automatic braking control system), CLUB (complex safety device), BЛОК (a block-station is a haul-off located between two adjacent traffic lights with auto-locking or between two block semaphores with semi-automatic blocking) and KON device (monitoring

unit for unauthorized switch with key).

As a result of the analysis, the disadvantages of the existing auto-stop braking devices were noted and a promising electrostatic electro-pneumatic valve with the redundancy function – EPV-AS, developed in the Ural branch of JSC VNIIZHT, was proposed. It uses the microprocessor elements and special software to perform the functions of the electro-pneumatic valve Autostop EPV with a block KON and valve electro-pneumatic emergency braking remote control 266-1. The following advantages of EPV-AS are noted: the possibility of adjusting the delay time for operation depending on the speed of the train and the indication of the next signal, the possibility of automatic diagnostics of the operability and functional state of the device (universality of the proposed product allows it to be installed on all types of self-propelled rolling stock), continuous finding in the mode of functionality for triggering, improvement of mass-dimensional markers, reduction of base cost against the set of existing instruments that perform the functions of a single EPV-AS.

One of the main distinctive features of the device is the availability of the redundancy function, due to which the calculated factor of the operational readiness of the KGEPK is increased, and the indicator of the operational readiness of the security system as a whole of KG (coefficient of the operational readiness) is up to 0.99.

Key words: electro-pneumatic valve of auto-stop braking, safety device, Continuous Cab Signalling (CCS), discharge valve, pneumatic hose of time delay, throttle, electro-pneumatic valve, microprocessor control system, reserving, coefficient of the operational readiness.

DOI:10.20291/2079-0392-2017-2-28-39

Практика применения локомотивных приборов безопасности, эксплуатируемых во взаимодействии с АЛСН, показывает, что наибольшим изменениям и усовершенствованиям подвергаются модули, контролирующие бдительность машиниста, скорость движения по перегонам, проследования станций. Такие модули обеспечивают остановку поезда перед запрещающим сигналом, ограничение скорости, регистрацию параметров движения и др. Как правило, при построении систем безопасности применяется дублирование ответственных компонентов и защищенных каналов связи (передачи данных).

При этом одно из важнейших устройств безопасности, предназначенных для автостопа, — электропневматический клапан автостопа практически не модернизируется. Отсутствие резервирования в устройстве ЭПК резко снижает его расчетный коэффициент эксплуатационной готовности $K_{г\text{ЭПК}}$, что приводит к снижению $K_{г\text{системы}}$ безопасности в целом.

Статистика показывает, что в 2016 г. на локомотивах железных дорог произошло более ста отказов ЭПК.

Последняя модернизация ЭПК выполнена ОАО МТЗ «Трансмаш» в 2009 г., при этом функционально прибор почти не изменился, но стал намного сложнее.

В 2016 г. в Уральском отделении АО ВНИИЖТ прошли испытания тормозных приборов, связанных с обеспечением автостопа, по результатам которых предложены новые технические решения по расширению функций и резервированию ЭПК.

Локомотивные приборы безопасности в своем историческом развитии прошли несколько этапов совершенствования в части повышения функциональных свойств и условий эксплуатации, применительно к видам движения, а также к типам и сериям подвижного состава.

В 2013 г. утвержден «Перечень устанавливаемых устройств безопасности движения и регистраторов переговоров

на локомотивы, мотор-вагонный подвижной состав и специальный самоходный подвижной состав в зависимости от рода движения и состава локомотивной бригады» [1].

В документе, наряду с типовой АЛСН, предусмотрено применение только современных основных устройств и систем безопасности — КЛУБ и БЛОК различных модификаций, МЛСБ («Пульс») и др. Предусматривается применение таких дополнительных устройств и систем безопасности к системе АЛСН, как САУТ, ТСКБМ, КПД-3, традиционных УКБМ, Л143, Л168, Л159, Л116 и др. (появившиеся на железных дорогах в 1988–1998 гг.), а также устройства контроля несанкционированного отключения ЭПК ключом (функция включена в КЛУБ-У, БЛОК, БЛОК-М с исполнительным устройством КОН) [1].

Электропневматический клапан автостопа (1946–1947 гг., ВНИИЖТ) предназначался для автоматической подачи предупредительного сигнала (свистка) машинисту при приближении поезда (локомотива) к запрещающему сигналу и экстренного торможения поезда (локомотива), если машинист не принял мер к снижению скорости или остановки. В 1949 г. создателям точечного индуктивно-резонансного автостопа присудили Государственную премию СССР. В 1957 г. точечный автостоп был заменен системой АЛСН с автостопом, однако локомотивный электропневматический клапан автостопа ЭПК принципиально не изменился [2].

До настоящего времени на сети железных дорог в эксплуатации можно обнаружить приборы ЭПК-150 различных модификаций, выпущенные в начале 1970-х гг. Прибор ЭПК-150И (1969 г.), в котором металлическая мембрана электромагнита на пружину и контакты с концевым переключателем заменена на специальные контактные группы, остался взаимозаменяемым с предыдущими модификациями ЭПК [3].

Наиболее совершенный из этой серии приборов — ЭПК-150И (МТЗ «Трансмаш» и завод «Локомотив», г. Пенза),

выпускаемый по восстановленной документации в 2007–2009 гг. (с изменениями) [4].

В клапане автостопа ЭПК-150 для выдержки времени от момента получения импульса от путевого устройства до момента срабатывания срывного клапана пневматического устройства применяется пневматическая камера выдержки времени с дросселем, и это большой недостаток прибора. Камера выдержки времени увеличивает вес и габариты прибора, а время ее зарядки и разрядки сильно зависит от внешних факторов. Кроме того, это устройство выполняет только функцию экстренного торможения.

Аналогичными недостатками по техническим решениям и функциям обладает электропневматический клапан автостопа ЭПК-153, но он отличается от ЭПК-150 дополнительным резьбовым отверстием для подключения срывного клапана. Этот клапан вызывает экстренную разрядку тормозной магистрали без выдержки времени – камера выдержки времени не используется (в отдельных случаях, предусмотренных электрическими схемами или устройствами обеспечения безопасности движения локомотива без подачи предупредительного сигнала), однако она сохранена для использования прибора в обычном режиме. Масса обоих приборов в чугунном корпусе достигает 15 кг [5].

Главный недостаток устройств АЛСН с ЭПК-150 и ЭПК-153 (рис. 1) заключается в том, что машинист может повернуть ключ (выключить) ЭПК и отменить действие автостопного торможения в любой момент, пока свистит свисток прибора.

Случаев такого выключения немало. Например, крушение трех грузовых поездов №№ 2126, 3004, 2805 (локомотив поезда № 2126, которым управлял машинист, допустивший проезд запрещающего сигнала, был оборудован приборами безопасности УКБМ, Л-159 и системой от ухода назад усл. № 1227; 9.12.2001 г.) на ст. Гонжа

Забайкальской железной дороги. По результатам расследования и разбора причин этого ЧП был издан приказ МПС России: «...рассмотреть вопрос замены на локомотивах приборов безопасности УКБМ и внести предложения по внедрению более современных приборов и, в первую очередь, на железных дорогах 1-й категории» [6].

На ст. Заборье Октябрьской железной дороги допущено столкновение поезда № 2106 с хвостовой частью отправляемого поезда № 2456 из-за того, что машинист 1-го класса проехал на запрещающий сигнал. Он также не только нарушил ПТЭ (п.п. 16.38, 16.40) и инструкции ЦШ-ЦТ 302 (п. 5.4), но и уснул на рабочем месте, отключив исправно действующий прибор автостопа ЭПК-150 (8.07.2001) [7].

В результате мер, принятых руководством МПС, ускорены темпы и увеличены объемы внедрения комплекса КЛУБ и системы САУТ различных модификаций. А для исключения проездов запрещающих сигналов при выключении основных систем безопасности и автостопа ключом ЭПК, специалисты ПКБ ЦТ МПС «Нейроком» и ВНИИАС разработали устройство контроля несанкционированного отключения (ключом) ЭПК-КОН, которое очень быстро внедрились на сети железных дорог.

Уже в конце 2001 г. опытный образец КОН был продемонстрирован в действии причастным руководителям департаментов на ст. Чкаловская (Московская железная дорога) и после корректировки по полученным замечаниям поставлен на серийное производство.

Блок КОН – это дополнение к ЭПК. Внутри блока размещен электропневматический вентиль включающего типа, который при подаче напряжения на зажимы открывается и выпускает воздух из камеры над срывным поршнем. Разрядив именно эту камеру, можно практически мгновенно произвести экстренное торможение, что КОН с успехом и делает. Разрядка этой камеры не самое лучшее решение (правильнее

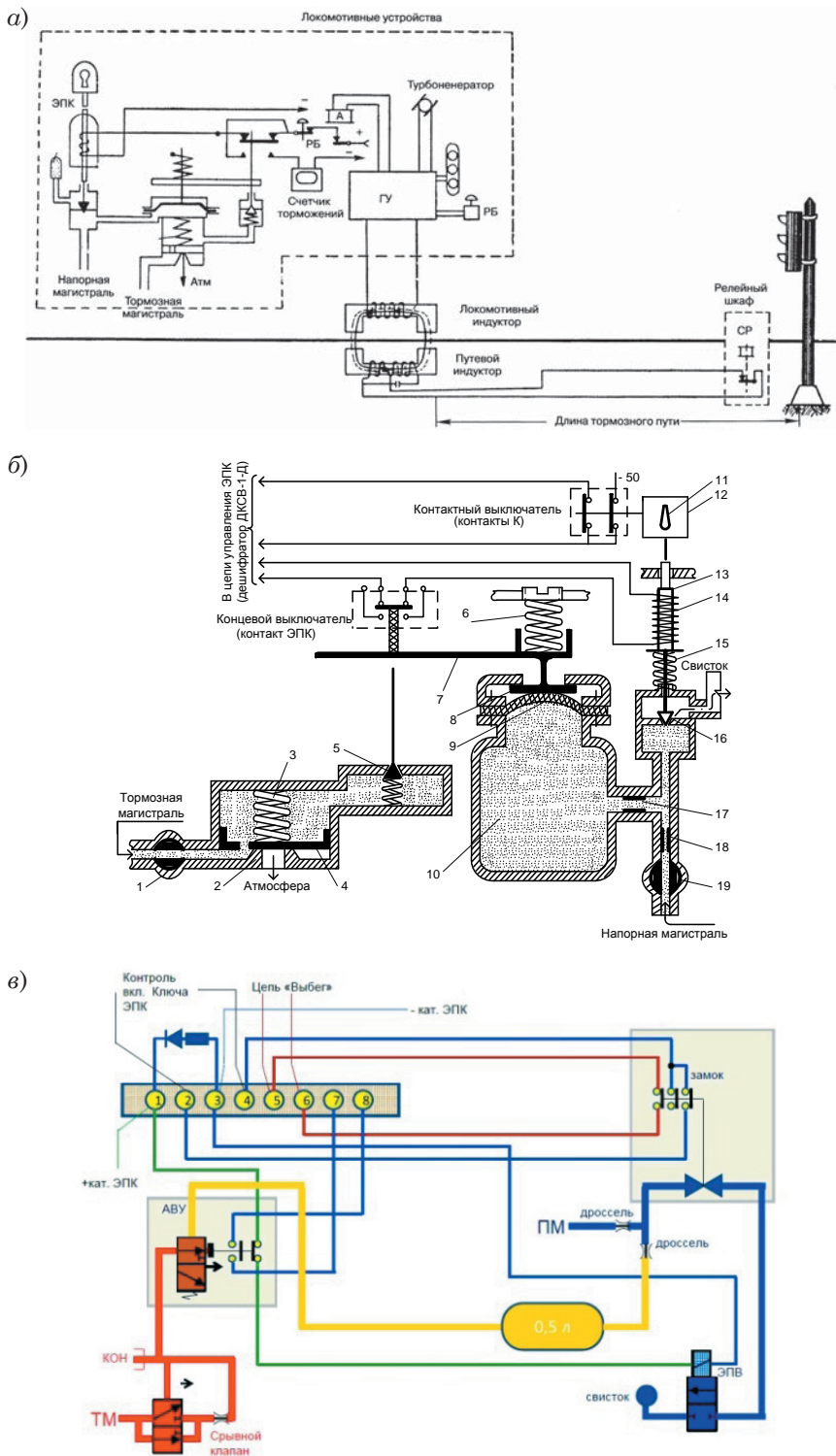


Рис. 1. Электропневматические клапаны автоstops ЭПК-150И и ЭПК-153А
 а – ЭПК-150, 1947 г.; б – ЭПК-150И, 1969 г.; в – ЭПК-153А, 2002 г.

разряжать и камеру выдержки времени), но пневматическое подключение КОН к ЭПК из-за конструктивных особенностей прибора позволяет разрядить тормозную магистраль только таким способом.

Блок КОН (рис. 2) конструктивно выполняется для применения с электропневматическими клапанами ЭПК в раздельной (вне корпуса ЭПК) и совместной (на платформе электропневматического клапана ЭПК).

Если машинист выключит ЭПК ключом при скорости выше контролируемой (10–12 км/ч) и при давлении сжатого воздуха в тормозных цилиндрах локомотива менее $0,07 \pm 0,01$ МПа [$(0,7 \pm 0,1)$ кг/см²] (в соответствии с алгоритмом работы ЭПК на локомотиве), на катушку электропневматического вентиля ЭПВ блока КОН через 12 ± 2 с подается питание 50 (110) В. Блок выпускает сжатый воздух над срывным клапаном и включает экстренное торможение без выдержки времени. В эксплуатации допускается кратковременное отключение ЭПК ключом (не более 5–6 с) последующим обязательным включением.

В штатном режиме самопроизвольное срабатывание блока КОН на торможение невозможно. КОН не включается при изменении показаний сигналов на локомотивном светофоре, буксовании колесных пар локомотива, а также изменении давления сжатого воздуха в тормозных цилиндрах при торможении краном вспомогательного тормоза 215 [8].

ЭПК совершенствуют с момента его создания. Известны технические решения конструкции и функциональных возможностей ЭПК, отличающиеся тем, что выдержка во времени между моментом получения импульса от путевого устройства и моментом срабатывания срывного клапана автостопа определяется включением медленнодействующего электромагнитного реле. При этом одновременно другое быстродействующее электромагнитное реле управляет работой свистка, действующего под

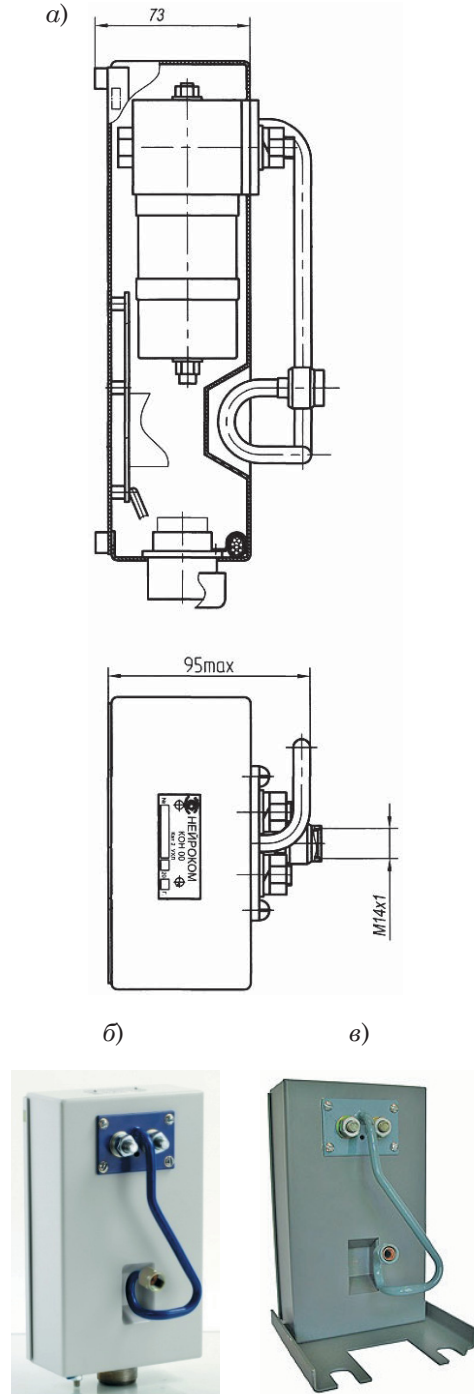


Рис. 2. Блок КОН в раздельном и совместном исполнении с клапаном ЭПК
 а – блок КОН; б – блок КОН для раздельной установки с ЭПК; в – блок КОН для установки на корпус ЭПК

давлением сжатого воздуха тормозной магистрали [9].

В другом изобретении в камерах пневматического повторителя электропневматического клапана автостопа установлены датчики давления, их выходы подключены к входному устройству электронного микроконтроллера. Данные с этих выходов используются при выполнении клапаном функции ступенчатого служебного торможения для выработки соответствующего выходного сигнала микроконтроллера

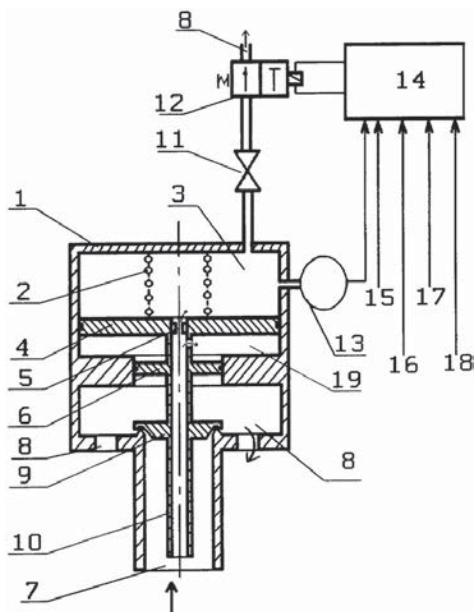


Рис. 3. Электропневматический клапан автостопа с функцией служебного торможения (пат. РФ 2326012) [10]

1 – корпус пневматического повторителя; 2 – возвратная пружина; 3 – управляющая камера; 4 – рабочий поршень; 5 – дроссель; 6 – компенсационный поршень; 7 – тормозная магистраль (ТМ); 8 – выход в атмосферу; 9 – сбрасывающий (срывной) клапан; 10 – соединительная трубка (канал); 11 – разобщительный вентиль; 12 – вентиль электропневматический; 13 – датчик давления (другие датчики давления не показаны); 14 – контроллер микропроцессорный; 15 – сигнал от датчика скорости; 16 – сигнал торможения от АЛСН; 17 – сигнал от локомотивного светофора; 18 – линия связи; 19 – межпоршневая камера с давлением ТМ в уравновешенном состоянии

на линию управления электромагнитного вентиля для изменения давления в управляющей камере повторителя [10] (рис. 3).

Необходимость выполнения служебного торможения вырабатывается микроконтроллером с учетом данных от других датчиков и устройств, обеспечивающих безопасность локомотива. Тот же микроконтроллер использован для задания временного промежутка от начала подачи предупредительного сигнала до применения экстренного торможения, воздействуя при этом на указанный электромагнитный вентиль, позволяя задавать необходимую величину временного интервала (в отличие от стандартного ЭПК с длительностью сирены 7 с). Устройство подачи предупредительного сигнала управляется также микроконтроллером за счет открытия соответствующего электромагнитного вентиля, связанного с устройством подачи предупредительного сигнала и питательной магистралью.

Питание камеры 3 производится от тормозной магистрали 7 через соединительную трубку 10 и установленный в трубке дроссель 5. Питательная магистраль, от которой приводится в действие устройство подачи предупредительного сигнала (свисток), и соответствующий электромагнитный вентиль на схеме не показаны. Имеющиеся в конструкции приборы управления (устройства безопасности локомотива) клапаном автостопа на принципиальной схеме также не приводятся*.

Для оснащения подвижного состава нового поколения специалисты МТЗ «Трансмаш» разработали электропневматические клапаны автостопа с дистанционным управлением ЭПК-151Д, различных модификаций, которые также предназначены для подачи предупредительного звукового сигнала и обеспечения разрядки тормозной магистрали темпом экстренного торможения

* На железнодорожном транспорте эти и другие подобные предложения не применяются, потому что конструкция не доведена хотя бы до опытного образца.

по команде от системы КЛУБ-У или микропроцессорной системы клапана; ЭПК-151Д и выполняет две основные функции: управление и диагностика (рис. 4).

Пневматическая часть включает себя пневматическое запирающее устройство ПО, клапан срывной КС, кран разобщительный тормозной магистрали ТМ – КрРШ1 и кран разобщительный питательной магистрали ПМ – КрРШ2.

Электрическая часть: электропневматические вентили запирающего устройства ЭПВН (вкл.) и (ЭПВН выкл.), электропневматический вентиль ЭПК (ЭПВН ЭПК), вентиль электропневматический разрывной (ЭПВН РЭВ/КОН), датчик давления (ДД) и плату БИ.

Функции управления выполняют в двух режимах: вентилем ЭПК при автостоппном торможении и вентилем управления при несанкционированном

отключении (ключом) ЭПК 151Д (функция блока КОН).

В случае внезапного загорания «КЖ» или «К» огня на локомотивном светофоре (на блоке индикации) при скорости движения выше контролируемой в соответствии с действующими инструкциями машинист должен кратковременно на 5–6 с выключить ЭПК ключом с обязательным повторным включением и принять меры для снижения скорости ниже контролируемой. Если машинист выполняет требования инструкции, блок КОН не вмешивается в его работу. Если машинист не примет меры к снижению скорости и выключит устройства АЛСН ключом более чем на 6 с, блок КОН включает экстренное торможение без выдержки времени.

Преимущества ЭПК 151Д-1 по сравнению с клапанами электропневмати-

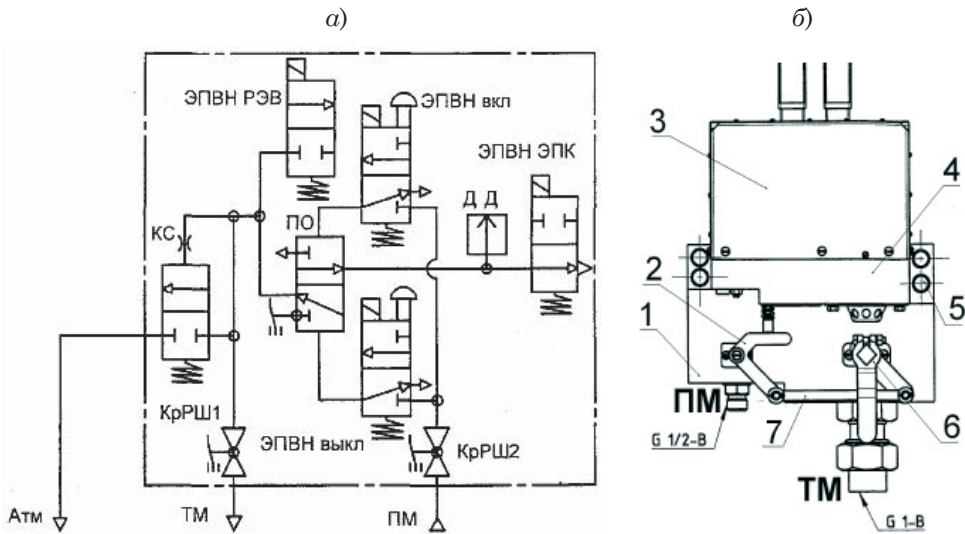


Рис. 4. Блок исполнительный БИ ЭПК 151Д-1

а – схема функциональная блока исполнительного БИ ЭПК 151Д-1; ДД – датчик давления сжатого воздуха; КрРШ1, КрРШ2 – кран разобщительный с сигнализатором положения ручки крана; КС – клапан срывной; ПО – переключательный орган; ЭПВН вкл. – вентиль электропневматический включающий; ЭПВН выкл. – вентиль электропневматический выключающий; ЭПВН РЭВ/КОН – вентиль электропневматический разрывной; ЭПВН ЭПК – вентиль электропневматический ЭПК; ПМ – питательная магистраль; ТМ – тормозная магистраль; Атм – атмосферное отверстие

б – общий вид; 1 – кронштейн-плита; 2 – разобщительный кран питательной магистрали КрРШ2; 3 – кожух ЭПК; 4 – корпус; 5 – винт крепления; 6 – разобщительный кран тормозной магистрали КрРШ1; 7 – стяжка

ческими клапанами автостопа 150И-1 и 153А-01: реализация функции несанкционированного отключения ЭПК вентилем РЭВ (КОН); применение внутренней диагностики; улучшение эргономики кабины локомотива за счет переноса исполнительных частей и трубопроводной арматуры, подходящей к ним в кузов; повышение надежности за счет исключения пневматического реле времени; внедрение разобщительных кранов питательной и тормозной магистралей в блок ЭПК.

Для расширения функциональных возможностей локомотивов нового поколения, оборудованных системами автоведения и комплексами КЛУБ и БЛОК, в области обеспечения безопасности движения на МТЗ «Трансмаш» разработан еще один прибор: клапан электропневматический экстренного торможения дистанционного управления 266-1 (рис. 5).

Клапан 266-1 предназначен для разрядки тормозной магистрали темпом экстренного торможения при подаче электрического сигнала от микропроцессорной системы управления или комплекса безопасности (КЛУБ, БЛОК) без участия машиниста, а также для обеспечения принудительной остановки локомотива (поезда) по команде поездного диспетчера или дежурного по

станции, переданной по цифровому радиоканалу. Для приведения клапана в рабочее положение после срабатывания необходимо зарядить сжатым воздухом тормозную магистраль и за кольцо вытянуть фиксатор.

Клапан 266-1 устанавливается на локомотиве вне кабины (или в кабине) для исключения несанкционированного перекрытия разобщительного крана к тормозной магистрали.

По результатам стендовых испытаний клапана 266-1 в Уральском отделении АО ВНИИЖТ установлено, что в условиях работы с сжатым воздухом низкой степени очистки прибор имеет недостаточную надежность. Попадание даже мелких, не отфильтрованных частиц грязи или влаги в подводящий к управляющему электропневматическому вентилю канал приводит к отказу клапана. Испытания выявили и конструктивные недостатки, которые ограничивают функциональные возможности устройства. В частности, срабатывание клапана происходит при подаче напряжения на катушку, и в случае обрыва подводящего кабеля или отключения электропитания клапан 266-1 не может сработать и привести тормоза в действие (в данном случае информация получена не из литературных источников, а путем

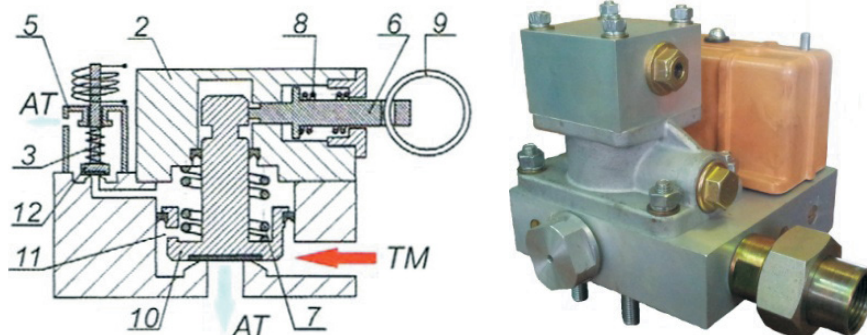


Рис. 5. Клапан электропневматический экстренного торможения дистанционного управления 266-1

1 – кронштейн 266.010-2; 2 – клапан срывной 266.060; 3 – пружина; 4 – гайка; 5 – вентиль электропневматический 120 с крышкой; 6 – фиксатор; 7, 8 – пружина; 9 – кольцо; 11 – дроссельное отверстие 0,8 мм; 12 – клапан питательный

проведения экспериментов и исследований авторами статьи).

Наличие на локомотиве нескольких приборов включения экстренного торможения (ЭПК, КОН и 266-1), которые в любой не контролируемый машинистом момент могут несанкционированно сработать (в том числе из-за собственной неисправности или ложного сигнала), создает предпосылки угрозы безопасности движения поезда и понижает надежность системы безопасности локомотива в целом.

В Уральском отделении АО ВНИИЖТ разработан ЭПК-АС – электропневматический клапан автостопа с функцией резервирования, который за счет применения микропроцессорных элементов и специального программного обеспечения (ПО) осуществляет функции электропневматического клапана автостопа ЭПК с блоком КОН и клапана электропневматического экстренного торможения дистанционного управления 266-1 (рис. 6).

Прибор предназначен для применения на тяговом, мотор-вагонном и специальном подвижном составе, оборудованном комплексом БЛЮК (соответствующей модификации) на новом или модернизируемом подвижном составе.

При этом были учтены специальные требования, предъявляемые к локомотивным приборам безопасности, в результате чего прибор имеет два дублирующих комплекта оборудования, встроенное ПО и систему диагностики. Пневматической камеры выдержки времени нет, как нет и пневматического свистка, вместо него сообщение передается через пульт речевой информации ПРИС или динамик локомотивный Д-ЛДПП.

Прибор подключен к тормозной магистрали через переключательный трехпозиционный кран таким образом, что в работе постоянно находится один из полукомплектов или оба полукомплекта одновременно. В случае сбоя или возникновения неисправности в одном из полукомплектов безотказная работа

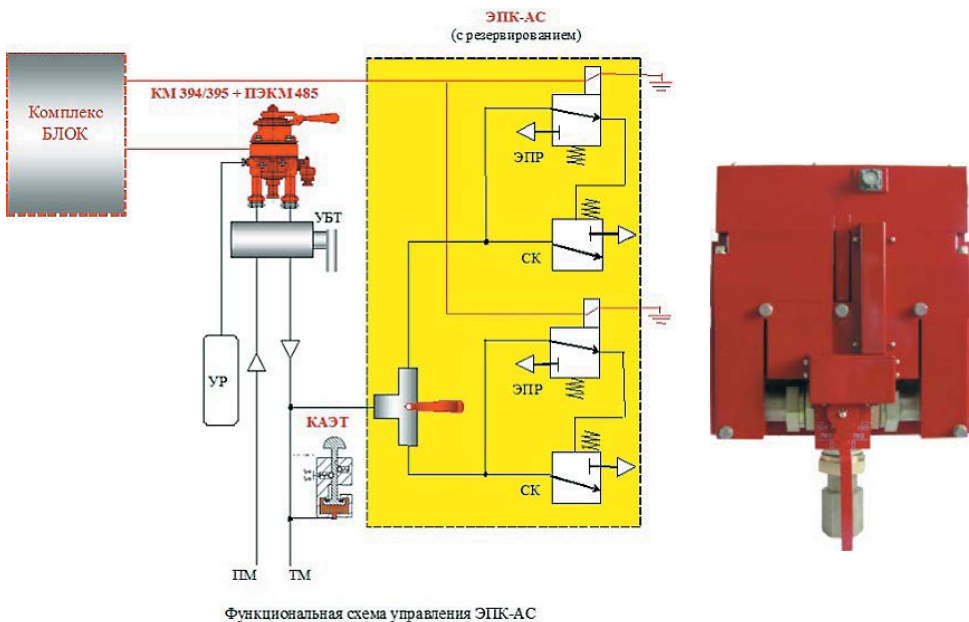


Рис. 6. Электропневматический клапан автостопа с функцией резервирования ЭПК-АС (ФГУП «ПО «Октябрь», г. Каменск-Уральский Свердловской обл.).
Функциональная схема управления и общий вид

обеспечивается переключением крана в положение, при котором неисправный полукомплект отключается от тормозной магистрали и функционирование ЭПК-АС обеспечивается через подключение исправного полукомплекта к ТМ.

В качестве исполнительного органа экстренной разрядки тормозной магистрали используется узел пневматического клапана производства ФГУП «ПО «Октябрь». Блок экстренного торможения содержит управляющие элементы в виде электропневматических реле (ЭПР) с переключающими пневматическими контактами: ЭПР управляет работой пневматического срывного клапана СК.

Функции пневматической камеры выдержки времени выполняет блок электроники, который обеспечивает диагностику прибора, при этом выдержку времени на срабатывание можно регулировать в различных пределах.

С учетом того, что на локомотивах нового поколения применяются микропроцессорные системы управления и комплексы безопасности КЛУБ или БЛОК, имеющие непрерывную интегрированную информацию о режимах ведения поезда и состоянии тормозов в поезде, команду на применение экстренного автостопного торможения или экстренного автостопного торможения с выдержкой времени формирует комплекс безопасности БЛОК программными средствами по специально разработанным алгоритмам.

Преимущества ЭПК-АС: выполнение всех функций, реализуемых электропневматическими клапанами экстренного торможения ЭПК, ЭПК с КОН и электропневматического экстренного торможения дистанционного управления; реализация дополнительных функций (возможность регулирования времени задержки на срабатывание в зависимости от скорости движения поезда и показания впередистоящего сигнала, возможность автоматической диагностики работоспособности и функционального состояния прибора); универсальность предложенного изделия позволяет устанавливать его на всех типах самоходного подвижного состава; непрерывное нахождение в режиме функциональной возможности на срабатывание; улучшение массогабаритных показателей; повышение показателя эксплуатационной готовности до $K_g = 0,99$; снижение себестоимости относительно комплекта существующих приборов, выполняющих функции одного ЭПК-АС.

Испытания опытного образца ЭПК-АС намечены на 2017 г. В случае подтверждения всех преимуществ нового электропневматического клапана автостопа с функцией резервирования результатами испытаний, его применение повысит надежность, безотказность и функциональность систем безопасности тягового подвижного состава, не увеличивая при этом их себестоимость. ■

Литература

1. Об утверждении перечня устройств безопасности движения и регистраторов переговоров : распоряжение ОАО «РЖД» от 13.08.2013 № 1745р. М., 2013.
2. Сороко В. И. Автоматика, телемеханика, связь и вычислительная техника на железных дорогах России / В. И. Сороко, В. М. Кайнов, Г. Д. Казиев // М. : НПФ «Планета». 2006. Т. 1. С. 369–390.
3. Иноземцев В. Г. Тормозное и пневматическое оборудование подвижного состава / В. Г. Иноземцев, И. В. Абашкин. – М. : Изд-во «Транспорт». 1984. С. 241–242.
4. Электропневматический клапан автостопа ЭПК-150 : руководство по эксплуатации 5ТП.341.360.020 ; восст. 18.01.2007, с изм. 26.08.2009. – Пензенский завод «Локомотив», МТЗ «Трансмаш».
5. ТУ 3184-034-05756760–2002 : Электропневматический клапан автостопа ЭПК-153А-01 : руководство по эксплуатации.
6. О крушении грузовых поездов №№ 2126, 3004, 2805 на станции Гонжа Забайкальской железной дороги : приказ министра путей сообщения от 29 декабря 2001 г. № 53.

7. О крушении грузовых поездов №№ 2106, 2456 и 2165 на станции Заборье Октябрьской железной дороги : приказ министра путей сообщения от 06 августа 2001 г. № 21.
8. Устройство контроля несанкционированного отключения (ключом) ЭПК-КОН : руководство по эксплуатации.
9. Электропневматический клапан автостопа : а.с. № 79890 СССР.
10. Электропневматический клапан автостопа : а.с. № 2326012 Рос. Федерации.

Literature

1. Ob utverzhenii perechnya ustrojstv bezopasnosti dvizheniya i registratorov peregovorov [On approval of the list of traffic safety devices and registrars of negotiations: the order of JSC «Russian Railways» from 13.08.2013 № 1745 r].
2. Soroko V. I. Avtomatika, telemekhanika, svyaz' i vychislitel'naya tekhnika na zheleznykh dorogakh Rossii [Soroko V. I. Automation, telemechanics, communications and computer technology on the railways of Russia] / V. I. Soroko, V. M. Kainov, G. D. Kaziev // M. : SPCF (Scient. Prod. Commercial Firm) Planeta. 2006. T. 1. Pg. 369–390.
3. Inozemtsev V. G. Tormoznoe i pnevmaticheskoe oborudovanie podvzhnogo sostava [Inozemtsev V. G. Brake and pneumatic equipment of rolling stock] / V. G. Inozemtsev, I. V. Abashkin. – M. : Publishing house «Transport». 1984. Pg. 241–242.
4. EHlektropnevmaticheskij klapav avtostopa EHPK-150 : rukovodstvo po ehkspluatatsii 5TP.341.360.020 ; vosst. 18.01.2007, s izm. 26.08.2009 [Electro-pneumatic valve of auto-stop EPV-150: instruction manual 5TP.341.360.020; Rev. January 18, 2007, with amend. 26.08.2009]. – Penza factory «Lokomotiv», MBF (Moscow brake factory) «Transmash».
5. TU 3184-034-05756760–2002 : EHlektropnevmaticheskij klapav avtostopa EHPK-153A-01 : rukovodstvo po ehkspluatatsii [TU 3184-034-05756760-2002: Electro-pneumatic automatic stop valve EPV-153A-01: instruction manual].
6. O krushenii gruzovykh poezdov №№ 2126, 3004, 2805 na stantsii Gonzha Zabajkal'skoj zheleznoj dorogi [On the crash of freight trains №№ 2126, 3004, 2805 at the station of the Transbaikalian Gondzha Railway: the order of the Minister of Railways, December 29, 2001, № 53].
7. O krushenii gruzovykh poezdov №№ 2106, 2456 i 2165 na stantsii Zabor'e Oktyabr'skoj zheleznoj dorogi [On the crash of freight trains №№ 2106, 2456 and 2165 at the station Zabor'ye, October Railway: the order of the Minister of Railways, August 06, 2001, № 21].
8. Ustrojstvo kontrolya nesanktsionirovannogo otklyucheniya (klyuchom) EHPK-KON [Monitoring device for unauthorized switch (key) EPV-KON: instruction manual].
9. EHlektropnevmaticheskij klapav avtostopa [Electro-pneumatic automatic stop valve: a. s. No. 79890 of the USSR].
10. EHlektropnevmaticheskij klapav avtostopa [Electro-pneumatic automatic stop valve: a.s. № 2326012 of Russian Federation].

Статья сдана в редакцию 15 апреля 2017 года

Управление в технических системах

УДК 62-83

А. А. Шапран, Н. Б. Новикова

К вопросу устойчивости двухканальных систем управления электрическим приводом

UDC 62-83

A. A. Shapran, N. B. Novikova

To the question of the stability of two-channel electric drive control systems

Аннотация

В статье рассмотрен принцип построения системы автоматического управления электрическим приводом постоянного тока одновременно по каналу якорной цепи и по каналу цепи возбуждения, где основу предлагаемого принципа составляют вопросы устойчивости системы. Характерно, что именно такой принцип управления при соответствующем его использовании способен обеспечить высокое качество функционирования системы и, что особенно важно, позволяет решать задачи оптимизации. В работе предложена методика анализа такой системы, базирующаяся на прямом методе Ляпунова, где

исходным материалом анализа послужили данные, полученные в ходе лабораторных исследований. Предлагаемая методика позволяет находить границы областей устойчивости настроечных параметров системы, а результатом всей работы становится аналитическая модель, позволяющая адаптировать широкий спектр систем управления данного класса под рассматриваемый принцип. Работа предполагает развитие в плане распространения ее результатов на системы более сложной структуры, а также на системы управления объектами, обладающими тяжелыми динамическими свойствами. Именно такое развитие

полученных результатов может стать предметом дальнейших исследований.

Ключевые слова: автоматизированный электропривод, двухканальное управление, устойчивость.

DOI:10.20291/2079-0392-2017-2-40-45

Annotation

The principle of constructing a system for automatic control of an electric DC drive simultaneously along the channel of the anchor chain and along the channel of the excitation circuit is considered. The basis of the proposed principle is the stability of the system. It is characteristic that exactly such a management principle, when properly used,

Александр Андреевич Шапран, канд. техн. наук, профессор; кафедра «Мехатроника» Уральского государственного университета путей сообщения; Екатеринбург, Россия. E-mail: AShapran@usurt.ru.

Надежда Борисовна Новикова, старший преподаватель; кафедра «Информационные технологии и защита информации» Уральского государственного университета путей сообщения; Екатеринбург, Россия. E-mail: NNovikova@usurt.ru.

Статья рекомендована к печати Б.М. Готлибом, д-ром техн. наук, профессором; Уральский государственный университет путей сообщения; Екатеринбург, Россия. E-mail: BMGotlib@usurt.ru.

Alexandr Andreevitch Shapran, Candidate of Technical Sciences, Professor; Department «Mechatronics» of Ural State University of Railway Transport; Ekaterinbourg, Russia. E-mail: AShapran@usurt.ru.

Nadezhda Borisovna Novikova, Senior lecturer; Department «Information technologies and the safety of information» Ural State University of Railway Transport; Ekaterinbourg, Russia. E-mail: NNovikova@usurt.ru.

The article is recommended for editing from B. M. Gotlib, Doctor of Technical Sciences, Professor; Ural State University of Railway Transport; Ekaterinbourg, Russia. E-mail: BMGotlib@usurt.ru.

can ensure high quality of the system functioning and, what is especially important, it allows to solve optimization problems. In this paper, we propose a technique for analyzing such a system based on the direct Lyapunov method, where the initial material of the analysis was the data obtained in the course of laboratory researches. The

proposed methodology allows to find the boundaries of the stability areas of the system's tuning parameters, and the result of all work is an analytical model that allows to adapt a wide range of control systems of a given class to the considered principle. The work involves development in terms of the dissemination of its results to systems of a more

complex structure, as well as to control systems of objects with heavy dynamic properties. It is this development of the results obtained that can be the subject of further research.

Key words: automated electric drive, two-channel control, stability.

DOI:10.20291/2079-0392-2017-2-40-45

Достоинства принципа двухканального управления электрическим приводом и возможность решения задачи оптимизации управления такого рода объектами отмечены в работах [1, 2]. Там же дан подход к построению такой системы, изложена методика и рассмотрен принцип ее анализа, в первую очередь устойчивости, к чему, собственно, и сводится основная задача исследования.

Рассмотренный принцип базировался на предложенной в работе [2] модели и полностью определялся динамическими свойствами системы, которые для рассмотренного в указанной работе примера, имеющего целью отражение сути, допускали упрощения. Так, например, управляющие устройства обоих каналов считались безынерционными, а из всех известных законов управления в обоих каналах принимался простейший – пропорциональный. В реальной же системе с целью более высокого качества управления в смысле точности воспроизведения управляемой величины, как правило, используются пропорционально-интегральные законы управления, которые реализуются регуляторами, обладающими значительной инерционностью. Для той же функциональной модели и приведенной в работе [2] структурной схемы, если снова допустить безынерционный характер работы регуляторов, но осуществляющих при этом ПИ-законы регулирования, передаточные функции имеют следующие выражения:

для канала управления по якорной цепи

$$W_{\text{ря}}(p) = \frac{U_{\text{я}}(p)}{\varepsilon_1(p)} = K_{\text{п1}} + \frac{K_{\text{и1}}}{p}, \quad (1)$$

а для канала управления по возбуждению

$$W_{\text{рв}}(p) = \frac{U_{\text{в}}(p)}{\varepsilon_2(p)} = K_{\text{п2}} + \frac{K_{\text{и2}}}{p} \quad (2)$$

динамика движения системы будет характеризоваться нижеследующими математическими зависимостями.

Динамика канала управления по цепи якоря может быть представлена передаточной функцией

$$W_1(p) = \frac{\omega_1(p)}{\varepsilon_1(p)} = \left(K_{\text{п1}} + \frac{K_{\text{и1}}}{p} \right) \cdot \frac{K_{\text{д}}^U}{T_{\text{д}}p + 1}, \quad (3)$$

а динамика канала управления по цепи возбуждения будет выражаться как

$$\begin{cases} W_2(p) = \frac{\omega_2(p)}{U_1(p)} = \frac{1}{T_{\text{в}}p + 1} \\ U_1 = \frac{K_{\text{в}}}{U_{\text{в}}} \\ U_{\text{в}}(p) = \left(K_{\text{п2}} + \frac{K_{\text{и2}}}{p} \right) \cdot \varepsilon_2(p) \end{cases} \quad (4)$$

И так как динамика всей системы, в первую очередь ее устойчивость будет определяться нелинейным характером формирования управляемой величины из составляющих по каждому из каналов

$$\omega = \omega_1 \cdot \omega_2, \quad (5)$$

то окончательно модель системы управления в операторной форме запишется уравнением:

$$(T_{Дp} + 1) \cdot (T_{Вp} + 1) \cdot (K_{П2p} + K_{И2}) \cdot \omega \cdot \varepsilon_2 = (K_{П1p} + K_{И1}) \cdot K_{Д}^U \cdot K_{В} \cdot \varepsilon_1. \quad (6)$$

Введем обозначения:

$$T_{P1} = \frac{K_{П1}}{K_{И1}}, T_{P2} = \frac{K_{П2}}{K_{И2}}. \quad (7)$$

Тогда модель системы запишется как

$$(T_1 p^3 + T_2 p^2 + T_3 p + 1) \cdot \omega \cdot \varepsilon_2 = (T_{P1} p + 1) \cdot K_0 \cdot \varepsilon_1, \quad (8)$$

где

$$K_0 = K_{Д}^U \cdot K_{В} \cdot \frac{K_{И1}}{K_{И2}}, \quad (9)$$

$$T_1 = T_{Д} \cdot T_{В} \cdot T_{P2}, \quad (10)$$

$$T_2 = T_{Д} \cdot T_{В} + T_{Д} \cdot T_{P2} + T_{В} \cdot T_{P2}, \quad (11)$$

$$T_3 = T_{Д} + T_{В} + T_{P2}. \quad (12)$$

После соответствующих преобразований, учитывая, что $\varepsilon_1 = x_1 - k_{oc1} \omega$, а $\varepsilon_2 = x_2 - k_{oc2} \omega$ и при условии $x = 0$, что соответствует состоянию равновесия системы, имеем:

$$\varepsilon_1 = -k_{oc1} \cdot \omega, \quad \varepsilon_2 = -k_{oc2} \cdot \omega, \quad (13)$$

где k_{oc1} и k_{oc2} – коэффициенты цепи обратной связи каждого из каналов.

В результате уравнение движения примет вид:

$$(T_1 p^3 + T_2 p^2 + T_3 p + 1) \cdot k_{oc2} \cdot \omega = (T_{P1} p + 1) \cdot K_0 \cdot k_{oc1}. \quad (14)$$

Полученная модель представляет собой уравнение движения системы, и для постоянного внешнего воздействия в классической форме записи оно будет выглядеть как

$$k_{oc2} \cdot T_1 \frac{d^3 \omega}{dt^3} + k_{oc2} \cdot T_2 \frac{d^2 \omega}{dt^2} + k_{oc2} \cdot T_3 \frac{d \omega}{dt} + k_{oc2} \omega = K_0 \cdot k_{oc1}. \quad (15)$$

Введя обозначения

$$y = y_1 = \omega, \quad y_2 = \frac{dy_1}{dt}, \quad (16)$$

$$y_3 = \frac{dy_2}{dt} = \frac{d^2 y_1}{dt^2},$$

полученную модель можно представить в виде системы уравнений:

$$\begin{cases} \frac{dy_1}{dt} = y_2 \\ \frac{dy_2}{dt} = y_3 \\ \frac{dy_3}{dt} = \frac{K_0 k_{oc1}}{k_{oc2} T_1} - \frac{1}{T_1} y_1 - \frac{T_3}{T_1} y_2 - \frac{T_2}{T_1} y_3. \end{cases} \quad (17)$$

А далее эту модель использовать для анализа по методу Ляпунова.

Функцию Ляпунова V можно представить как

$$V = y_1^2 + y_2^2 + y_3^2, \quad (18)$$

и для устойчивости движения ее производная по времени должна быть отрицательна, т.е. необходимо, чтобы $\frac{dV}{dt} < 0$.

Поскольку

$$\frac{dV}{dt} = \frac{dV}{dy_1} \cdot \frac{dy_1}{dt} + \frac{dV}{dy_2} \cdot \frac{dy_2}{dt} + \frac{dV}{dy_3} \cdot \frac{dy_3}{dt}, \quad (19)$$

то после преобразований производная

$$\frac{dV}{dt} = 2y_1 \cdot y_2 + 2y_2 \cdot y_3 + 2y_3 \cdot \left(\frac{K_0 k_{oc1}}{k_{oc2} T_1} - \frac{1}{T_1} y_1 - \frac{T_3}{T_1} y_2 - \frac{T_2}{T_1} y_3 \right). \quad (20)$$

Движение рассматриваемой здесь системы не может считаться устойчивым в целом по тем же причинам, что и в примере, приведенном в работе [2]. А анализ выражения (20) приводит к аналогичным условиям устойчивости, но позволяющим варьирование параметров системы даже в более широких пределах с сохранением ею устойчивого состояния, что достигается

за счет большего числа параметров. Казалось бы, последнее утверждение противоречит смыслу, поскольку использование ПИ-закона регулирования означает включение в систему интегрирующего звена, что должно отрицательно сказаться на ее устойчивости. Однако этого не происходит благодаря структурному построению системы и обратно пропорциональной зависимости управляемой величины от управляющего воздействия в одном из каналов, в результате чего интегрирующие составляющие каналов взаимно компенсируются.

Необходимо помнить, что все сказанное относительно сохранения условий устойчивости остается в силе для апериодического процесса в системе, но именно последний и присущ высокоинерционным приводам, не допускающим колебательного характера движения. Так что, как видим, замена пропорционального закона управления на пропорционально-интегральный, обеспечивая более высокую точность функционирования системы благодаря ее структурному построению, не приводит к заметному изменению условий устойчивости. Но остается открытым вопрос устойчивости для случая, когда в рассматриваемой системе принимается во внимание инерционность управляющего устройства. Но так как инерционность цепи возбуждения как минимум на порядок выше инерционности якорной цепи, то и инерционностью регулятора цепи возбуждения пренебречь все-таки можно. Для регулятора же цепи якоря этого делать никак нельзя.

В этом случае передаточная функция регулятора канала якорной цепи:

$$W_{\text{ря}}(p) = \frac{U_z(p)}{\varepsilon_1(p)} = \frac{K_{\text{ПИ}}p + K_{\text{ИИ}}}{p(T_p p + 1)}, \quad (21)$$

где T_p – постоянная времени регулятора якорной цепи; для канала управления по возбуждению она будет той же, что и в примере (4). Тогда модель системы управления в операторной форме можно будет представить как

$$(T_p p + 1) \cdot (T_d p + 1) \cdot (T_B p + 1) \times \\ \times (K_{\text{ПИ}} p + K_{\text{ИИ}}) \cdot \omega_2(p) \cdot \varepsilon_2(p) = \quad (22) \\ = K_D^U \cdot K_B (K_{\text{ПИ}} p + K_{\text{ИИ}}) \cdot \varepsilon_1(p)$$

или в виде

$$(T_1 p^4 + T_2 p^3 + T_3 p^2 + T_4 p + 1) \cdot \omega \cdot \varepsilon_2 = \quad (23) \\ = K_D^U \cdot K_B (K_{\text{ПИ}} p + K_{\text{ИИ}}) \cdot \varepsilon_1(p),$$

где T_1, T_2, T_3, T_4 получаются в результате простых преобразований путем раскрытия круглых скобок.

Учитывая принятые ранее выражения для ε_1 и ε_2 , а также принимая во внимание отсутствие задающего воздействия, что соответствует состоянию равновесия системы, получим уравнение движения системы в окончательном виде:

$$(T_1 p^4 + T_2 p^3 + T_3 p^2 + T_4 p + 1) \cdot k_{\text{oc2}} \cdot \omega = \quad (24) \\ = K_0 \cdot k_{\text{oc1}} (T_{\text{PI}} p + 1).$$

Для постоянного внешнего воздействия в классической форме записи:

$$k_{\text{oc2}} \cdot T_1 \frac{d^4 \omega}{dt^4} + k_{\text{oc2}} \cdot T_2 \frac{d^3 \omega}{dt^3} + \\ + k_{\text{oc2}} \cdot T_3 \frac{d^2 \omega}{dt^2} + k_{\text{oc2}} \cdot T_4 \frac{d\omega}{dt} + \\ + k_{\text{oc2}} \cdot \omega = K_0 \cdot k_{\text{oc1}}. \quad (25)$$

Поскольку движение системы управления описывается уравнением 4-й степени, ее модель будет теперь состоять из четырех уравнений:

$$\begin{cases} \frac{dy_1}{dt} = y_2 \\ \frac{dy_2}{dt} = y_3 \\ \frac{dy_3}{dt} = y_4 \\ \frac{dy_4}{dt} = \frac{K_0 k_{\text{oc1}}}{k_{\text{oc2}} T_1} - \frac{1}{T_1} y_1 - \frac{T_4}{T_1} y_2 - \frac{T_3}{T_1} y_3 - \frac{T_2}{T_1} y_4. \end{cases} \quad (26)$$

Функцию Ляпунова можно представить как

$$V = y_1^2 + y_2^2 + y_3^2 + y_4^2, \quad (27)$$

а ее производная по времени, которая для устойчивого равновесного состояния системы должна быть отрицательной, определяется выражением

$$\begin{aligned} \frac{dV}{dt} = & 2y_1y_2 + 2y_2y_3 + 2y_3y_4 + \\ & + 2y_4 \left(\frac{K_0 k_{oc1}}{k_{oc2} T_1} - \frac{1}{T_1} y_1 - \frac{T_4}{T_1} y_2 - \right. \\ & \left. - \frac{T_3}{T_1} y_3 - \frac{T_2}{T_1} y_4 \right). \end{aligned} \quad (28)$$

Анализ полученного выражения показывает, что инерционность регулятора практически не влияет на устойчивость системы. Несмотря на то, что добавляется постоянная времени

и, как следствие этого, степень уравнения движения растет (в нашем случае до 4-й), порядок астатизма при этом остается прежним, неизменным остается и коэффициент передачи системы, что имеет следствием сохранение условий устойчивости. Совершенно очевидно, что иной результат ожидается в случае построения системы управления следящим приводом, например, обработки угла рассогласования. В такой системе неизбежно следует ожидать повышения порядка астатизма и, соответственно, показатели устойчивости ухудшатся. Таким образом, решены некоторые вопросы анализа двухканальной следящей системы. ■

Литература

1. Шапран А. А., Новикова Н. Б. Задача построения системы двухканального управления электрическим приводом постоянного тока // Вестник УрГУПС. 2011. № 4 (27). С. 39–45. ISBN 2079-0392.
2. Новикова Н. Б., Шапран А. А. Двухканальное управление электрическим приводом в транспортных системах // Вестник УрГУПС. 2016. № 4 (32). С. 15–20. ISSN 2079-0392.
3. Шапран А. А. Проблема устойчивости системы двухканального управления электрическим приводом // Вестник УрГУПС. 2012. № 2 (14). С. 61–67. ISSN 2079-0392.
4. Чиликин М. Г. Общий курс электропривода. М. : «Энергия», 1971.
5. Белов М. П., Новиков В. А., Рассудов В. Н. Автоматизированный электропривод типовых производственных механизмов и технологических комплексов. М. : «Академия», 2004. 576 с. ISBN 978-5-7695-4497-2.
6. Москаленко В. В. Электрический привод. М. : «Академия», 2007. 368 с.
7. Зимин Е. Н., Яковлев В. И. Автоматическое управление электроприводами. М. : «Высшая школа», 1999. 318 с.
8. Карнаухов Н. Ф. Электромеханические и мехатронные системы. Ростов-на-Дону : «Феникс», 2006. 320 с. ISBN 5-222-08228-8.
9. Сиротин А. А. Автоматическое управление электроприводами. М. : «Энергия», 2008. 560 с.
10. Терехов В. М., Осипов О. И. Системы управления электроприводов. М. : «Академия», 2007. 304 с.

Literature

1. SHapran A. A., Novikova N. B. Zadacha postroeniya sistemy dvukhkanal'nogo upravleniya elektricheskim privodom postoyannogo toka [The task of constructing a system of two-channel control of an electric drive of a direct current] // Bulletin of the Ural State University of Railway Transport. 2011. № 4 (27). Pg. 39–45. ISBN 2079-0392.
2. Novikova N. B., SHapran A. A. Dvukhkanal'noe upravlenie elektricheskim privodom v transportnykh sistemakh [Two-channel control of the electric drive in transport systems] // Bulletin of the Ural State University of Railway Transport. 2016. № 4 (32). Pg. 15–20. ISSN 2079-0392.
3. SHapran A. A. Problema ustoychivosti sistemy dvukhkanal'nogo upravleniya elektricheskim privodom [Problem of stability of the system of two-channel control of electric drive] // Bulletin of the Ural State University of Railway Transport. 2012. № 2 (14). Pg. 61–67. ISSN 2079-0392.
4. CHilikin M. G. Obshchiy kurs elektroprivoda. [General course of the electric drive] M. : «Energy», 1971.

5. Belov M.P., Novikov V.A., Rassudov V.N. Avtomatizirovannyy elektroprivod tipovykh proizvodstvennykh mekhanizmov i tekhnologicheskikh kompleksov. [Automated electric drive of standard production mechanisms and technological complexes]. M. : «Akademy», 2004. 576 pg. ISBN 978-5-7695-4497-2.
6. Moskalenko V. V. Elektricheskiy privod. [Electric drive]. M. : «Akademy», 2007. 368 pg.
7. Zimin E.N., YAKovlev V.I. Avtomaticheskoe upravlenie elektroprivodami. [Automatic control of electric drives]. M. : «High School», 1999. 318 pg.
8. Karnaukhov N.F. Elektromekhanicheskie i mekhatronnye sistemy. [Electromechanical and mechatronic systems]. Rostov-na-Don : «Phoenix», 2006. 320 pg. ISBN 5-222-08228-8.
9. Sirotin A.A. Avtomaticheskoe upravlenie elektroprivodami. [Automatic control of electric drives]. M. : «Energy», 2008. 560 pg.
10. Terekhov V.M., Osipov O.I. Sistemy upravleniya elektroprivodov. [Control systems of electric drives]. M. : «Akademy», 2007. 304 pg.

Статья сдана в редакцию 1 марта 2017 года

Г.Л. Аккерман, С.Г. Аккерман

Облик высокоскоростной железнодорожной магистрали

G. L. Akkerman, S.G. Akkerman

High-speed railway highlights

Аннотация

В статье рассматриваются особенности проектирования высокоскоростной железнодорожной магистрали (ВСМ). Дается сравнение и преимущества ВСМ с авиационным транспортом. ВСМ – это социальный и политический проект, показывающий технические и технологические достижения России. Поэтому применять к нему стандартные экономические критерии рациональности вряд ли целесообразно. В статье для внутренней оценки оптимальности трассы, плана, профиля предлагается критерий стоимости одной сэкономленной минуты при движении по ВСМ по сравнению со временем передвижения на существующей железной дороге.

В соответствии с предложенной мощностью электропоезда, в статье выполнен анализ и предлагаются параметры элементов продольного профиля.

В качестве элемента сопряжения в плане и профиле вместо круговой кривой рекомендуется биклоида, средний радиус которой в два раза больше, чем у замещенной кривой. Это уменьшает силы взаимодействия между колесом и рельсом, что способствует плавности движения поезда и стабильности пути.

Предлагается на подъеме, особенно при крутых уклонах, профиль проектировать не прямолинейными, а криволинейными элементами, приближая его к энергооптимальному очертанию. Дается ряд критических замечаний относительно «Специальных технических условий», в которых, например, не обоснованы требования о несовпадении кривой в плане и профиле (норма: непогашенное ускорение $a_n \leq 0,6 \text{ м/с}^2$) и ряд других.

Ключевые слова: высокоскоростная магистраль, план, профиль, трасса, уклоны, радиус кривой, биклоида, мощность электропоезда, скорость, ускорение, критерий оптимальности.

DOI:10.20291/2079-0392-2017-2-46-56

Annotation

The article deals with the design features of the high-speed railroad (HSR). Comparison and advantages of HSR with air transport are given. HSR is a social and political project that shows Russia's technical and technological achievements. Therefore, it is hardly advisable to apply the standard economic criteria of rationality to it. In the article for internal evaluation of the optimality of the route, plan, profile, the criterion of the cost of one saved minute is suggested when moving along the HSR in comparison with the time of movement on the existing railway.

In accordance with the proposed electric train power, the article analyzes and suggests the parameters of the longitudinal profile elements.

As an element of rounding-off curve in the plan and profile, instead of a circular curve, a bicloidoid is recommended, whose mean radius is twice as large as for a substituted curve. This reduces the forces of interaction between the wheel and the rail, which contributes to the smoothness of the train and the stability of the track.

It is proposed on the rise, especially with steep slopes, to project the profile not by straight lines, but by curvilinear elements, bringing it closer to an energy-optimal outline. A number of critical remarks are given regarding the «Special Technical Conditions», in which, for example, the requirements for a mismatch in the curve and profile are not justified (Norm: unsettled acceleration $a_n \leq 0,6 \text{ m/s}^2$) and a number of others.

Key words: high-speed railroad, plan, profile, rail, slope, radius of the curve, bicloidoid, electric train power, speed, acceleration, criteria of rationality.

DOI:10.20291/2079-0392-2017-2-46-56

Геннадий Львович Аккерман, д-р техн. наук, профессор; кафедра «Путь и железнодорожное строительство» Уральского государственного университета путей сообщения; Екатеринбург; Россия. E-mail: GAKkerman@usurt.ru.

Сергей Геннадьевич Аккерман, канд. техн. наук, доцент; кафедра «Путь и железнодорожное строительство» Уральского государственного университета путей сообщения; Екатеринбург; Россия. E-mail: SAKkerman@usurt.ru.

Статья рекомендована к печати В.М. Сай, д-ром техн. наук, профессором; Уральский государственный университет путей сообщения; Екатеринбург. Россия. E-mail: vsay@usurt.ru.

Gennadi Lvovitch Akkerman, Doctor of Technical Sciences, Professor; Department «Railway track and railway engineering» of the Ural State University of Railway Transport (USURT); Ekaterinbourg; Russia. E-mail: GAKkerman@usurt.ru.

Sergey Gennadyevitch Akkerman, Candidate of Technical Sciences, Associate professor; Department «Railway track and railway engineering» of the Ural State University of Railway Transport (USURT); Ekaterinbourg; Russia. E-mail: SAKkerman@usurt.ru.

The article is recommended for editing from V.M. Say, Doctor of Technical Sciences, Professor; Ural State University of Railway Transport (USURT); Ekaterinbourg; Russia. E-mail: vsay@usurt.ru.

Термин «высокоскоростное движение» (сейчас высокоскоростная магистраль – ВСМ) стал применяться после открытия в Японии в 1964 г. ВСМ Токио – Осака. Скорость поездов на этой линии превышала 200 км/ч [1].

В настоящее время в мире полигон скоростных и высокоскоростных магистралей составляет более 25 тыс. км. Во Франции – более 2000 км; максимальная скорость поезда – 574,8 км/ч [2]. В Китае протяженность ВСМ составила около 10000 км. В постоянной эксплуатации достигнута максимальная скорость 380 км/ч (на участке Шанхай – Аэропорт протяженностью 30 км с магнитным подвешиванием подвижного состава) [3].

С уверенностью можно сказать, что развитие в стране ВСМ показывает ее техническую и технологическую успешность.

Очевидно, что для стран с обширными территориями актуальность сооружения ВСМ существенно возрастает.

В России в стадии завершения находится амбициозный и уникальный проект для страны – ВСМ Москва – Казань протяженностью 772 км с максимальной скоростью движения поездов до 400 км/ч. Скорости на ВСМ приближаются к скоростям воздушных судов (таблица 1).

Общее время в пути на ВСМ меньше, чем самолетом, а надежность и комфортабельность выше. По сравнению с обычными поездами, согласно [3], время движения уменьшается почти в 3,5 раза (с 726 мин на обычной железной дороге до 210 мин на ВСМ), или на 516 мин.

На участке ВСМ «М–В» – на 48 мин, что в ценах 2000 г. составит 807 млн руб./1 мин.

Таблица 1

Сравнение показателей авиатранспорта и одного из участков ВСМ

Характеристика, ед.		Самолет	ВСМ
Скорость, км/ч, м/с		800–895, 222–248	400/111
Всепогодность*		Нет	Да
Ускорение:			$\alpha_{\text{верт}} = 0,3 - 0,4 \text{ м/с}^2$
замедление		0,515 м/с ²	$\alpha_{\text{неп}} = 0,6 - 0,7 \text{ м/с}^2$
при «нормальной» эксплуатации		$\leq (1,5-2)g$	$\alpha_{\text{чрод при торм}} = 0,75 \text{ м/с}^2$ $A = \sqrt{\sum a_i^2} = 1,1 \text{ м/с,}$ или 0,11g
Пассажиры, кол-во		180 (ТУ-154); 280 («Боинг»)	720 в 12-вагонном поезде
Возможность передвижения по салону		Затруднена	Не ограничена
Время (например, Москва – Казань)	На подготовку		
	На регистрацию	40 мин	15 мин
	На передвижение городским транспортом	60 + 60 мин	–
	В пути	105 мин	3 ч 30 мин
Всего		265 мин, или 4 ч 25 мин	3 ч 45 мин

*В январе 2017 г. несколько суток подряд в аэропорту Домодедово по метеоусловиям отменено до 60 рейсов, а в аэропорту Кольцово – около 30.

Уменьшение стоимости одной «экономленной» минуты достигается за счет:
– увеличения средней скорости движения поезда на ВСМ, сокращения длины ВСМ,

– сокращения объемов работ при строительстве.

В таблице 2 приведены показатели по основным параметрам участка ВСМ «М–В».

Таблица 2

Основные технические показатели плана и продольного профиля, приведенные в однопутном исчислении

Параметр	Показатель	
Участок ВСМ	Ст. 23 км – 195 км	
Эксплуатационная длина, км	172,1	
Средняя скорость высокоскоростного поезда без остановок, км/ч	221	
Время хода высокоскоростного пассажирского поезда, мин	52	
Количество промежуточных остановок, остановки	3	
Минимальный радиус кривых в плане, м	350	
Максимальный радиус кривых в плане, м	11000	
Сумма углов поворота, град в том числе вправо, град влево, град	930°48'0â 554°19'05â 376°29'05â	
Протяженность кривых, км/%	92,12/48,3	
Протяженность прямых, км/%	79,98/51,7	
Максимальный уклон, %	24 на участке суммарной длиной 7,26 км, или 4,22 от длины трассы	
Протяженность площадок и уклонов, шт./км/%	0–15	108 эл., или 184,96 км, или 95,85 %
	15–20	2 эл., или 2,8 км, или 0,5 % от длины
	20–24	4 эл., или 7,26 км, или 3,7 % от длины
Максимальная протяженность подъема с уклоном более 20 %, м	2500	
Наибольшая рабочая отметка насыпи, м	28,0	
Наибольшая рабочая отметка выемки, м	8,5	
Сумма преодолеваемых высот, м	12,02	477,15 (туда)
		465,13 (обратно)
Искусственные сооружения, шт.	200	1 малый мост длиной 23,6 пог. м
		6 средних мостов общей длиной 362,2 пог. м
		32 больших моста общей длиной 15436 пог. м
		12 эстакад длиной 14747 пог. м
		13 ж.-д. путепроводов общей длиной 1185,5 пог. м
		126 прямоугольных железобетонных труб (ПЖБТ)
		10 путепроводов рамной конструкции

Стоимость строительства этого участка ВСМ – 38 722 166 тыс. руб. в ценах 2000 г.

Проектные решения, принятые при проектировании плана и продольного профиля, обеспечивают среднюю скорость движения высокоскоростных поездов по участкам на 7 % длины – до 200 км/ч, на 12 % – 200–250 км/ч, на 20 % – 350 км/ч, на 61 % – 400 км/ч.

Сейчас на всем участке средняя скорость поездов ВСМ составляет 221 км/ч при возможной максимальной 400 км/ч.

Тяговая мощность электропоезда ВСМ $N = 15200$ кВт, пусковое тяговое усилие $F = 400$ кН [3]. Предположим, что тяговая характеристика, т.е. зависимость силы тяги от скорости, близка к гиперболе. Тогда сила тяги поезда при скорости V определяется

$$F = \frac{N}{V},$$

а уравнение движения поезда

$$\frac{dV}{dt} = \xi r, \quad (2)$$

где r – удельная равнодействующая сил, действующих на поезд.

$$\xi = \frac{g}{1000(1 + \gamma)},$$

где g – ускорение свободного падения, $g = 9,81$ м/с², или $g = 127138$ км/ч²; $\gamma = 0,08$ – коэффициент, учитывающий энергию вращающихся масс поезда.

Тогда

$$\frac{dV}{dt} = 117,7 \cdot r. \quad (3)$$

В режиме тяги:

$$r = f - \omega_0 - i, \quad (4)$$

где f – удельная сила тяги; ω_0 – удельная сила сопротивления движению; i – подъем, на котором движется поезд.

Вес высокоскоростного двенадцати вагонного поезда, $Q = 810$ т [3], тогда

$$P = \frac{F}{Q}. \quad (5)$$

Из [3]:

$$\begin{aligned} \omega_0 &= 0,9 + 0,0025V + \\ &+ 0,00008V^2, \text{ Н/кН.} \end{aligned} \quad (6)$$

Расчет удельных сил по формулам (1), (5), (6) представлен в таблице 3.

Максимальный допустимый уклон продольного профиля $i_{\max} = 24$ ‰ [3]. Из таблицы 3件видно, что на этом подъеме поезд может двигаться ускоренно, если скорость будет не меньше 225 км/ч. Если скорость поезда в начале элемента с положительным уклоном будет 225–400 км/ч, то ускоренное или равномерное движение поезда возможно на подъемах (21,1–2,5) ‰. Скорость 350 км/ч возможна только на подъемах не круче 8,1 ‰.

Проинтегрировав уравнение (3), получим, что приращение времени Δt , ч:

$$\Delta t = \frac{\Delta V}{117,7 \cdot r_{\text{cp}}}, \quad (7)$$

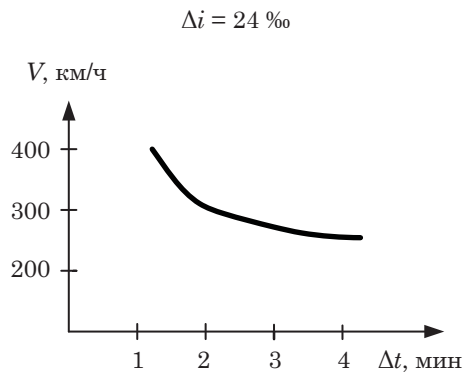
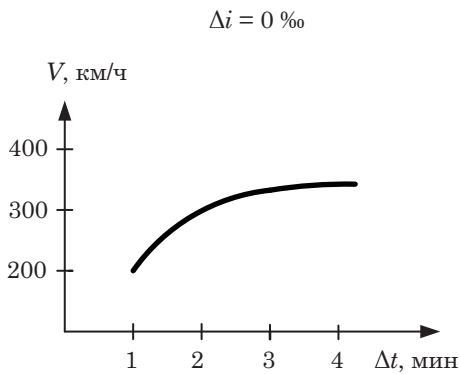
или в минутах

$$\Delta t = \frac{\Delta V}{1,96 \cdot r_{\text{cp}}} \text{ при } \frac{dV}{dt} \neq 0, \quad (8)$$

Таблица 3

Расчет удельных сил

V , км/ч; м/с	F , Н	f , Н/кН	ω_0 , Н/кН	$f - \omega_0$, Н/кН	$f - \omega_0 - 24$, Н/кН
200; 55,6	278780	34,4	4,6	29,8	+5,8
225; 62,5	248000	30,6	5,5	25,1	+1,1
250; 69,4	223340	27,6	6,5	21,1	-2,9
300; 83,3	186070	23,0	8,8	14,2	-9,8
350; 97,2	159460	19,7	11,6	8,1	-15,9
400; 111,1	139510	17,2	14,7	2,5	-21,5



где $r_{\text{ср}}$ – среднее значение удельной равнодействующей на интервале ΔV .

По выражению (6) и таблице 3 построены кривые Δt , мин, при изменении скорости на 50 км/ч на площадке $\Delta i = 0 \text{ ‰}$ и на уклоне $\Delta i = 24 \text{ ‰}$ (рис. 1, 2).

Из рис. 1 видно, что на площадке набор скорости при $V > 300$ км/ч идет в два раза медленнее, чем при меньших скоростях, а потеря скорости при подъеме 24 ‰ быстрее более чем в два раза. Правда, при движении на площадке длина элемента профиля должна быть не менее 22 км, а при движении поезда на подъеме 24 ‰ снижение скорости с 400 км/ч до 300 км/ч возможно на длине не менее 5 км, то есть длинные элементы профиля с крутыми уклонами по критерию времени хода поезда при скоростях более 300 км/ч нежелательны.

С учетом плавности движения поезда смежные элементы профиля должны сопрягаться кривой в вертикальной плоскости радиуса R_B , м:

$$R_B = \frac{V^2}{3,6^2 [a_{\text{верт}}]}, \quad (9)$$

где $[a_{\text{верт}}]$ – допустимое вертикальное ускорение, м/с^2 .

В таблице 4 приводятся значения R_B при различных скоростях движения поезда и $[a_{\text{верт}}]$

$$R_B = f(V, [a_{\text{верт}}]).$$

Считается, что вертикальное ускорение $[a_{\text{верт}}] \leq 0,4 \text{ м/с}^2$ лучше переносится пассажирами на вогнутом, чем на выпуклом профиле; $[a_{\text{верт}}] \leq 0,3 \text{ м/с}^2$ – на выпуклом.

В [3] радиусы вертикальных кривых те же самые, что и в таблице 4, за исключением $R_B < 20000$ м, которые принимаются равными 20000 м.

В работе [3], в отличие от стандарта [5], никаких ограничений на максимальный Δi не дается, что правильно, т.к. поезд движется по вертикальной кривой, а не по прямолинейным элементам.

В работе [3], в отличие от [6], нет ограничений на величину перелома профиля. Тогда максимальный перелом:

$$\Delta i = 48 \text{ ‰}.$$

Таблица 4

Радиус вертикальных кривых

$[a_{\text{верт}}], \text{ м/с}^2$	$V, \text{ км/ч}$		
	200	300	400
0,3	18272 \approx 19000	23148 \approx 24000	41152 \approx 42000
0,4	7784 \approx 8000	17334 \approx 18000	30864 \approx 31000

Изменение уклона по длине при движении по вертикальной кривой [7]:

$$\frac{di}{dS} = \frac{1}{R_B}. \quad (10)$$

То есть увеличение R_B в два раза (с 20 тыс. до 42 тыс. м) в два раза увеличивает плавность траектории движения, что улучшает скоростную характеристику поезда ВСМ. Поэтому в любом случае следует стремиться к $R_B = 42000$ м.

На кафедре «Путь и железнодорожное строительство» УрГУПС проведены исследования по замене кривой в вертикальной плоскости сопряжением в виде биклотоид [11]. Эти исследования показали, что при движении поезда по «биклотоидной» траектории продольные силы уменьшаются на 2–4 %, а вертикальные – на 45 %. Появляется излишек мощности, который расходуется на увеличение скорости, то есть на уменьшение времени хода на этом участке.

Важно, что при прохождении перелома профиля по биклотоидному сопряжению, как показало имитационное моделирование, колебания экипажа заканчивались в пределах биклотоиды, чего не наблюдалось в вертикальной круговой кривой [12]. У биклотоиды средний радиус в два раза больше, чем у заменяемой круговой кривой, и при одном и том же угле поворота длина биклотоидного сопряжения в два раза больше, чем длина круговой кривой. Желательно, чтобы при движении поезда по траектории в вертикальной плоскости время хода было минимальным.

Строго говоря, в данном случае имеется вариационная задача, которая сводится к определению минимального значения функционала [8]:

$$T = \int_{S_1}^{S_2} \frac{\sqrt{1 + (h')^2}}{V(S)} dS \rightarrow \min,$$

где h – разница высот между точками пути поезда с линейными координатами S_1 и S_2 , м; $V(S)$ – скорость поезда в точке S , м/с; T – время, с.

При движении по этой траектории в вертикальной плоскости поезд при преодолении подъема h затратит минимум времени, что крайне важно для ВСМ.

Поставленная задача решена в работе [9]. Правда, в качестве критерия оптимизации принят минимум расхода энергии; определяется так называемый энергооптимальный профиль.

Экономия энергии при движении поезда по энергооптимальному профилю достигает 15 % и более.

Кривая изменения проектных отметок энергооптимального профиля описывается полиномом степени $(n + 1)$, где n – степень полинома, аппроксимирующего зависимости скорости и равнодействующих удельных сил от пути [9].

Так как при движении поезда на подъем по энергооптимальному профилю экономится энергия, то возрастает средняя скорость движения (экономленная энергия тратится на увеличение скорости), а значит, уменьшается время хода.

Как показали наши исследования, проектирование профиля прямолинейными элементами оптимально только тогда, когда поезд по элементу движется равномерно. Кстати, более 70 % времени поезд движется неравномерно [10]. Ясно, что ВСМ в профиле должны проектироваться криволинейными, а не прямолинейными элементами.

Если сравнить показатели участка ВСМ (см. таблицу 2), то необходимо отметить, что два прямолинейных элемента профиля с уклоном 15–20 ‰ имеют длину 2,8 км, четыре элемента с уклоном 24 ‰ – 7,26 км.

В проекте рассматриваемого участка ВСМ мало используются крутые уклоны. Например, использование уклонов 15–24 ‰ составляет всего 4,3 % от длины. Применение крутых уклонов позволило бы уменьшить рабочие отметки насыпей. Наибольшая рабочая отметка насыпи – 28 м (см. таблицу 2).

Технические условия, на наш взгляд необоснованно выдвигают требования о недопустимости совпадения сопряжения элементов профиля в вертикальной плоскости с переходными кривыми в плане [3]. В теории это объясняется трудностью содержания, соответствующей этому случаю, сложной пространственной кривой, у которой кривизна в вертикальной плоскости совпадает с изменяющейся кривизной в плане. Современные технологии позволяют с требуемой точностью избежать трудоемкости этого процесса. При этом необходимо учитывать не отдельные ускорения, поперечные и вертикальные, а суммарные, действующие на экипаж.

$$a = \sqrt{a_B^2 + a_{\text{поп}}^2 + a_{\text{прод}}^2}.$$

В таблице 1, $a = 1,1 \text{ м/с}^2$, или $0,11g$, то есть много меньше g .

Основная задача создателей ВСМ – это запроектировать трассу так, чтобы время движения поезда по ней было бы минимальным, т.е. скорости близки к максимально допустимой – 400 км/ч . Однако, судя по таблице 2, средняя скорость составляет 221 км/ч .

Уменьшить время хода поезда можно за счет сокращения длины трассы и ликвидации мест, ограничивающих скорость.

В таблице 2 нет двух важнейших показателей – коэффициента развития линии λ и среднего радиуса кривой.

$$\lambda = \frac{L_{\text{тр}}}{L_{\text{геод}}}, \quad (11)$$

где $L_{\text{тр}}$ – длина трассы; $L_{\text{геод}}$ – длина геодезической линии.

$$R_{\text{ср}} = \frac{\sum l_{\text{кр}}}{\sum \alpha^{\text{рад}}}, \quad (12)$$

где $\sum l_{\text{кр}}$ – сумма всех кривых, м; $\sum \alpha^{\text{рад}}$ – сумма всех углов поворота в радианах.

По формуле (12): $R_{\text{ср}} = 5670 \text{ м}$.

По расчетам А.К. Гавриленко: $\lambda = 1,07$.

Длина ВСМ рассматриваемого участка (195 км) на 7% больше длины гео-

дезической линии, равной 182 км . Это происходит из-за того, что на некоторых участках трассы ВСМ укладывается в привязке к существующим транспортным коридорам железной дороги или проектируемой скоростной автомагистрали. На этих транспортных магистралях не предусматривается максимальная скорость движения – 400 км/ч , поэтому привязку ВСМ к ним необходимо обосновать. Всего таких участков 80 км , из них 23 км – «выход» из мегаполиса.

На 33% участков трасса ВСМ обходит населенные пункты и садовые кооперативы (без сноса или с минимальным сносом). Значит, эти расстояния ВСМ должны быть обоснованы с учетом стоимости сноса.

Средний радиус кривых, согласно формуле (12) и таблице 2, $R_{\text{ср}} = 5670 \text{ м}$. При таком радиусе на каждом км кривой трасса увеличивается на 6 м . Длина всех кривых по таблице 2 – $92,12 \text{ км}$, т.е. общее удлинение трассы составляет $6 \cdot 92,12 = 550 \text{ м}$. Стоимость такого удлинения – более 500 млн руб . Каждый лишний километр трассы при средней скорости 221 км/ч увеличивает время хода поезда на 16 с .

Ограничение скорости в кривой [1]:

$$V = \sqrt{\frac{h + \frac{a_H}{g}}{12,5}} R,$$

где $h = 150 \text{ мм}$ – возвышение наружного рельса; $a_H = 0,6 \text{ м/с}^2$ – непогашенное ускорение; $S = 1600 \text{ мм}$ – расстояние между осями рельсов в кривой; g – ускорение земного притяжения.

Подставив значения и проведя вычисления, получим

$$V = 4,45\sqrt{R}. \quad (13)$$

Согласно формуле (13), скорость в кривой при $R_{\text{ср}} = 5670 \text{ м}$ равна $V = 336 \text{ км/ч}$; чтобы скорость была 400 км/ч , радиус кривой желательно иметь больше или равным 8100 м . В СТУ $R = 11000 \text{ м}$ [3].

Требования, изложенные в [3], – ограничение минимальной длины

круговой кривой до 200–300 м – ничем не подтверждены. Как показали исследования, проведенные учеными кафедры «Путь и железнодорожное строительство», поперечные силы взаимодействия между колесом и рельсом при использовании биклотоидного проектирования плана (когда отсутствует «чистая» круговая кривая) уменьшаются в зависимости от радиуса заменяемой круговой кривой от 20 до 100 %, а вертикальные силы взаимодействия колеса и рельса уменьшаются более чем на 40 % [12–15].

Средний радиус биклотоидного сопряжения в два раза больше, чем круговой кривой.

Так как биклотоида сдвигает трасу внутрь кривой, длина железнодорожного пути уменьшается на 1,5–2%, хотя само биклотоидное сопряжение по сравнению с круговой кривой увеличивается в два раза [13–15]. Значит, замена круговой кривой с переходными кривыми в плане биклотоидным сопряжением уменьшает длину трассы, увеличивает плавность движения поезда, повышает стабильность пути из-за меньших сил взаимодействия между колесом и рельсом.

Работа сил сопротивления $A_{кр}$ в кривой:

$$A_{кр} = \omega_r \cdot Q \cdot L_k, \quad (14)$$

где $\omega_r = \frac{700}{R}$ [16], Н/кН – удельное со-

противление движению поезда в кривой; Q – вес поезда, кН; $L_k = R \cdot \alpha$ – длина кривой; α – угол поворота кривой в радианах.

Подставив значения ω_r и L_k в (14), получим:

$$A_{кр} = Q \frac{700}{R} \cdot R \cdot \alpha = 700Q \cdot \alpha.$$

Работа сил сопротивления в кривой при $Q = \text{const}$, а значит, и потраченная на это энергия прямо пропорциональна углу поворота. Таким образом, чем меньше $\sum \alpha^{\text{рад}}$ вдоль трассы, тем меньше ее длина и больше экономится энергии на тягу, а избыток энергии идет на

повышение скорости, что является основной задачей ВСМ.

Стоимость строительства рассматриваемого участка ВСМ в ценах 2000 г. – 38722 млн руб., в ценах второго квартала 2016 г. – 250200 млн руб.; стоимость 1 км линии выросла с 218,57 тыс. руб./км до 1410 млн руб./км – почти в 6,5 раз.

Время хода поезда на ВСМ без учета остановок – 52 мин (см. таблицу 2) (с учетом трех промежуточных остановок время хода поезда по ВСМ увеличится еще на 12 мин, время в пути составит 64 мин).

По существующей железнодорожной линии (по расписанию) – 1 ч 45 мин [3]. Разница во времени хода поезда ВСМ и по обычной железной дороге составляет 41 мин. Отсюда стоимость одной сэкономленной минуты в ценах 2000 г. составляет 945 млн руб. а в ценах 2016 г. – 6150 млн руб./мин.

Для сравнения: двухпутная железная дорога Перпиньян – Фигерас (Испания, Франция; построена в 2009 г.), длина 44,4 км, из них 8,3 км – тоннель в Пиренеях, стоимость 952 млн евро [17], или 1,5 млрд руб./км. Экономия времени – 160 мин. Одна сэкономленная минута стоит ≈ 417 млн руб. ВСМ Лион – Турин, длина 140 км с тоннелями протяженностью 87 км стоит по проекту 26,1 млрд евро, то есть 1 км – 13,5 млрд руб. Сокращает время в пути на 107 мин; одна «экономленная» минута стоит 17,1 млрд руб. Линию должны сдать в эксплуатацию в 2028 г. [18].

В 80-х гг. прошлого столетия авторы участвовали в выполнении целевой комплексной программы МПС «Ускорение», суть которой сводилась к модернизации существующей железной дороги для повышения скорости пассажирских поездов до 140–160 км/ч.

Стоимость 1 сэкономленной минуты превышала 1 млн руб., в нынешних ценах – больше 100 млн руб. Программа не была реализована.

Основная задача при проектировании ВСМ – уменьшение времени хода поезда между конечными пунктами

участка, чтобы цена сэкономленных минут по сравнению с существующим железнодорожным сообщением была бы разумно обоснованной. Для этого следует стремиться к сокращению длины трассы. Проектировать план, профиль так, чтобы средняя скорость на участке была бы близка к максимальной – 300–350 км/ч, тогда по сравнению со скоростью 400 км/ч на каждом километре время хода увеличится менее чем на 3 с (на всем участке меньше 10 мин; при $V_{cp} = 221$ км/ч – 24 мин).

Коэффициент развития трассы ВСМ должен быть, по нашим данным, меньше 1,07, для чего укладывать трассу ВСМ в коридоре с другими магистралями, где скорости движения много меньше 400 км/ч (максимальной скорости ВСМ), вряд ли целесообразно (по крайней мере, требуется обоснование). Обход ситуационных препятствий (поселков, садовых кооперативов и т.п.) должен проектироваться после сравнения стоимости сноса и стоимости удлинения линии, увеличения времени хода поезда.

Сопряжения элементов в плане и профиле желательно проектировать не круговыми кривыми, а биклотоидами, что сокращает длину трассы и уменьшает силы взаимодействия между колесом и рельсом до 40 %, способствуя плавности движения поезда, снижению расхода энергии на тягу и стабильности содержания железнодорожного пути.

Работа сил сопротивления движению в кривой пропорциональна углу поворота, поэтому $\sum \alpha^{рад}$ по всей трассе должна быть минимальной, а это уменьшает длину линии. Это значит, что любое отклонение от кратчайшего расстояния должно быть обосновано.

Смелое использование крутых уклонов и меньших длин элементов профиля способствует уменьшению объемов работ. Однако длинные элементы профиля с крутыми уклонами по критерию сокращения времени хода нежелательны при скоростях более 300 км/ч.

При выходе из центра мегаполиса альтернативой движению поездов

ВСМ по существующим железнодорожным путям, где имеются кривые $R = 350$ м, а значит, и ограничение скорости в кривой, должно быть использование эстакад. Эстакады желательно использовать при высоких насыпях (максимальная высота насыпи на рассматриваемом участке ВСМ составляет 28 м). При высоте насыпи 20 м ее ширина по низу будет около 90 м. Замена насыпей эстакадами уменьшает ширину полосы отвода.

Требования, изложенные в [3], об обязательном несовпадении переломов профиля и плана не отвечают современному развитию техники и технологии. Эти же требования о максимальном значении непогашенного ускорения $a_H \leq 0,6$ м/с² также требуют обоснования. За рубежом $a_H \leq 0,7-1$ м/с².

Качество ВСМ определяется ее эффективностью. В данном случае – стоимостью строительства и временем движения поезда между конечными пунктами.

За «совмещенный» критерий можно принять стоимость сэкономленной одной минуты по сравнению с другими видами транспорта. Общего подхода к оценке этого критерия пока нет, но, учитывая амбициозность и уникальность проекта, подход должен быть взвешенным, а принятие окончательного решения остается за людьми, всесторонне знающими экономическую и политическую ситуацию в стране и мире.

Открытой остается проблема проектирования ВСМ, связанная с «живучестью» объекта – со свойством оставаться хотя бы частично работоспособным при стихийном воздействии внешней среды или преднамеренных действиях человека.

Наименьшие скорости, а значит, и наибольшие потери времени у поездов ВСМ ожидаются при выходе из мегаполиса. Здесь имеются кривые с $R = 350$ м. Целесообразно рассмотреть вариант начальной станции ВСМ, отнесенный по направлению трассы ВСМ (приблизительно на 10 км) и совмещенной с одной из станций метрополитена. ■

Литература

1. Высокоскоростной железнодорожный транспорт / под ред. И.П. Киселева. – М., 2014. 308 с.
2. Авиационные правила. Ч. 25 : Нормы летной годности самолетов транспортной категории. М. : Межгосударственный авиационный комитет, 2009. 266 с.
3. Проектирование участка Москва – Казань высокоскоростной железнодорожной магистрали Москва – Казань – Екатеринбург со скоростями движения до 400 км/ч : Специальные технические условия. – СПб, 2016. 74 с.
4. Изыскание и проектирование железных дорог / под ред. И.В. Турбина. – М. : Транспорт, 1989. 479 с.
5. Градостроительный кодекс Российской Федерации. URL: http://www.consultant.ru/document/cons_doc_LAW_51040/ (дата обращения: 13.03.2017).
6. СТНЦ-01–95. Железнодорожной колеи 1520 мм. М. : МПС, 1995.
7. Аккерман Г.Л., Аккерман С.Г. Требования к величинам переломов профиля // Путь и железнодорожное строительство. 2008. №66(149). С. 5–8.
8. Смирнов В.И. Курс высшей математики. М. : Техничко-теоретическая литература, 1957. 812 с.
9. Аккерман Г.Л. Теория и практика проектирования железных до-рог с учетом воздействия окружающей среды : дис. ... на соиск. уч. ст. д-ра техн. наук. – Екатеринбург, 1992. 380 с.
10. Аккерман Г.Л., Мартыненко М.И. Учет реальных условий движения поезда при проектировании железных дорог / Сб. научн. тр. : «Техничко-экономическая эффективность проектных решений железных дорог». – М. : МИИТ, 1982. Вып. 715. С. 66–76.
11. Способ проектирования продольного профиля железнодорожного пути : пат. № 2587770 РФ.
12. Исламов А.Р. Имитационное моделирование движения поезда по сопряженным элементам продольного профиля // Вестник УрГУПС. 2011. № 4. С. 77–84. ISSN 2079-0392.
13. Аккерман Г.Л., Аккерман С.Г., Кравченко О.А. Биклотоидное проектирование криволинейных участков железной дороги // Путь и путевое хозяйство. 2010. № 10. С. 28–30. ISSN 0131-5765.
14. Аккерман Г.Л., Аккерман С.Г., Кравченко О.А. Метод снижения затрат на содержание криволинейных участков пути // Железнодорожный транспорт. 2011. № 5. С. 41–42. ISSN 0044-4448.
15. Аккерман Г.Л., Кравченко О.А. Оценка возможности применения биклотоидного проектирования кривых участков железнодорожного пути для высокоскоростных магистралей в программном комплексе UM / Тр. Международн. конф. «Роль путевого хозяйства в инфраструктуре железнодорожного транспорта». – М., 2012. С. 319–322.
16. Правила тяговых расчетов для поездной работы. М. : Транспорт, 1985. 288 с.
17. Сотников К. ВСМ под совместным управлением // Гудок. – 2017. – 18 янв.
18. Сотников К.Альпийский коридор // Гудок. – 2017. – 14 февр.

Literature

1. Vysokoskorostnoy zheleznodorozhnyy transport [High-speed railway transport] / edit. by I.P. Kiseleva. – M., 2014. 308 pg.
2. Aviatsionnye pravila. CH. 25: Normy letnoy godnosti samoletov transportnoy kategorii. [Aviation regulations. Ch 25: Standards of airworthiness of aircraft of the transport category]. M. : Interstate Aviation Committee, 2009. 266 pg.
3. Proektirovanie uchastka Moskva – Kazan' vysokoskorostnoy zheleznodorozhnoy magistrali Moskva – Kazan' – Ekaterinburg so skorostyami dvizheniya do 400 km/ch : Spetsial'nye tekhnicheskie usloviya. [Designing the Moscow-Kazan section of the high-speed Moscow – Kazan – Yekaterinburg railway with speeds of up to 400 km/h : Special technical conditions]. – SPb, 2016. 74 pg.
4. Izyskanie i proektirovanie zheleznykh dorog [Research and design of railways] / edit. by I.V. Turbine. – M. : Transport, 1989. 479 pg.
5. Gradostroitel'nyy kodeks Rossiyskoy Federatsii. [Urban Development Law of the Russian Federation]. URL: http://www.consultant.ru/document/cons_doc_LAW_51040/ (accessed date: 13.03.2017).

6. STNTS-01–95. Zheleznodorozhnoy kolei 1520 mm. [STAT-01–95. Of the rail track. 1520 mm]. М. : Ministry of Railroads, 1995.
7. Akkerman G.L., Akkerman S.G. Trebovaniya k velichinam perelomov profilya [Requirements to the values of profile fractures] // Track and railway construction. 2008. №66(149). Pg. 5–8.
8. Smirnov V.I. Kurs vysshey matematiki. [Course of higher mathematics]. М. : Technical and theoretical literature, 1957. 812 pg.
9. Akkerman G.L. Teoriya i praktika proektirovaniya zheleznykh dorog s uchetom vozdeystviya okruzhayushchey sredy [Theory and practice of designing railroads in view of the impact of the environment]: a dissertation for the academic degree of a Doctor of Technical Sciences. – Ekaterinbourg, 1992. 380 pg.
10. Akkerman G.L., Martynenko M.I. Uchet real'nykh usloviy dvizheniya poezda pri proektirovani zheleznykh dorog [Consideration of the real conditions of train movement in the design of railways] / Collection of scientific works: «Technical and economic efficiency of design solutions for railways». – М. : MSTU, 1982. Publication. 715. Pg. 66–76.
11. Sposob proektirovaniya prodol'nogo profilya zheleznodorozhnogo puti [Method of designing the longitudinal profile of the railway track]: pat. № 2587770 RF.
12. Islamov A.R. Imitatsionnoe modelirovanie dvizheniya poezda po sopryazhennym elementam prodol'nogo profilya [Simulation modeling of train movement on the adjacent elements of longitudinal profile] // Bulletin of the Ural State University of Railway Transport. 2011. № 4. Pg. 77–84. ISSN 2079-0392.
13. Akkerman G.L., Akkerman S.G., Kravchenko O.A. Biklotoidnoe proektirovanie krivolinyeynykh uchastkov zheleznoy dorogi [Byclotoid design of curvilinear sections of the railway] // Track and track facilities. 2010. № 10. Pg. 28–30. ISSN 0131-5765.
14. Akkerman G.L., Akkerman S.G., Kravchenko O.A. Metod snizheniya zatrat na sodержanie krivolinyeynykh uchastkov puti [The method of reducing the cost of maintaining curvilinear sections of the track] // Railway transport. 2011. № 5. Pg. 41–42. ISSN 0044-4448.
15. Akkerman G.L., Kravchenko O.A. Otsenka vozmozhnosti primeneniya biklotoidnogo proektirovaniya krivykh uchastkov zheleznodorozhnogo puti dlya vysokoskorostnykh magistralei v programmnom komplekse UM [Assessment of the possibility of applying the bicloid design of curved sections of the railway track for high-speed highways in the UM] / Work program of the International Conference «The Role of Track Facilities in Railway Transport Infrastructure». – М., 2012. Pg. 319–322.
16. Pravila tyagovykh raschetov dlya poezdnoy raboty. [Rules of traction for train work]. М. : Transport, 1985. 288 pg.
17. Sotnikov K. VSM pod sovmestnym upravleniem [BCM under joint management] // Gudok. – 2017. – 18 Jan.
18. Sotnikov K. Al'piyskiy koridor [Alpine corridor] // Gudok. – 2017. – 14 Feb.

Статья сдана в редакцию 15 февраля 2017 года

Организация и логистика

УДК 656.09

С. В. Сизый, Е. Ю. Кузнецова, А. А. Акулова

Графо-географическая модель региона и барицентрическая методика размещения предприятий утилизации автотранспортных отходов в Уральском регионе

UDC 656.09

S. V. Sizyi, E. Yu. Kuznetsova, A. A. Akulova

Graphical-geographical model of the region and baricentric method of placement of enterprises of utilization of motor transport wastes in the Ural region

Аннотация

В статье ставится задача оптимального размещения предприятий по утилизации автотранспорта различного класса на территории Уральского региона, обсуждаются недостатки существующих методов размещения. В качестве решения предложена барицентрическая методика определения оптимального расположения утилизационных центров, основанная на построении графо-географической модели региона. Согласно предложенной методике посчитаны потенциалы населенных пунктов Свердловской области и построены картосхемы плотности расселения и образования отходов.

Ключевые слова: барицентрическая методика, графо-географическая модель, размещение инфраструктурных объектов, утилизация автомобилей, авторециклинг.

DOI:10.20291/2079-0392-2017-2-57-66

Annotation

The article poses the problem of the optimal location of enterprises for the utilization of vehicles of various classes in the territory of the Ural region, and the shortcomings of the existing placement methods are discussed. As a solution, a barycentric technique is proposed for determining the optimal location of utilization centers, based on the construction of a graphical-geographical model of the region. According to the proposed method, the potentials of the settlements of the Sverdlovsk region are calculated and the maps of the density of settlement and waste generation are constructed.

Key words: barycentric technique, graphical-geographical model, location of infrastructure facilities, car recycling, auto-recycling.

DOI:10.20291/2079-0392-2017-2-57-66

Сергей Викторович Сизый, д-р техн. наук, профессор; кафедра вычислительной алгебры Уральского федерального университета; Екатеринбург, Россия. E-mail: s5125@e1.ru.

Елена Юрьевна Кузнецова, д-р эконом. наук, профессор; кафедра «Экономика предприятия» Уральского федерального университета; Екатеринбург, Россия. E-mail: elena.bstm@gmail.com.

Анастасия Александровна Акулова, аспирант; кафедра подъемно-транспортных машин и роботов Уральского федерального университета; Екатеринбург, Россия. E-mail: pblba90@mail.ru.

Статья рекомендована к печати С.В. Вихаревым, канд. физ.-мат. наук, доцентом; Уральский федеральный университет; Екатеринбург, Россия. E-mail: sergey.viharev@gmail.com.

Sergey Viktorovitch Sizyi, Doctor of Technical Sciences, Professor; Department for Computer algebra of Ural Federal University; Ekaterinbourg, Russia. E-mail: s5125@e1.ru.

Elena Yuryevna Kuznetsova, Doctor of Economic Sciences, Professor; Department «Economics of undertaking» of Ural Federal University; Ekaterinbourg, Russia. E-mail: elena.bstm@gmail.com.

Anastasiya Alexandrovna Akulova, Postgraduate; Department «Handling equipments and robots» of Ural Federal University; Ekaterinbourg, Russia. E-mail: pblba90@mail.ru.

The article is recommended for editing from S. V. Viharev, Candidate of phys.-math. Sciences, Associate professor; Ural Federal University; Ekaterinbourg, Russia. E-mail: sergey.viharev@gmail.com.

С конца 1980-х гг. основное направление развития автомобильной промышленности – улучшение показателей топливной экономичности, снижение выбросов и развитие автоматических систем безопасности.

Темп обновления модельных рядов автопроизводителей связан не только с маркетинговой составляющей, но и с ужесточением требований к экологичности и безопасности. Обзор мирового опыта утилизации автомобилей и рекомендации к организационной схеме системы утилизации на примере Уральского региона представлен в [1].

Создание системы утилизации транспортных средств требует решения логистической задачи определения оптимального размещения объектов инфраструктуры – пунктов сбора, предприятий демонтажа и переработки материалов. Предлагаемая нами методика должна удовлетворить потребности региона в таких предприятиях, при этом транспортные затраты будут минимизированы, а перерабатывающие предприятия полностью загружены.

Утилизационные предприятия целесообразно разделить на несколько классов в зависимости от выполняемых ими функций. Небольшие предприятия, занимающиеся сбором автомобилей и их укрупненным (агрегатным) демонтажом, размещаются так, чтобы минимизировать транспортные затраты на доставку отходов к пунктам переработки. Размещение крупных и средних предприятий по утилизации диктуется их максимальной загрузкой и транспортной доступностью.

Для решения задачи размещения используются математические методы – метод потенциала, метод «пузырька» и т.п. [2–4]. Но напрямую применять их к решению задачи размещения центров утилизации автоотходов нельзя.

Недостатки математических методов

Их универсальность и, как следствие, неадаптированность к специфике конкретной задачи. Значит, их

можно применять к решению обширного класса схожих задач из разных областей экономики и хозяйственной деятельности, а это предопределяет отсутствие конкретики и возможности гибкой трансформации таких методов под конкретную производственно-экономическую ситуацию.

В общих методах, как правило, не учитывается ряд параметров, от которых существенно зависит решение поставленной задачи. Так, например, в стандартном методе потенциала [2, 3] расчеты производятся на основании лишь двух параметров – численности населения и расстояния между населенными пунктами. Но для решения задачи размещения центров утилизации необходимо учитывать и такие параметры, как количество автотранспорта на душу населения, общее число зарегистрированных автотранспортных средств и их возраст, качество дорог на территориях региона и т.п.

Общие универсальные методы дают приближенные решения, т.е. предлагают либо примерный район размещения, либо несколько точек размещения на выбор, оставляя дальнейшее определение экономически целесообразного размещения центра утилизации на усмотрение управленческих структур.

Значит, необходима специализированная методика и адаптированные к поставленной задаче методы определения расположения центров утилизации автомобильных отходов.

Решение такой задач начнем с построения графо-географической модели региона, формирования необходимых для решения задачи модельных данных и последующих модельных вычислений – алгоритмически организованном (и, соответственно, допускающим компьютерную реализацию) поиске оптимальных мест размещения центров утилизации автоотходов. Формирование модельных данных и последующие модельные вычисления составляют предлагаемую нами в настоящей работе барцентрическую методику определения

оптимального расположения утилизационных центров.

Графо-географическая модель региона представляет из себя плоский граф с помеченными вершинами и ребрами $G = [\{V_{ij}\}, \{E_{ij}\}; \{P_i\}, \{R_{ij}\}]$, где $\{V_{ij}\}$ – множество вершин; $\{E_{ij}\}$ – множество ребер графа G ; $P_i \in \mathbf{R}$ – числовая метка вершины V_i ; R_{ij} – числовая метка ребра E_{ij} , соединяющего вершины V_i и V_j [5].

Вершины V_i графа G соотносятся с населенными пунктами рассматриваемого региона, размещены на плоскости в соответствии с их географическим положением. Ребра E_{ij} графа G – транспортными магистралями (автомобильным дорогам), соединяющими населенные пункты.

Числовую метку P_i вершины V_i и метку R_{ij} ребра E_{ij} графа G будем называть потенциалом вершины V_i и расстоянием между вершинами V_i и V_j . Содержательный смысл этих меток определен ниже в соответствии с определением местоположения центров утилизации автомобильных отходов.

Процесс практического построения графа G на основании географической карты региона схематично показан на рис. 1 (на примере Свердловской области).

Районы, обслуживаемые центрами утилизации, и оптимальное количество таких центров определяются эвристически на основании: а) финансовых возможностей региона по организации и строительству центров утилизации автотранспортных средств, б) потребности в определенном числе центров утилизации на территории региона с учетом географического расположения и концентрации населенных пунктов, городских агломераций и т.п. При расчете учитывают величину и распределение фактического объема автотранспортных средств по территории региона, подлежащих утилизации, в) административно-территориального деления рассматриваемого региона, г) законодательных и нормативных актов, отражающих стратегию развития региона (например, в регионе

действуют приоритетное развитие отдельных территорий и населенных пунктов, государственная поддержка развития территорий, есть крупные градообразующие предприятия и т.п. Здесь центр утилизации автотранспортных средств обязателен.), д) природоохранной и экологической составляющих (в регионе могут быть определены природоохранные зоны, заповедники, то есть территории, где присутствие центров утилизации автотранспорта недопустимо).

Применительно к Свердловской области, на основании реальных статистических данных (с использованием компьютерной программы ArcMap) построены картосхемы региона – численности и плотности населения, распределения объемов образования автотходов по территории области (рис. 2).

Из картосхем (с четким разделением территории области на зоны с повышенным образованием автотходов и плотностью населения) ясно, что здесь остро необходимы не менее двух центров утилизации автотходов. Первый центр предназначен для обслуживания конгломерации Екатеринбург и южных районов области, второй – конгломерацию города Нижнего Тагила и северных районов Свердловской области.

Разделение региона на «сферы влияния» центров утилизации автотранспортных отходов влечет соответствующее разбиение графо-географической модели региона на доли [5, 6] – части модели, соответствующие «сферам влияния» центров утилизации. Ребра графа между различными долями разбиения удаляются – считается, что перевозка отходов из одной доли в другую не осуществляется. Соответствующее разбиение модели Свердловской области показано на рис. 3.

Определим теперь метки вершин и ребер графо-географической модели для решения задачи размещения центров утилизации автомобильных отходов. Совокупность значений этих модельных характеристик (меток) будет

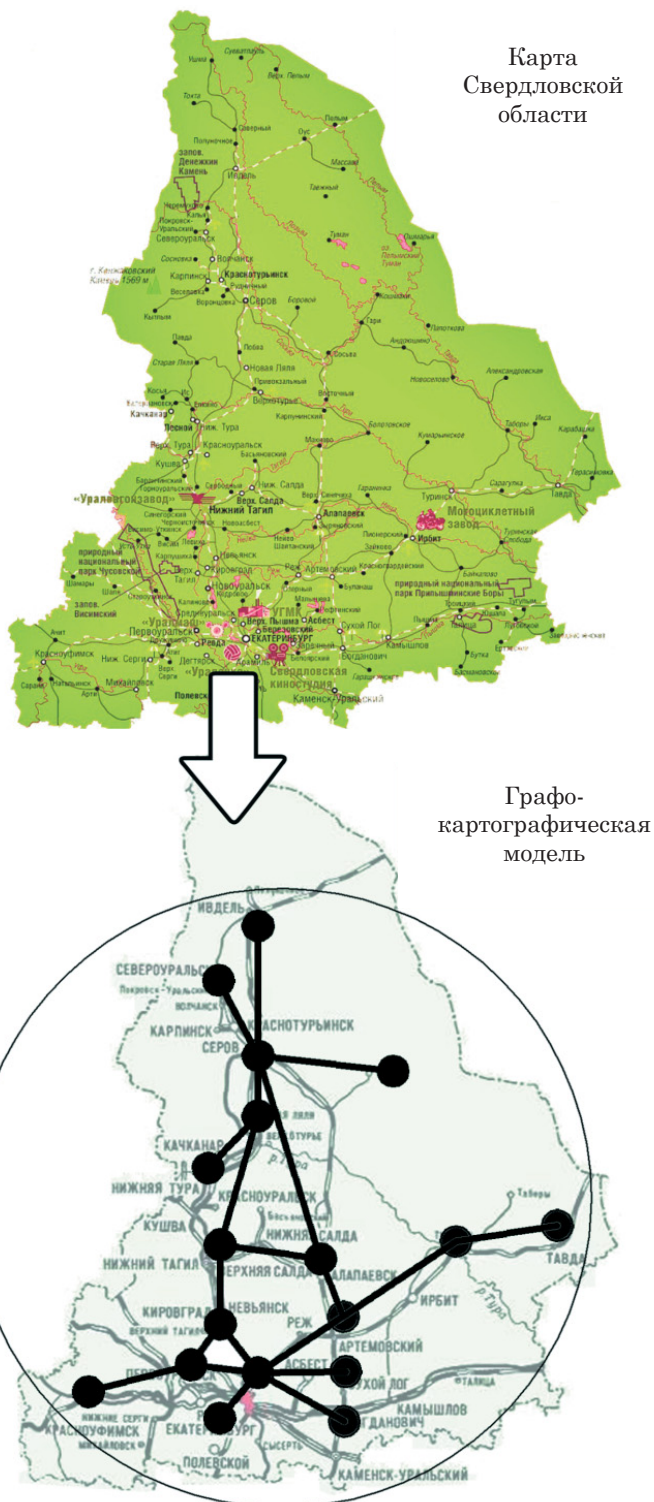
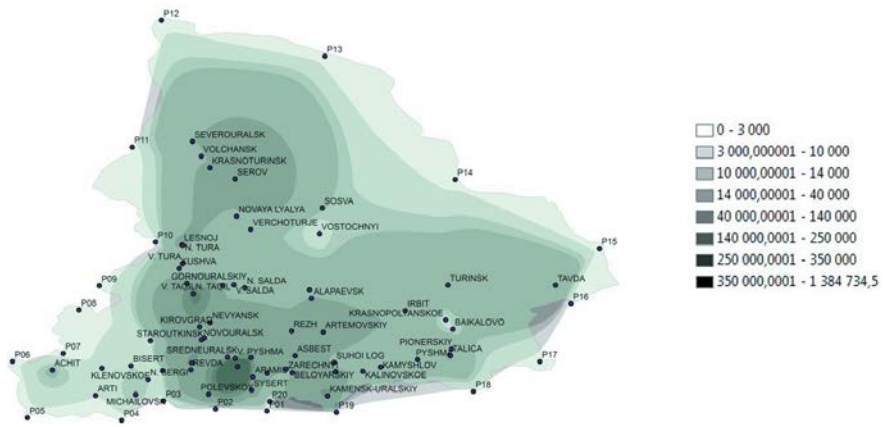
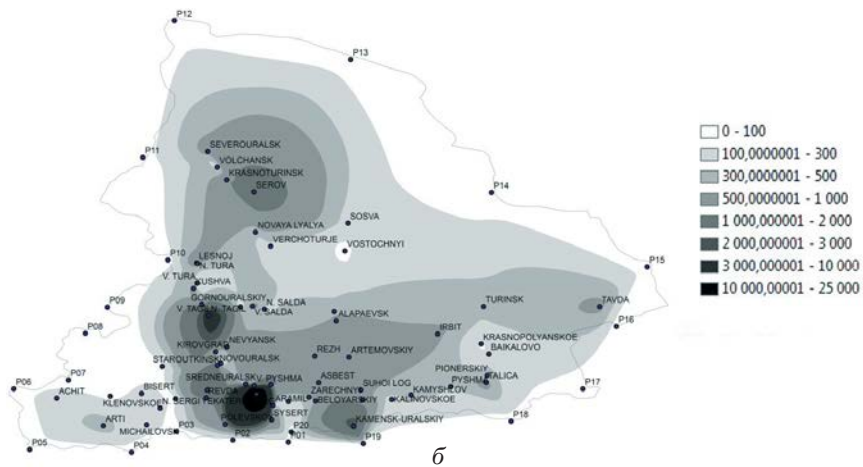


Рис. 1. Формирование графо-географической модели на основании географической карты региона



а



б

Рис. 2. Картограмма плотности расселения (а) и образования автоотходов (б) в Свердловской области



Рис. 3. Разбиение графо-географической модели на доли, соответствующие территориям обслуживания центрами утилизации

содержать в себе всю необходимую количественную информацию для решения поставленной задачи.

Потенциал («масса») вершины V_i определяется с помощью линейной формы [6]:

$$P_i = w_1\alpha_1 N_i + w_2\alpha_2 Z_i + w_3\alpha_3 K_i, \quad (1)$$

где N_i – численность населения (тыс. чел.) в пункте V_i . Этот показатель является естественным и традиционным для определения потенциала населенного пункта; Z_i – средняя заработная плата населения (тыс. руб.) в пункте V_i . Этот показатель отражает возможность приобретения населением новых автотранспортных средств, вызывающую необходимость утилизации старых; K_i – количество автотранспортных средств на 1000 чел. в пункте V_i . Этот показатель учитывает количество автотранспортных средств, потребность в утилизации которых возникает в пункте V_i , поскольку количество утилизируемых автотранспортных средств (согласно статистическим данным) составляет фиксированную долю от общего количества имеющегося автотранспорта в пункте V_i .

В рассматриваемой линейной форме для определения потенциала вершины весовые коэффициенты w_1, w_2, w_3 придают веса (значимость) учитываемым факторам N_i, Z_i, K_i . В настоящей работе принято $w_1 = w_2 = w_3 = 1$, т.е. все три рассматриваемых фактора принимаются равнозначными. Естественно, предложенные значения w_1, w_2, w_3 являются разумным эвристическим допущением, однако эти значения весовых коэффициентов допускают изменения в процессе настройки и верификации графо-географической модели на основании практического опыта работы существующих предприятий утилизации и метода экспертных оценок.

Нормировочные коэффициенты $\alpha_1, \alpha_2, \alpha_3$ выполняют двоякую функцию:

уравнивают порядки складываемых величин $\alpha_1 N_i, \alpha_2 Z_i, \alpha_3 K_i$, чтобы не допустить доминирования фактора

с наибольшим числовым значением и потери значимости остальных факторов;

уравнивают размерности складываемых величин таким образом, чтобы получаемый потенциал P_i вершины V_i оказался безразмерной величиной.

Нормировочные коэффициенты $\alpha_1, \alpha_2, \alpha_3$ имеют размерности:

$$[\alpha_1] = \frac{1}{\text{тыс. чел.}}; [\alpha_2] = \frac{1}{\text{тыс. руб.}};$$

$$[\alpha_3] = \frac{1}{\text{шт.}}$$

Численные значения коэффициентов $\alpha_1, \alpha_2, \alpha_3$ определяются на основании максимальных существующих в Свердловской области значений показателей N_i, Z_i, K_i :

$$\alpha_1 = \frac{1}{\max_i N_i}; \alpha_2 = \frac{1}{\max_i Z_i};$$

$$\alpha_3 = \frac{1}{\max_i K_i}.$$

Возможность и корректность такого определения нормировочных коэффициентов обоснована в [7, 8].

На основании реальных статистических данных, по формуле (1) проведено вычисление потенциалов 60 населенных пунктов Свердловской области – районных центров и населенных пунктов с населением свыше 3 тыс. чел. Значения потенциалов некоторых населенных пунктов области приведены в таблице 1.

Расстояние R_{ij} между вершинами V_i и V_j определяется в рассматриваемой модели следующим образом.

Пусть

$$\begin{aligned} L_{ij}(\alpha_1, \alpha_2, \dots, \alpha_{m-1}) &= \\ &= \{V_i = V_{\alpha_0} \rightarrow V_{\alpha_1} \rightarrow V_{\alpha_2} \rightarrow \dots \rightarrow \\ &\rightarrow V_{\alpha_{m-1}} \rightarrow V_{\alpha_m} = V_j\} \end{aligned} \quad (2)$$

– какой-либо путь, соединяющий в графе вершины V_i и V_j . Этот путь содержит m переездов через промежуточные населенные пункты $V_{\alpha_1} \rightarrow V_{\alpha_2} \rightarrow \dots \rightarrow V_{\alpha_{m-1}}$.

Таблица 1

Населенный пункт	Численность	Средняя зарплата, руб.	Количество автотранспортных средств на 1000 чел.	Нормировочный коэффициент α_1	Нормировочный коэффициент α_2	Нормировочный коэффициент α_3	Значение потенциала
Екатеринбург	1 491 493	31 522	409,5	0,00000067	0,00003172	0,002442	3
Нижний Тагил	361 815	25 301	318,3				1,8225
Верхняя Пышма	162 604	29318	318,3				1,8164
Верхнее Дуброво	51 712	29648	318,3				1,7525
Кушва	40 419	21753	318,3				1,4945

Обозначим через k_i категорию* автодороги на перегезде $V_{\alpha k-1} \rightarrow V_{\alpha k}$, т. е. коэффициент качества автодороги, соединяющей пункты $V_{\alpha k-1}$ и $V_{\alpha k}$, а через D_k – длину этого перегезда $V_{\alpha k-1} \rightarrow V_{\alpha k}$ по автодороге, км. Протяженностью перегезда из вершины V_i в вершину V_j по данному пути (2) будем называть величину

$$S(L_{ij}(\alpha_1, \alpha_2, \dots, \alpha_{m-1})) = \sum_{r=1}^m (k_r \cdot D_r).$$

Таким образом, протяженность перегезда из пункта V_i в пункт V_j по пути $L_{ij}(\alpha_1, \alpha_2, \dots, \alpha_{m-1})$ есть сумма длин перегездов между промежуточными пунктами, умноженных на качество дороги между этими пунктами. Это означает, что протяженность пути учитывает не только расстояние между пунктами отправки и назначения, но и качество эксплуатируемых дорог.

Назовем теперь расстоянием R_{ij} между вершинами графа (населенными пунктами) V_i и V_j минимальную протяженность среди протяженностей всевозможных путей, соединяющих вершины V_i и V_j :

$$R_{ij} = \min_{\text{по всевозможным путям } L_{ij}(\alpha_1, \alpha_2, \dots)} S(L_{ij}(\alpha_1, \alpha_2, \dots, \alpha_{m-1})). \quad (3)$$

Таким образом, расстояние R_{ij} является «стоимостью» проезда по самому короткому и наиболее удобному

с точки зрения качества дорог, между пунктами V_i и V_j . Введенное расстояние учитывает не только географическое расстояние между населенными пунктами, но и – за счет учета категории дорог – время и удобство передвижения между населенными пунктами.

Значения расстояний между вершинами естественно и удобно как формировать, так и хранить в компьютерном виде в форме таблицы (матрицы расстояний) (таблица 2). Очевидно, что это симметричная (поскольку $R_{ij} = R_{ji}$) квадратная матрица размера $n \times n$, где n – число вершин в графе G .

Таким образом, мы полностью определили графо-географическую модель и её количественное информационное наполнение (метки вершин и ребер) – потенциалы населенных пунктов и всевозможные расстояния между этими населенными пунктами.

Таблица 2

Расстояния между вершинами графо-географической модели

Вершины	V_1	V_2	V_3	...
V_1	0	R_{12}	R_{13}	...
V_2	R_{21}	0	R_{23}	...
V_3	R_{31}	R_{32}	0	...
\vdots	\vdots	\vdots	\vdots	\ddots

* Автодороги категории 1 – крупные оборудованные автотрассы федерального или регионального значения с разделенными полосами движения, категории 2 – региональные двухполосные асфальтированные дороги, категории 3 – дороги, не имеющие асфальтового покрытия. Таким образом, $k_i \in \{1, 2, 3\}$.

Алгоритм решения задачи размещения центров утилизации автоотходов

Шаг 1. Формирование показателя пригодности для каждой вершины графа.

Для каждой вершины графо-географической модели вычисляется следующий показатель пригодности для размещения центра утилизации:

$$W(V)_i = P_i + \sum_{\substack{\text{по всем вершинам} \\ V_j \text{ графа } G, \text{ где } i \neq j}} \frac{P_j}{R_{ij}}$$

Предлагаемый показатель пригодности имеет стандартный вид, используемый в методе потенциала, но включает в себе специфику рассматриваемой задачи. Населенный пункт тем более пригоден для размещения в нем центра утилизации, чем больше его собственный потенциал P_i (количество производимых в нем автоотходов, численность населения и покупательная способность) и чем дешевле и больше по объему можно доставить в него автоотходов из других населенных пунктов, т.е. чем больше сумма

$$\sum_{\substack{\text{по всем вершинам} \\ V_j \text{ графа } G, \text{ где } i \neq j}} \frac{P_j}{R_{ij}}$$

Шаг 2. Среди всех вершин графа G находим вершину V_i с максимальным показателем пригодности $W(V_i) = W_{\max}$. В случае зафиксированного разбиения графа на доли, соответствующие сферам влияния предполагаемых разных утилизационных центров, находим такую вершину для каждой доли разбиения в отдельности. Эти вершины и являются искомыми и оптимальным местом для размещения центра с экономической точки зрения.

Эти три этапа составляют предлагаемую нами барицентрическую методику определения месторасположения центров утилизации автоотходов на территории рассматриваемого региона.

Замечание 1. Если в найденной вершине с максимальным значением показателя пригодности размещение утилизационного центра невозможно (например, в силу существующих нормативных актов или экологических запретов), вместо найденной вершины с максимальным показателем пригодности следует взять вершину с показателем пригодности, непосредственно следующим за максимальным.

Замечание 2. В случае зафиксированного разбиения графа G на доли, соответствующие предполагаемым зонам обслуживания нескольких центров утилизации, при вычислении показателей пригодности вершин $W(V_i)$ следует производить суммирование не по всем вершинам графа G , а только по вершинам, входящим в долю, содержащую рассматриваемую вершину V_i . Это соответствует тому, что перевозок автоотходов между разными долями графа G не предполагается.

Замечание 3. Для ускорения процесса компьютерных вычислений необходимо вычисление показателей пригодности только для вершин V_i с большими собственными потенциалами P_i . Кроме того, целесообразно исключить вычисление показателей пригодности для висячих (крайних вершин, в которые входит лишь одно ребро) вершин графа G – вряд ли такие населенные пункты окажутся подходящими для размещения в них центров утилизации, скорее всего у них не будет максимального показателя пригодности из-за удаленности и небольшого собственного потенциала.

Замечание 4. Отыскание вершины графа с наибольшим показателем пригодности на языке механических аналогий для плоскораспределенной системы масс фактически означает нахождение центра тяжести плоского графа, у которого заданы массы вершин (т.е. потенциалы) и расстояния между этими массами. Этим объясняется название «барицентрическая» для методики, предложенной в настоящей работе.

Выводы

1. Построена модель, представляющая и организующая всю необходимую информацию для решения задачи.

2. Предложена новая алгоритмически детерминированная методика точного определения мест размещения утилизационных центров. Предложенная методика свободна от целого ряда недостатков применявшихся ранее универсальных методик размещения объектов.

3. Модель и предложенные алгоритмы допускают компьютерную реализацию.

4. Выполнение предложенной методики позволяет сделать однозначный

и точный выбор оптимального места расположения утилизационных центров.

5. Предложенная методика адаптирована к специфике рассматриваемой задачи и свободна от недостатков универсальных методов, применявшихся ранее.

6. Сформирована графо-географическая модель Свердловской области. На основании реальных статистических данных осуществлено количественно-информационное наполнение модели: вычислены потенциалы населенных пунктов Свердловской области и определены модельные расстояния между этими пунктами. Вычислены коэффициенты пригодности населенных пунктов к размещению центров утилизации. ■

Литература

1. Кузнецова Е.Ю., Акулова А.А. Организация процесса утилизации в российском автотранспортном комплексе // Вестник УрГУПС. № 4 (28). 2015. – С. 81–90. ISSN 2079-0392.
2. Региональная экономика : учебник для вузов / Т.Г. Морозова, М.П. Победина, Г.Б. Поляк и др. ; под ред. проф. Т.Г. Морозовой. – 2-е изд., перераб. и доп. – М. : ЮНИТИ, 2001. 472 с. ISBN 5-238-00027-8.
3. Егоров Д.О. Территориальная модель размещения объекта социальной инфраструктуры региона // Вестник Самарского государственного экономического университета. № 11 (133). 2015. С. 39–44. ISSN 1993-0453.
4. Великанова Т.В., Ладошкин А.И. Использование оптимизационных методов при планировании размещения производства // Вестник Самарского муниципального института управления. № 2. 2012. С. 66–73. ISSN 2071-9558.
5. Асанов М.О., Баранский В.А., Расин В.В. Дискретная математика: графы, матроиды, алгоритмы : уч. пособ. для вузов. СПб : Изд-во «Лань», 2010. 2-е изд. 368 с. ISBN 978-5-8114-1068-2.
6. Сай В. М., Сизый С. В. Геометрические характеристики организационных сетей // Мир транспорта. № 4 (32). 2010. С. 10–17. ISSN 1992-3252.
7. Сизый С. В. Определение привлекательности и ранжирование регионов России с точки зрения интересов компании ОАО «РЖД» с помощью методики линейных оценочных форм // Экономика железных дорог. №8. 2010. С. 20–33. ISSN 1727-6500.
8. Сизый С. В. Образование, функционирование и распад организационных сетей : научная монография / В. М. Сай, С. В. Сизый. – Екатеринбург : Изд-во УрГУПС. 2010. 368 с. ISBN 978-3-8454-7343-7.

Literature

1. Kuznetsova E.YU., Akulova A.A. Organizatsiya protsessa utilizatsii v rossiyskom avtotransportnom komplekse [Organization of the utilization process in the Russian motor transport complex] // Bulletin of the Ural State University of Railway Transport. № 4 (28). 2015. – Pg. 81–90. ISSN 2079-0392.
2. Regional'naya ekonomika : uchebnik dlya vuzov [Regional economy: textbook for universities] / T.G. Morozova, M.P. Pobedina, G.B. Polyak et al.; edit. by prof. T.G. Morozovoy. – 2nd ed. revised and enlarged – M. : UNITY, 2001. 472 pg. ISBN 5-238-00027-8.
3. Egorov D.O. Territorial'naya model' razmeshcheniya ob'ekta sotsial'noy infrastruktury regiona [Territorial model of location of the social infrastructure of the region] // Bulletin of the Samara State Economic University. № 11 (133). 2015. Pg. 39–44. ISSN 1993-0453.

4. Velikanova T.V., Ladoshkin A.I. Ispol'zovanie optimizatsionnykh metodov pri planirovanii razmeshcheniya proizvodstva [Use of optimization methods in planning the location of production] // Bulletin of the Samara Municipal Management Institute. №2. 2012. Pg. 66–73. ISSN 2071-9558.
5. Asanov M.O., Baranskiy V.A., Rasin V.V. Diskretnaya matematika: grafy, matroidy, algoritmy : uch. posob. dlya vuzov. [Discrete mathematics: graphs, matroids, algorithms: a textbook for high schools]. St. Petersburg: Publishing house «Lan», 2010. 2nd ed. 368 pg. ISBN 978-5-8114-1068-2.
6. Say V. M., Sizyy S. V. Geometricheskie kharakteristiki organizatsionnykh setey [Geometric characteristics of organizational networks] // The world of transport. № 4 (32). 2010. Pg. 10–17. ISSN 1992-3252.
7. Sizyy S. V. Opredelenie privlekatel'nosti i ranzhirovanie regionov Rossii s tochki zreniya interesov kompanii OAO «RZHD» s pomoshch'yu metodiki lineynykh otsenochnykh form [Determination of attractiveness and ranking of Russian regions from the point of view of the company interests by JSC «Russian Railways» using the method of linear evaluation forms] // Economics of railways. №8. 2010. Pg. 20–33. ISSN 1727-6500.
8. Sizyy S.V. Obrazovanie, funktsionirovanie i raspad organizatsionnykh setey [Formation, functioning and disintegration of organizational networks]: a scientific monograph / V.M. Say, S.V. Sizyy. – Ekaterinburg : Pub. house the Ural State University of Railway Transport. 2010. 368 pg. ISBN 978-3-8454-7343-7.

Статья сдана в редакцию 30 апреля 2017 года

Д.А. Брусянин, С.В. Вихарев, В.М. Сай

Моделирование транспортных потоков при развитии транспортной инфраструктуры на примере строительства трамвайной линии «Академический – ВИЗ» (Екатеринбург)

D. A. Brusyanin, S. V. Vikharev, V. M. Say

Modeling of transport flows in development of transport infrastructure on the example of construction of the tram-line «Academic – VIS» (Ekaterinburg)

Аннотация

Рассмотрена транспортная модель проектируемой трамвайной линии «Академический – ВИЗ» Екатеринбурга. В модели при определении транспортного спроса учтено развитие территории исследуемого района в средне- и долгосрочной перспективе. Прогнозное распределение транспортных потоков, тяготеющих на общественный и индивидуальный виды транспорта, выполнено с учетом введения платных парковок, темпов изменения автомобилизации населения, вариантов интеграции будущих трамвайных маршрутов с действующей маршрутной сетью общественного транспорта.

Ключевые слова: транспортная модель, маршрутная сеть общественного транспорта, трамвайная линия, инфраструктура, пассажиропоток, автомобилепоток, калибровка.

DOI:10.20291/2079-0392-2017-2-67-78

Annotation

The transport model of the projected tram-line «Academic – VIS» of Ekaterinburg is considered. In the model, in determining the transport demand, the development of the territory of the study area in the medium and long term is taken into account. The predicted distribution of traffic flows that gravitate toward public and individual modes of transport was made taking into account the introduction of paid parking lots, the rates of motorization of the population, the options for integrating future tram routes with the existing public transport network.

Key words: transport model, public transport network, tram-line, infrastructure, traffic flow, car flow, calibration.

DOI:10.20291/2079-0392-2017-2-67-78

Дмитрий Алексеевич Брусянин, канд. техн. наук, доцент; кафедра «Путь и железнодорожное строительство» Уральского государственного университета путей сообщения; Екатеринбург, Россия. E-mail: dbrusyanin@mail.ru.

Сергей Викторович Вихарев, канд. физ.-мат. наук, доцент; кафедра алгебры и дискретной математики Уральского федерального университета; Екатеринбург, Россия. E-mail: Sergey@viharev.com.

Василий Михайлович Сай, д-р техн. наук, профессор; кафедра «Путь и железнодорожное строительство» Уральского государственного университета путей сообщения; Екатеринбург, Россия. E-mail: vsay@usurt.ru.

Статья рекомендована к печати С.В. Сизым, д-ром техн. наук, профессором; Уральский федеральный университет; Екатеринбург, Россия. E-mail: s5125@e1.ru.

Dmitri Alexeevitch Brusyanin, Candidate of Technical Sciences, Associate professor; Department «Railway track and railway engineering» of the Ural State University of Railway Transport (USURT); Ekaterinbourg; Russia. E-mail: dbrusyanin@mail.ru.

Sergey Viktorovitch Vikharev, Candidate of phys.-math. Sciences, Associate professor; Department of Algebra and Discrete mathematics of Ural Federal University; Ekaterinbourg; Russia. E-mail: Sergey@viharev.com.

Vasili Mikhaylovitch Say, Doctor of Technical Sciences, Professor; Department «Railway track and railway engineering» of the Ural State University of Railway Transport (USURT); Ekaterinbourg; Russia. E-mail: vsay@usurt.ru.

The article is recommended for editing from S. V. Sizyi, Doctor of Technical Sciences, Professor; Ural State University of Railway Transport (USURT); Ekaterinbourg; Russia. E-mail: s5125@e1.ru.

Для развития общественного транспорта в городах и агломерациях очень перспективно использование внеуличных видов транспорта. В странах Евросоюза широко применяются так называемые Light Railway Transport (LRT) – трамвайные линии, расположенные, как правило, на выделенных участках улично-дорожной сети (рис. 1) [1].

Привлекательность линий LRT обусловлена комфортом, регулярностью,

надежностью, безопасностью с одной стороны, с другой, введением ограничительных экономических мер (платные парковки, платный въезд в центральные части города и т.д.) [1]. Можно предположить, что комплекс этих мероприятий сформировал существующую закономерность, характерную для стран Евросоюза и США: при росте автомобилизации населения повышается востребованность общественного транспорта (рис. 2, 3).

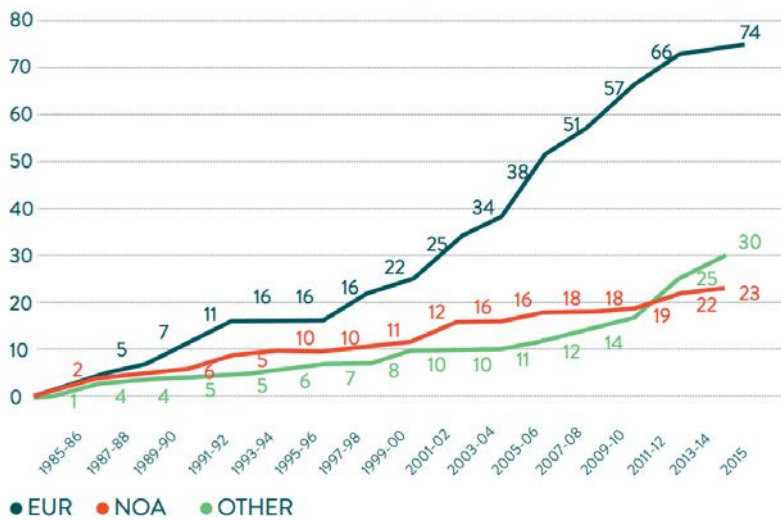


Рис. 1. Количество линий LRT в Евросоюзе, 1985–2015 гг.

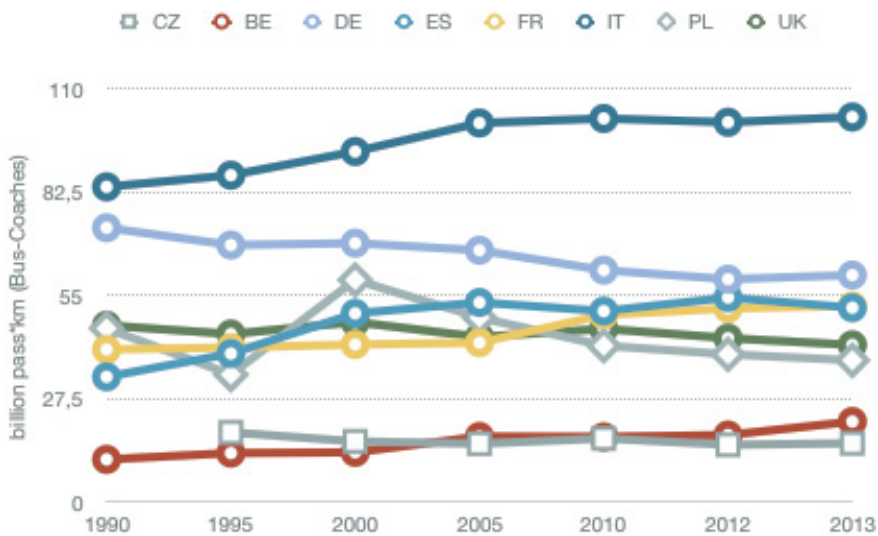


Рис. 2. Изменение пассажирооборота в странах Евросоюза по годам [2]

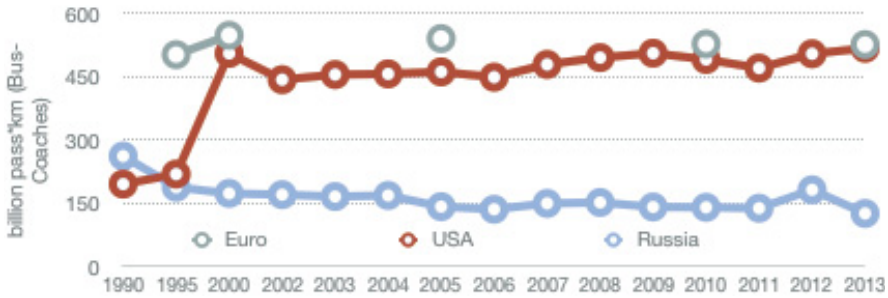


Рис. 3. Пассажирооборот на автобусном общественном транспорте в Евросоюзе, США и РФ [2, 3]

В России, в частности, в Екатеринбурге, ведется проектирование скоростной трамвайной линии до города-спутника Верхней Пышмы [4] и мкр Академический, в Челябинске выполняются работы по прогнозированию пассажиропотока при строительстве метрополитена [5], в Тюмени железнодорожный

транспорт используют для городских перевозок [6].

В отличие от стран Евросоюза, для российских городов, например, для Екатеринбурга, характерна иная закономерность: с ростом автомобилизации населения снижается востребованность общественного транспорта (рис. 4, 5) [7].

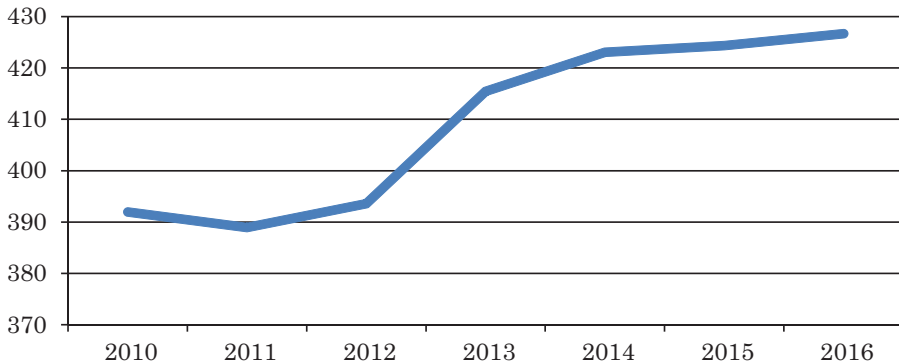


Рис. 4. Изменение уровня автомобилизации в Екатеринбурге по годам, авт./1000 жит.

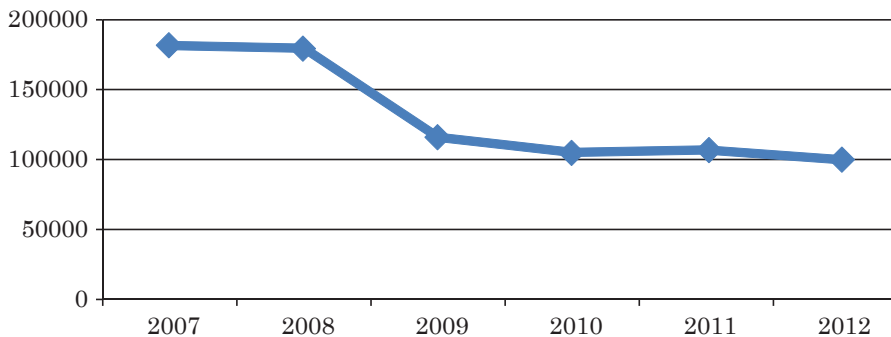


Рис. 5. Количество пассажиров, перевезённых трамвайными маршрутами ЕМУП «Трамвайно-троллейбусное управление» в 2007–2012 гг., тыс. чел.

Привлекательность общественного транспорта в региональных мегаполисах и формируемых вокруг них агломерациях намного увеличится, если будет повышен комфорт и сократится время поездки. Обновится подвижной состав – повысится комфорт, а вот для сокращения времени поездки необходимы инфраструктурные, технологические и организационные мероприятия.

Одним из инструментов для обоснования эффективности развития транспортной инфраструктуры служит математическое моделирование. Алгоритм создания транспортных моделей хорошо изучен [8–11]. Разработана и верифицирована транспортная модель для проектируемой трамвайной линии «Академический – ВИЗ» [12]. В модели учтены следующие факторы:

- развитие территории удаленного жилого района Академический;
- изменение уровня автомобилизации населения на перспективу;
- влияние платных парковок на интенсивность использования личного автотранспорта;
- варианты интеграции трамвайных маршрутов на новой проектируемой трамвайной линии в существующую маршрутную сеть;
- организационно-технологические параметры (интервал движения

трамваев, составность поездов, длина остановочных платформ);

- развитие улично-дорожной сети, тяготеющей к рассматриваемой трамвайной линии.

В настоящей статье поставлена задача выполнить серию численных экспериментов по моделированию транспортных потоков в средне- и долгосрочной перспективе на транспортной модели, рассмотренной в [12].

Рассмотрим перечень исходных данных, необходимых для выполнения серии численных экспериментов. Первый блок исходной информации – это совокупность перспективной инфраструктуры, организации движения, маршрутной сети общественного транспорта (рис. 6):

- развитие жилых массивов [13, 14];
- строительство развязок в двух уровнях на перекрестке ул. Вильгельма де Генина – ул. Объездная, ул. Амудсена – ул. Объездная;
- строительство трамвайной линии по ул. Татищева;
- формирование двух вариантов маршрутной сети на проектируемой трамвайной линии (первый – меридионально-широтные маршруты, второй – создание транспортно-пересадочных узлов с системой широтных и меридиональных маршрутов).

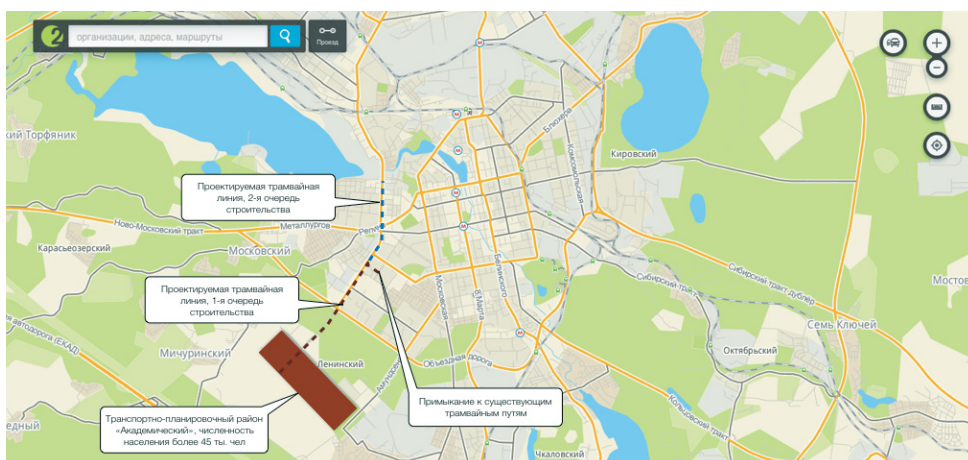


Рис. 6. Схематичное представление инфраструктуры моделируемого полигона, тяготеющего к проектируемой трамвайной линии

Моделирование транспортных потоков выполнено на основе транспортно-го баланса – исходящие потоки Out_i из i -го района и входящие In_j поток в j -й район равны:

$$\begin{aligned} \sum_j In_j (\rho_{Jb}[T + \Delta T]) + \xi_{Jb} &= \\ = \sum_i Out_i (\rho_{Rsd}[T + \Delta T]) + \xi_{In}, \\ In_j (\rho_{Jb}[T + \Delta T]) &= \\ = \sum_i Out_i (\rho_{Rsd}[T + \Delta T]) + \xi_{In}, \\ Out_i (\rho_{Rsd}[T + \Delta T]) &= \\ = \sum_j In_j (\rho_{Jb}[T + \Delta T]) + \xi_{Out}, \end{aligned}$$

где $\rho_{Jb}[T + \Delta T]$, $\rho_{Rsd}[T + \Delta T]$ – плотности размещения рабочих мест и населенности жилых массивов на период прогноза $[T + \Delta T]$; ξ_{In} , ξ_{Out} – допустимые погрешности.

Исходящий поток Out_i определяется плотностью и структурой населения жилого массива [15]. Входящий поток In_j зависит от плотности мест приложения труда, размещения социально-культурных, бытовых и прочих объектов. Пример плотности населения и мест

приложения труда для Екатеринбурга исследован в [16] (рис. 7).

На основании исходящих и входящих потоков определены корреспонденции Cr_{ij} из i -го в j -й район для полигона тяготения трамвайной линии:

$$Cr_{ij} = a \cdot \frac{Out_i \cdot In_j}{l_{ij}},$$

где a – константа; l_{ij} – расстояние между i и j района.

Верификация полученной матрицы корреспонденций $[Cr]$ для жилого района Академический выполнена по результатам опросов более 600 предприятий города о местах проживания сотрудников и социологических опросов в местах посадки [7] (рис. 8).

Из рис. 8 видно, что хотя пассажиропотоки в центральную часть города преобладают над остальными направлениями, было бы ошибочно ограничивать маршрутную сеть лишь маршрутами, вывозящими в центр города. Так, необходимыми можно считать маршруты периферические, например, в районы ВИЗа, Сортировки и Втузгородка.

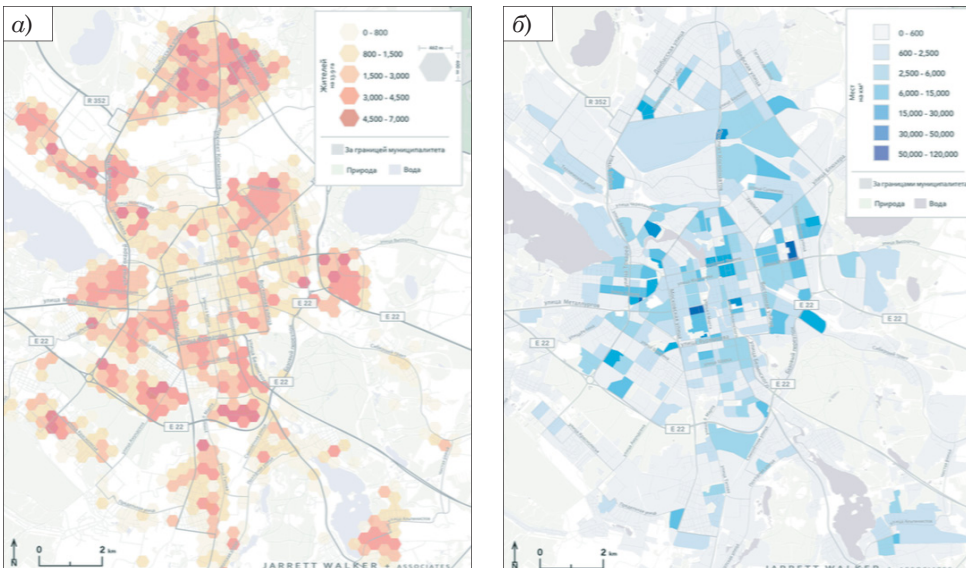


Рис. 7. Плотность населения (а) и мест приложения труда (б) в Екатеринбурге

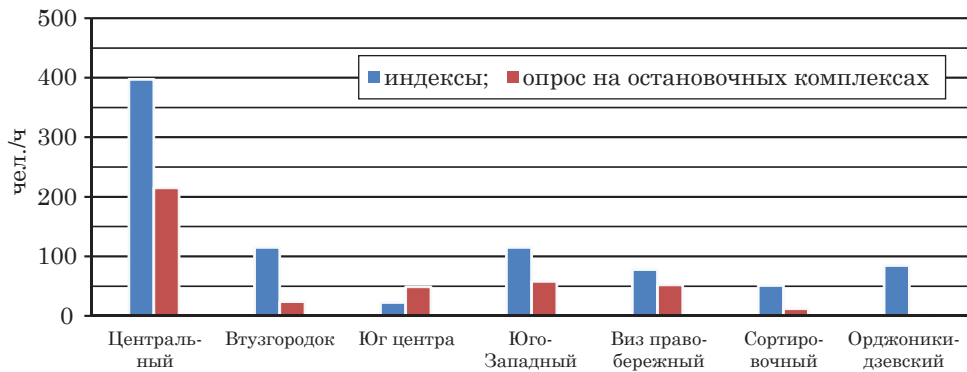


Рис. 8. Распределение суточных корреспонденций «дом – работа», «дом – учеба», формирующихся в мкр Академический, в другие районы города

Необходимо отметить, что определение матрицы корреспонденций по информации из нескольких источников является перспективной задачей будущих исследований [17,18].

Моделирование распределения транспортного потока Cr_{ij} на количество людей, использующих личный автотранспорт и общественный транспорт, выполнено с использованием логистической функции. Вероятность выбора вида $P(K)$ K -го способа поездки (индивидуальный, общественный транспорт) определена мультиномиальной логит-функцией:

$$P(K) = \frac{e^{U_K}}{\sum_x e^{U_K}}$$

где U_K – функция полезности.

Функция полезности имеет вид [19]:

$$U_K = a_0 + a_1 X_1 + a_2 X_2 + a_3 X_3 + a_4 X_4,$$

где a_0, a_1, a_2, a_3, a_4 – весовые коэффициенты уравнения регрессии; X_1 – параметр, учитывающий пешую доступность при выборе вида транспорта; X_2 – параметр, учитывающий время ожидания при выборе вида транспорта; X_3 – параметр, учитывающий время поездки; X_4 – параметр, учитывающий стоимостные затраты; k_3 – параметр, характеризующий изменение автомобилизации населения с учетом изменения заработной платы [20].

$$k_3 = \gamma_{sl} \frac{\sum Car_i}{\sum_{T-1} Car_i},$$

где γ_{pr} – статистический поправочный коэффициент.

Прогноз темпов автомобилизации населения на перспективу до 2025 г. для примере Екатеринбурга показан на рис. 9.

Параметр, характеризующий переключение части населения с индивидуального на общественный транспорт из-за ввода платных парковок, – k_4 [20]:

$$k_4 = \gamma_{pr} \left(\frac{Sl - Exp}{Sl} \right),$$

где γ_{pr} – статистический поправочный коэффициент.

Коэффициент γ_{pr} рассчитан с учетом опыта Москвы: в 2013 г. в центре города начали действовать платные парковки и загруженность уменьшилась на 18 %, а в остальной части города – только на 3 % [21].

Программная реализация модели выполнена в PTV VISUM. Общий вид графовой модели полигона показан на рис. 10.

Рассмотрим результаты серии численных экспериментов, позволяющих обосновывать принятие решений по

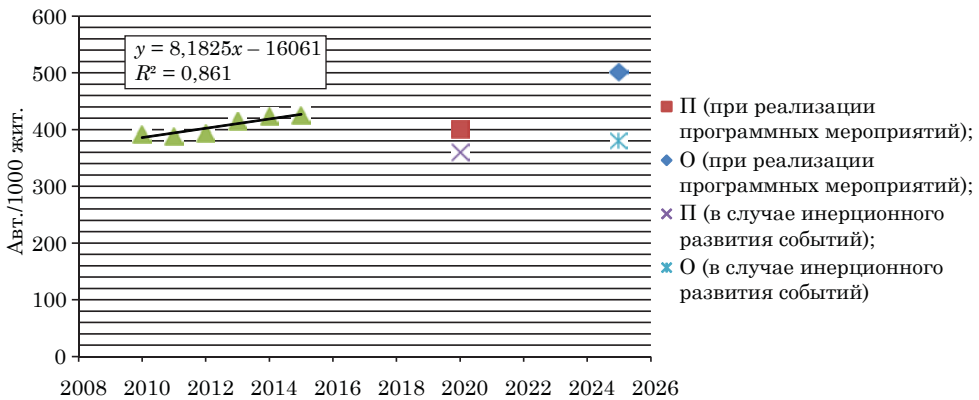


Рис. 9. Зависимость автомобилизации населения города Екатеринбурга

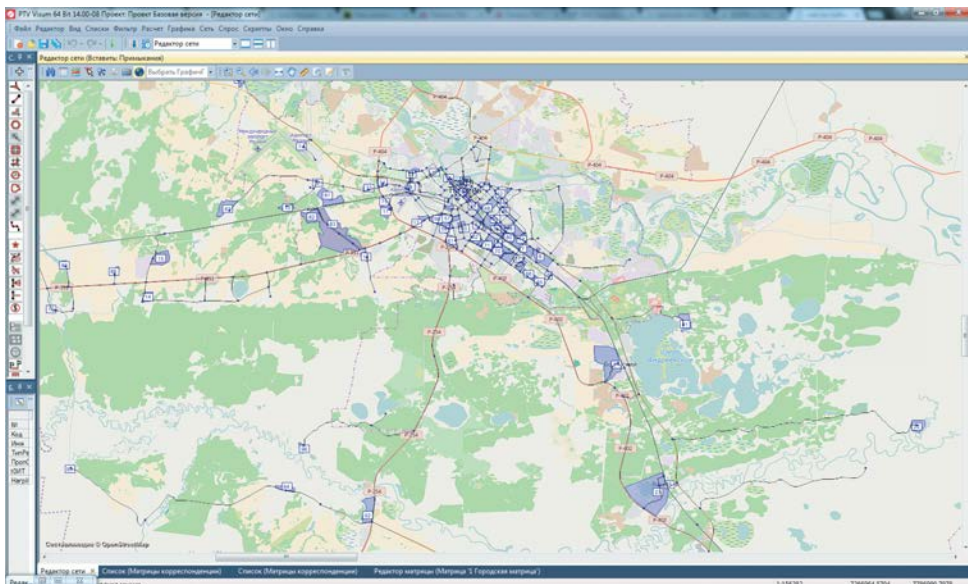


Рис. 10. Общий вид модели полигона тяготения к проектируемой трамвайной линии в программном комплексе PTV VISUM

развитию транспортной инфраструктуры. Первая серия – определение прогнозного пассажиропотока в зависимости от интервала движения поездов. Начальные условия для первого эксперимента: создание мультимодального транспортно-пересадочного узла на ост. 6-я горбольница и городского ТПУ по ул. Белореченской; состав поезда – один вагон; наличие платных парковок в центральной части города (рис. 12).

Из рис. 12 следует, что одно-, двух- минутный интервал движения намного повышает привлекательность трамвайной линии.

В ходе второй серии вычислительного эксперимента по видам транспорта определена величина перехода пассажиров с индивидуального транспорта на общественный в зависимости от интервала движения поездов.

Результаты моделирования показаны на рис. 13.

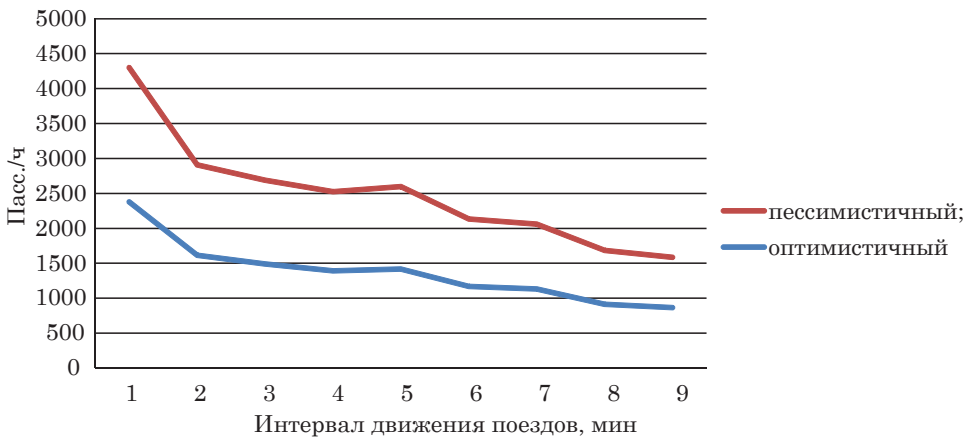


Рис. 12. Изменение пассажиропотока в зависимости от интервала движения поездов

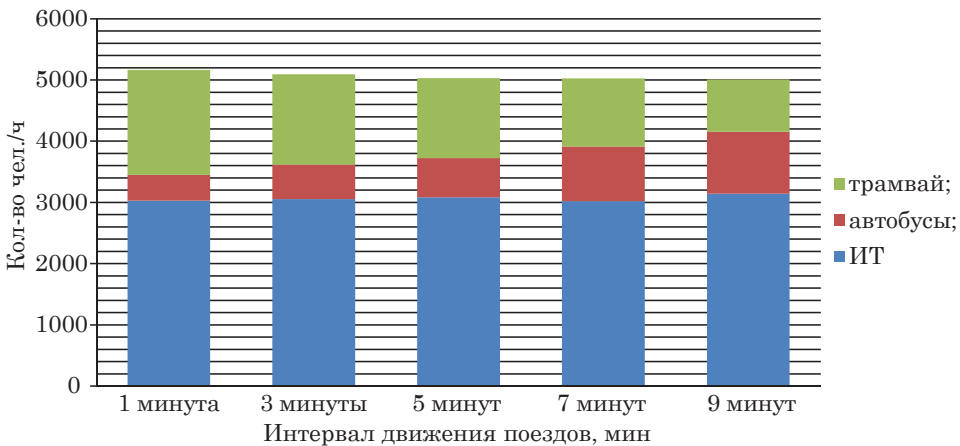


Рис. 13. Изменение распределения выезжающих из Академического людей в зависимости от интервала движения поездов, мин

В результате третьей серии численных экспериментов (рис. 14) установлено, что поезд из двух вагонов не позволяет существенно привлечь пассажиропоток на трамвайный маршрут.

В четвертой серии численных экспериментов изучено влияние на привлекаемый на трамвайный маршрут вместимости подвижного состава. Результаты моделирования показаны на рис. 15.

Как и в предыдущем случае, увеличение вместимости подвижного состава

не позволяет привлечь дополнительный пассажиропоток.

Дальнейшую оценку вариантов развития транспортной системы рекомендуется оценивать с использованием подходов, предложенных в [22].

Представленные результаты расчетов на разработанной транспортной модели позволяют обосновывать технико-технологические мероприятия при развитии транспортной инфраструктуры общественного транспорта на полигоне городской территории. ■

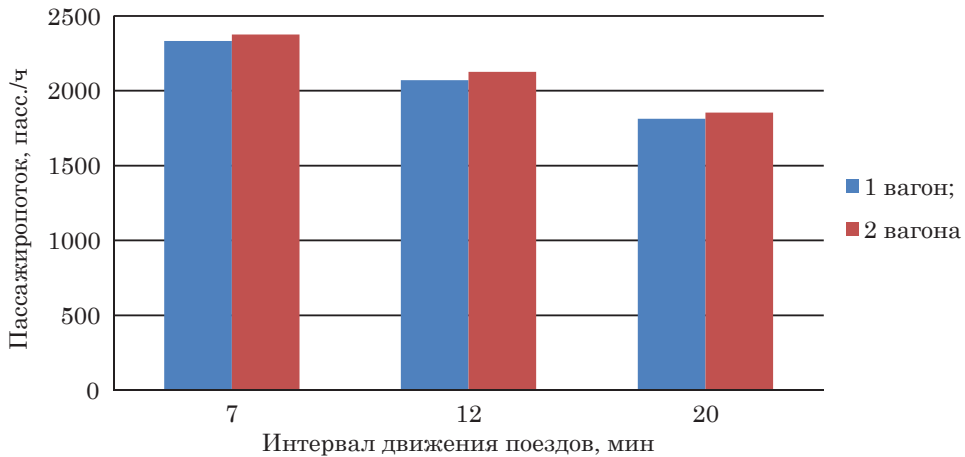


Рис. 14. Изменение распределения выезжающих из Академического людей в зависимости от интервала движения поездов, мин

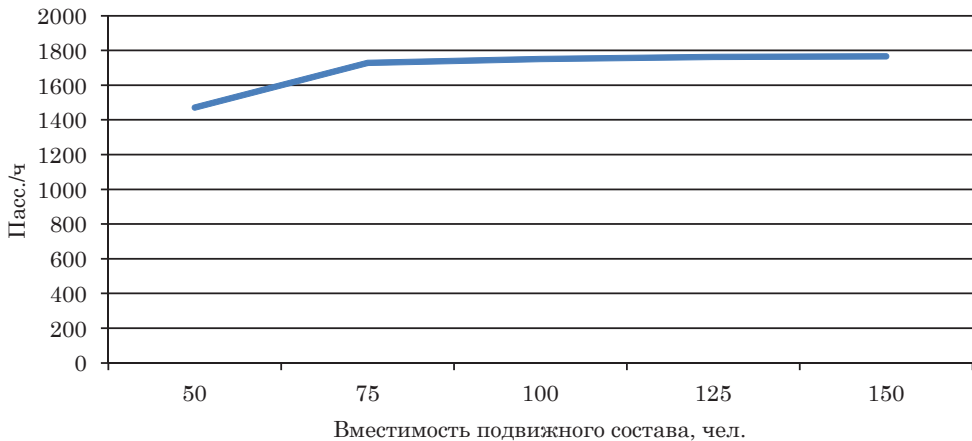


Рис. 15. Изменение пассажиропотока в зависимости от вместимости подвижного состава

Литература

1. Light railway transport. URL: http://www.uitp.org/sites/default/files/LRT_Knowledge%20Brief_LQ.pdf. (дата обращения: 01.06.2016).
2. <https://ec.europa.eu/transport/sites/transport/files/pocketbook2015.pdf> (дата обращения: 01.06.2016).
3. <http://gks.ru> (дата обращения: 01.06.2016).
4. Скоростную трамвайную линию до Верхней Пышмы начнут строить в ноябре. URL: <http://ekb.rbc.ru/ekb/19/01/2016/569dc17d9a7947ea0c790417>. (дата обращения: 24.06.2016).
5. Горяев Н.К., Гераскина О.В., Чикранова Д.С., Смолин В.Н. Оценка перспективного пассажиропотока для первой очереди Челябинского метрополитена // Сб. м-лов Междунаро. научн. конф. «Наука и образование: фундаментальные основы, технологии, инновации», посв. 60-летию Оренбургского государственного университета. – Оренбург : ООО ИПК «Университет», 2015. Ч. 1. С. 86–89. ISSN 978-5-4417-0558-5.
6. Сай В.М., Брусянин Д.А. Этапность создания маршрута «Городская электричка» // Экономика железных дорог. 2014. № 12. С. 68–78. ISSN 2079-0392.

7. Моделирование транспортных потоков на проектируемой трамвайной линии мкр Академический – ВИЗ в Екатеринбурге : отчет о НИР / АО «Уралгипротранс». – Екатеринбург : Уралгипротранс, 2015. 124 с.
8. Lohse D. Grundlagen der Straßenverkehrstechnik und der Verkehrsplanung, Band 2: Verkehrsplanung, 2. Aufgabe, Berlin, Verlag für Bauwesen GmbH, 1997. 326 с.
9. Ortuzar J.D., Willumsen L.G. Modeling Transport / 3-rd edition. – John Willey & Sons Ltd, 2008. – 499 p.
10. Claessens M.T., Vandijk N.M., Zwaneveld P.J. Cost optimal allocation of rail passenger lines. *European Journal of Operation Research*, 1998, 110(3): 474–489.
11. Тарханова Н.В., Михайлов А.Ю., Яценко С.А. Теоретический обзор моделей обновления матриц корреспонденций // Вестник Иркутского государственного технического университета. 2014. № 6 (89). С. 154–157. ISSN (Print)1814-3520 ; ISSN (Onlin) 2500-1590.
12. Бруснянин Д.А., Вихарев С.В. Разработка прогнозной модели при развитии транспортной инфраструктуры на примере строительства трамвайной линии «Академический – ВИЗ» (Екатеринбург) // Вестник Иркутского государственного технического университета. 2016. № 7. С. 183–93. ISSN 1814-3520.
13. Концепция развития первой очереди Академического. URL: http://invest.midural.ru/uploads/skeditor/attachments/211/03_Vorobiev.pdf (дата обращения: 26.07.2016).
14. Концепция развития второй очереди Академического. URL: <http://www.ekburg.ru/news/24/60104-gradsovet-utverdil-kontseptsiyu-razvitiya-vtoroy-ocheredi-akademicheskogo/> (дата обращения: 26.07.2016).
15. Кочнева Д.И., Бруснянин Д.А. Методика прогнозирования транспортного спроса в пунктах зарождения пассажиропотока на градуированной транспортной сети // Вестник УрГУПС. 2014. № 4 (24). С. 50–58. ISSN 2079-0392.
16. Новая маршрутная сеть общественного транспорта (итоговый отчет). URL: <http://www.ekatransit.ru/download/Yekaterinburg-Network-Plan-RU.pdf> (дата обращения: 26.07.2016).
17. Михайлов А.Ю., Лебедева О.А. Байесовский метод оценки транспортных корреспонденций // Сб. научн. тр. «Технология, организация и управление автомобильными перевозками. Теория и практика». – ФГБОУ ВПО «СибАДИ». 2013. С. 56–58.
18. Тарханова Н.В., Махайлов А.Ю., Яценко С.А. Теоретический обзор моделей обновления матриц корреспонденций // Вестник Иркутского государственного технического университета. 2014. № 6 (89). С. 154–157. ISSN 1814-3520.
19. Основы транспортного моделирования : практическое пособие / А.Э. Горев, К. Бетгер, А.В. Прохоров, Р.П. Гизатуллин (Сер. : «Библиотека транспортного инженера»). – СПб : ООО «Издательско-полиграфическая компания «КОСТА», 2015. 168 с.
20. Прогноз продаж новых автомобилей в России на 2016 год. URL: <https://www.autostat.ru/infographics/24415/> (дата обращения: 27.07.2016).
21. Как платные парковки влияют на дорожную ситуацию в Москве. URL: https://yandex.ru/companu/researches/2014/ya_parking (дата обращения: 24.06.2016).
22. Brusyanin D., Zhuravskaya M., Vikharev S., Sinitsyn E. The mathematical model of public transport network index // The 8th International Conference Transport Problems 27 June–1 July 2016, Katowice, Poland. Conference proceedings. Pp. 70–75.

Literature

1. Light railway transport. URL: http://www.uitp.org/sites/default/files/LRT_Knowledge%20Brief_LQ.pdf. (accessed date: 01.06.2016).
2. <https://ec.europa.eu/transport/sites/transport/files/pocketbook2015.pdf> (accessed date: 01.06.2016).
3. <http://gks.ru> (accessed date: 01.06.2016).
4. Skorostnuyu tramvaynuyu liniyu do Verkhney Pyshmy nachnut stroit' v noyabre. [High-speed tram line to Upper Pyshma will be built in November]. URL: <http://ekb.rbc.ru/ekb/19/01/2016/569dc17d9a7947ea0c790417>. (accessed date: 24.06.2016).
5. Goryaev N. K., Geraskina O. V., CHikranova D. S., Smolin V. N. Otsenka perspektivnogo passazhiropotoka dlya pervoy ocheredi chelyabinskogo metropolitena [Assessment of the prospective passenger traffic for the first stage of the Chelyabinsk metro] // A collection of materials of the International. Scientific. Conf. «Science and Education: Fundamental

- Foundations, Technologies, Innovations», devoted to the 60th anniversary of the Orenburg State University. – Orenburg : LTD Publishing and printing complex «University», 2015. Part. 1. Pg. 86–89. ISSN 978-5-4417-0558-5.
6. Say V.M., Brusyanin D.A. Etapnost' sozdaniya marshruta «Gorodskaya elektrichka» [Stages of creating the route «Urban electric train»] // Economics of railways. 2014. № 12. Pg. 68–78. ISSN 2079-0392.
 7. Modelirovanie transportnykh potokov na proektiruemoy tramvaynoy linii mkr Akademicheskoy – VIZ v Ekaterinburge : otchet o NIR / AO «Uralgiprotrans» [Modeling of traffic flows on the projected tramway line Academic – VIZ in Ekaterinburg: report on research work / Joint-Stock «Uralgiprotrans»]. – Ekaterinburg : Uralgiprotrans, 2015. 124 pg.
 8. Lohse D. Grundlagen der Straßenverkehrstechnik und der Verkehrsplanung, Band 2: Verkehrsplanung, 2. Aufgabe, Berlin, Verlag für Bauwesen GmbH, 1997. 326 pg.
 9. Ortuzar J. D., Willumsen L.G. Modeling Transport / 3-rd edition. – John Wiley & Sons Ltd, 2008. – 499 pg.
 10. Claessens M.T., Vandijk N.M., Zwaneveld P.J. Cost optimal allocation of rail passenger lines. European Journal of Operation Research, 1998, 110(3): 474–489.
 11. Tarkhanova N.V., Mikhaylov A.YU., Yatsenko S.A. Teoreticheskiy obzor modeley obnovleniya matrits korrespondentsiy [Theoretical review of updating models of correspondence matrices] // Byulleten' of the Irkutsk State Technical University. 2014. № 6 (89). Pg. 154–157. ISSN (Print)1814-3520 ; ISSN (Onlin) 2500-1590.
 12. Brusyanin D.A., Vikharev S.V. Razrabotka prognoznoy modeli pri razvitiy transportnoy infrastruktury na primere stroitel'stva tramvaynoy linii «Akademicheskoy – VIZ» (Ekaterinburg) [Development of the forecast model for the development of transport infrastructure on the example of construction of the tram line «Academic – VIZ» (Ekaterinburg)] // Bulletin of the Irkutsk State Technical University. 2016. № 7. Pg. 183–93. ISSN 1814-3520.
 13. Kontseptsiya razvitiya pervoy ocheredi Akademicheskogo. [The concept of development of the first stage of the Academic]. URL: http://invest.midural.ru/uploads/ckeditor/attachments/211/03_Vorobiev.pdf (accessed date: 26.07.2016).
 14. Kontseptsiya razvitiya vtoroy ocheredi Akademicheskogo. [The concept of development of the second stage of the Academic]. URL: <http://www.ekburg.ru/news/24/60104-gradsovet-utverdil-kontseptsiyu-razvitiya-vtoroy-ocheredi-akademicheskogo/> (accessed date: 26.07.2016).
 15. Kochneva D. I., Brusyanin D. A. Metodika prognozirovaniya transportnogo sprosa v punktakh zarozhdeniya passazhiropotoka na graduirovannoy transportnoy seti [The method of forecasting of the transport demand at the points of origin of passenger flow on a graded transport network] // Bulletin of the Ural State University of Railway Transport. 2014. № 4 (24). Pg. 50–58. ISSN 2079-0392.
 16. Novaya marshrutnaya set' obshchestvennogo transporta (itogovyy otchet). [New route network for public transport (final report)]. URL: <http://www.ekatransit.ru/download/Yekaterinburg-Network-Plan-RU.pdf> (accessed date: 26.07.2016).
 17. Mikhaylov A.YU., Lebedeva O.A. Bayesovskiy metod otsenki transportnykh korrespondentsiy [Bayesovsky method of assessing transport correspondence] // Collection of scientific papers «Technology, organization and management of road transport. Theory and practice». FSBEI of HPE (Federal State Budget Educational Institution of Higher Professional Education) «SibADI» (Siberian State Automobile-Traffic University). 2013. Pg. 56–58.
 18. Tarkhanova N.V., Makhaylov A.YU., Yatsenko S.A. Teoreticheskiy obzor modeley obnovleniya matrits korrespondentsiy [Theoretical review of updating models of correspondence matrices] // Byulleten' of the Irkutsk State Technical University. 2014. № 6 (89). Pg. 154–157. ISSN 1814-3520.
 19. Osnovy transportnogo modelirovaniya : prakticheskoe posobie [Fundamentals of Transport Modeling: A Practical Handbook] / A.E. Gorev, K. Bettger, A.V. Prokhorov, R.R. Gizatullin (Ser. : «Library of a transportation engineer»). – SPb : LLC «Publishing and Printing Company «COSTA». 2015. 168 pg.
 20. Prognoz prodazh novykh avtomobiley v Rossii na 2016 god. [Sales forecast of new cars in Russia for 2016]. URL: <https://www.autostat.ru/infographics/24415/> (accessed date: 27.07.2016).

21. Kak platnye parkovki vliyayut na dorozhnuyu situatsiyu v Moskve. [How paid parkings affect the traffic situation in Moscow]. URL: https://yandex.ru/company/researches/2014/ya_parking (accessed date: 24.06.2016).
22. D. Brusyanin, M. Zhuravskaya S. Vikharev, E. Sinitsyn. The mathematical model of public transport network index // The 8th International Conference Transport Problems 27 June–1 July 2016, Katowice, Poland. Conference proceedings. Pg. 70–75.

Статья сдана в редакцию 2 февраля 2017 года

А. В. Вохмянина

Количественная оценка «эффекта хлыста» в цепях поставок

UDC 656.01

A. V. Vokhmyanina

Quantitative estimation of the «bullwhip effect» in the supply chains

Аннотация

Проведен детальный анализ современного подхода к управлению эффективностью цепей поставок через выявление и сокращение «эффекта хлыста». «Эффект хлыста» – относительно новый термин, характеризующий увеличение колебаний размеров заказов на предприятиях, участвующих в цепи поставок, при удалении от звена, в котором произошел сбой.

В статье предложена новая трактовка понятия «эффект хлыста» в терминах общей теории статистики, предполагающая некоторую закономерность изменения изучаемого явления в зависимости от условий его возникновения. Исследование такой закономерности позволит количественно оценить масштаб распространения негативных последствий недостаточного уровня координации звеньев логистических цепей поставок.

Для этого методом корреляционно-регрессионного

анализа исследованы ряды динамики поставок различных видов товаров: продукция цветной металлургии, пищевой отрасли, высокотехнологичные товары. Полученные результаты, в частности, коэффициент регрессии, позволяют сделать вывод о линейном характере изменения вариации размеров заказов в зависимости от места нахождения звена в цепи поставок относительного того звена, в котором произошел сбой.

Предложена модель количественной оценки величины «эффекта хлыста» как коэффициента линейной регрессии, характеризующего зависимость от местонахождения звена в цепи поставок и позволяющего скорректировать его оперативную работу.

Устойчивость предложенной модели подтверждена результатами ее реализации для продукции нескольких отраслей экономики, различающихся количеством звеньев и количеством

исследуемых периодов, что доказывает возможность ее использования в практической деятельности предприятия системы товародвижения.

Ключевые слова: цепь поставок, неопределенность, «эффект хлыста», вариация размеров заказов, коэффициент регрессии, t-статистика, динамика размеров заказов.

DOI: 10.20291/2079-0392-2017-2-79-90

Annotation

A detailed analysis of the modern approach to supply chain performance management through the identification and reduction of the «bullwhip effect» has been carried out. The «bullwhip effect» is a relatively new term, characterizing the increase in fluctuations in the size of orders at enterprises participating in the supply chain, while moving away from the link in which the failure occurred.

The article suggests a new interpretation of the concept of «bullwhip effect» in terms

Анна Владимировна Вохмянина, канд. техн. наук; кафедра «Мировая экономика и логистика» Уральского государственного университета путей сообщения; Екатеринбург, Россия. E-mail: AVokhmyanina@mail.ru.

Статья рекомендована к печати Г.А. Тимофеевой, д-ром физ.-мат. наук, профессором; Уральский государственный университет путей сообщения; Екатеринбург, Россия. E-mail: GTimofeeva@usurt.ru.

Anna Vladimirovna Vokhmyanina, Candidate of Technical Sciences; Department «World Economics and Logistics» of Ural State University of Railway Transport (USURT); Ekaterinbourg, Russia. E-mail: AVokhmyanina@mail.ru

The article is recommended for editing from G.A. Timofeeva, Doctor of phys.-math. Sciences, Professor; Ural State University of Railway Transport (USURT); Ekaterinbourg, Russia. E-mail: GTimofeeva@usurt.ru.

of general statistical theory, suggesting a certain pattern of change in the phenomenon under study depending on the conditions of its occurrence. An investigation of this pattern will allow us to quantify the scale of the spread of the negative consequences of an insufficient level of coordination of the links in the logistics supply chains.

For this purpose, the series of the dynamics of supplies of various types of goods was studied by the method of correlation-regression analysis: products of non-ferrous metallurgy, food industry,

high-tech products. The obtained results, in particular, the coefficient of regression, allow to draw a conclusion about the linear nature of variation in the variation in the size of orders, depending on the location of the link in the supply chain of the relative link in which the failure occurred.

A model for the quantitative estimation of the «bullwhip effect» as a coefficient of linear regression characterizing the dependence on the location of the link in the supply chain and allowing to correct its operational work is proposed.

The stability of the proposed model is confirmed by the results of its implementation for the production of several sectors of the economy, differing in the number of links and the number of periods studied, which proves the possibility of its use in the practical activity of the enterprise of the commodity physical distribution system.

Key words: supply chain, uncertainty, «bullwhip effect», order quantity variance, coefficient of regression, t-statistics, order quantity dynamics.

DOI: 10.20291/2079-0392-2017-2-79-90

Существующие технологии взаимодействия участников различных отраслевых рынков, основанные на концепции логистики и управления цепями поставок, ориентируются на создание таких условий взаимодействия, которые максимально сократят неэффективные финансовые издержки и сэкономят время.

Обязательное условие при управлении цепями поставок в современных транспортно-распределительных комплексах любого масштаба – неопределенность взаимодействия их звеньев. Колебания потребительского спроса обязательны для рыночной экономики. Но такие колебания создают нестабильность в управлении запасами и заказами в цепях поставок – поставщики, планирующие сроки и объемы поставок, зачастую не успевают оперативно отреагировать на изменение спроса. А это сокращает эффективность всей цепи, ведет к непроизводительным издержкам времени и финансов, и чем дальше по цепи поставок от звена, в котором произошли изменения, тем более выражен негативный эффект от таких изменений. Такая ситуация в логистике и управлении

цепями поставок носит название «эффект хлыста».

Анализ причин и степени негативного влияния «эффекта хлыста» на ключевые показатели эффективности цепей поставок, подходов к его устранению или снижению приведен в работах [1–6]. Важным аспектом при этом остается оценка неопределенности внешней рыночной среды, в которой функционирует распределительная логистическая система, или цепь поставок [7–10].

«Эффект хлыста» создает ситуация, при которой объемы, содержащиеся в заказе* (документе) на поставку, имеют более выраженные колебания, чем продажи. Далее эти отклонения, волнообразно нарастая, распространяются по цепи поставки до ее начального звена. Это уменьшает устойчивость цепи поставок по отношению к оптимальному уровню поставок [2].

Универсального метода количественной оценки «эффекта хлыста», которая бы позволила заблаговременно корректировать план-графики управления запасами и отгрузками продукции в следующее звено цепи поставок, координировать объемные и временные

* В нашем случае, заказ – это информационный поток, документ, в котором содержится характеристика поставок. Поставка – встречный материальный поток, выполняемый в соответствии с заказом.

показатели взаимодействия звеньев и тем самым сокращать негативные последствия неопределенности нет [11].

В количественной оценке «эффекта хлыста» нет и общего подхода к определению вариации. Например, в работе [2] вариация рассматривается в процентном выражении.

В работе [11] «эффект хлыста» определяется исходя из вариации, выражаемой в натуральных единицах измерения материального потока по формуле:

$$\text{Эффект хлыста} = \frac{\sigma_{\text{ORATE}}^2 / \mu_{\text{ORATE}}}{\sigma_{\text{CONS}}^2 / \mu_{\text{CONS}}},$$

где σ^2 – дисперсия заказов, размещенных поставщику за определенный период (ORATE), и продаж покупателю за тот же период (CONS); μ – средняя величина заказов, размещенных покупателем поставщику за определенный период (ORATE), и продаж покупателю за этот же период (CONS).

Проблема существующих методов количественной оценки эффекта хлыста в рассмотренных источниках заключается также в локальности полученного

результата: «эффект хлыста» рассчитывается для двух смежных звеньев, значит, нельзя оценить его влияние на оставшиеся звенья цепи поставок.

«Эффект хлыста» – это закономерность изменения – нарастания – вариации размеров заказов по цепи поставок в зависимости от местонахождения звена относительно звена, в котором возникли сбои и отклонения фактических значений размеров заказов от запланированных или ожидаемых.

Количественная оценка «эффекта хлыста», рассматриваемого в качестве такой закономерности, может быть выражена как коэффициент регрессии вариаций спроса упорядоченных в соответствии с местонахождением звена в цепи поставок. Такая закономерность может быть измерена путем выявления зависимостей причинно-следственных связей, при этом основным фактором, определяющим величину колебаний размеров заказов, является местонахождение звена в цепи поставок.

Рассмотрим алгоритм определения величины «эффекта хлыста» в цепях поставок для данных о реализации продукции компании, относящей к пищевой отрасли (рис. 1, 2).

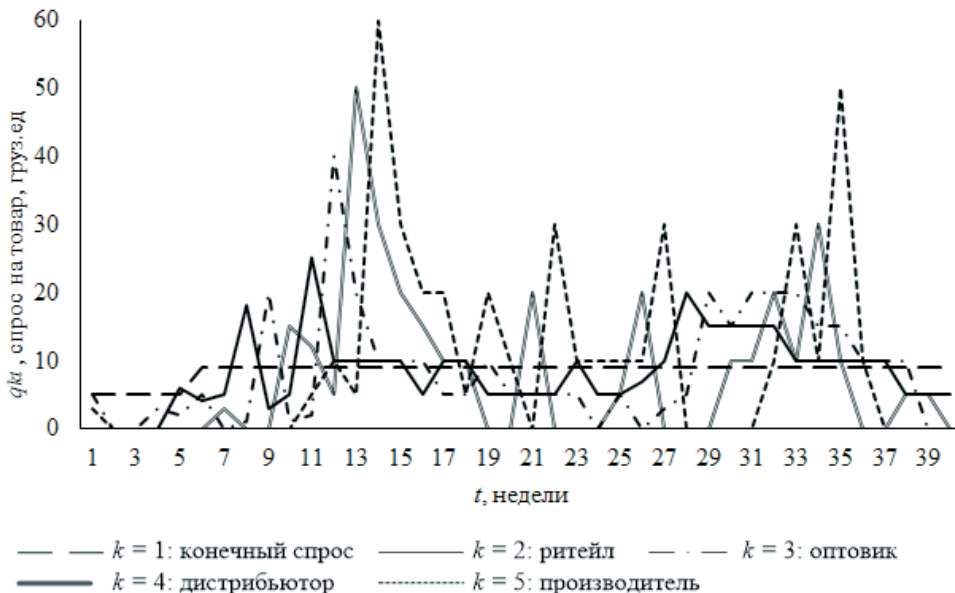


Рис. 1. Динамика размеров заказов в цепи поставок продукции пищевой отрасли, груз. ед.

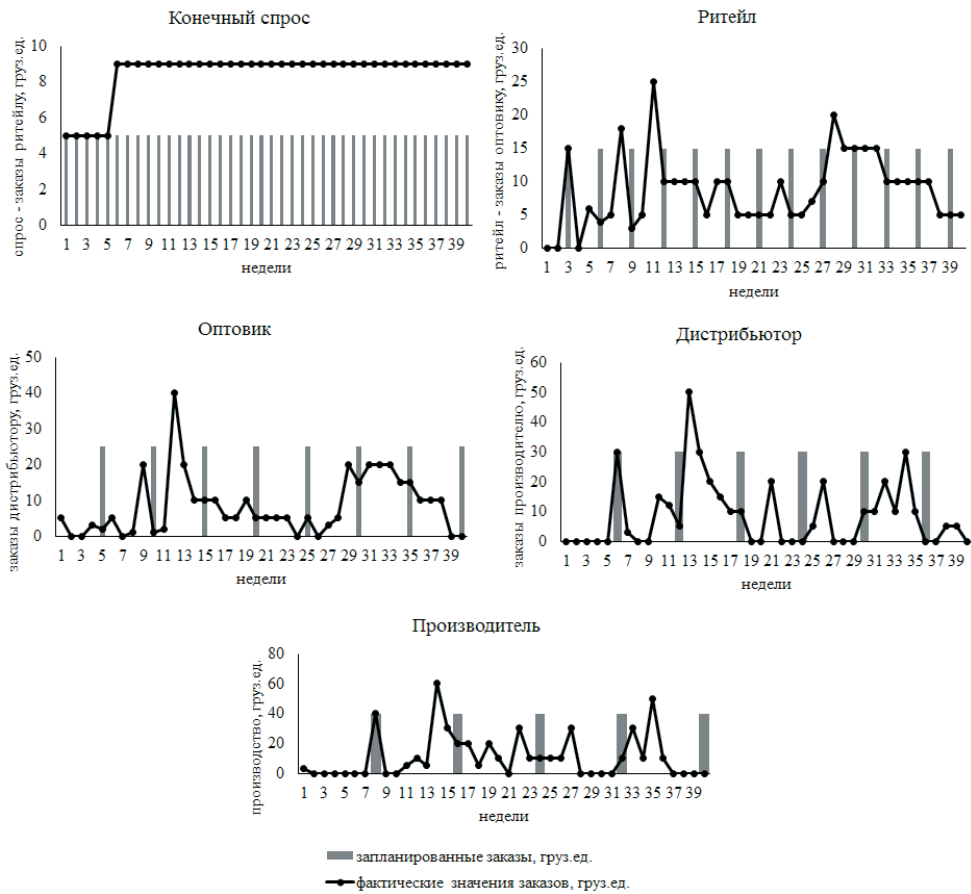


Рис. 2. Динамика размеров заказов в звеньях цепи поставок продукции пищевой отрасли, груз. ед.

На рис. 2 видно, что в звене «конечный спрос», определяющем платежеспособный спрос покупателей, на шестой неделе наблюдается увеличение размера заказа с пяти до девяти груз. ед. Это изменяет размер заказов во всех последующих звеньях.

Для определения «эффекта хлыста» используется значение абсолютной вариации размера заказа, груз. ед. [2, 11]:

$$V_{\text{абс}} = \frac{\sigma_{qk}^2}{\bar{q}_{kt}}. \quad (1)$$

Рассчитаем также относительную вариацию

$$V_{\text{отн}} = \frac{\sigma_{qk}}{\bar{q}_{kt}}, \quad (1)$$

где $k = \overline{1, K}$ – порядковый номер звена цепи поставок, размещающего заказы поставляющему звену, начиная со спроса; K – количество звеньев в цепи поставок; $t = \overline{1, T}$ – порядковый номер периода; T – полный интервал исследуемых периодов; \bar{q}_k – средняя величина заказа, размещаемого заказывающим звеном поставляющему звену за определенный период, грузовых единиц;

$$\bar{q}_k = \frac{\sum_{t=1}^T q_{kt}}{T}; \quad (2)$$

σ_{qk}^2 – дисперсия величины заказа:

Таблица 1

Показатели вариации размеров заказов в звеньях цепи поставок

Номер звена цепи поставок	Кол-во заказов, размещаемых звеном	Средняя величина заказа в звене, груз. ед.	Дисперсия	Абсолютная вариация, груз. ед	Стандартное отклонение, груз. ед	Относительная вариация, коэфф.
k	n	\bar{q}_k	σ_{qk}^2	V_{abc}	s_{qk}	$V_{отн}$
1	40	8,50	1,75	0,206	1,323	0,156
2	36	9,25	24,41	2,619	4,941	0,534
3	33	10,21	67,02	6,562	8,186	0,802
4	21	15,00	118,00	7,867	10,863	0,724
5	22	18,10	227,78	12,590	15,092	0,834

$$\sigma_{qk}^2 = \frac{\sum_{t=1}^T (\bar{q}_k - q_{kt})^2}{T}. \quad (3)$$

Результаты промежуточных расчетов, характеризующих вариацию размеров заказов по цепи поставок, приведены в таблице 1.

Поле корреляции, иллюстрирующее зависимость величины абсолютной вариации от местонахождения звена цепи поставки, представлено на рис. 3.

Анализ рис. 3 приводит к предположению о линейном характере зависимости, значит, количественная оценка «эффекта хлыста» может быть

представлена как значение коэффициента линейной регрессии.

Определим параметры уравнения регрессии для изменения абсолютной вариации для рассматриваемых данных.

$$a_0 = \frac{\sum_{k=1}^K V_{abc} \sum_{k=1}^K k^2 - \sum_{k=1}^K V_{abc} k \sum_{k=1}^K k}{K \sum_{k=1}^K k^2 - \left(\sum_{k=1}^K k \right)^2}, \quad (4)$$

$$a_1 = \frac{K \sum_{k=1}^K V_{abc} k - \sum_{k=1}^K V_{abc} \sum_{k=1}^K k}{K \sum_{k=1}^K k^2 - \left(\sum_{k=1}^K k \right)^2}. \quad (5)$$

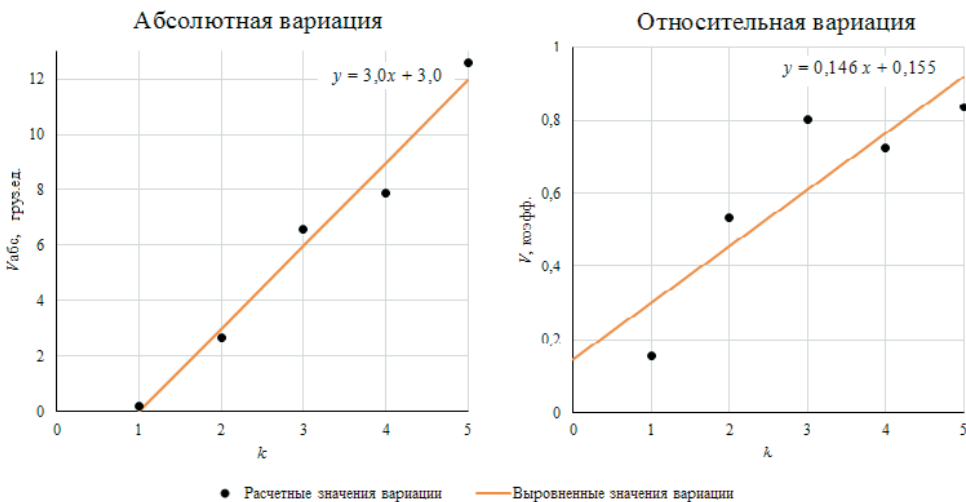


Рис. 3. Поле корреляции зависимости вариации от местонахождения звена цепи поставок продукции пищевой отрасли

Промежуточные расчеты, необходимые для определения параметров уравнения регрессии, представлены в таблице 2.

Подставив промежуточные расчеты, выполненные в таблице 2, получим следующие значения параметров уравнения регрессии:

$$a_0 = \frac{29,9 \cdot 55 - 119,6 \cdot 15}{5 \cdot 55 - 15^2} = -3,026;$$

$$a_1 = \frac{5 \cdot 119,6 - 15 \cdot 29,9}{5 \cdot 55 - 15^2} = 2,996.$$

Изменение абсолютной вариации спроса в звеньях цепи поставок можно представить в виде линейной зависимости; увеличение составит в среднем 3 грузовые единицы на одно звено:

$$V_{абс}(k) = 3,0 \cdot k - 3,0.$$

Связь между рассматриваемыми признаками, характеризующими «эффект хлыста», прямая и очень тесная, что подтверждается расчетом линейного коэффициента корреляции (r):

$$r = \frac{\sum_{k=1}^K (k \cdot V_{абс}) - \frac{\sum_{k=1}^K k \sum_{k=1}^K V_{абс}}{K}}{\sqrt{\left(\sum_{k=1}^K k^2 - \frac{\left(\sum_{k=1}^K k \right)^2}{K} \right) \cdot \left(\sum_{k=1}^K V_{абс}^2 - \frac{\left(\sum_{k=1}^K V_{абс} \right)^2}{K} \right)}}. \quad (6)$$

Подставив промежуточные расчеты, выполненные в таблице 2, получим

следующее значение коэффициента корреляции:

$$r = \frac{119,6 - \frac{15 \cdot 29,9}{5}}{\sqrt{\left(55 - \frac{15^2}{5} \right) \cdot \left(270,5 - \frac{29,9^2}{5} \right)}} = 0,988.$$

Проверим полученные коэффициенты, характеризующие уравнение линейной зависимости посредством t -статистики. Рассчитываем значения t -критерия для следующих характеристик модели закономерности:

– для параметров линейного уравнения регрессии:

$$t_{a_0} = |a_0| \cdot \frac{\sqrt{n-m}}{\sigma_\varepsilon}, \quad (7)$$

$$t_{a_1} = |a_1| \cdot \frac{\sqrt{n-m}}{\sigma_\varepsilon} \cdot \sigma_k, \quad (8)$$

где m – количество параметров уравнения регрессии; σ_ε – среднее квадратическое отклонение абсолютной вариации от выровненных значений:

$$t_{a_1} = |a_1| \cdot \frac{\sqrt{n-m}}{\sigma_\varepsilon} \cdot \sigma_k, \quad (9)$$

σ_k – среднее квадратическое отклонение порядкового номера звена цепи поставок от общей средней \bar{k} :

$$\sigma_k = \sqrt{\frac{\sum_{k=1}^K (k - \bar{k})^2}{K}}. \quad (10)$$

Таблица 2

Расчетные данные для корреляционно-регрессионного анализа вариаций в цепях поставок

k	$V_{абс}$	$k - V_{абс}$	k^2	$V_{абс}^2$	$V_{абс}(k)$	$(V_{абс}(k) - V_{абс})^2$	$(k - \bar{k})^2$	$(V_k - \bar{V})^2$
1	0,206	0,206	1	0,042	0	0,054	4	33,256
2	2,639	5,278	4	6,964	2,973	0,112	1	11,114
3	6,562	19,686	9	43,060	5,973	0,347	0	0,347
4	7,867	31,468	16	61,890	8,972	1,222	1	3,588
5	12,590	62,950	25	158,508	11,972	0,382	4	43,787
$\Sigma = 15$	29,864	119,588	55	270,464	29,864	2,117	10	92,093

Используя данные таблицы 2, получаем следующие расчетные значения t -статистики:

$$\sigma_\varepsilon = \sqrt{\frac{2,117}{5}} = 0,650,$$

$$\sigma_k = \sqrt{\frac{10}{5}} = 1,414,$$

$$t_{a_0} = |-3,062| \cdot \frac{\sqrt{5-2}}{0,65} = 6,5,$$

$$t_{a_1} = |2,996| \cdot \frac{\sqrt{5-2}}{0,65} \cdot 1,414 = 19,6;$$

– для линейного коэффициента корреляции:

$$t_r = |r| \cdot \sqrt{\frac{n-m}{1-r^2}}, \quad (11)$$

тогда

$$t_r = |0,998| \cdot \sqrt{\frac{5-2}{1-0,998^2}} = 27,3;$$

– для коэффициента регрессии при помощи показателя тесноты связи:

$$t_{a_1r} = |a_1| \cdot \frac{\sigma_k}{\sigma_{V_{\text{абс}}}} \cdot \frac{\sqrt{n-m}}{\sqrt{1-r^2}}, \quad (12)$$

где $\sigma_{V_{\text{абс}}}$ – среднее квадратическое отклонение абсолютной вариации от ее среднего значения:

$$\sigma_{V_{\text{абс}}} = \sqrt{\frac{\sum_{k=1}^K (V_{\text{абс}} - \bar{V}_{\text{абс}})^2}{K}}, \quad (13)$$

тогда

$$\sigma_{V_{\text{абс}}} = \sqrt{\frac{92,093}{5}} = 4,29,$$

$$t_{a_1r} = |2,996| \cdot \frac{1,414}{4,29} \cdot \frac{\sqrt{5-2}}{\sqrt{1-r^2}} = 27,18.$$

Критическое значение t -критерия Стьюдента, определяемое исходя из числа степеней свободы ($k = n - m$) и степени значимости ($\alpha = 0,005$), составит $t_{\text{крит}}(3; 0,005) = 5,841$.

Все расчетные значения t -критериев больше критической (табличной величины):

$$t_{a_0} > t_{\text{крит}}, 6,5 > 5,84;$$

$$t_{a_1} > t_{\text{крит}}, 19,6 > 5,84;$$

$$t_r > t_{\text{крит}}, 27,3 > 5,84;$$

$$t_{a_1r} > t_{\text{крит}}, 27,18 > 5,84,$$

значит, параметры уравнения регрессии признаются значимыми.

Проверка полученных параметров уравнения регрессии a_0 , a_1 и r посредством t -статистики позволяет сделать вывод о их типичности и значимости.

Так как в некоторых источниках [1, 2] вариация оценивается в относительных величинах по формуле (1), аналогичный корреляционно-регрессионный анализ был выполнен для $V_{\text{отн}}$. Результаты анализа приведены в таблице 3.

Значения параметров уравнения регрессии для относительной вариации размеров заказов могут быть признаны типичными при уровне значимости $\alpha = 0,07$. Относительная вариация

Таблица 3

Параметры уравнений регрессии для абсолютной и относительной вариации размеров заказов в цепи поставок

Показатель	Абсолютная вариация	Относительная вариация
a_1 – эффект хлыста	3,0	0,146
a_0	3,0	0,155
r	0,988	0,876
σ_ε	0,650	0,121
σ_k	1,414	1,414
σ_V	4,29	0,25
$t_{\text{крит}}$	$t_{\text{крит}}(3; 0,005) = 5,841$	$t_{\text{крит}}(3; 0,07) = 1,995$
t_{a_1}	19,6	2,090
t_{a_0}	6,5 > 5,841	3,136
t_r	27,3	3,136
t_{a_1r}	27,8	3,136

в звеньях цепи поставок увеличивается в среднем на 15,5 %.

Чтобы проверить метод на устойчивость, предложенная процедура количественной оценки «эффекта хлыста» была использована для других видов товаров. «Эффект хлыста» для различных компаний и отраслей экономики

на базе статистической информации проанализирован работах [11–13]; анализ показал его негативное влияние на эффективность цепей поставок. Результаты, полученные на основании анализа динамики объемов заказов в цепях поставок, представлены на рис. 4–9.

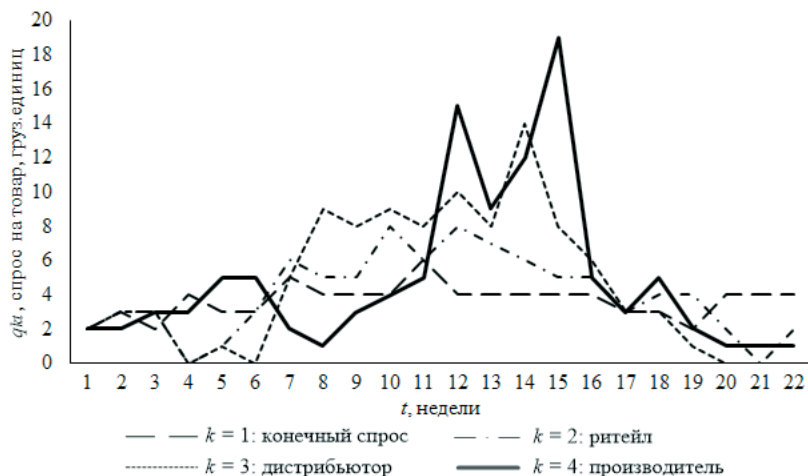


Рис. 4. Динамика размеров заказов в цепи поставок продукции высокотехнологичной отрасли (сотовые телефоны)

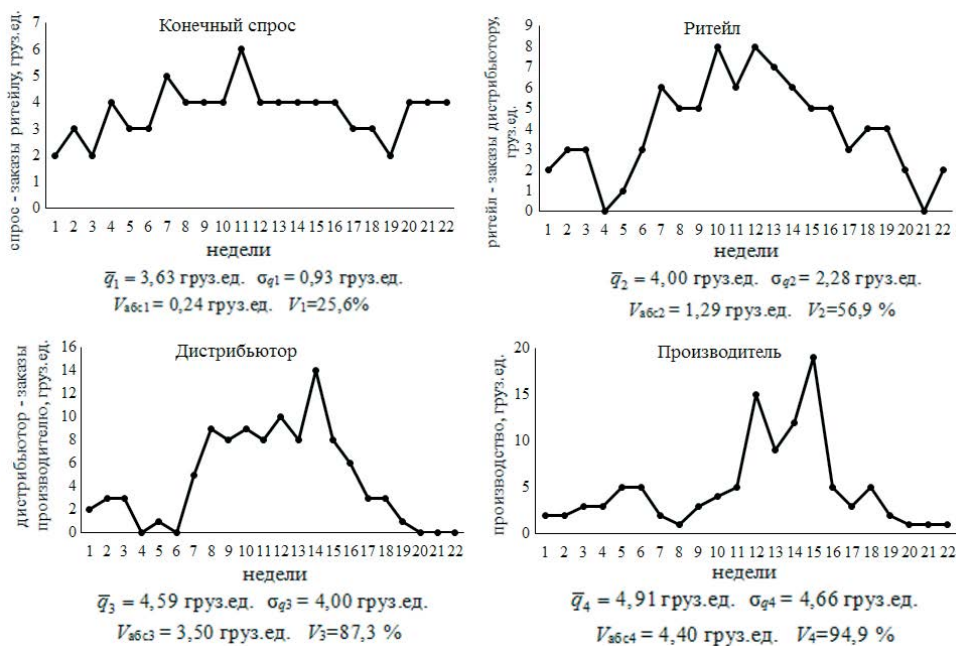


Рис. 5. Динамика размеров заказов и показатели вариации в цепи поставок продукции высокотехнологичной отрасли (сотовые телефоны)

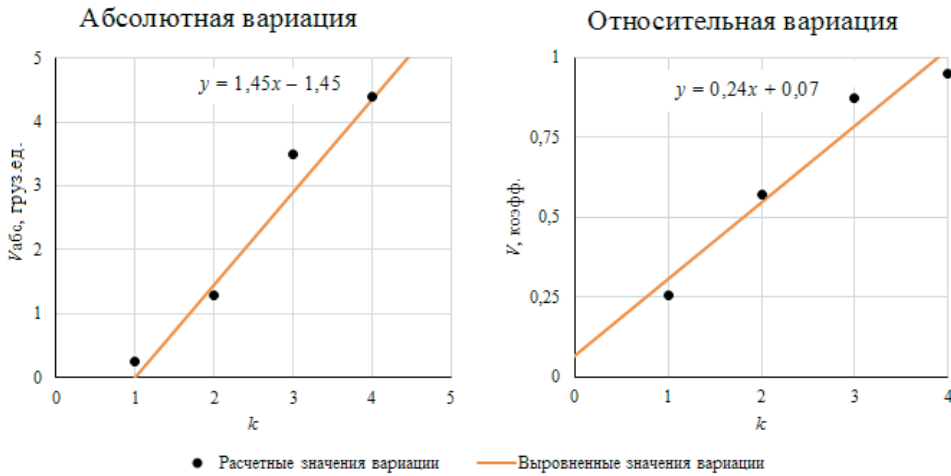


Рис. 6. Зависимость вариации от местонахождения звена в цепях поставок продукции высокотехнологичной отрасли (сотовые телефоны)

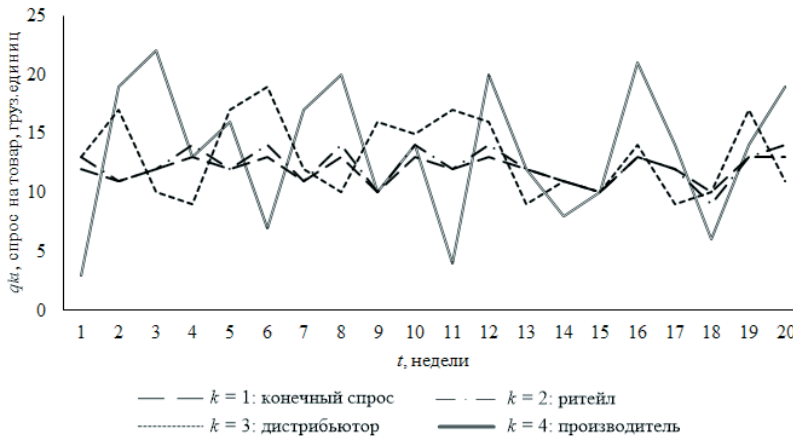


Рис. 7. Динамика размеров заказов в цепи поставок продукции цветной металлургии

В результате анализа полученных коэффициентов линейной корреляции выявлена преимущественно линейная закономерность увеличения абсолютной величины вариации в зависимости от местонахождения звена в цепи поставок для товаров разных отраслей экономики. При этом наблюдается практически полное совпадение параметров a_0 и a_1 , что позволяет привести линейную модель к виду

$$V_{\text{абс}}(k) = \varphi(k - 1). \quad (15)$$

Полученные параметры a_1 , описывающие искомую закономерность между местом нахождения звена цепи

поставок и интенсивностью колебаний заказов в нем, можно трактовать как «эффект хлыста» и использовать для корректировки размеров заказов на величину $a_1(k - 1)$ в том случае, если известен размер изменения в самом первом звене. Также полученная величина «эффекта хлыста» может быть учтена при планировании страховых запасов у поставляющих звеньев.

Введя обозначение для количественной оценки эффекта хлыста $\varphi(=a_1)$ и используя формулу расчета коэффициента регрессии a_1 (5), получим формулу расчета эффекта хлыста в цепях поставок:

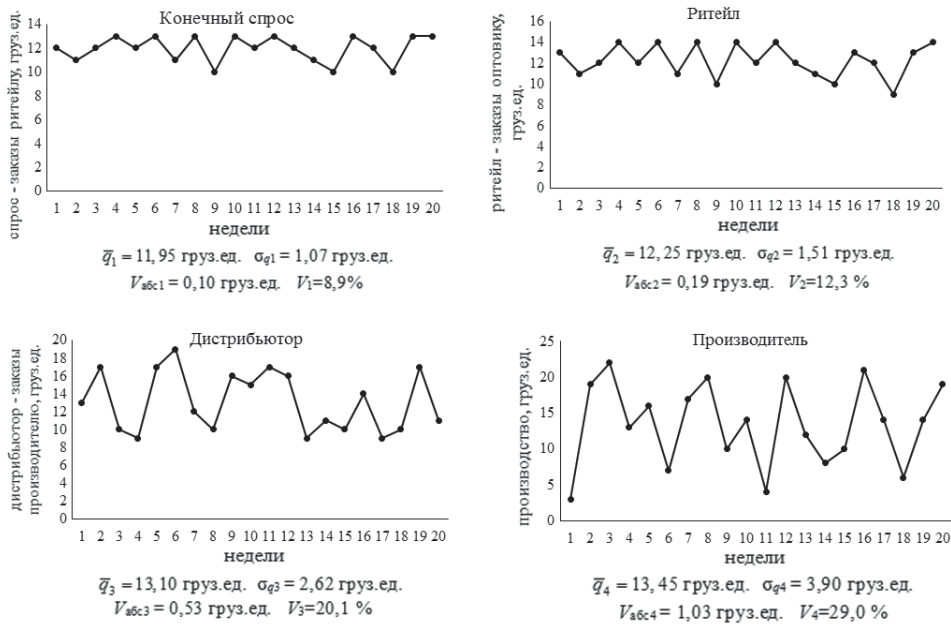


Рис. 8. Динамика размеров заказов в цепи поставок продукции цветной металлургии

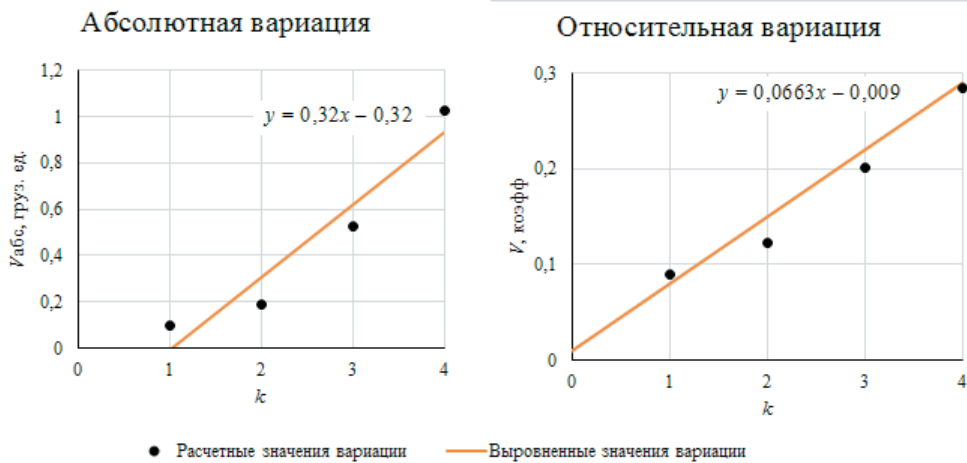


Рис. 9. Зависимость вариации от местонахождения звена в цепях поставок продукции цветной металлургии

$$\varphi = \frac{K \sum_{k=1}^K V_{абс} k - \sum_{k=1}^K V_{абс} \sum_{k=1}^K k}{K \sum_{k=1}^K k^2 - \left(\sum_{k=1}^K k \right)^2}. \quad (16)$$

Очевидно, что использование предложенного метода определения «эффекта хлыста» на основе корреляционно-регрессионного анализа не устранит

полностью колебания размеров заказов, но позволит существенно их сократить, значит, и уменьшить непроизводительные расходы ресурсов, связанные с неопределенностью окружающей среды и рыночными рисками.

Основная причина возникновения «эффекта хлыста», по мнению большинства исследователей в этой

области, – недостаточная надежность прогнозов [1–3], что в итоге снижает эффективность планирования управления запасами в цепях поставок и разветвленных логистических системах. Снизить негативное влияние «эффекта

хлыста» можно, если использовать более совершенные модели прогнозирования [17] и полученный в данном исследовании метод количественной оценки для корректировки страховых запасов в звеньях цепей поставок. ■

Литература

1. Дыбская В.В. Проблемы межорганизационной координации в цепи поставок и эффект хлыста // Логистика и управление цепями поставок. 2012. № 12. С. 24–27. ISSN 1727-6349.
2. Волкова С.А. Логистика транспортировки в цепях поставок // Интегрированная логистика. 2015. № 6. С.8–10.
3. Сергеев В.И. Управление цепями поставок. – М. : Изд-во «Юрайт», 2014. 479 с. ISBN 978-5-9916-3088-7.
4. Вохмянина А.В., Журавская М.А., Цяо Цун. Анализ влияния «эффекта хлыста» на уровень обслуживания в логистической цепи поставок // Транспорт: наука, техника, управление. 2015. № 9. С. 38–45. ISSN 0236-1914.
5. Мартыненко А.В., Журавская М.А., Цяо Цун. Оценка времени транспортировки грузов в логистической цепи поставок // Вестник УрГУПС. 2016. № 3. С. 73–81. ISSN 2079-0392.
6. Кочнева Д.И., Гаганова Е.А. Моделирование потоковых процессов на контейнерном терминале // Вестник УрГУПС. 2014. № 2. С. 53–60. ISSN 2079-0392.
7. Бродецкий Г.Л. Управление рисками в логистике : учеб. пособие / Г.Л. Бродецкий, Д.А. Гусев, Е.А. Елин. – М. : Академия, 2010. (Сер. : «Непрерывное профессиональное образование: менеджмент»). – 192 с. ISBN 978-5-7695-6264-8.
8. Мадера А.Г. Риски и шансы. Неопределенность, прогнозирование и оценка. М. : Изд-во «Красанд», 2014. 448 с. ISBN 978-5-396-00570-9.
9. Saaty T.L. Decision making with dependence and feedback: The Analytic Network Process. – New York, Springer, 2013.
10. Taha H.A. Operations research: an introduction. – New Jersey, Pearson Education Inc, 2012.
11. Иванов Д.А. Управление цепями поставок. СПб : Изд-во СПбГУ, 2009. – 660 с. ISBN 978-5-7422-2353-5.
12. Тимофеева Г.А., Мартыненко А.В. Эконометрика : учеб. пособие – Екатеринбург : УрГУПС, 2016. – 111 с.
13. Disney S.M. The effect of vendor managed inventory (VMI) dynamics of bullwhip effect in supply chains / S.M. Disney, D.R. Towill // Int. J Production Economics. 2003. Vol. 85.
14. Lee H.L. The bullwhip effect in supply chains / H.L. Lee, P. Padmanabhan, S. Wang // Sloan Management Review. 1997. Vol. 38.
15. Kelly K. Burned by busy signals: Why Motorola ramped up production way past demand. Business Week. 1995. Vol. 36.
16. Holmstrom J. Product range management: a case study of supply chain operations in the European grocery industry. Supply Chain Management. 1997. Vol. 2 (3).
17. Dooley K., Yan T., Mohan S., Gopalakrishnan M. Inventory management and the bullwhip effect during the 2007–2009 recession: evidence from the manufacturing sector // Journal of Supply Chain Management. 2010. Vol. 46.
18. Вохмянина А.В. Прогнозирование логистических показателей в условиях годовой неравномерности // Транспорт: наука, техника, управление. 2017. № 5. С. 13–20. ISSN 0236-1914.

Literature

1. Dybskaya V.V. Problemy mezhorganizatsionnoy koordinatsii v tsepi postavok i effekt khlysta [Problems of interorganizational coordination in the supply chain and the bullwhip effect] // Logistics and supply chain management. 2012. № 12. Pg. 24–27. ISSN 1727-6349.
2. Volkova S.A. Logistika transportirovki v tsepyakh postavok [Logistics of transportation in supply chains] // Integrated logistics. 2015. № 6. Pg. 8–10.

3. Sergeev V.I. Upravlenie tsepyami postavok. [Supply chain management]. – М. : Pub. house «Urait», 2014. 479 pg. ISBN 978-5-9916-3088-7.
4. Vokhmyanina A.V., ZHurvanskaya M.A., TSyao TSun. Analiz vliyaniya «effekta khlysta» na uroven' obsluzhivaniya v logisticheskoy tsepi postavok [Analysis of the influence of the «bullwhip effect» on the level of service in the logistics supply chain] // Transport: science, technology, management. 2015. № 9. Pg. 38–45. ISSN 0236-1914.
5. Martynenko A.V., ZHurvanskaya M.A., TSyao TSun. Otsenka vremeni transportirovki gruzov v logisticheskoy tsepi postavok [Assessment of the time of transportation of goods in the logistics supply chain] // Bulletin of the Ural State University of Railway Transport. 2016. № 3. Pg. 73–81. ISSN 2079-0392.
6. Kochneva D.I., Gaganova E.A. Modelirovanie potokovykh protsessov na konteynernom terminale [Modeling of streaming processes at the container terminal] // Bulletin of the Ural State University of Railway Transport. 2014. № 2. Pg. 53–60. ISSN 2079-0392.
7. Brodetskiy G.L. Upravlenie riskami v logistike : ucheb. posobie [Risk Management in Logistics: textbook] / G.L. Brodetskiy, D.A. Gusev, E.A. Elin. – М. : Akademy, 2010. (Ser. : «Continuing professional education: management»). – 192 pg. ISBN 978-5-7695-6264-8.
8. Madera A.G. Riski i shansy. Neopredelennost', prognozirovaniye i otsenka. [Risks and chances. Uncertainty, forecasting and evaluation]. М. : Pub. house «Krassand», 2014. 448 pg. ISBN 978-5-396-00570-9.
9. Saaty T.L. Decision making with dependence and feedback: The Analytic Network Process. – New York, Springer, 2013.
10. Taha H.A. Operations research: an introduction. – New Jersey, Pearson Education Inc, 2012.
11. Ivanov D.A. Upravlenie tsepyami postavok. [Supply chain management]. SPb : Publishing house of St. Petersburg State University, 2009. – 660 pg. ISBN 978-5-7422-2353-5.
12. Timofeeva G.A., Martynenko A.V. Ekonometrika : ucheb. posobie [Econometrics: textbook.] – Ekaterinburg : the Ural State University of Railway Transport, 2016. – 111 pg.
13. Disney S.M. The effect of vendor managed inventory (VMI) dynamics of bullwhip effect in supply chains / S.M. Disney, D.R. Towill // Int. J Production Economics. 2003. Vol. 85.
14. Lee H.L. The bullwhip effect in supply chains / H.L. Lee, P. Padmanabhan, S. Wang // Sloan Management Review. 1997. Vol. 38.
15. Kelly K. Burned by busy signals: Why Motorola ramped up production way past demand. Business Week. 1995. Vol. 36.
16. Holmstrom J. Product range management: a case study of supply chain operations in the European grocery industry. Supply Chain Management. 1997. Vol.2 (3).
17. Dooley K., Yan T., Mohan S., Gopalakrishnan M. Inventory management and the bullwhip effect during the 2007–2009 recession: evidence from the manufacturing sector // Journal of Supply Chain Management. 2010. Vol. 46.
18. Vokhmyanina A.V. Prognozirovaniye logisticheskikh pokazateley v usloviyakh godovoy neravnomernosti [Forecasting logistic markers in conditions of annual unevenness] // Transport: science, technology, management. 2017. № 5. pg. 13–20. ISSN 0236-1914.

Статья сдана в редакцию 25 апреля 2017 года

Управление. Экономика

УДК 656.2

А.А. Вовк, Ю.А. Вовк, З.В. Чуприкова

Проблемы характеристики динамики продукции транспортной компании и оценки ее размера

UDC 656.2

A.A. Vovk, Yu. A. Vovk, Z. V. Chuprikova

Problems of characteristics of the dynamics of the production of the transport company and evaluation of its size

Аннотация

В статье раскрываются принципы характеристики динамики продукции транспортной компании, состоящей из сопоставимых частей – изделий, работ и услуг, которые создаются с целью получения прибыли финансов. Такой подход позволяет рассматривать продукцию как несопоставимую совокупность. Для характеристики динамики продукции транспортной компании предлагается использовать известный инструмент: индексы, позволяющие характеризовать динамику каждой части, а также динамику

произведенной и реализованной продукции в целом, используя в качестве соизмерителя показатели затрат труда, возникающие на этапе производства и реализации (продажи) продукции – себестоимость единицы изделий, работ и услуг, а также цены продажи каждой из них.

Дается краткая характеристика каждой единицы, в результате чего обосновывается особенность услуг как вида продукции, не имеющих вещественного выражения и потребляемой в процессе их производства. Из этого следуют особенности

характеристики динамики их физического объема и необходимости контроля динамики тарифов.

В статье раскрыт порядок характеристики абсолютно-го показателя размера продукции на основе денежного и условно-натурального методов и обосновывается порядок расчета показателей соизмерения изделий, работ и услуг.

Ключевые слова: продукция, изделия, работы, услуги, индексы, абсолютный размер, динамика, транспортная компания.

DOI:10.20291/2079-0392-2017-2-91-100

Алексей Александрович Вовк, д-р экон. наук, профессор; кафедра «Экономическая информатика» Московского государственного университета путей сообщения Императора Николая II (МИИТ); Москва, Россия. E-mail: alexejvovk@yandex.ru.

Юлия Алексеевна Вовк, канд. экон. наук; начальник отдела Центральной дирекции по управлению терминально-складским комплексом, филиала ОАО «РЖД»; Москва, Россия. E-mail: vovkja@mail.ru.

Зинаида Валерьевна Чуприкова, канд. экон. наук, доцент; кафедра «Финансы и кредит» Московского государственного университета путей сообщения Императора Николая II (МИИТ); Москва, Россия. E-mail: zinulja_chup@mail.ru.

Статья рекомендована к печати Д.А. Мечеретом, д-ром экон. наук, профессором; ОАО «РЖД»; Москва, Россия. E-mail: mtcheret@vniizht.ru.

Alexey Alexandrovitch Vovk, Doctor of Econ. Sciences, Professor; Department «Economic informatics» of Moscow State University of Railway Engineering (MIIT); Moscow, Russia. E-mail: alexejvovk@yandex.ru.

Yulia Alexseevna Vovk, Candidate of Econ. Sciences; Head of Department of Central directory for managing terminal-storage complex, of the branch OJSC «Russian railways»; Moscow, Russia. E-mail: vovkja@mail.ru.

Zinaida Valeriyevna Chuprikova, Candidate of Econ. Sciences, Associate professor; Department «Finances and credit» of Moscow State University of Railway Engineering (MIIT); Moscow, Russia. E-mail: zinulja_chup@mail.ru.

The article is recommended for editing from D. A. Metcheret, Doctor of Econ. Sciences, Professor; OJSC «Russian railways»; Moscow, Russia. E-mail: mtcheret@vniizht.ru.

Annotation

The article reveals the principles of the characteristic of the dynamics of the transport company's products, consisting of comparable parts – products, works and services, which are created with the aim of obtaining financial profit. This approach allows us to treat products as a disparate assembly. To characterize the dynamics of the transport company's products, it is proposed to use a well-known tool: indices that allow to characterize the dynamics of each part, as

well as the dynamics of the produced and sold products as a whole, using the indicators of labor costs arising at the stage of production and realization (sale) of products – base cost of the product unit, works and services, as well as the selling price of each of them.

A brief characteristic of each unit is given, as a result of which the peculiarity of services as a type of product that does not have a real expression and consumed in the process of their production is justified. This is followed by features of the characteristics of the

dynamics of their physical volume and the need to monitor the dynamics of tariffs.

The article discloses also the procedure for characterizing the absolute value of output on the basis of monetary and conditionally-natural methods, and the procedure for calculating the indicators for measuring the products, works and services is justified.

Key words: production, products, works, services, indices, absolute size, dynamics, transportation company.

DOI:10.20291/2079-0392-2017-2-91-100

Под продукцией транспортной компании понимается размер результата производственных операций, осуществленных с целью получения прибыли финансов. Иначе говоря, продукция – это результат производства, созданный с целью продажи и получения прибыли финансов. Транспортные компании решают вопросы характеристики продукции по-разному, а ОАО «РЖД», являясь совершенно иной транспортной компанией по структуре и назначению, использует показатель приведенной продукции, применяемый в свое время Министерством путей сообщения (МПС), и рассчитывает его по той же методологии [1, с. 161–162; 2, с. 216; 3, с. 226; 4, с. 361]. Это обусловлено тем, что в экономической науке до сих пор нет научно обоснованной методологии характеристики динамики и уровня продукции и никто даже не пытается ее создать [5, с. 658–667; 6, с. 3–5].

Продукция транспортных компаний, несмотря на изменившуюся их структуру (в смысле видов деятельности и назначения), по-прежнему подразделяется на продукцию основной деятельности и продукцию вспомогательных и обслуживающих производств [7, с. 408, 421–423; 8, с. 315, 327–329]. Такая группировка продукции транспортной компании, по нашему мнению, не позволяет

рассматривать ее как неоднородную и непосредственно несопоставимую совокупность, однако состоящую из однородных частей, и исходя из этого характеризовать их динамику и уровень, то есть решать вопросы учета каждой части и их соизмерения.

Продукцию транспортной компании для целей характеристик ее динамики и размера вначале следует группировать так, чтобы представить ее как неоднородную и непосредственно несопоставимую совокупность с тем, чтобы выделить в ее составе однородные части. Таким может быть подход, основанный на рассмотрении физического объема продукции как совокупности результатов производства, принимающих формы изделий, работ и услуг, которые сами по себе неоднородны, но состоят из однородных частей, то есть предназначенных для продажи [9, с. 35]. На практике в состав продукции транспортной компании какая-либо часть может и не входить. Подобная группировка физического объема продукции раскрывает ее неоднородность, а следовательно, несопоставимость и указывает, что однородными являются изделия, работы и услуги, образующие каждую группу, и что первоначально надо характеризовать размер и динамику физического объема каждой группы, а затем уже динамику и размер продукции транспортной

компании в целом на основе соизмерения этих групп.

В связи со сформулированным подходом к решению задачи характеристики продукции транспортной компании необходимо вначале раскрыть особенности каждой ее формы.

Изделия – результаты производства, имеющие натуральную форму, которые создаются отдельными работниками или небольшими их коллективами (бригадами, звеньями). Изделия, как правило, вначале выступают в качестве продуктов труда отдельных работников или их групп – используются для оценки результатов труда и его оплаты, а потом принимают форму продукции и могут быть реализованы как часть продукции (все или частично). После завершения процесса производства изделия могут быть сданы на склад для хранения, а другим организациям или заказчикам (отдельно или в составе выполненных работ и оказанных услуг) они продаются повсеместно и постепенно [9, с. 35]. В подразделениях транспортной компании к изделиям, принявшим форму продукции, относятся, например, колесные пары вагонов и локомотивов, а также другие узлы подвижного состава, запасные части, инструмент, инвентарь, приспособления, съёмные приспособления для перевозки грузов (щиты, решетки, поддоны), пошитая форменная одежда и т.п.

В качестве соизмерителя различных изделий при рассмотрении их как продукта труда при сдельной форме оплаты труда создавших их работников могут использоваться сдельные расценки [9, с. 72]. При рассмотрении изделий как части произведенной продукции в качестве соизмерителей выступают показатели себестоимости изделия определенного вида, а при рассмотрении изделий как формы реализованной продукции – цены продажи изделий данного вида. Это обусловлено необходимостью учесть все затраты труда на его создание, которые на соответствующем этапе имеют различный состав.

Для характеристики динамики физического объема произведенных изделий по каждому их виду могут быть рассчитаны индивидуальные индексы (коэффициенты роста) по формуле:

$$i_{q_i} = q_1^{pr.i} / q_0^{pr.i}, \quad (1)$$

где $q_0^{pr.i}$, $q_1^{pr.i}$ – количество определенного вида изделий, произведенных для продажи в базисном и текущем периодах, ед.

Для характеристики динамики всех видов произведенных изделий может быть рассчитан общий индекс физического объема:

$$I_{q^{pr.i}} = \frac{\sum q_1^{pr.i} z_0^{pr.i}}{\sum q_0^{pr.i} z_0^{pr.i}} = \frac{\sum (q_0^{pr.i} z_0^{pr.i} \cdot i_{q_i}^{pr.i})}{\sum q_0^{pr.i} z_0^{pr.i}}, \quad (2)$$

где $\sum q_1^{pr.i} z_0^{pr.i}$, $\sum q_0^{pr.i} z_0^{pr.i}$ – денежное выражение стоимости изделий, произведенных работниками транспортной компании соответственно в базисном и текущем периодах, млн руб.

Таким образом для характеристики размера изделий и его динамики следует вести учет изделий и издержек их производства в разрезе видов, в необходимых случаях используя методы калькуляции.

Порядок расчета индекса физического объема изделий, произведенных в транспортной компании, раскрыт в таблице 1.

Из таблицы 1 ясно, что физический объем произведенных изделий в организации за текущий период возрос на 6,6 %.

Если же необходимо характеризовать динамику реализованных изделий, то надо в качестве соизмерителя разных изделий использовать цены продажи. Тогда формула (2) примет вид

$$I_{q^{r.i}} = \frac{\sum q_0^{r.i} p_0^{r.i}}{\sum q_0^{r.i} p_0^{r.i}} = \frac{\sum (q_0^{r.i} p_0^{r.i} \cdot i_{q_i}^{r.i})}{\sum q_0^{r.i} p_0^{r.i}}. \quad (3)$$

На основе этого можно сделать вывод, что для характеристики динамики физического объема реализованных изделий в целом необходимо организовать

Таблица 1

Характеристика индекса физического объема произведенных изделий в транспортной компании (данные условные)

Вид изделия	Индекс (коэфф. роста) физического объема произведенных изделий по их видам	Издержки производства базисного периода, млн руб.	Издержки производства базисного периода, скорректированные на индекс физического объема произведенных изделий по их видам, млн руб.	Индекс физического объема произведенных изделий
Всего	×	900	959,5	1,066
В том числе				
а)	1,058	200	211,6	×
б)	1,046	400	418,4	×
в)	1,098	300	329,5	×

получение данных о доходах и о количестве реализованных изделий по видам с тем, чтобы иметь возможность рассчитывать показатели цены продажи каждого вида изделий, а для характеристики динамики физического объема изделий, принявших форму продукции, необходимо получение данных о доходах (выручке) от продажи каждого изделия и об индивидуальных индексах физического объема проданных изделий определенного вида $i_{q^r}^i$.

Выполненные работы – результат производственной деятельности, как правило, строительного и промышленного вида (сооружение объектов, монтаж оборудования, восстановление утраченных свойств орудий труда (основных средств и нематериальных активов) и т.п.). Результат строительного производства имеет вещественную форму, создается группой работников или коллективом структурного подразделения (филиала) транспортной компании на определенном месте, и поэтому не может быть перемещен в пространстве. К результатам строительного производства относятся строительство цехов, их реконструкция и т. п.

Результат производства промышленного вида (как правило, ремонтного производства) имеет вещественную форму орудий труда, ремонт которых – локомотивов, вагонов, пути, зданий, сооружений и т. п. – выполняется. Ремонт проводит группа работников или даже

коллектив структурного подразделения транспортной компании на определенном месте после доставки объектов к месту производства работ. Эти работы не складываются, то есть не накапливаются, а передаются заказчикам по мере выполнения. Физический объем произведенных работ характеризуется подобно физическому объему созданных изделий; здесь предполагается наличие данных об издержках производства в базисном и текущем периодах в разрезе видов работ при себестоимости единицы выполненных работ базисного периода по их видам. Тогда, разделив общий индекс издержек производства на выполнение работ на общий индекс себестоимости единицы произведенных работ, можно будет определить общий индекс физического объема произведенных работ $I_{q^r.pr}$:

$$I_{q^r.pr} = \frac{\sum q_1^{r.pr} z_0^{r.pr}}{\sum q_0^{r.pr} z_0^{r.pr}} = \frac{I_{E^r.pr}}{I_{z^r.pr}}. \quad (4)$$

Таким образом, чтобы иметь возможность рассчитывать индексы физического объема выполненных работ по видам, необходимо организовать получение данных об издержках производства на выполнение каждого вида работ и себестоимости единицы выполненных работ по их видам.

Поскольку работы выполняются, а изделия создаются в соответствии с договорами, то основой для харак-

теристики физического объема изделий и работ может быть информация, полученная при оценке выполнения договоров. На основе договоров и приложений к ним устанавливаются размер издержек производства по видам изделий (работ), объемы работ и количество изделий, размер дохода, полученного в целом и по каждому договору. Эти данные могут быть объектом управленческого учета.

Динамика физического объема проданных работ должна характеризоваться с учетом того, что их соизмерителем служат цены продажи. Поэтому для характеристики динамики физического объема реализованных работ используются индексы доходов от продажи работ и цен продажи:

$$I_{q^{r,r}} = \frac{I_{D^{r,r}}}{I_{p^{r,r}}}, \quad (5)$$

где $I_{q^{r,r}}$ – индекс физического объема реализованных (проданных работ); $I_{D^{r,r}}$ – индекс доходов, полученных от реализации работ; $I_{p^{r,r}}$ – индекс цен продажи работ.

Результаты расчета индекса физического объема выполненных транспортной компанией работ обобщены в таблице 2.

Таким образом, индекс физического объема работ в нашем условном примере составил 1,031, то есть физический объем работ возрос на 3,1 %.

Услуги – результат производства, не имеющий вещественной формы, но удовлетворяющий определенные потребности. Хотя транспортная услуга не имеет вещественной формы, она обладает количественными характеристиками, позволяющими индивидуализировать каждую из них. Это продолжительность оказания услуги, масса перемещаемого груза, расстояние перемещения. Услуги оказываются коллективами работников одного или нескольких филиалов транспортной компании (оказание услуг локомотивной тяги, перемещение грузов в дальнем и местном сообщениях, перемещение пассажиров в прямом и пригородном сообщениях и т.п.); услуги можно группировать по этим видам.

Количество услуг следует характеризовать на основании доходов от оказания услуги и тарифа. Услуги, как правило, потребляются в процессе создания и не могут быть накоплены, то есть сосредоточены на складе. Поэтому показатели физического объема оказанных и реализованных услуг равны. Услуги продаются по мере их оказания или выполнения. Учитывая разнообразие массы перемещаемого груза, расстояния перемещений, условия перемещения, а также продолжительность оказания других услуг, можно для характеристики их совокупности группировать услуги по этим признакам. Из-за многообразия услуг возникают проблемы

Таблица 2

Характеристика динамики физического объема работ, выполненных для других организаций (данные условные)

Вид работ	Индекс (коэффициент роста) физического объема выполненных работ по их видам	Издержки производства базисного периода, млн руб.	Издержки производства базисного периода, скорректированные на индексы физического объема по видам выполненных работ, млн руб.	Индекс физического объема выполненных работ
Всего	×	1800	1856,4	1,031
В том числе:				
осмотр локомотивов	1,026	400	410,4	×
ремонт вагонов	1,023	800	818,4	×
ремонт локомотивов	1,046	600	627,6	×

при характеристике их количества, поскольку для расчета индекса физического объема оказанных услуг их надо сгруппировать по одинаковому размеру, чтобы затем соизмерить с помощью себестоимости единицы оказанной услуги. Это усложняет задачу информационного обеспечения характеристики физического объема оказанных услуг, которая может решаться соответствующей организацией управленческого учета.

Поэтому возникает необходимость характеризовать динамику не только общего количества услуг, но и их количества услуг по видам с учетом различия в размере, используя при этом общую для них меру – себестоимость услуги. Значит, необходимо ввести следующие учётные признаки: моменты начала оказания услуги и ее окончания, единицу учета, вид услуги и единицу измерения. Все это значительно усложняет систему учета физического объема услуг по перемещению грузов и пассажиров между многочисленными станциями транспортной компании, делает ее громоздкой и трудной для восприятия.

Так, моментом начала оказания услуги по перемещению грузов и пассажиров является момент приема груза к перевозке и продажи пассажирского билета. Момент завершения оказания услуги для перемещения грузов – момент выдачи груза, а для пассажирских перевозок – момент прибытия поезда на конечную станцию. В качестве видов услуг следует различать перемещение грузов и перемещение пассажиров, оказание услуг локомотивной тяги и др. Единицей учета услуги может быть отправка, то есть партия груза, перевозимая по одному перевозочному документу между станциями отправления и назначения, а в пассажирских перевозках – пассажиро-поездка. Перемещение груза на расстояние должно также учитывать массу груза и расстояние перемещения. Таким образом, количественную характеристику услуг, оказанных при перемещении грузов, можно давать с помощью показателя

«тарифный грузооборот», рассчитанного исходя из кратчайшего пути перемещения грузов по подразделениям транспортной компании-перевозчика с учетом массы груза. Размер услуги, оказанной в сфере пассажирских перевозок, можно характеризовать количеством пассажиро-километров, а перемещение груза на расстояние характеризуется в т·км. Поскольку продукция рассматривается уже как результат человеческого труда, то для характеристики динамики физического объема оказанных услуг они должны быть соизмерены с помощью показателей себестоимости единицы услуги или цены продажи. Именно поэтому простое суммирование тарифного грузооборота, выполненного по разным отправлениям, и пассажирооборота неправомерно. Ссылка на то, что якобы себестоимость создания единицы услуги в грузовом и в пассажирском движении примерно одинакова, весьма неубедительна.

Одним из направлений создания системы характеристики динамики физического объема оказанных услуг организацией в целом и по видам ее деятельности является использование данных о начисленных доходах (выручке) в таком же разрезе. Размер доходов (выручки) для каждого периода определяется в рамках бухгалтерского учета для ведения расчетов с заказчиками путем умножения размера реализованных или подлежащих реализации услуг, на соответствующие тарифы.

Для характеристики физического объема реализованных услуг по их видам можно применять формулу (6):

$$I_{q^{r.u}} = \frac{\sum q_1^{r.u} p_0}{\sum q_0^{r.u} p_0} = \frac{I_{D^{r.u}}}{I_{P^{r.u}}}, \quad (6)$$

где $I_{D^{r.u}}$ – индекс доходов от реализации услуг определенного вида; $I_{P^{r.u}}$ – индекс тарифов (цен) на услуги данного вида.

Итак, задача характеристики индекса физического объема оказанных услуг трансформируется в задачу характеристики размера индекса дохода (выручки) от оказания каждого вида

услуг и тарифов их реализации по каждому из них. Для базисного периода эту задачу можно решить путем организации учета дохода (выручки) в разрезе видов услуг, то есть в соответствии с номенклатурой доходов. Чтобы охарактеризовать размер дохода (выручки), рассчитанный исходя из количества услуг текущего периода и тарифов базисного периода по видам $\sum q_1^{r,u} p_0^{r,u}$, надо доход (выручку) текущего периода разделить на индивидуальные коэффициенты роста (индексы) тарифов:

$$\frac{\sum q_1^{r,u} p_1^{r,u}}{i_p^{r,u}} = \sum q_1^{r,u} p_0^{r,u}. \quad (7)$$

Для информационного обеспечения характеристики индивидуальных индексов физического объема реализованных услуг необходимо организовать учет изменения тарифа по видам услуг.

Это позволит рассчитывать общий индекс физического объема реализованных услуг по формуле (8):

$$I_{q^{r,u}} = \frac{\sum \left(\frac{B_1^{r,u}}{i_p^{r,u}} \right)}{\sum B_0^{r,u}}, \quad (8)$$

где $\sum B_0^{r,u}$ – доход (выручка) от реализации реализованных услуг по видам деятельности в базисном периоде, млн руб.; $i_p^{r,u}$ – индивидуальные индексы (коэффициенты роста) тарифов по видам услуг.

Расчет общего индекса физического объема услуг предполагает сопоставление сопоставимых показателей и количества оказанных услуг. Результаты расчета индекса физического объема услуг, принявших форму продукции, могут быть обобщены в таблицу 3.

Из таблицы 3 установлено, что в результате выполненных расчетов на условных данных физический объем услуг, оказанных организацией, возрос на 2,6 %.

Исходя из принципа обеспечения полноты учета продукция транспортной компании должна включать все изделия, работы и услуги, созданные за отчетный период.

Для характеристики динамики физического объема реализованной продукции транспортной компании необходимо рассчитывать обобщающий показатель на основе индексов реализованных изделий, работ и услуг:

$$I_{q^r} = \frac{(I_{q^{r,i}} \cdot f_{D_0^{r,i}} + I_{q^{r,r}} \cdot f_{D_0^{r,r}} + I_{q^{r,u}} \cdot f_{D_0^{r,u}})}{100}, \quad (9)$$

где $f_{D_0^{r,i}}, f_{D_0^{r,r}}, f_{D_0^{r,u}}$ – удельный вес доходов от продажи реализованных изделий, работ и услуг в доходах организации в базисном периоде, %; $I_{q^{r,i}}, I_{q^{r,r}}, I_{q^{r,u}}$ – индексы физического объема реализованных изделий, работ и услуг.

Индекс физического объема произведенной продукции транспортной компании можно рассчитывать на

Таблица 3

Характеристика динамики услуг, оказанных организацией при перемещении грузов и пассажиров (данные условные)

Вид деятельности	Доход (выручка) организации за оказанные услуги, периоды			Индекс тарифа по услугам, относимым к данному виду деятельности	Индекс физического объема услуг по видам, относимым к данному виду деятельности
	базисный	текущий при ценах базисного	текущий		
Перемещение груза	3000	3085,8	3200,0	1,037	1,029
Перемещение пассажиров	2500	2559,2	2700,0	1,055	1,024
Итого	5500,0	5645,0	5900,0	1,045	1,026

основе индексов произведенных изделий, выполненных работ и оказанных услуг:

$$I_q = \frac{(I_{q^i} \cdot f_{E_0^i} + I_{q^r} \cdot f_{E_0^r} + I_{q^u} \cdot f_{E_0^u})}{100}, \quad (10)$$

где $f_{E_0^i}, f_{E_0^r}, f_{E_0^u}$ – удельный вес издержек производства изделий, работ и услуг в издержках производства организации в базисном периоде, %; $I_{q^i}, I_{q^r}, I_{q^u}$ – индексы физического объема произведенных изделий, работ и услуг.

Результаты расчета индекса физического объема продукции транспортной компании обобщены в таблицу 4.

Из таблицы 4 ясно, что физический объем произведенной продукции в транспортной компании в текущем периоде по сравнению с базисным возрос на 3,2 %.

Ясно, что наряду с количественным учетом продукции определенного наименования в разрезе видов, сортов, размеров и т.п. необходим учет издержек производства в таком же разрезе.

Для характеристики абсолютного размера продукции организации в денежном выражении следует воспользоваться тем, что показатели, являющиеся числителем и знаменателем формулы индекса физического объема произведенной продукции, сопоставимы. Следовательно, они могут быть использованы для характеристики размера сопоставимой произведенной продукции

в денежном выражении текущего и базисного периодов.

Таким образом, на основе выполненных расчетов можно сделать вывод, что денежное выражение стоимости продукции в базисном периоде составило 8200,0 млн руб., а в текущем – 8460,8 млн руб.

Возможна также характеристика размера продукции в условно-натуральном выражении. Но показатели соизмерения для произведенных изделий, работ и услуг и для реализованных изделий работ и услуг рассчитываются по-разному. Значит, для изделий, работ и услуг, произведенных для продажи, показатели соизмерения следует рассчитывать на основе показателей себестоимости единицы изделий, работ и услуг базисного периода:

$$k_c = \frac{z_0^i}{z_0^1}, \quad (11)$$

где z_0^i – себестоимость единицы определенного вида изделий, работ и услуг в базисном периоде, руб./ед.; z_0^1 – себестоимость единицы определенного вида изделий, работ и услуг, выбранного в качестве эквивалента, руб./ед.

Показатели соизмерения для продукции (изделий, работ и услуг), реализованной покупателям и заказчикам, устанавливаются на основе цен продажи их по видам для базисного периода:

Таблица 4

Индекс физического объема произведенной продукции транспортной компании (данные условные)

Вид продукции	Индекс физического объема изделий, работ и услуг по их видам	Издержки производства базисного периода, млн руб.	Издержки производства базисного периода, скорректированные на индексы физического объема продукции по ее видам, млн руб.	Индекс физического объема произведенной продукции транспортной компании
Изделия	1,066	900,0	959,4	×
Работы	1,031	1800,0	1856,4	×
Услуги	1,026	5500,0	5645,0	×
Итого	×	8200,0	8460,8	1,032

$$k_c = \frac{p_0^i}{p_0^1}, \quad (12)$$

где p_0^i – цена продажи единицы определенного вида изделий, работ и услуг в базисном периоде, руб./ед.; p_0^1 – цена продажи единицы определенного вида изделий, работ и услуг, выбранного в качестве эквивалента, руб./ед.

Эквивалент можно выбирать произвольно – в этом случае вся продукция компании будет выражена в единице измерения эквивалента. Поэтому в условиях железнодорожного транспорта целесообразно в качестве эквивалента выбирать тот вид услуг, себестоимость которого выражается в т·км.

Подобным образом следует поступать и при выборе эквивалента реализованных изделий, работ и услуг.

Абсолютный размер произведенной или реализованной продукции в денежном и условно-натуральном выражении может различаться, но показатели динамики, реализованной или произведенной продукции, рассчитанные на основе денежного или условно-натурального методов, должны быть одинаковы.

Таким образом, применительно к транспортным компаниям также необходимо различать показатели произведенной и реализованной продукции.

Важный момент: в отчетности нет значительной части информации, необходимой для характеристики динамики и уровня продукции по предложенной

схеме. Это обусловлено тем, что отчетность устанавливается государством для транспортной компании не для управления ее деятельностью – государство, устанавливая отчетность, преследует фискальные цели, поэтому для решения задачи управления организацией компания может разрабатывать для управленческих задач управленческий учет, в рамках которого она имеет право получать необходимые показатели, содержание которых составляет коммерческую тайну.

В результате выполненного исследования показано, что можно характеризовать динамику и абсолютный размер продукции организации только на основе денежного и условно-натурального методов, используя данные бухгалтерского учета и статистики. Научно обоснован порядок соизмерения различных видов созданной и реализованной продукции. Предложенные принципы характеристики динамики и размера продукции транспортной компании позволяют существенно уточнить состав и размер создаваемой продукции, что должно найти отражение в бухгалтерском учете доходов, следовательно, повысить объективность оценки результатов деятельности транспортных компаний. Сформулированные принципы характеристики размера и динамики продукции предлагается применять в других отраслях экономики и для в целом по народному хозяйству. ■

Литература

1. Статистика железнодорожного транспорта : учебник для вузов ж.-д. трансп. / Т.И. Козлов, Е.П. Леонова, Поликарпов А.А. и др. / под ред. Т.И. Козлова, А.А. Поликарпова. – М. : Транспорт, 1981. 431 с.
2. Статистика железнодорожного транспорта : учебник / А.А. Вовк, А.А. Поликарпов, Т.В. Арсентьева и др. ; под ред. А.А. Вовка и А.А. Поликарпова. – М. : ФГБОУ «Учебно-методический центр по образованию на железнодорожном транспорте», 2012. 516 с. ISBN 978-5-89035-605-5.
3. Экономика железнодорожного транспорта : учеб. для вузов ж.-д. трансп./ В.А. Дмитриев, А.И. Журавель, А.Д.Шишков и др. ; под ред. В.А. Дмитриева. – М. : Транспорт, 1996. 328 с.
4. Экономика железнодорожного транспорта: учебник / Н.П.Терёшина, В.Г. Галабурда, В.А. Токарев и др. ; под ред. Н.П. Терёшиной, Б.М.Лапидуса. – М. : ФГБОУ «Учебно-методический центр по образованию на железнодорожном транспорте», 2016. 676 с. ISBN 978-5-9994-0067-3.

5. Экономическая статистика : учебник. – 4-е изд., перераб. и доп. / под ред. Ю.Н. Иванова. – М. : ИНФРА-М, 2011. 668 с. ISBN 978-5-16-004351-7.
6. Елисеева И.И. Статистика / под ред. И.И. Елисеевой. – М. : Изд-во Юрайт; ИД Юрайт, 2011. 565 с. ISBN 978-5-9916-1053-7 (Изд-во «Юрайт») ; ISBN 978-5-9692-1071-4 (ИД «Юрайт»).
7. Бухгалтерский финансовый учет на железнодорожном транспорте : учебник для вузов железнодорожного транспорта / А.П. Красов, А.А. Вовк и др. ; под ред. проф. А.П. Красова. – М. : ГОУ « Учебно-методический центр по образованию на железнодорожном транспорте, 2008. 672 с. ISBN 978-5-89035-524-9.
8. Вовк А.А., Вовк Ю.А., Чуприкова З.В. Бухгалтерский финансовый учет : учеб. пособие / под ред. А.А. Вовка. – М. : ФГБОУ « Учебно-методический центр по образованию на железнодорожном транспорте», 2016. 467 с. ISBN 978-5-89035-915-5.
9. Вовк А.А. Статистика : учебник. М. : ИНСОФТ, 2016. 332 с. ISBN 918-5-903865-14-7.

Literature

1. Statistika zheleznodorozhnogo transporta : uchebnik dlya vuzov zh.-d. transp. [Statistics of railway transport: a textbook for high schools of railway transp.] / T.I. Kozlov, E.P. Leonova, Polikarpov A.A. et al. / edit. by T.I. Kozlova, A.A. Polikarpova. – М. : Transport, 1981. 431 pg.
2. Statistika zheleznodorozhnogo transporta : uchebnik [Statistics of the railway transport: textbook] / A.A. Vovk, A.A. Polikarpov, T.V. Arsent'eva et al. ; edit. by A.A. Vovka i A.A. Polikarpova. – М. : Federal State-Funded Educational Institution «Educational and Methodological Center for Education in Railway Transport», 2012. 516 pg. ISBN 978-5-89035-605-5.
3. Ekonomika zheleznodorozhnogo transporta : ucheb. dlya vuzov zh.-d. transp. [Economics of Railway Transport: textbook for high schools of railway transp.] / V.A. Dmitriev, A.I. ZHuravel', A.D. Shishkov et al. ; edit. by V.A. Dmitrieva. – М. : Transport, 1996. 328 pg.
4. Ekonomika zheleznodorozhnogo transporta: uchebnik [Economics of railway transport: a textbook] / N.P. Teryoshina, V.G. Galaburda, V.A. Tokarev et al. ; edit. by N. P. Teryoshinoy, B.M. Lapidusa. – М. : FSEI (Federal State-Funded Educational Institution) «Educational and Methodological Center for Education in Railway Transport», 2016. 676 pg. ISBN 978-5-9994-0067-3.
5. Ekonomicheskaya statistika : uchebnik. [Economic statistics: a textbook] – 4th ed., revised and enlarged / edit. by YU.N. Ivanova. – М. : INFRA-M, 2011. 668 pg. ISBN -978-5-16-004351-7.
6. Eliseeva I.I. Statistika [Statistics] / edit. by I.I. Eliseevoy. – М. : Pub. house YUrayt; PH YUrayt, 2011. 565 pg. ISBN 978-5-9916-1053-7 (Publishing house «Urait») ; ISBN 978-5-9692-1071-4 (PH «YUrayt»).
7. Bukhgalterskiy finansovyy uchet na zheleznodorozhnom transporte : uchebnik dlya vuzov zheleznodorozhnogo transporta [Financial accounting in railway transport: a textbook for high schools of railway transport] / A.P. Krasov, A.A. Vovk et al.; edit. by prof. A.P. Krasova. – М. : SEI (State Educational Institution) «Educational and Methodological Center for Education in Railway Transport», 2008. 672 pg. ISBN 978-5-89035-524-9.
8. Vovk A.A., Vovk YU.A., CHuprikova Z.V. Bukhgalterskiy finansovyy uchet : ucheb. posobie [Financial accounting: teaching materials] / edit. by A.A. Vovka. – М. : FSEI (Federal State-Funded Educational Institution) «Educational and Methodological Center for Education in Railway Transport», 2016. 467 pg. ISBN 978-5-89035-915-5.
9. Vovk A.A. Statistika : uchebnik. [Statistics: textbook.] М. : INSOFТ, 2016. 332 pg. ISBN 918-5-903865-14-7.

Статья сдана в редакцию 25 марта 2017 года

Аспирантская тетрадь

УДК 625.04

Д. А. Скутин

Определение мест возникновения наибольших поперечных сил при движении подвижного состава по кривой

UDC 625.04

D. A. Skutin

Determination of location of the most lateral forces at motion of the rolling stock through the curve

Аннотация

В настоящее время расчет устойчивости железнодорожного пути производится по «Методике оценки воздействия подвижного состава на путь по условиям обеспечения его надежности» от 16.06.2000 г. [1]. Однако методика не позволяет в полной мере рассчитать напряжения, возникающие в конструкции верхнего строения пути. В ней нет данных для расчета современного тягового подвижного состава, отсутствует возможность учета параметров микрогеометрии колеи и колеса подвижного состава, не учитывается возможность изменения параметров возвышения и длин переходных кривых.

Определены величины поперечных сил на контакте «колесо-рельс» при движении подвижного состава по криволинейным участкам пути с радиусами круговой части кривой 700–1200 м со скоростями 80, 100 и 120 км/ч и выявлены места возникновения наибольшего значения поперечной силы при идеальной микрогеометрии пути и колеса с учетом динамического воздействия.

В рамках исследования определены зависимости между значением поперечной силы и величинами параметров, влияющих на ее значения (скорость движения поезда, радиус круговой кривой, возвышение наружного рельса, длина переходной кривой).

Предложен вариант учета значений параметра макрогеометрии плана линии на величину поперечной силы на контакте «колесо-рельс». Рассчитаны значения весовых коэффициентов для параметров макрогеометрии плана трассы.

Ключевые слова: поперечные силы на контакте «колесо-рельс», переходная кривая, скорость движения поезда, радиус круговой кривой, возвышение наружного рельса, длина переходной кривой, весовой коэффициент.

DOI:10.20291/2079-0392-2017-2-101-110

Annotation

Currently, the calculation of the stability of the railway is made according to the «Methodology for the assessment of the impact of rolling stock on the road on the conditions of ensuring its reliability» of 16.06.2000 [1]. However, the technique does not allow to fully calculate the stresses that arise in the structure of the upper structure of the track. There is no data for calculating the modern traction rolling stock, there is no possibility to take into account the parameters of the track geometry and rolling stock wheels, the possibility of changing the elevation parameters and the lengths of the transition curves is not taken into account.

The values of the transverse forces at the wheel-rail contact are determined for the motion of the rolling stock along curvilinear sections of the track with radii of the circular part of the curve of 700–1200 m at speeds of 80, 100 and 120 km/h and the places where the greatest value of the transverse force for the ideal microgeometry of the track and wheels with dynamic impact are unraveled.

As part of the study, the relationships between the value of the transverse force and the values of the parameters influencing its values (train speed, radius of the circular curve, elevation of the outer rail, length of the transition curve) are determined.

A variant of taking into account the values of the macrogeometry parameter of the line plan for the magnitude of the transverse force at the «wheel-rail» contact is proposed. The values of the weight coefficients for the macrogeometric parameters of the trace plan are calculated.

Key words: transverse forces at the «wheel-rail» contact, transitional curve, train speed, radius of the circular curve, elevation of the outer rail, length of the transition curve, weight coefficient.

DOI:10.20291/2079-0392-2017-2-101-110

Дмитрий Александрович Скутин, старший преподаватель; кафедра «Путь и железнодорожное строительство» Уральского государственного университета путей сообщения; Екатеринбург, Россия. E-mail: daskutin@mail.ru.

Статья рекомендована к печати Г.Л. Аккерманом, д-ром техн. наук, профессором; Уральский государственный университет путей сообщения; Екатеринбург, Россия. E-mail: GArreman@usurt.ru.

Dmitri Alexandrovitch Skutin, Senior lecturer; Department «Railway track and railway engineering» of Ural State University of Railway Transport (USURT); Ekaterinbourg; Russia. E-mail: daskutin@mail.ru.

The article is recommended for editing from G.L. Akkerman, Doctor of Technical Sciences, Professor; Ural State University of Railway Transport; Ekaterinbourg, Russia. E-mail: GArreman@usurt.ru.

Чтобы определить нагрузки, действующие на путь от подвижного состава при движении поездов по криволинейным участкам пути с различными скоростями движения, проведен численный эксперимент в программном комплексе «Универсальный механизм» [2].

Возвышения наружного рельса в кривой рассчитываются в соответствии с «Техническими условиями на работы по реконструкции (модернизации) и ремонту железнодорожного пути» [3], но непогашенное ускорение не во всех случаях удовлетворяет нормативному значению, поэтому в рамках дальнейшего исследования расчет поперечных сил выполнялся таким образом, чтобы значения непогашенного ускорения были одинаковыми для всех вариантов движения поезда.

На начальном этапе исследования произведено определение горизонтальных поперечных сил на контакте «колесо-рельс» для скоростей движения 80, 100 и 120 км/ч при движении экипажа по криволинейным участкам пути с радиусами круговых кривых: 500, 600, 700, 800, 900, 1000, и 1200 м [4]. Для всех вариантов прохода поезда подобраны характеристики возвышения наружного рельса и длины переходных кривых таким образом, чтобы

непогашенное ускорение, возникающее в круговой части кривой, было одинаковым для всех вариантов кривых и составляло $0,3 \text{ м/с}^2$, а уклон отвода возвышения равнялся $0,8 \text{ ‰}$. В качестве исходной модели использовался сцеп из пяти четырехосных вагонов с нагрузкой $q = 22 \text{ т/ось}$.

Для определения нагрузок, действующих на путь от подвижного состава, смоделировано движение поезда по участку железнодорожного пути. Для определения сил, возникающих на контакте «колесо-рельс» при движении поездов по криволинейным участкам пути с различными скоростями движения, проведен численный эксперимент в программном комплексе «Универсальный механизм».

Результаты численных экспериментов представлены в таблице 1.

По результатам анализа таблицы 1 построены изополя поперечных сил на контакте «колесо-рельс» [5], позволяющие оценить значения горизонтальных поперечных сил, возникающих при движении поезда по круговой кривой определенного радиуса с постоянной скоростью (рис. 1).

Также проанализированы места возникновения максимальных значений силы при движении подвижного состава по криволинейным участкам пути (таблица 2).

Таблица 1

Поперечные силы на контакте «колесо-рельс» при движении поездов по криволинейным участкам пути ($a_{н.п.} = 0,3 \text{ м/с}^2$; $q = 22 \text{ т/ось}$)

Радиус кривой, м	Поперечные силы при скорости, км/ч		
	80	100	120
500	18542	18768	17512
600	17879	18018	17018
700	14095	15717	16947
800	13752	13422	15806
900	13133	13258	13686
1000	13722	13328	13450
1200	14900	14390	14033

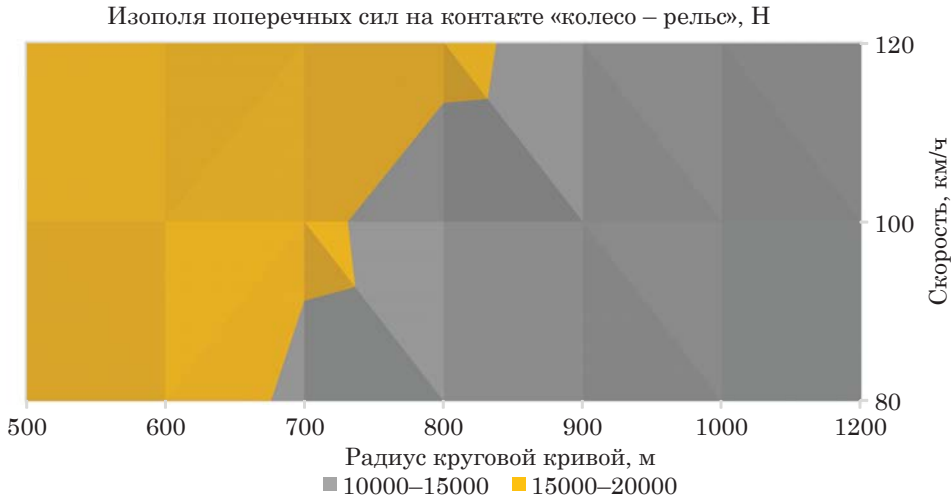


Рис. 1. Изополя поперечных сил на контакте «колесо-рельс» ($a_{н.п.} = 0,3 \text{ м/с}^2$; $q = 22 \text{ т/ось}$)

Итак, только в 47,6 % случаев максимальная сила возникает в пределах круговой кривой; в остальных случаях она возникает в переходных кривых.

После сопоставления данных таблицы 2 и графика изополей поперечных сил на контакте «колесо-рельс» выдвинута гипотеза: максимальные силы, действующие при движении подвижного состава по кривым с радиусом 800–1200 м, возникают в переходной кривой, что свидетельствует о недостаточной ее длине и резком

возрастании нагрузки на контакте «колесо-рельс». Во всех остальных случаях максимальные силы возникают в круговой части кривой.

Анализ выявил четыре наиболее значимых фактора, влияющие на значение поперечной силы F : h – возвышение наружного рельса в кривой; l – длина переходной кривой; R – радиус круговой кривой; V – скорость движения подвижного состава.

$$F = f(h, l, R, V). \quad (1)$$

Таблица 2

Место возникновения максимальных поперечных сил на контакте «колесо-рельс» при движении поездов по криволинейным участкам пути
($a_{н.п.} = 0,3 \text{ м/с}^2$; $q = 22 \text{ т/ось}$)

Радиус кривой, м	Поперечные силы при скорости, км/ч		
	80	100	120
500	Круговая кривая	Круговая кривая	Круговая кривая
600	Круговая кривая	Круговая кривая	Круговая кривая
700	Круговая кривая	Круговая кривая	Круговая кривая
800	Кон. переходная кривая	Кон. переходная кривая	Круговая кривая
900	Кон. переходная кривая	Кон. переходная кривая	Кон. переходная кривая
1000	Нач. переходная кривая	Кон. переходная кривая	Кон. переходная кривая
1200	Нач. переходная кривая	Нач. переходная кривая	Нач. переходная кривая

Таблица 3

Поперечные силы на контакте «колесо-рельс» при движении поездов по криволинейным участкам пути с учетом изменения одного из аргументов ($q = 22$ т/ось)

Изменяемый параметр	Скорость, км/ч	Радиус кривой, м	Попереч. сила, Н	Возвышение, мм	Длина переходной кривой, м	Место возникновения максимальной силы	Непогашенное ускорение, м/с ²	Коэффициент корреляции
Разная скорость	80	700	11120	130	162	Кон. переходная	-0,09	0,987
	100		15717	130	162	Круговая	0,31	
	120		25955	130	162	Круговая	0,79	
	80	800	9023	107	134	Кон. переходная	-0,04	0,984
	100		13422	107	134	Кон. переходная	0,31	
	120		24167	107	134	Круговая	0,73	
	80	900	9335	90	112	Кон. переходная	0,00	0,987
	100		13258	90	112	Кон. переходная	0,31	
	120		22115	90	112	Круговая	0,68	
	80	1000	10064	76	95	Кон. переходная	0,03	0,985
	100		13328	76	95	Кон. переходная	0,31	
	120		21158	76	95	Круговая	0,65	
	80	1200	10523	55	69	Кон. переходная	0,07	0,999
	100		14390	55	69	Нач. переходная	0,31	
	120		20074	55	69	Нач. переходная	0,59	
Разная длина переход. кривых	100	1000	13328	76	95	Кон. переходная	0,31	0,000
		1000	13290	76	110	Нач. переходная	0,31	
		1000	13081	76	125	Нач. переходная	0,31	
		1000	12673	76	140	Нач. переходная	0,31	
		1000	12891	76	155	Кон. переходная	0,31	
		1000	12445	76	170	Кон. переходная	0,31	
		1000	12532	76	200	Кон. переходная	0,31	
Разное возвышение	100	1000	24225	0	95	Нач. переходная	0,77	0,963
		1000	23295	10	95	Нач. переходная	0,71	
		1000	20870	20	95	Нач. переходная	0,65	
		1000	19378	30	95	Нач. переходная	0,59	
		1000	18208	40	95	Круговая	0,53	
		1000	16142	50	95	Кон. переходная	0,47	
		1000	15839	60	95	Нач. переходная	0,40	
		1000	14115	70	95	Нач. переходная	0,34	
		1000	13328	76	95	Кон. переходная	0,31	
		1000	12959	80	95	Кон. переходная	0,28	
		1000	12703	90	95	Кон. переходная	0,22	
		1000	11762	100	95	Кон. переходная	0,16	
		1000	10778	110	95	Кон. переходная	0,10	
		1000	10193	120	95	Кон. переходная	0,04	
		1000	10480	130	95	Кон. переходная	-0,03	
1000	10840	140	95	Нач. переходная	-0,09			
Разный радиус	100	600	28024	76	95	Круговая	0,82	0,989
		700	23053	76	95	Круговая	0,64	
		800	18417	76	95	Круговая	0,50	
		900	15168	76	95	Круговая	0,39	
		1000	13328	76	95	Кон. переходная	0,31	
		1200	11945	76	95	Нач. переходная	0,18	

Для проверки данной гипотезы проведено моделирование движения поезда по криволинейным участкам с изменением только одного из факторов, влияющих на значение поперечной силы. Моделирование можно разбить на этапы: а) изменение скорости движения подвижного состава, б) изменение длины переходной кривой, в) изменение возвышения и г) изменение радиуса круговой части кривой. Для всех результатов моделирования рассчитан коэффициент корреляции между

значениями непогашенного ускорения и величины поперечной силы. Результаты моделирования и коэффициенты корреляции представлены в таблице 3 и на рис. 2–5.

Значения коэффициента корреляции очень высокие, за исключением сопоставления массивов данных при анализе изменения длины переходной кривой. Это связано с тем, что в формуле по расчету непогашенного ускорения нет значения длины переходной

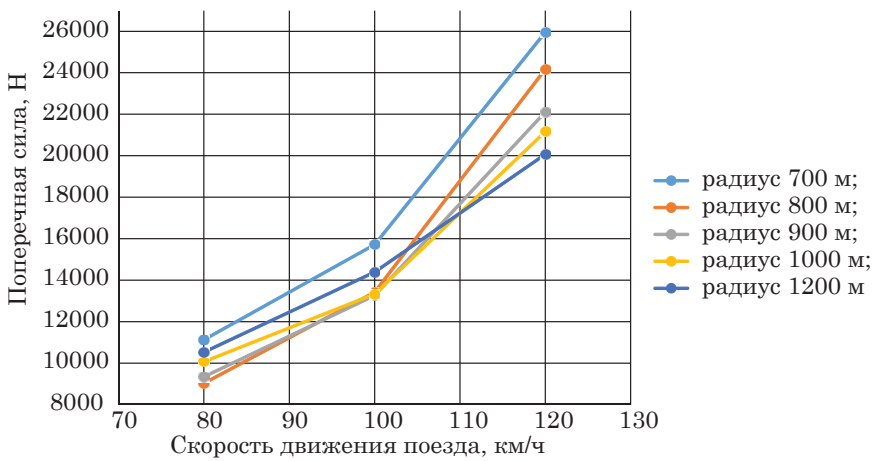


Рис. 2. Поперечная сила на контакте «колесо-рельс» при разных скоростях движения и радиусах круговой кривой ($q = 22$ т/ось)

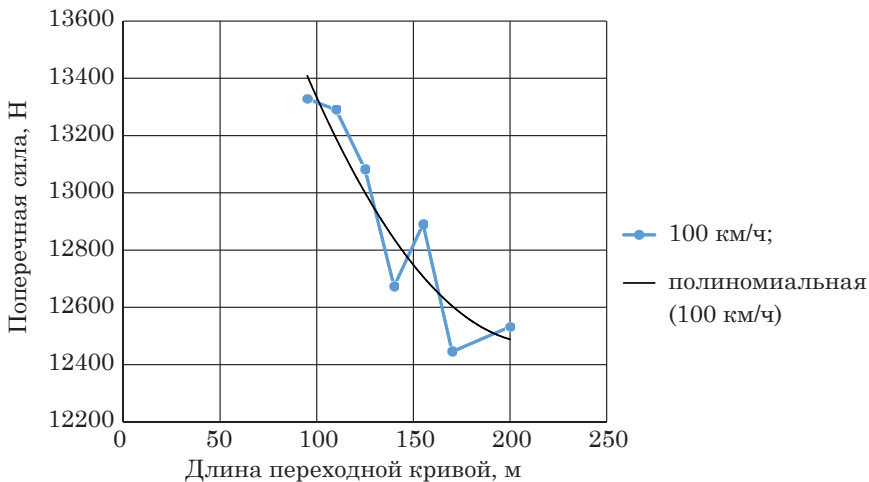


Рис. 3. Поперечная сила на контакте «колесо-рельс» при разной длине переходных кривых, радиусе круговой кривой 1000 м и скорости 100 км/ч ($q = 22$ т/ось)

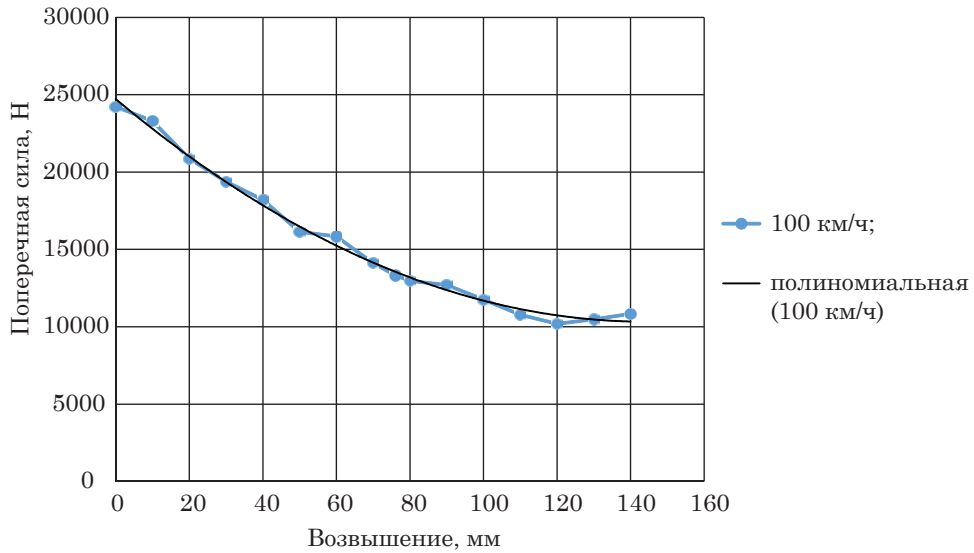


Рис. 4. Поперечная сила на контакте «колесо-рельс» при разном возвышении наружного рельса, радиусе круговой кривой 1000 м и скорости 100 км/ч ($q = 22$ т/ось)

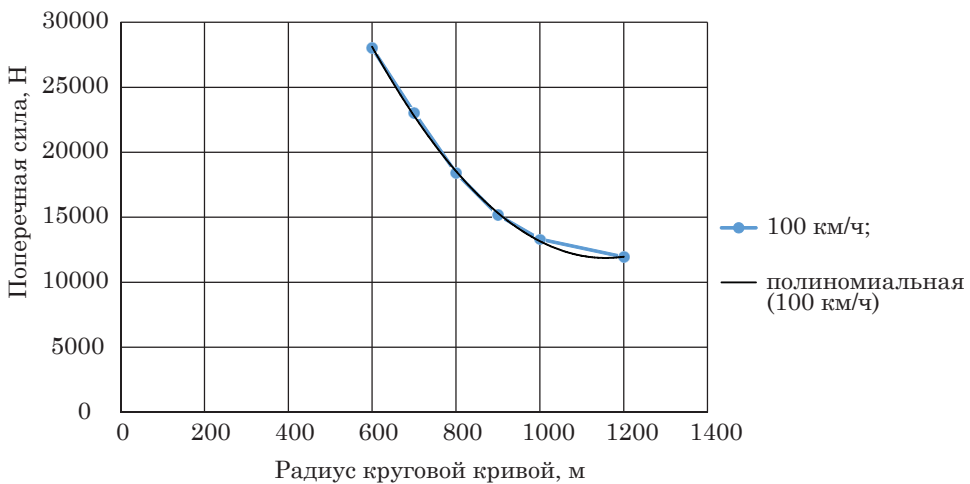


Рис. 5. Поперечная сила на контакте «колесо-рельс» при разном радиусе круговой кривой и скорости 100 км/ч ($q = 22$ т/ось)

кривой, однако, оценивая результаты моделирования, можно сделать вывод, что этот показатель влияет на значение поперечной силы. Также необходимо обратить внимание на место возникновения максимальной поперечной силы – только в 22,7 % случаев максимальная сила возникает в пределах круговой кривой, во всех этих случаях значение непогашенного

ускорения превышает допустимое значение $0,3 \text{ м/с}^2$ и колеблется в пределах от $0,39$ до $0,82 \text{ м/с}^2$, во всех остальных случаях максимальная сила возникает в переходных кривых.

Для оценки значимости каждого из аргументов, влияющих на значение поперечной силы, выполнено моделирование с поочередным изменением каждого из интересующих параметров на 20 %

в сторону снижения и увеличения нагрузки от первоначально принятого значения ($h = 76$ мм, $l = 95$ м, $R = 1000$ м, $V = 100$ км/ч). Результаты моделирования представлены в таблице 4.

По результатам анализа полученных данных построены графики зави-

симости поперечной силы от значения аргумента в процентном отношении и рассчитаны аппроксимирующие функции (рис. 6).

Учитывая, что аппроксимирующие функции представлены полиномом второй степени, для оценки весомости

Таблица 4

Поперечные силы на контакте «колесо-рельс» при изменении одного из аргументов на 20 % ($q = 22$ т/ось)

Изменяемый параметр	Скорость, км/ч	Радиус кривой, м	Попереч. сила, Н	Возвышение, мм	Длина переходной кривой, м	Место возникновения максимальной силы	Значение аргумента, %
Возвышение	100	1000	16230	61	95	Круговая	80
	100	1000	13328	76	95	Кон. переход.	100
	100	1000	12218	91	95	Кон. переход.	120
Длина переход. кривой	100	1000	13836	76	76	Кон. переход.	80
	100	1000	13328	76	95	Кон. переход.	100
	100	1000	13023	76	114	Кон. переход.	120
Радиус	100	800	18417	76	95	Круговая	80
	100	1000	13328	76	95	Кон. переход.	100
	100	1200	11945	76	95	нач. переход.	120
Скорость	80	1000	10064	76	95	Кон. переход.	80
	100	1000	13328	76	95	Кон. переход.	100
	120	1000	21158	76	95	Круговая	120

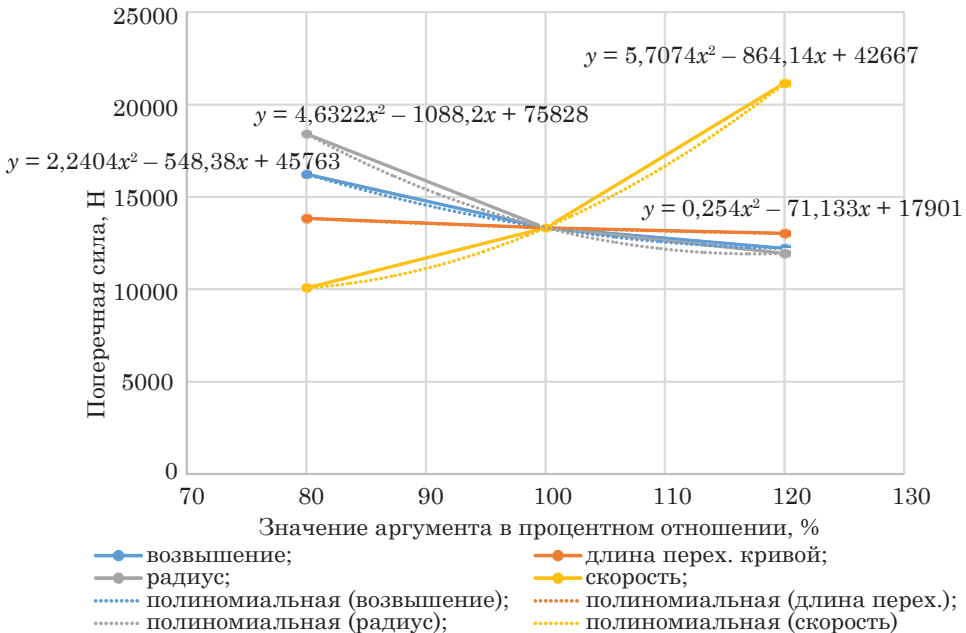


Рис. 6. Зависимость поперечной силы на контакте «колесо-рельс» от возвышения, радиуса, длины переходной кривой и скорости движения

каждого из аргументов можно использовать угол наклона касательной к кривой в точке, соответствующей первоначальному значению. Уравнение касательной к каждой из кривой:

$$y = kx + b, \quad (2)$$

где k – угол наклона касательной к кривой; может быть вычислен как первая производная функции в точке.

Вычислив эти значения, мы получим коэффициенты, соответствующие весомости каждого из аргументов (таблица 5).

Знак «+» показывает, что при росте аргумента значение поперечной силы увеличивается, а знак «–» – при росте аргумента значение поперечной силы уменьшается. Из таблицы 5 видно, что наибольшее влияние оказывают скорость, радиус и возвышение; значение длины переходной кривой мало влияет на величину поперечной силы.

В рамках исследования определены весовые коэффициенты по полученным аппроксимирующим функциям для различных значений аргументов, колеблющихся от 85 до 115 % от

первоначальных значений. Результаты представлены в таблице 6 и на рис. 7.

С учетом особенностей существующих линий и стоимости работ по изменению радиусов круговых кривых в рамках исследования проведен анализ изменения значений поперечной силы на контакте «колесо-рельс» от скорости движения подвижного состава и величины возвышения наружного рельса в круговой части кривой (рис. 8, 9).

На диаграммах серым цветом отображены значения поперечной силы, соответствующие наименьшим ее значениям; анализ диаграмм приводит к заключению о необходимом возвышении при устанавливаемой скорости движения подвижного состава.

Итак, местами возникновения максимальных поперечных сил на контакте «колесо-рельс» при движении подвижного состава по криволинейным участкам пути более чем в половине случаев служат переходные кривые; наиболее значимые параметры, влияющие на движение подвижного состава по криволинейным участкам пути, – это скорость, радиус и возвышение наружного рельса, а длина переходной кривой

Таблица 5

Значение весовых коэффициентов

Аргумент	Коэффициент	Весовые коэффициенты, в долях единицы
Возвышение	–100,3	0,179
Длина переходной кривой	–20,32	0,036
Радиус	–161,76	0,289
Скорость	+277,34	0,495

Таблица 6

Значение весовых коэффициентов при различных значениях аргументов

Аргумент	Весовые коэффициенты, в д.е., при значении аргументов в %						
	85	90	95	100	105	110	115
Возвышение	0,278	0,247	0,214	0,179	0,143	0,104	0,064
Длина переходной кривой	0,046	0,043	0,040	0,036	0,033	0,029	0,025
Радиус	0,499	0,433	0,363	0,289	0,212	0,130	0,044
Скорость	0,176	0,277	0,384	0,495	0,613	0,737	0,867

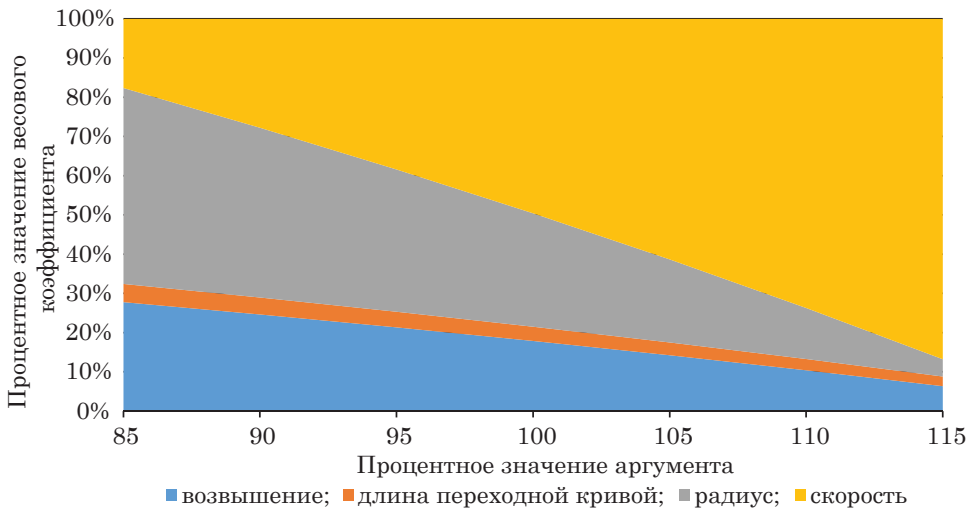


Рис. 7. Процентное значение весовых коэффициентов в зависимости от процентного значения аргументов

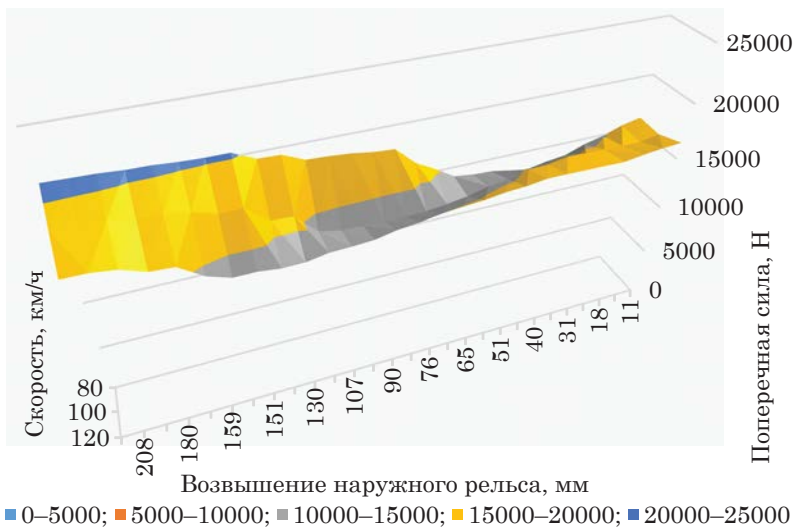


Рис. 8. Зависимость поперечной силы на контакте «колесо-рельс» от возвышения наружного рельса в кривой и скорости движения

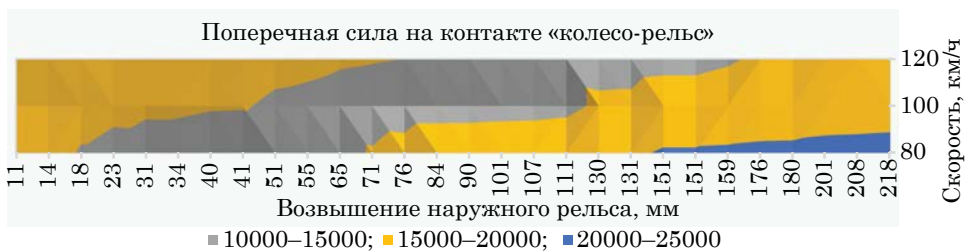


Рис. 9. Изополя поперечных сил на контакте «колесо-рельс» в зависимости от возвышения наружного рельса в кривой и скорости движения

не оказывает большого влияния на величину поперечной силы; необходима оценка возможности движения подвижного состава с повышенными скоростями

по существующим железнодорожным кривым без изменения величины вышения наружного рельса. ■

Литература

1. Методика оценки воздействия подвижного состава на путь по условиям обеспечения его надежности. М. : ВНИИЖТ, 2000. 38 с.
2. Аккерман Г.Л., Скутин Д.А. Оценка поперечной устойчивости рельсошпальной решетки в балластной призме // Вестник УрГУПС. 2015. № 3 (27). С. 36–44. ISSN 2079-0392.
3. Технические условия на работы по реконструкции (модернизации) и ремонту железнодорожного пути : распоряжение ОАО «РЖД» от 18 января 2013 г. № 75р.
4. Аккерман Г.Л., Скутин Д.А. Оценка поперечной устойчивости рельсошпальной решетки в балластной призме с применением геосинтетиков / Проектирование развития региональной сети железных дорог : сб. науч. тр. – Хабаровск : Изд-во ДВГУПС. 2015. – Вып. 3. С. 8–17. ISBN 978-5-262-00759-2.
5. Скутин Д.А. Расчет напряжений в балластной призме, усиленной геосинтетическими материалами // Вестник УрГУПС. 2015. № 4 (28). С. 141–149. ISSN 2079-0392.

Literature

1. Metodika otsenki vozdeystviya podvizhnogo sostava na put' po usloviyam obespecheniya ego nadezhnosti. [Method for assessing the impact of rolling stock on the road on the conditions of ensuring its reliability]. М. : The All-Russian Scientific Research Institute of Railway Transport. 2000. 38 pg.
2. Akkerman G.L., Skutin D.A. Otsenka poperechnoy ustoychivosti rel'soshpal'noy reshetki v ballastnoy prizme [Evaluation of the transversal stability of the rail-ball grid in the ballast prism] // Bulletin of the Ural State University of Railway Transport. 2015. № 3 (27). Pg. 36–44. ISSN 2079-0392.
3. Tekhnicheskie usloviya na raboty po rekonstruktsii (modernizatsii) i remontu zheleznodorozhnogo puti [Technical conditions for works on the reconstruction (modernization) and repair of the railway track] : the order of JSC Russian Railways from 18 January 2013. № 75.
4. Akkerman G.L., Skutin D.A. Otsenka poperechnoy ustoychivosti rel'soshpal'noy reshetki v ballastnoy prizme s primeneniem geosintetikov / Proektirovanie razvitiya regional'noy seti zhelezykh dorog [Evaluation of the transverse stability of a rail-setpot grating in a ballast prism with the use of geosynthetics / Designing the development of a regional railway network] : Coll. of Scient. Works – Khabarovsk : Publishing House of the FENU. 2015. – Publication 3. Pg. 8–17. ISBN 978-5-262-00759-2.
5. Skutin D.A. Raschet napryazheniy v ballastnoy prizme, usilennoy geosinteticheskimi materialami [Calculation of stresses in a ballast prism reinforced with geosynthetic materials] // Bulletin of the Ural State University of Railway Transport. 2015. № 4 (28). Pg. 141–149. ISSN 2079-0392.

Статья сдана в редакцию 14 апреля 2017 года

М.А. Бадажков

Энергоэффективное использование ниток графика в организации движения поездов

UDC 656.222.6

M. A. Badazhkov

Energy efficient use of thread graphics in the organization of train traffic

Аннотация

Предложена технология энергооптимального использования ниток графика при организации отправления поездов. Смоделированный процесс планирования поездной работы описан алгоритмом, использующим простейшие логические и математические функции. Представленные в статье алгоритмы являются частью системы планирования поездной работы по техническим станциям, в основе которой лежит технология экономически эффективного использования такого ресурса как нитка графика. В статье сформулированы основные критерии экономической эффективности ниток графика, приведены формулы и принципы расчета, определены основные этапы на пути к достижению энергоэффективности использования ниток.

Предложенная технология заключается в предварительном экономическом обосновании возможности использования каждой нитки, имеющей стоянку на промежуточных станциях участка. Практическое использование представляемой технологии сопряжено с ее реализацией в виде программного комплекса, интегрированного с актуальными информационными системами. Рассчитан экономический эффект от использования предложенной технологии.

Ключевые слова: энергоэффективная технология, нитка, график, остановки поездов, энергооптимальное использование, отправление поездов.

DOI:10.20291/2079-0392-2017-2-111-119

Annotation

The technology of energy-optimal use of the thread graphics for the organization of the departure of trains is proposed. The simulated train planning process is described by an algorithm using the simplest logical and mathematical functions. The algorithms presented in the article are part of the system for planning train work on technical stations, which is based on the technology of economically efficient use of such a resource as a thread graphics. The article outlines the main criteria for the economic efficiency of the thread graphics, gives formulas and calculation principles, and defines the main steps on the way to achieving energy efficiency of thread use.

The proposed technology consists in the preliminary economic justification of the possibility of using each thread that has station at the intermediate depots of the district. Practical use of the presented technology is associated with its implementation in the form of a software package integrated with current information systems. The economic effect of using the proposed technology is calculated.

Key words: energy-efficient technology, thread, graphics, train stations, energy-optimal use, departure of trains.

DOI:10.20291/2079-0392-2017-2-111-119

Михаил Александрович Бадажков, аспирант; кафедра «Управление эксплуатационной работой» Сибирского государственного университета путей сообщения; Новосибирск, Россия. E-mail: badajkovmihail@gmail.com.

Статья рекомендована к печати С.А. Бессоненко, д-ром техн. наук, профессором; Сибирский государственный университет путей сообщения; Новосибирск, Россия. E-mail: bessonenko@stu.ru.

Mikhail Alexandrovitch Badazhkov, Postgraduate; «Control of operating work» Siberia State University of Railway Transport; Novosibirsk, Russia. E-mail: badajkovmihail@gmail.com.

The article is recommended for editing from S. A. Bessonenko, Doctor of Technical Sciences, Professor; Siberia State University of Railway Transport; Novosibirsk, Russia. E-mail: bessonenko@stu.ru.

Разработка программных комплексов прогнозирования, планирования и автоматизации работы станций, диспетчерских участков и целых направлений давно изучается железнодорожными и научно-исследовательскими организациями [1–9].

Нитка является ценным ресурсом, но в некоторых ситуациях использование части ниток экономически не обосновано. Это связано с тем, что на участке между техническими станциями нитки различаются числом и продолжительностью стоянок на промежуточных станциях под пропуск преимущественных поездов.

Наличие стоянок на участке связано с дополнительными затратами на разгон/замедление поездов, время работы локомотивных бригад, оборот локомотивов (локомотивы и локомотивные бригады находятся в процессе непосредственно движения лишь около половины рабочего времени [10, 11]), а также на расход электроэнергии во время стоянки. Кроме того, стоянки зачастую ведут к пусть и незначительному (на 1–2 мин), но отклонению от графика, а как доказано в работах [12, 13] такое отклонение увеличивает расход электроэнергии на 10 %. С другой стороны, если снимать по техническим станциям нитки с наличием стоянок в ожидании прямых, то это обернется дополнительными затратами, связанными с простоем поезда на технической станции.

Для оптимизации графика нужно определить и в дальнейшем рационально использовать экономически обоснованные нитки. По итогам планирования определяется вариант порядка отправления поездов, обеспечивающий наименьшие затраты. На экономически неэффективные нитки поезда отправляться не будут. Поиски энергооптимального графика не новы [14, 15]; нами разработана технология энергооптимизации перевозочного процесса.

Этапы разработки технологии максимального сокращения расходов, связанных со стоянками поездов на промежуточных станциях участка

1. Исключение использования большей части ниток со стоянками на участке (с безусловным учетом текущей поездной обстановки).

2. Планирование отправления поездов на нитки с учетом массы поезда, обеспечивая наибольшую энергоэффективность (на нитки со стоянками назначать поезда с наименьшей массой).

Планирование начинается с первой свободной нитки графика. Определяется целесообразность ее использования для самого легкого из поездов-претендентов, что целесообразно при выполнении условия:

$$P_{\text{пром}} \leq P_{\text{тех}},$$

где $P_{\text{пром}}$ – расходы на связанные со стоянками на промежуточных станциях участка при использовании данной нитки; $P_{\text{тех}}$ – расходы на связанные с увеличением стоянки на технических станциях при снятии рассматриваемой нитки.

Для расчета необходимых расходов выделяют основные параметры: а) связанные со стоянками на промежуточных станциях участка $P_{\text{пром}}$ состоят из совокупности затрат времени локомотивной бригады во время стоянок $P_{\text{лб}}$, на разгон/замедление (энергетические) $P_{\text{рз}}$, использование локомотива, вагонов $P_{\text{лв}}$, затраты электроэнергии во время остановки $P_{\text{э}}$ и б) связанные с увеличением стоянки на технических станциях в ожидании прямой нитки $P_{\text{тех}}$. Последние состоят из совокупности следующих расходов:

– затраты на использование локомотива, вагонов (на время ожидания поезда) $P_{\text{лв}}$;

– затраты на использование локомотива, вагонов других поездов, простаивающих в результате сдвига ниток $\sum P_{\text{тех}}$;

– затраты электроэнергии во время стоянки $P_{\text{э}}$ (в зимнее время).

Указанные выше группы расходов определяются по формулам:

$$P_{\text{пром}} = P_{\text{лб}} + P_{\text{рз}} + P_{\text{лв}} + P_{\text{з}};$$

$$P_{\text{лб}} = (t_c + t_p + t_3) \cdot \frac{e_{\text{бр}}}{60},$$

где t_c – суммарное время стоянок, заложенное ниткой графика, мин; t_p – время на разгон на станциях, где предусмотрена остановка поезда, мин; t_3 – время на замедление на станциях, где предусмотрена остановка поезда, мин; $e_{\text{бр}}$ – расходная ставка 1 бригада-ч, руб./ч.

$$P_{\text{рз}} = 3,8 \cdot (Q_{\text{лок}} + Q_{\text{бр}}) \cdot V_x^2 \cdot \alpha \cdot 10^{-6} \cdot N_{\text{ост}},$$

где $Q_{\text{лок}}$ – масса локомотива, т; $Q_{\text{бр}}$ – масса состава поезда брутто, т; V_x^2 – ходовая скорость движения поезда, км/ч; α – расход энергоресурсов на 1 т · км механической работы локомотива, принимается равной 3,6 кВт/ч; $N_{\text{ост}}$ – кол-во остановок на промежуточных станциях, заложенных ниткой графика.

$$P_{\text{лв}} = (t_c + t_p + t_3) \cdot \frac{(e_{\text{лок}} + e_{\text{ваг}} \cdot 70)}{60},$$

где $e_{\text{лок}}$ – расходная ставка локомотива-ч, руб./ч; $e_{\text{ваг}}$ – расходная ставка вагон-ч, руб./ч.

$$P_{\text{з}} = \Pi_{\text{з}} + t_c \cdot \frac{N_{\text{пр}}}{60},$$

где $\Pi_{\text{з}}$ – стоимость одного кВт · ч электроэнергии, руб./кВт · ч; $N_{\text{пр}}$ – норма расхода энергоресурсов на 1 ч простаивающего, кВт · ч.

$$P_{\text{тех}} = \sum P_{\text{лв}} + P_{\text{з}},$$

$$\sum P_{\text{лв}} = \sum_{m=1}^m t_m \cdot \frac{(e_{\text{лок}} + e_{\text{ваг}} \cdot 70)}{60},$$

где m – число перепростаивающих поездов или число используемых подряд ниток до первой свободной; t_m – время перепростаивания M -го поезда.

При невыполнении изначально заданного условия нитка снимается и рассматривается следующая нитка. При выполнении условия нитка признается рентабельной и выбирается поезд для нитки, иначе говоря, подбирается вариант с таким порядком отправления поездов, при котором достигаются

наименьшие эксплуатационные расходы.

Число возможных вариантов порядка отправления поездов (N) определяется по формуле:

$$N = i_1 \cdot (i_2 - 1) \cdot (i_3 - 2) \cdot \dots \cdot (i_j - (j - 1)) \cdot (p - n + 1)!,$$

где i_j – количество поездов претендентов на 1-ю, 2-ю, j -ю нитки, при этом всегда выполняется условие $i_j \leq i_{j+1}$; j – порядковый номер нитки начиная с планируемой, принимает значение от 1 до $(n - 1)$; n – количество поездов претендентов на планируемую нитку; p – количество поездов претендентов на n первых ниток, начиная с планируемой.

Для каждого варианта распределения поездов определяются эксплуатационные расходы $P_{\text{з}}$ по формуле:

$$\sum P_{\text{з}} = \sum_{l=1}^p P_{\text{пром},l},$$

где $P_{\text{пром},l}$ – расходы, вызываемые стоянками поездов на промежуточных станциях участка для нитки графика при каком-то выбранном поезде; l – порядковый номер нитки начиная с планируемой.

После выбора варианта с наименьшими эксплуатационными расходами на рассматриваемую нитку назначается соответствующий ему поезд, далее рассматривается следующая нитка и цикл начинается заново.

Реализация этой технологии требует больших расчетов, которые силами дежурно-диспетчерского персонала, занимающегося планированием поездной работы на данный момент, произвести нельзя. При распределении поездов необходимо руководствоваться точной логической цепочкой последовательности действий. Реализация предложенной идеи сопряжена с построением и использованием алгоритма действий, логика которого будет отвечать требуемым условиям. На рис. 1, 2 представлены алгоритмы, отвечающие за определение целесообразности использования

нитки и поиск наиболее рационального варианта распределения поездов между нитками графика. Алгоритмы, кроме описания представленной методики, также преследуют цель некоторого ее упрощения. Это необходимо для практического применения технологии

и расчета ее экономической эффективности в условиях отсутствия программного обеспечения.

Для определения целесообразности использования нитки выполняется ряд операций по логике представленного на рис. 1 алгоритма.

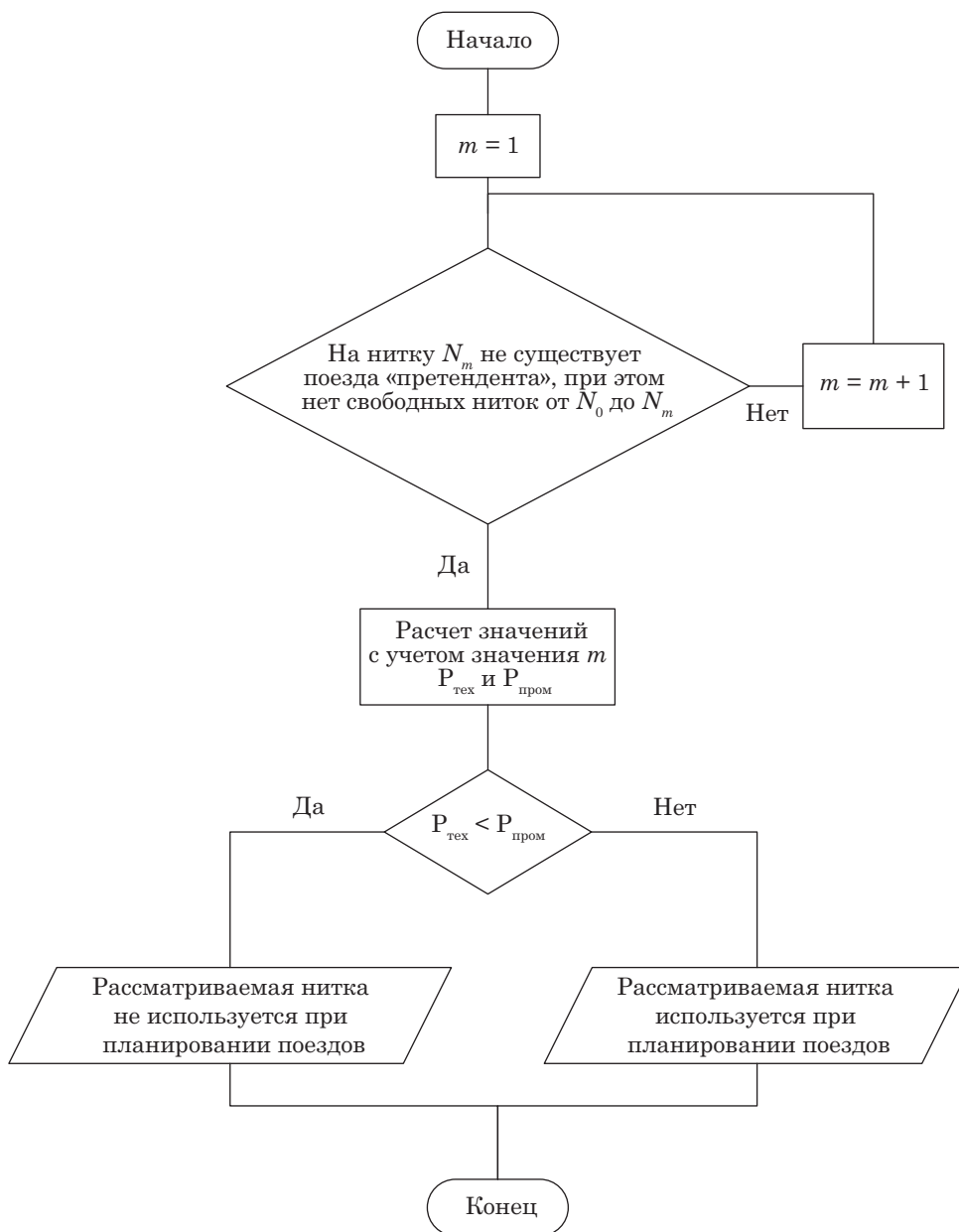


Рис. 1

Если нитка имеет одну и более стоянок, то проверяется целесообразность ее использования. Если в результате расчета $P_{\text{тех}}$ превысят $P_{\text{пром}}$, то нитка не используется. В противном случае нитка признается экономически пригодной

для использования, после переходят к подбору поезда, позволяющего добиться минимальных затрат при использовании нитки, то есть рационального варианта распределения поездов между нитками графика (рис. 2).

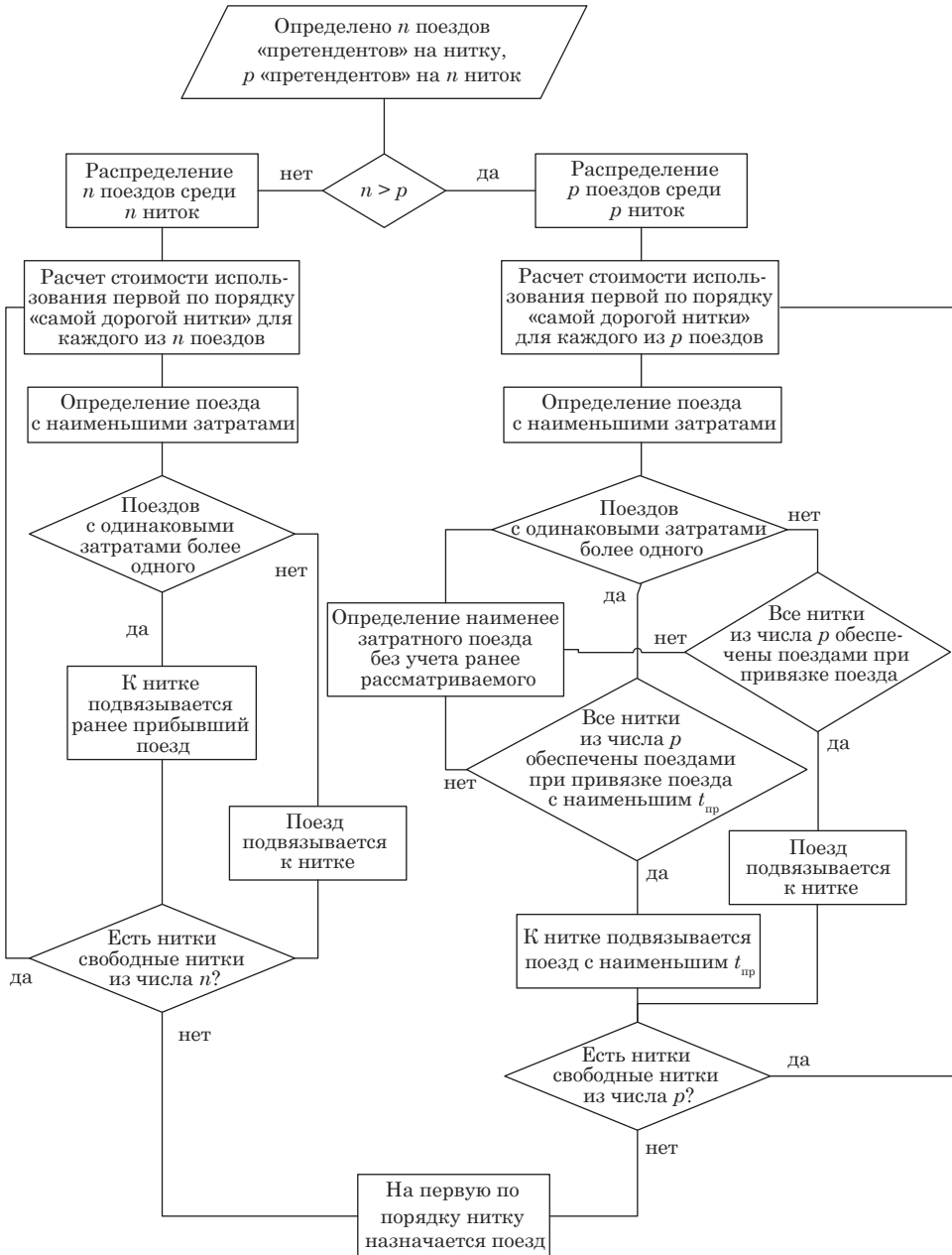


Рис. 2

Поезда распределяют после получения набора ниток, пригодных для использования по принципу: наиболее тяжелые поезда назначаются на нитки с наименьшими эксплуатационными затратами на разгон и замедление. Внутри цикла алгоритма планирование начинается не с первой по порядку нитки, а с нитки, обладающей максимальными эксплуатационными затратами (как правило, с наибольшим числом стоянок) среди рассматриваемых.

Итог выполнения всех предусмотренных операций – выбор поезда для первой свободной нитки графика и его к ней подвязка. Так обрабатывается каждая нитки; результат – экономически оптимальный вариант распределения поездов между нитками графика.

Для определения эффективности предложенной технологии рассчитано изменение эксплуатационных расходов и определен энергооптимальный вариант использования существующих ниток графика в течение расчетных суток.

В результате планирования отправления поездов по предложенной технологии суммарные расходы сократились на 11289,9 руб./сут, что составляет 21,4 % от первоначальных расходов. Диаграмма распределения расходов по результатам предложенной технологии представлена на рис. 3.

Представленные суммы и проценты экономической эффективности будут сильно колебаться в зависимости от заполняемости графика, размеров и плотности движения в отдельные промежутки времени, специфики того или иного направления, связанной со средним весом поезда. Особенность рассматриваемого участка заключается в относительно небольшом среднем весе поезда. Большую долю в общем числе поездов составляют порожние поезда. В рассматриваемый период заполняемость графика составила 63 %.

Для всестороннего рассмотрения и определения экономической эффективности рассчитана экономическая эффективность и для участка

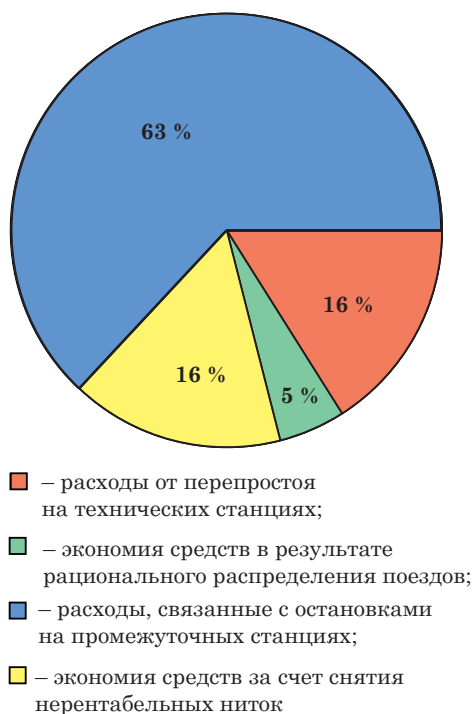


Рис. 3

с противоположными характеристиками движения: большой вес поезда (в среднем около 6000 т), заполняемость графика – более 95 %.

В результате расчета и перераспределения поездов получено: а) расходы от стоянок по промежуточным станциям составили 47931,4 руб. против 59211,7 руб. в первоначальном варианте; б) нет расходов, связанных с дополнительным перепростоим поездов на технической станции, так как при рассматриваемых размерах движения экономически нецелесообразно снимать нитки; в) экономия средств по сравнению с исполненным вариантом составила 11280,3 руб., что составляет 19,1 % от первоначальных расходов.

Диаграмма распределения расходов по результатам предложенной технологии представлена на рис. 4.

В статье предложена экономически эффективная технология; при экономически оптимальном планировании отправления поездов экономия составит

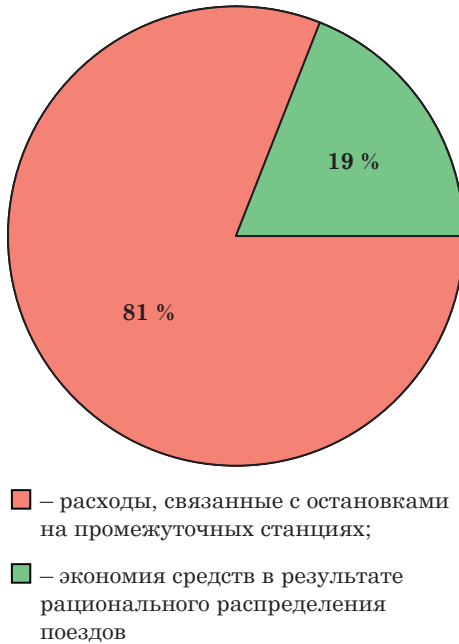


Рис. 4

около 20 %, ежесуточная экономия эксплуатационных расходов по одной станции составляет около 28000 руб./сут, что дает 10 220 000 руб./г. При внедрении предложенной технологии, а значит, и автоматизации процесса планирования высвободится часть времени дежурно-диспетчерского персонала. В некоторых случаях возможна оптимизация рабочего времени.

Предложенное решение базируется на простейших принципах, его реализация не требует больших инвестиционных вложений. Описанные в статье принципы и алгоритмы организации движения поездов дают возможность для дальнейшего воплощения разработанной технологии в виде программного продукта. Представлена возможность серьезно уменьшить влияние человеческого фактора на процесс организации движения поездов, то есть сократить возможное число ошибок. ■

Литература

1. Кузнецов Г.А. ГИД «Урал-ВНИИЖТ»: опыт внедрения и перспективы развития / Г.А. Кузнецов, В.П. Крайсвитный, С.В. Крашенинников, Н.Ф. Слободенюк // Железнодорожный транспорт. 2006. № 5. С. 38–42. ISSN 0044-4448.
2. Инструкция по разработке графика движения поездов в ОАО «РЖД». М. : ВНИИАС ; Техинформ, 2006. 183 с.
3. Система ГИД «Урал-ВНИИЖТ»: внедрение, модернизация, перспективы развития / Г.А. Кузнецов [и др.] // Железнодорожный транспорт. 2008. № 2. С. 15–21. ISSN 0044-4448.
4. Учет выполнения графика движения грузовых поездов / Г.А. Кузнецов [и др.] // Железнодорожный транспорт. 2011. № 3. С. 20–25. ISSN 0044-4448.
5. Шаров В.А., Бородин А.Ф. Интегрированная технология управления движением грузовых поездов по расписанию // Железнодорожный транспорт. 2011. № 8. С. 11–22. ISSN 0044-4448.
6. ГИД «Урал-ВНИИЖТ»: аналитические функции и автоматизация труда диспетчеров / Г.А. Кузнецов [и др.] // Железнодорожный транспорт. 2012. № 3. С. 21–25. ISSN 0044-4448.
7. Иванов П.А. График движения поездов как основа качества перевозочного процесса // Железнодорожный транспорт. 2014. № 2. С. 21–23. ISSN 0044-4448.
8. Кирякин В.Ю., Новгородцева А.В. Полигонная технология формирования прогнозных вариантных графиков с использованием АПК «Эльбрус» // Бюллетень объединенного ученого совета ОАО «РЖД». 2014. № 1. С. 16–20. ISSN 2304-9642.
9. Реализация полигонной технологии с использованием АПК «Эльбрус» / В.Ю. Кирякин [и др.] // Железнодорожный транспорт. 2014. № 6. С. 18–24. ISSN 0044-4448.
10. Некрашевич В.И. Проблема адаптации графика движения грузовых поездов колебаниями вагонопотоков // Вестник ВНИИЖТ. 2006. № 4. С. 8–15. ISSN 2223-9731.
11. Биленко Г.М., Волков В.С. График оборота локомотивов как основа движения грузовых поездов // Наука и техника транспорта. 2016. № 2. С. 79–86.
12. Фаминский Г.В. Автоматические устройства для вождения поездов / Г.В. Фаминский, Е.В. Ерофеев. М. : Транспорт, 1978. 103 с.
13. Микропроцессорные системы автоведения электроподвижного состава / под ред. Л.А. Баранова. – М. : Транспорт, 1990. 328 с.

14. Климович А.В. Метод поиска оптимального по энергозатратам графика движения поезда // Вестник Томского государственного университета. 2004. № 32. С. 78–83. ISSN 1561-7793.
15. Толкачев А.В. Алгоритм и руководство по подготовке исходной информации для расчетов на ЭВМ оптимального времени хода поездов на участке и наимыгоднейшей массы составов при заданном грузопотоке : методические указания к дипломному проектированию. Ташкент, 1998. 20 с.

Literature

1. Kuznetsov G.A. GID «Ural-VNIIZHT»: opyt vnedreniya i perspektivy razvitiya. [The «Ural-All-Russian Scientific Research Institute of Railway Transport» GUIDE: Experience of Implementation and Prospects of Development] / G.A. Kuznetsov, V.P. Kraisivitniy, S.V. Krashennnikov, N.F. Slobodenyuk // Rail Transport. 2006. № 5. Pg. 38–42. ISSN 0044-4448.
2. Instruksiya po razrabotke grafika dvizheniya poezdov v OAO «RZHD». [Instruction on the development of the schedule of train traffic in JSC «Russian Railways». M. : All-Russian Scientific Research Institute of Informatization, Automation and Communication ; Tehinform, 2006. 183 pg.
3. Sistema GID «Ural-VNIIZHT»: vnedrenie, modernizatsiya, perspektivy Razvitiya [The «Ural-All-Russian Scientific Research Institute of Railway Transport» GUIDE: implementation, modernization, development prospects] / G.A. Kuznetsov [et al.] // Rail transport. 2008. № 2. Pg. 15–21. ISSN 0044-4448.
4. Uchet vypolneniya grafika dvizheniya gruzovykh poezdov [Consideration of the schedule for freight trains] / G.A. Kuznetsov [et al.] 2011. № 3. Pg. 20–25. ISSN 0044-4448.
5. Sharov V.A., Borodin A.F. Integrirovannaya tekhnologiya upravleniya dvizheniem gruzovykh poezdov po raspisaniyu [Integrated technology for managing the movement of freight trains on schedule] // Rail transport. 2011. № 8. Pg. 11–22. ISSN 0044-4448.
6. GID «Ural-VNIIZHT»: analiticheskie funktsii i avtomatizatsiya truda Dispetcherov [The «Ural-All-Russian Scientific Research Institute of Railway Transport» GUIDE: Analytical functions and automation of operator`s work] / G.A. Kuznetsov [et al.] // Rail transport. 2012. № 3. Pg. 21–25. ISSN 0044-4448.
7. Ivanov P.A. Grafik dvizheniya poezdov kak osnova kachestva perevoznogo protsessa [Traffic schedule of the trains as the basis for the quality of the transportation process] // Rail transport. 2014. № 2. Pg. 21–23. ISSN 0044-4448.
8. Kiryakin V.YU., Novgorodtseva A.V. Poligonnaya tekhnologiya formirovaniya prognozykh variantnykh grafikov s ispol'zovaniem APK «El'brus» [Polygon technology for the formation of predictive variant schedules with the use of the AIC «Elbrus»] // Bulletin of the Joint Scientific Council of JSC Russian Railways. 2014. № 1. Pg. 16–20. ISSN 2304-9642.
9. Realizatsiya poligonnoy tekhnologii s ispol'zovaniem APK «El'brus» [Realization of polygon technology with the use of AIC «Elbrus»] / V.Yu. Kiryakin [et al.] // Rail transport. 2014. № 6. Pg. 18–24. ISSN 0044-4448.
10. Nekrashevich V.I. Problema adaptatsii grafika dvizheniya gruzovykh poezdov kolebaniyami vagonopotovok [The problem of the adaptation of the schedule for the movement of freight trains by the pumping of car traffic volume] // Byulleten' of the All-Russian Scientific Research Institute of Railway Transport. 2006. № 4. Pg. 8–15. ISSN 2223-9731.
11. Bilenko G.M., Volkov V.S. Grafik oborota lokomotivov kak osnova dvizheniya gruzovykh poezdov [The schedule of turnover of locomotives as a basis for the movement of freight trains] // Science and technology of transport. 2016. № 2. Pg. 79–86.
12. Faminskiy G.V. Avtomaticheskie ustroystva dlya vozhdeniya poezdov [Automatic devices for train driving] / G.V. Faminski, E.V. Erofeev. M. : Transport, 1978. 103 pg.
13. Mikroprotsessornye sistemy avtovedeniya elektropodvizhnogo sostava [Microprocessor systems for automatic train operation of electric rolling stock] /edit. by L.A. Baranov. – M. : Transport, 1990. 328 pg.
14. Klimovich A.V. Metod poiska optimal'nogo po energozatratam grafika dvizheniya poezda [The method of finding a train schedule optimal for the energy consumption] // Bulletin of Tomsk State University. 2004. № 32. Pg. 78–83. ISSN 1561-7793.

15. Tolkachev A.V. Algoritm i rukovodstvo po podgotovke iskhodnoy informatsii dlya raschetov na EVM optimal'nogo vremeni khoda poezdov na uchastke i naivgodneyshey massy sostavov pri zadannom gruzopotoke [Algorithm and guidance for the preparation of the initial information for computer calculations of the optimum train travel time on the site and the most favorable mass of the convoys for a given cargo flow] : methodical instructions to the thesis design. Tashkent, 1998. 20 pg.

Статья сдана в редакцию 18 апреля 2017 года

Уважаемые коллеги!

Информирую вас о требованиях, предъявляемых к оформлению статей.

При наборе используйте Word-2003 или Word-2007; шрифт (по всему тексту, в том числе в рисунках и таблицах) — тип Times, размер шрифта — 14, межстрочное расстояние — 1,5, абзацный отступ — 1,25 (1,27) см, поля — 2 см; расстановка переносов по всему тексту — автоматическая.

Набор формул: простые формулы и сочетания символов ($x^2 < y^2$; $E = mc^2$; $a^2 + b^2 = c^2$; Q_{i-1} ; ψ_j) — только в текстовом режиме, сложные

$$\left(s^2 = \frac{1}{n-1} \left[\sum_{j=1}^e x_j^2 n_j - \frac{1}{n} \left(\sum_{j=1}^e x_j n_j \right)^2 \right] \right); \left(\frac{\sigma_a}{[n]} \right)$$

или S_i^m) — только в редакторе формул

Equation или в MathType.

Написание букв: русские (а, б, в, А, Б, В), греческие (Θ , Σ , Ω , Ψ , α , β , δ , ϵ , λ , π), а также цифры и функции (1, 2, 3; I, II, III; max, lg, sin и т. п.) пишутся только прямо; латинские (a , b , n , A , B , N и т. д.) — только курсивом. Исключение — курсив во вспомогательном тексте (слова «Таблица» и «Рис.», примечания в рисунках и ссылки в тексте на эти примечания).

Оформление текста: левый верхний край — инициалы, фамилия; заголовков — все буквы ПРОПИСНЫЕ, жирные, расположение — по центру набора; таблиц и рисунков: в таблицах размер шрифта — на полтора-два размера меньше, чем в основном тексте (11,5–12), расположение текста в «шапке» таблицы — по центру, в столбцах — по ширине; межстрочное расстояние — 1; слово «Таблица» — курсивное начертание, в правый край таблицы; название таблицы — начертание нормальное (прямое), расположение — по центру таблицы. В рисунках (графиках, диаграммах): размер подрисуноч-

ной подписи — 14, расположение — по центру набора, слово «Рис.» — курсив, название рисунка — нормальное начертание, описание рисунка (экспликация) — нормальное начертание, условные обозначения — курсивное начертание, их расшифровка — нормальное. Расположение таблиц и рисунков — строго после ссылки на них.

Кроме того, рисунки обязательно прилагаются к материалу (один рисунок — один файл; формат — *.jpg).

Ссылки на литературу в тексте пишутся в квадратных скобках ([1], [1, 2] или [3–5]); нумерация сквозная. Список литературы/источников оформляется по ГОСТ 7.0.5–2008.

В конце статьи обязательно ставится дата отсылки материала в редакцию.

Объем статьи — не более 14-ти страниц.

Название файла: Фамилия. Первое слово заголовка. Подчеркивание. Последнее слово заголовка (Сидоров. Синтез_электроприводом).

К материалу (статье) обязательно прилагаются (отдельным файлом): УДК, сведения об авторе, аннотация, ключевые слова (название файла: УДК 000. Сидоров. Синтез_электроприводом).

Материалы для очередного номера журнала «Вестник УрГУПС» принимаются до 30 числа первого месяца квартала (до 30-го января, 30-го апреля, до 30-го июля, до 30-го октября). Материалы, поступившие в редакцию после 30-го числа, будут опубликованы только в следующем номере.

Успешной работы!

*Л. Барышникова,
литературный и выпускающий
редактор журнала «Вестник УрГУПС»*

Уважаемые читатели и авторы журнала «Вестник УрГУПС»!

Если вам нравится наш журнал, вы можете оказать содействие в его развитии,

перечислив денежные средства по реквизитам:

Ассоциация выпускников УЭМИИТ-УрГУПС

ИНН-КПП 6670317893/667001001

ОГРН 1156600001470

620075, Свердловская обл., г. Екатеринбург, ул. Шевченко, д. 20, помещение 1

Р/с 40703810863010000192

в ПАО КБ «УБРИР» филиал ССБ

к/с 30101810900000000795

БИК 046577795

Назначение платежа: «Пожертвование для поддержки научных журналов УрГУПС».

Ваша финансовая поддержка позволит нам увеличить число публикаций,

повысить индексы цитирования журнала и наших авторов.

Уважаемые руководители инновационных компаний и предприятий!

Предлагаем вам услуги по продвижению вашей продукции через сеть Ассоциации выпускников УЭМИИТ-УрГУПС.

Ассоциация выпускников УЭМИИТ-УрГУПС – это кооперация большого числа неравнодушных людей различных сфер деятельности, окончивших наш университет.

Кроме того, предлагаем услуги по подбору молодых специалистов, по организации поиска решений прикладных и научных задач в рамках диссертационных работ, выполняемых в УрГУПС.

Всю необходимую информацию вы можете получить по тел. (343) 221-24-67

или на сайте <http://www.usurt.ru/vypusnikam/assotsiatsiya-vypusnikov-urgups>

Извещение	<p>Получатель: Ассоциация выпускников УЭМИИТ-УрГУПС КПП: <u>667001001</u> ИНН: <u>6670317893</u> ОКТМО: <u>65701000</u> Р/с.: <u>40703810863010000192</u> в: ПАО КБ «УБРИР» филиал ССБ БИК: <u>046577795</u> К/с.: <u>30101810900000000795</u> Код бюджетной классификации (КБК): _____ Платеж: Пожертвование для поддержки научных журналов УрГУПС Плательщик: _____ Адрес плательщика: _____ ИНН плательщика: _____ № л/сч. плательщика: _____ Сумма: _____ руб. ____ коп. Подпись: _____ Дата: «___» _____ 2017 г.</p>
Квитанция	<p>Получатель: Ассоциация выпускников УЭМИИТ-УрГУПС КПП: <u>667001001</u> ИНН: <u>6670317893</u> ОКТМО: <u>65701000</u> Р/с.: <u>40703810863010000192</u> в: ПАО КБ «УБРИР» филиал ССБ БИК: <u>046577795</u> К/с.: <u>30101810900000000795</u> Код бюджетной классификации (КБК): _____ Платеж: Пожертвование для поддержки научных журналов УрГУПС Плательщик: _____ Адрес плательщика: _____ ИНН плательщика: _____ № л/сч. плательщика: _____ Сумма: _____ руб. ____ коп. Подпись: _____ Дата: «___» _____ 2017 г.</p>

ф. СП-1



АБОНЕМЕНТ

на ~~газету~~
журнал

70070

(индекс издания)

Вестник УрГУПС

(наименование издания)	Количество комплектов:	
------------------------	------------------------	--

на 2017 год по месяцам:

1	2	3	4	5	6	7	8	9	10	11	12
						X	X	X	X	X	X

Куда

(почтовый индекс)

(адрес)

Кому

(фамилия, инициалы)

ДОСТАВОЧНАЯ КАРТОЧКА

ПВ	место	литер

на ~~газету~~
журнал

70070

(индекс издания)

Вестник УрГУПС

(наименование издания)

Стои- мость	подписки	руб. ____ коп.	Количество комплектов:	
	переадресовки	руб. ____ коп.		

на 2017 год по месяцам:

1	2	3	4	5	6	7	8	9	10	11	12
						X	X	X	X	X	X

Куда

(почтовый индекс)

(адрес)

Кому

(фамилия, инициалы)